



021/BM/2011

# MANUAL

Konstruksi dan Bangunan

Perencanaan Struktur Beton Pratekan  
Untuk Jembatan



DIREKTORAT JENDERAL BINA MARGA

TERKENDALI

## PRAKATA

Salah satu aspek penting untuk menunjang keberhasilan pembinaan dibidang Jembatan adalah dengan tersedianya Norma, Standar ,Pedoman dan Manual (NSPM) ,yang dapat di terapkan di lapangan dengan mudah.

Untuk mengatasi permasalahan di atas, Direktorat Jenderal Bina Marga, Kementerian Pekerjaan Umum telah menyusun Manual Pérencanaan Struktur Beton Pratekan untuk Jembatan

Manual ini disusun dengan proses pembahasan beberapa tim ahli yang berkompeten dibidang pekerjaan jembatan, Pedoman teknik ini berisikan mengenai buku acuan bagi para perencana. Secara garis besar, standar ini berisikan penjabaran konsep metodologi dan tahapan prencanaan, yang disertai contoh-contoh perhitungan elemen struktur beton prategang pada jembatan.

Apabila dalam pelaksanaan ditemui adanya kekurangan ataupun terdapat kekeliruan pada manual ini, mohon saran dan kritik dapat disampaikan untuk perbaikan dan penyempurnaan dikemudian hari.

Jakarta, Desember 2011

DIREKTUR JENDERAL BINA MARGA



Ir. DJOKO MURJANTO, MSc

# DAFTAR ISI

Prakata .....	i
Daftar Isi .....	ii

## 1 PENDAHULUAN

1.1 Ruang Lingkup Desain .....	1-1
1.2 Acuan Normatif.....	1-1
1.3 Definisi dan Istilah .....	1-3
1.4 Konsep Dasar.....	1-8
1.5 Keuntungan Beton Pratekan .....	1-16
1.6 Material Beton Prategang.....	1-17
1.6.1 Beton .....	1-17
1.6.2 Tulangan Prategang .....	1-25
1.7 Sistem Penegangan .....	1-29

## 2 PERENCANAAN BERDASARKAN BATAS LAYAN (PBL)

2.1 Umum.....	2-1
2.2 Tegangan Izin.....	2-1
2.2.1 Tegangan izin tekan pada kondisi layan .....	2-1
2.2.2 Tegangan izin tekan pada kondisi beban sementara atau kondisi transfer gaya prategang. ....	2-1
2.2.3 Tegangan izin tarik pada kondisi batas layan, .....	2-2
2.2.4 Tegangan izin tarik pada kondisi transfer gaya prategang, .....	2-2
2.3 Perjanjian Tanda .....	2-4
2.4 Rumus Umum Perhitungan Tegangan.....	2-6
2.5 Profil Kabel .....	2-9
2.5.1 Garis tekanan atau C-line .....	2-9
2.5.2 Central kern versus limit kern .....	2-10
2.5.3 Daerah aman kabel .....	2-11
2.6 Lendutan dan camber .....	2-14

<b>3 PERENCANAAN BERDASARKAN BATAS KEKUATAN TERFAKTOR (PBKT)</b>	
3.1 Umum .....	3-1
3.2 Momen nominal lentur, $M_n$ .....	3-3
3.2.1 Momen Nominal Penampang persegi .....	3-5
3.2.2 Momen Nominal Penampang Berflens .....	3-6
3.2.3 Penampang Komposit .....	3-6
3.2.4 Menentukan Tegangan Nominal Baja Prategang pada Saat Runtuh, $f_{ps}$ .....	3-7
3.2.5 Preliminari Desain Ultimate .....	3-10
3.2.6 Langkah-Langkah Desain Member Prategang Kondisi Ultimate .....	3-11
3.2.7 Contoh Perhitungan Desain Member Prategang Kondisi Ultimate .....	3-13
3.3 Perencanaan Balok Terhadap Geser .....	3-24
3.3.1 Kekuatan Geser Batas Nominal .....	3-24
3.3.2 Kekuatan Geser Batas Yang Disumbangkan Oleh Beton .....	3-24
3.3.3 Kekuatan Geser Batas Yang Disumbangkan oleh Tulangan Geser .....	3-26
3.3.4 Kekuatan Geser Batas Rencana .....	3-26
3.3.5 Gaya Geser Maksimum Di Dekat Tumpuan .....	3-26
3.3.6 Tulangan geser minimum .....	3-27
3.3.7 Persyaratan tulangan geser .....	3-27
3.4 Daerah pengangkuran untuk angkur prategang .....	3-37
3.4.1 Angkur untuk komponen prategang pasca tarik .....	3-37
3.4.2 Pembebanan yang diperhitungkan .....	3-37
3.4.3 Perhitungan gaya tarik sepanjang garis kerja gaya angkur .....	3-38
3.4.4 Jumlah dan distribusi tulangan .....	3-38
3.4.5 Angkur Untuk Komponen Prategang Pratarik .....	3-39
3.4.6 Detail penulangan khusus pada daerah pengangkuran .....	3-39
3.4.7 Panjang penyaluran untuk tendon pratarik .....	3-40
3.4.8 Penyaluran tegangan tendon pasca tarik dengan pengangkuran .....	3-40
<b>4 KEHILANGAN PRATEGANG</b>	
4.1 Umum .....	4-1
4.2 Kehilangan Akibat Friksi .....	4-1
4.3 Kehilangan Akibat Slip Pengangkuran .....	4-6

4.4 Kehilangan Akibat Pemendekan Beton.....	4-9
4.5 Kehilangan Akibat Susut Beton.....	4-16
4.6 Kehilangan Akibat Rangkak Beton.....	4-21
4.7 Kehilangan Akibat Relaksasi.....	4-25
4.8 Kehilangan Total .....	4-28
<b>5 ANALISIS STRUKTUR</b>	
5.1 Umum.....	5-1
5.2 Struktur Statis Tertentu (ST) .....	5-1
5.3 Struktur Statis Tak Tentu (STT) .....	5-5
5.3.1 Kerugian Kontinuitas Prategang .....	5-7
5.3.2 Metode Perhitungan .....	5-8
5.3.3 Teorema 3 Momen (Clapeyron) .....	5-8
5.3.4 Distribusi Momen Cross .....	5-17
5.3.5 Penampang Non Prismatis .....	5-24
5.3.6 Konsep Beban Ekivalen .....	5-42

Lampiran

## 1 PENDAHULUAN

### 1.1 Ruang Lingkup Desain

Pedoman ini merupakan pedoman teknis perencanaan beton prategang untuk jembatan atau struktur lainnya yang mempunyai kesamaan karakteristik dengan jembatan.

### 1.2 Acuan Normatif

SNI T-02-2005, *Pembebanan untuk Jembatan, Kepmen PU No. 498/KPTS/M/2005.*

SNI T-12-2004, *Perencanaan struktur beton untuk jembatan, Kepmen PU No. 360/KPTS/M/2004.*

BMS 1992, *Tata cara perencanaan jembatan.*

AASHTO 2004, *Spesifikasi standar untuk jembatan.*

SNI 03-2847-2003, *Tata Cara Perhitungan Struktur Beton Untuk Bangunan Gedung*

SNI 03-2461-1991, *Spesifikasi agregat ringan untuk beton struktur.*

SNI 03-2834-1992, *Tata cara pembuatan rencana campuran beton normal.*

SNI 03-3403-1994, *Metode pengujian kuat tekan beton inti.*

SNI 03-4433-1997, *Spesifikasi beton siap pakai.*

SNI 03-4810-1998, *Metode pembuatan dan perawatan benda uji di lapangan.*

SNI 15-2049-1994, *Semen portland.*

ANSI/AWS D1.4, *Tata cara pengelasan – Baja tulangan.*

MNL 120-04 PCI Design Handbook

ASTM A 416M, *Standar spesifikasi untuk strand baja, tujuh kawat tanpa lapisan untuk beton prategang.*

ASTM A 421, *Standar spesifikasi untuk kawat baja penulangan - Tegangan tanpa pelapis untuk beton prategang.*

ASTM A 496-94, *Standar spesifikasi untuk kawat baja untuk beton bertulang.*

ASTM A 722, *Standar spesifikasi untuk baja tulangan mutu tinggi tanpa lapisan untuk beton prategang.*

- ASTM A 82, Standar spesifikasi untuk kawat tulangan polos untuk penulangan beton.
- ASTM C 1017, Standar spesifikasi untuk bahan tambahan kimiawi untuk menghasilkan beton dengan kelecanan yang tinggi.
- ASTM C 109, Metode uji kuat tekan untuk mortar semen hidrolis.
- ASTM C 109-93, Standar metode uji kuat tekan mortar semen hidrolis (menggunakan benda uji kubus 50 mm).
- ASTM C 1240, Standar spesifikasi untuk silica fume untuk digunakan pada beton dan mortar semen-hidrolis.
- ASTM C 31-91, Standar praktis untuk pembuatan dan pemeliharaan benda uji beton di lapangan.
- ASTM C 33, Standar spesifikasi agregat untuk beton.
- ASTM C 33-93, Standar spesifikasi untuk agregat beton.
- ASTM C 39-93a, Standar metode uji untuk kuat tekan benda uji silinder beton.
- ASTM C 42-90, Standar metode pengambilan dan uji beton inti dan pemotongan balok beton.
- ASTM C 494, Standar spesifikasi bahan tambahan kimiawi untuk beton.
- ASTM C 595, Standar spesifikasi semen blended hidrolis.
- ASTM C 618, Standar spesifikasi untuk abu terbang dan pozzolan alami murni atau terkalsinasi untuk digunakan sebagai bahan tambahan mineral pada beton semen portland.

### **1.3 Definisi dan Istilah**

#### **beban hidup**

semua beban yang terjadi akibat penggunaan jembatan berupa beban lalu lintas kendaraan sesuai dengan peraturan pembebanan untuk jembatan jalan raya yang berlaku.

#### **beban kerja**

beban layan rencana yang digunakan untuk merencanakan komponen struktur

#### **beban mati**

beban semua bagian dari suatu jembatan yang bersifat tetap, termasuk segala beban tambahan yang tidak terpisahkan dari suatu struktur jembatan.

#### **beban terfaktor**

beban kerja merupakan beban yang telah dikalikan dengan faktor beban yang sesuai

#### **beton**

campuran antara semen portland atau semen hidraulik yang lain, agregat halus, agregat kasar dan air, dengan atau tanpa bahan tambahan yang membentuk masa padat

#### **beton bertulang**

beton yang ditulangi dengan luas dan jumlah tulangan yang tidak kurang dari nilai minimum yang disyaratkan dengan atau tanpa pratekan, dan direncanakan berdasarkan asumsi bahwa kedua material bekerja bersama-sama dalam menahan gaya yang bekerja

#### **beton-normal**

beton yang mempunyai berat satuan  $2200 \text{ kg/m}^3$  sampai  $2500 \text{ kg/m}^3$  dan dibuat menggunakan agregat alam yang dipecah atau tanpa dipecah

#### **beton polos**

beton tanpa tulangan atau mempunyai tulangan tetapi kurang dari ketentuan minimum

**beton pracetak**

elemen atau komponen beton tanpa atau dengan tulangan yang dicetak terlebih dahulu sebelum dirakit menjadi bangunan

**beton pratekan**

beton bertulang yang telah diberikan tegangan tekan dalam untuk mengurangi tegangan tarik potensial dalam beton akibat beban kerja

**friksi kelengkungan**

friksi yang diakibatkan oleh bengkokan atau lengkungan di dalam profil tendon prategang yang disyaratkan

**friksi wobble**

friksi yang disebabkan oleh adanya penyimpangan yang tidak disengaja pada penempatan selongsong prategang dari kedudukan yang seharusnya

**gaya jacking**

gaya sementara yang ditimbulkan oleh alat yang mengakibatkan terjadinya tarik pada tendon dalam beton prategang

**kolom**

komponen struktur dengan rasio tinggi terhadap dimensi lateral terkecil melebihi 3 yang digunakan terutama untuk mendukung kombinasi beban aksial dan lentur

**komponen struktur lentur beton komposit**

komponen struktur lentur beton yang dibuat secara pracetak dan/atau yang dicor di tempat, yang masing-masing bagian komponennya dibuat secara terpisah, tetapi saling dihubungkan sedemikian hingga semua bagian komponen bereaksi terhadap beban kerja sebagai suatu kesatuan

**kuat nominal**

kekuatan suatu komponen struktur atau penampang yang dihitung berdasarkan ketentuan dan asumsi metode perencanaan sebelum dikalikan dengan nilai faktor reduksi kekuatan yang sesuai

**kuat perlu**

kekuatan suatu komponen struktur atau penampang yang diperlukan untuk menahan beban terfaktor atau momen dan gaya dalam yang berkaitan dengan beban tersebut dalam suatu kombinasi seperti yang ditetapkan dalam tata cara ini

**kuat rencana**

kuat nominal dikalikan dengan suatu faktor reduksi kekuatan  $\varphi$

**kuat tekan beton yang disyaratkan ( $f_c$ )**

kuat tekan beton yang ditetapkan oleh perencana struktur (benda uji berbentuk silinder diameter 150 mm dan tinggi 300 mm), untuk dipakai dalam perencanaan struktur beton, dinyatakan dalam satuan MPa. Bila nilai  $f_c$  di dalam tanda akar, maka hanya nilai numerik dalam tanda akar saja yang dipakai, dan hasilnya tetap mempunyai satuan MPa

**modulus elastisitas**

rasio tegangan normal tarik atau tekan terhadap regangan yang timbul akibat tegangan tersebut. Nilai rasio ini berlaku untuk tegangan di bawah batas proporsional material

**panjang penanaman**

panjang tulangan tertanam yang tersedia dari suatu tulangan diukur dari suatu penampang kritis

**panjang penyaluran**

panjang tulangan tertanam yang diperlukan untuk mengembangkan kuat rencana tulangan pada suatu penampang kritis

**pasca tarik**

cara pemberian tarikan, dalam sistem prategang dimana tendon ditarik sesudah beton mengeras

**perangkat angkur**

perangkat yang digunakan pada sistem prategang pasca tarik untuk menyalurkan gaya pasca tarik dari tendon ke beton

**perangkat angkur *strand* tunggal**

perangkat angkur yang digunakan untuk strand tunggal atau batang tunggal berdiameter 16 mm atau kurang yang memenuhi ketentuan yang berlaku

**perangkat angkur *strand* majemuk**

perangkat angkur yang digunakan untuk strand, batang atau kawat majemuk, atau batang tunggal berdiameter lebih besar daripada 16 mm, yang memenuhi ketentuan lain yang berlaku

**pratarik**

pemberian gaya prategang dengan menarik tendon sebelum beton dicor

**prategang efektif**

tegangan yang masih bekerja pada tendon setelah semua kehilangan tegangan terjadi, di luar pengaruh beban mati dan beban tambahan

**sengkang**

tulangan yang digunakan untuk menahan tegangan geser dan torsi dalam suatu komponen struktur, terbuat dari batang tulangan, kawat baja atau jaring kawat baja las polos atau ulir, berbentuk kaki tunggal atau dibengkokkan dalam bentuk L, U atau persegi dan dipasang tegak lurus atau membentuk sudut, terhadap tulangan longitudinal, dipakai pada komponen struktur lentur balok

**sengkang ikat**

sengkang tertutup penuh yang dipakai pada komponen struktur tekan, kolom

**tegangan**

intensitas gaya per satuan luas

**tendon**

elemen baja misalnya kawat baja, kabel batang, kawat untai atau suatu bundel dari elemen-elemen tersebut, yang digunakan untuk memberi gaya pratekan pada beton

**tendon dengan lekatan**

tendon prategang yang direkatkan pada beton baik secara langsung ataupun dengan cara *grouting*

**tinggi efektif penampang ( $d$ )**

jarak yang diukur dari serat tekan terluar hingga titik berat tulangan tarik

**transfer**

proses penyaluran tegangan dalam tendon prategang dari *jack* atau perangkat angkur pasca tarik kepada komponen struktur beton

**tulangan**

batang baja berbentuk polos atau berbentuk ulir atau berbentuk pipa yang berfungsi untuk menahan gaya tarik pada komponen struktur beton, tidak termasuk tendon prategang, kecuali bila secara khusus diikutsertakan

**tulangan polos**

batang baja yang permukaan sisi luarnya rata, tidak bersirip dan tidak berukir

**tulangan ulir**

batang baja yang permukaan sisi luarnya tidak rata, tetapi bersirip atau berukir

**tulangan spiral**

tulangan yang dililitkan secara menerus membentuk suatu ulir lingkar silindris

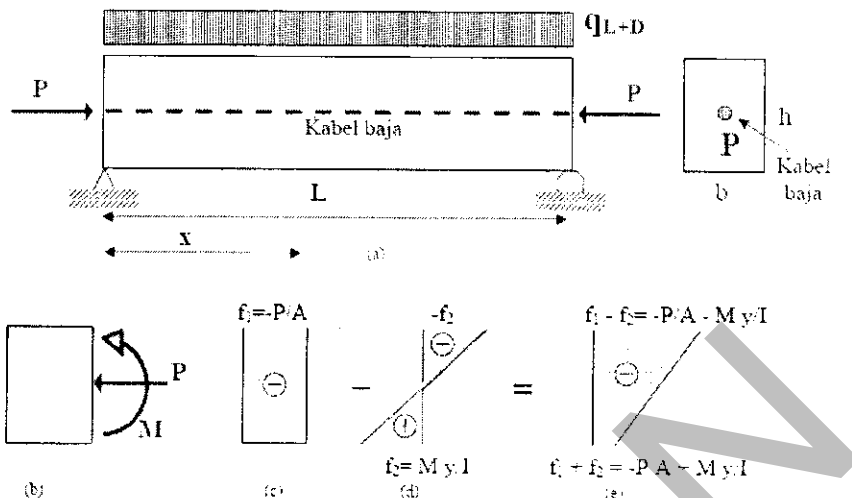
### **zona angkur**

bagian komponen struktur prategang pasca tarik dimana gaya pratekan terpusat disalurkan ke beton dan disebarluaskan secara lebih merata ke seluruh bagian penampang. Panjang daerah zona angkur ini adalah sama dengan dimensi terbesar penampang. Untuk perangkat angkur tengah, zona angkur mencakup daerah terganggu di depan dan di belakang perangkat angkur tersebut

### **1.4 Konsep Dasar**

Beton lebih kuat dalam kondisi tekan, namun lemah dalam kondisi tarik. Kekuatan tariknya bervariasi antara 8 sampai 14 persen dari kekuatan tekannya. Kekurangan material beton yang lemah dalam tarik ini dapat diatasi dengan memberi tegangan tekan untuk mengimbangi/ mengurangi tegangan tarik yang timbul pada bagian penampang akibat beban yang bekerja.

Pemberian tegangan tekan ini dilakukan dengan memasukkan kabel dari material jenis baja mutu tinggi kedalam beton sebesar gaya penegangan tertentu, kemudian setelah beton mengeras gaya ditransfer ke beton tersebut. Penampang beton yang terjadi bisa seluruhnya tertekan atau hanya sebagian saja yang tertekan tergantung kebutuhan syarat keamanan dan kelayahan atau ketentuan perencanaan lainnya misalnya faktor ekonomi. Aplikasi prategang dapat ditunjukkan dengan ilustrasi sebagai berikut :



**Gambar 1-1 Aplikasi Prategang pada Balok Bentang Sederhana**

Momen yang terjadi akibat beban mati dan beban hidup pada tengah bentang

$$M_{D+L} = 1/8 q_D L^2 + 1/8 q_L L^2$$

Keterangan :

$q_D$  = beban merata akibat beban mati

$q_L$  = beban merata akibat beban hidup

Tegangan akibat prategang  $P$

$$f_1 = \frac{P}{A} \quad (1-1)$$

Tegangan akibat momen  $M_{D+L}$  (Tegangan yang menekan serat atas adalah positif)

$$f_2 = \frac{M_{D+L} \cdot y}{I} \quad (1-2)$$

Dimana,

$y$  = jarak dari titik berat penampang ke serat yang ditinjau;

$I$  = momen inersia penampang,

$A$  = luas penampang.

Seperi yang terlihat pada gambar 1-1 penampang beton yang diaplikasikan beban merata akibat beban mati dan beban hidup (gambar 1-1(a)) akan menyebabkan momen,  $M = M_{D+L}$  ditengah bentang (gambar 1-1(b)). Momen ini akan menyebabkan serat bawah beton tertarik atau tegangan bernilai positif (gambar 1-1(d)). Adapun gaya

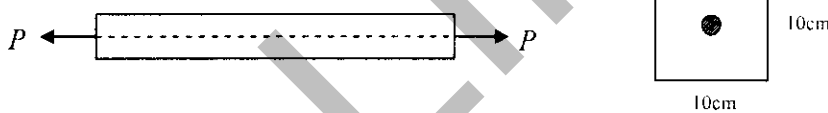
prategang yang diaplikasikan pada beton ini menyebabkan penampang beton tertekan atau tegangan bernilai negatif (gambar 1-1(b)). Bila nilai tegangan dijumlahkan maka tegangan pada serat bagian atas tertekan dan serat bagian bawah tegangan tarik yang terjadi bisa sangat kecil atau mungkin negatif atau menjadi tekan (gambar 1-1(d)).

Secara umum beton prategang pada jembatan utamanya lebih banyak digunakan untuk elemen struktur lentur seperti balok dan pelat. namun selain daripada itu beton prategang dapat juga digunakan untuk elemen tekan maupun tarik, seperti kolom, tiang-tiang pondasi.

Perbedaan beton biasa (*reinforced concrete*) dengan beton pratekan (*prestressed concrete*) dapat dijelaskan dengan contoh berikut ini.

#### A. Perbandingan dalam kekuatan aksial.

Ambil suatu contoh balok beton dengan penampang bujur sangkar 10 cm x 10 cm yang ditarik sentris oleh sebuah gaya  $P$ .



##### 1) Kekuatan aksial beton polos (tanpa tulangan)

Bila diketahui kekuatan tarik beton  $F_r = 4 \text{ N/mm}^2$ , maka beton akan putus pada saat gaya  $P = 4 \text{ N/mm}^2 \times 100 \text{ mm} \times 100 \text{ mm} = 40000 \text{ N}$ .

##### 2) Kekuatan aksial beton bertulang

Bila balok tersebut diberi satu batang tulangan baja diameter D25 (luas tulangan  $A_s=4,90\text{cm}^2$ ), maka kekuatan tarik beton dihitung sebagai berikut:

Perbandingan modulus elastisitas baja dan beton anggap  $= E_s/E_c = 6$ .

Gaya aksial yang dipikul oleh penampang transformasi dihitung sebagai berikut

$$P = 4 \text{ N/mm}^2 \times (100 \text{ mm} \times 100 \text{ mm} + (6-1) \times 490 \text{ mm}^2) = 49800 \text{ kgf.}$$

Kekuatan meningkat  $49800/40000=1.245$  (peningkatan 125 %)

3) Kekuatan aksial beton prategang

Bila balok tersebut diberi tegangan pra-tarik yang dipertahankan sebesar  $F_{ps}=120 \text{ MPa}$  dengan tendon dari 5 batang tulangan prategang diameter 12.7 mm (luas tulangan efektif  $A_{ps} = 5 \times 98 \text{ mm}^2 = 490 \text{ mm}^2$ ), maka kekuatan tarik beton dihitung sebagai berikut:

Tegangan akibat prategang (menekan).

$$F_p = \frac{120 \text{ N/mm}^2 \cdot 490 \text{ mm}^2}{(100 \text{ mm} \times 100 \text{ mm}) - 490 \text{ mm}^2} = 6.183 \text{ MPa}$$

Tegangan tarik yang dapat diberikan pada beton sebelum putus:

$$F_r + F_p = 4 + 6.183 = 10.183 \text{ MPa.}$$

Kekuatan aksial yang dapat dipikul oleh penampang transformasi beton dan prategang adalah:

$$P = 10.183 \text{ N/mm}^2 \times (100 \text{ mm} \times 100 \text{ mm} + (6-1) \times 490 \text{ mm}^2) = 126778.4 \text{ N.}$$

Kekuatan meningkat  $126778.4/40000=3.17$  (peningkatan 317 %)

Catatan:

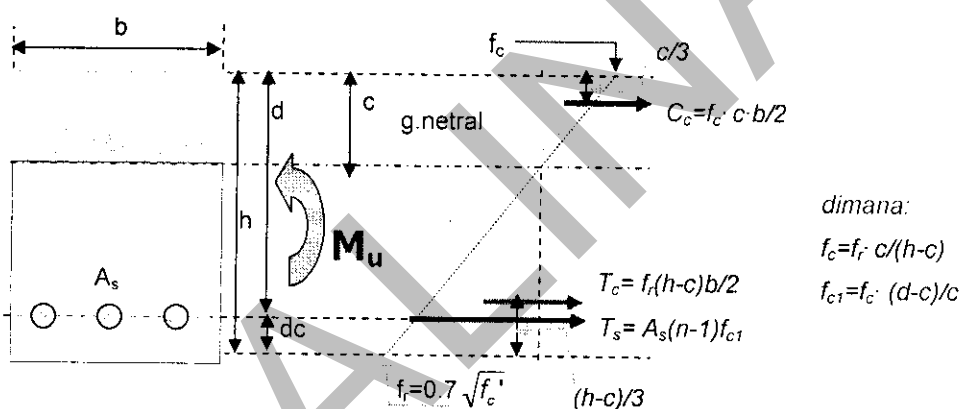
Besarnya tegangan prategang,  $F_p$  yang dapat diberikan tergantung dari mutu beton dan umur beton sehingga beton tidak hancur bila ditekan oleh gaya prategang. Semakin besar mutu beton, maka gaya pratekan yang diberikan bisa lebih besar dengan demikian semakin besar pula kekuatan aksial tariknya.

**B. Perbandingan dengan kekuatan lentur.**

Dalam analisis lentur menggunakan cara tegangan, balok beton tanpa tulangan akan mengalami retak tarik pada saat tegangan tarik beton melebihi izinnya dan akhirnya hancur. Adapun pada balok beton bertulang saat beton mengalami retak tarik, bagian tarik beton ini diabaikan dan diambil-alih oleh tulangan baja. Sedangkan pada beton pratekan bila balok tidak diizinkan mengalami tarik atau diizinkan tarik namun tidak mengalami retak, maka keseluruhan tinggi penampang dapat digunakan untuk menghitung kapasitas lenturnya.

Perbandingan kekuatan momen retak pada beton bertulang dan pratekan dapat diuraikan dengan contoh sebagai berikut:

**1) Perhitungan momen retak beton bertulang dengan cara elastis**



Misalkan ada penampang balok berbentuk persegi panjang dengan lebar penampang adalah sebesar 400 mm dengan ketinggian sebesar 800 mm. Material beton yang digunakan adalah beton dengan kuat tekan karakteristik sebesar 35 MPa, sementara baja tulangan yang digunakan memiliki nilai tegangan leleh sebesar 400 MPa. Tegangan ultimate untuk baja prategang menggunakan  $f_{pu} = 1860$  MPa. Luas tulangan ditentukan sebesar 6 kali diameter 25 mm.

---

---

## MANUAL PERENCANAAN STRUKTUR BETON PRATEKAN UNTUK JEMBATAN

---

**Material :****Beton :**  $f_{c'} := 35 \text{ MPa}$ 

$$E_c := 4700\sqrt{f_{c'}} \text{ MPa} \quad (\text{sub bab 10.5 SNI 03-2847-2002})$$

$$E_c = 27805.575 \text{ MPa}$$

**Baja :**  $f_y := 400 \text{ MPa}$ 

$$E_s := 2 \cdot 10^5 \text{ MPa}$$

**Data Penampang Balok**

$$b := 400 \text{ mm} \quad d_c := 80 \text{ mm}$$

$$h := 800 \text{ mm} \quad d := h - d_c \quad d = 720 \text{ mm}$$

$$\text{Luas tulangan} \quad A_s := 6 \cdot 0.25 \pi \cdot (25 \text{ mm})^2$$

$$A_s = 2945.243 \text{ mm}^2$$

**Tegangan retak,  $f_r$** 

$$f_r := 0.7 \cdot \sqrt{f_{c'}} \text{ (MPa)} \quad f_r = 4.141 \text{ MPa}$$

$$n := \frac{E_s}{E_c} \quad n = 7.193$$

**cara trial n error (mencoba-coba nilai c, sampai  $C_c$  mendekati  $T_s + T_c$ )**

$$c := 417.5 \text{ mm}$$

$$f_c := f_r \cdot \frac{c}{(h - c)} \quad f_c = 4.52 \text{ MPa}$$

$$f_{c1} := f_c \cdot \frac{(d - c)}{c} \quad f_{c1} = 3.275 \text{ MPa}$$

$$C_c := 0.5 f_c \cdot c \cdot b$$

$$T_c := 0.5 f_r \cdot (h - c) \cdot b \quad T_c = 316.806 \text{ kN}$$

$$T_s := A_s \cdot (n - 1) \cdot f_{c1} \quad T_s = 59.736 \text{ kN}$$

**Keseimbangan gaya,  $\Sigma H = 0$** 

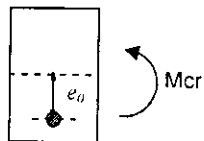
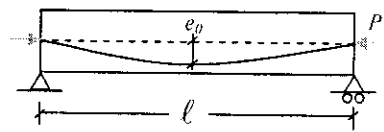
$$C_c = 377.436 \text{ kN}$$

$$T_c + T_s = 376.542 \text{ kN}$$

**Hitung  $M_{cr}$  terhadap  $T_s$  (akurat)**

$$M_{cr1} := C_c \cdot \left( d - \frac{c}{3} \right) - T_c \cdot \left[ \frac{(h - c)}{3} - d_c \right] \quad M_{cr1} = 204.179 \text{ N.m}$$

**2) Perhitungan momen retak beton prategang**



$$f_{pu} := 1860 \text{ MPa}$$

$$f_{pe} := 0.57 f_{pu} \quad f_{pe} = 1060.2 \text{ MPa}$$

$$A_c := b \cdot h \quad A_c = 320000 \text{ mm}^2$$

$$A_{ps} := A_s \quad A_{ps} = 2945.243 \text{ mm}^2$$

$$P := A_{ps} \cdot f_{pe} \quad P = 3.123 \times 10^3 \text{ kN}$$

$$e_0 := 200 \text{ mm}$$

$$\frac{P}{A_c} + \frac{P \cdot e_0}{Z_b} - \frac{M_{cr}}{Z_b} = -f_r$$

$$M_{cr2} := \left( \frac{P}{A_c} + \frac{P \cdot e_0}{Z_b} + f_r \right) Z_b \quad M_{cr2} = 1.218 \times 10^3 \text{ kN.m}$$

Perbandingan momen retak  $\frac{M_{cr2}}{M_{cr1}} = 5.963$  (peningkatan hampir 600%)

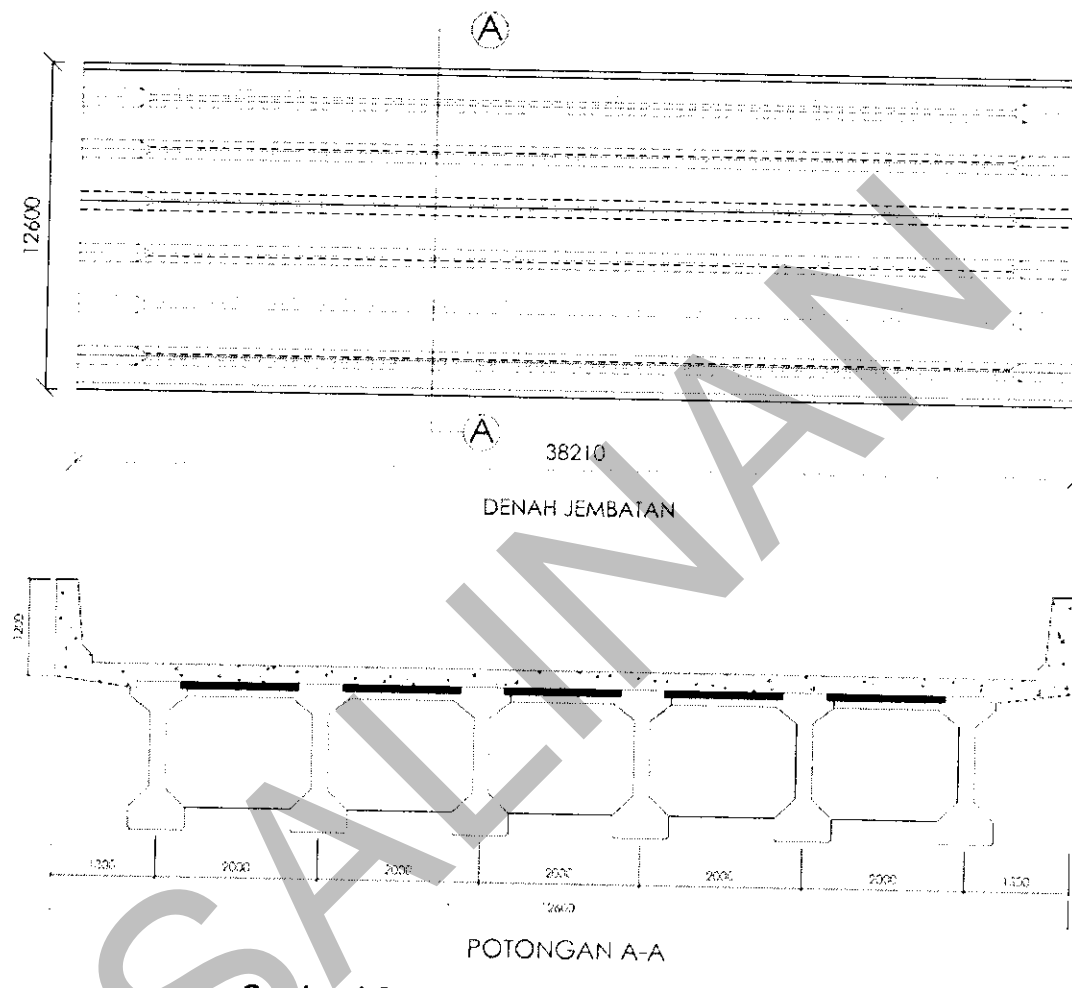
---

---

**MANUAL PERENCANAAN STRUKTUR BETON PRATEKAN UNTUK JEMBATAN**

---

Berbagai jenis balok girder pratekan yang sudah diaplikasikan pada jembatan dapat dilihat pada gambar di bawah ini.

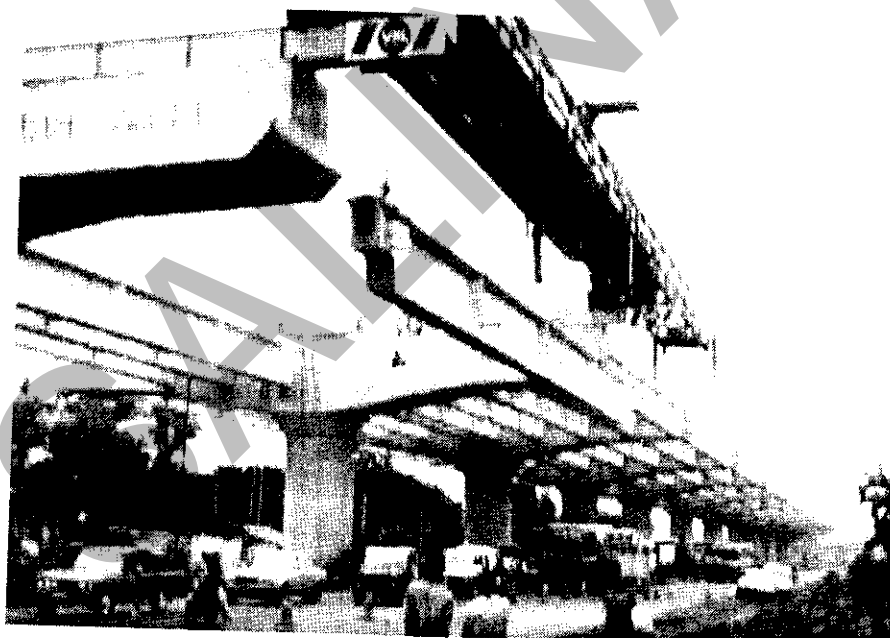


**Gambar 1-2 Jembatan Cikubang Cipularang**

### 1.5 Keuntungan Beton Pratekan

Struktur beton pratekan mempunyai beberapa keuntungan sebagai berikut:

1. Terhindar dari retak terbuka di daerah tarik, sehingga dengan demikian beton pratekan lebih tahan terhadap penetrasi klorida.
2. Lebih kedap air, sehingga air pada pelat jembatan tidak mudah meresap.
3. Dapat diperoleh defleksi struktur yang lebih kecil, dengan terbentuknya lawan lendut (chamber) dari konfigurasi layout kabel prategang sepanjang elemen.
4. Penampang struktur lebih kecil/langsing, karena seluruh luas penampang dapat digunakan secara efektif.
5. Memungkinkan bentang yang lebih panjang dibandingkan beton bertulang.
6. Karena kabel prategang menggunakan mutu baja tinggi, sehingga kapasitas penampangnya jauh lebih besar daripada tulangan biasa dengan luas tulangan yang sama.



Gambar 1-3 Pelaksanaan Konstruksi Jembatan Girder Post-Tension

## 1.6 Material Beton Prategang

### 1.6.1 Beton

Beton yang digunakan untuk membuat elemen struktur beton prategang harus mempunyai kuat tekan yang tinggi. Kekuatan dan tahan lama yang dicapai melalui kontrol kualitas dan jaminan kualitas pada tahap produksi adalah dua faktor penting dalam mendesain struktur beton prategang.

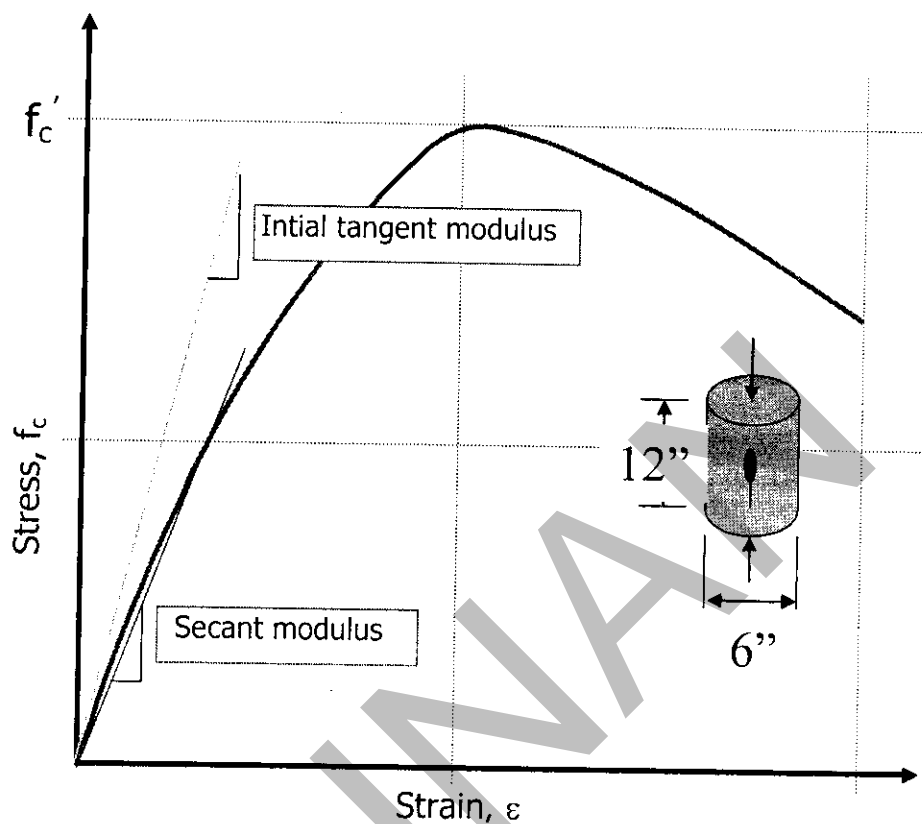
#### A. Mutu tinggi

Mutu beton yang biasa digunakan dalam perhitungan beton bertulang adalah mutu beton normal sampai mutu tinggi. Beton mutu tinggi sebagaimana disebutkan dalam RSNI T-12-2004 adalah beton yang mempunyai kuat tekan silinder,  $f_c'$  melebihi 60 MPa, sedangkan beton normal adalah beton dengan berat isi  $\pm 2400 \text{ kg/m}^3$ ,  $f_c'$  antara 20 MPa s.d 60 MPa. Adapun kekuatan beton untuk struktur prategang SNI mensyaratkan tidak boleh kurang dari 30 MPa (RSNI T-12-2004, 4.4.1.1.1).

#### B. Modulus elastisitas

Modulus elastisitas beton,  $E_c'$ , Nilainya tergantung pada mutu beton, besarnya modulus elastisitas beton dipengaruhi oleh material dan proporsi campuran beton. Nilai  $E_c'$  untuk beton normal sebagai berikut:

- $E_c' = w_c^{1.5} (0.043\sqrt{f_c'})$ , dinyatakan dalam MPa; atau
- $E_c' = 4700 \sqrt{f_c'}$  (SNI 03-2847-2002), dinyatakan dalam MPa; atau
- ditentukan dari hasil pengujian.



**Gambar 1-4 Kurva Stress-Strain Beton**

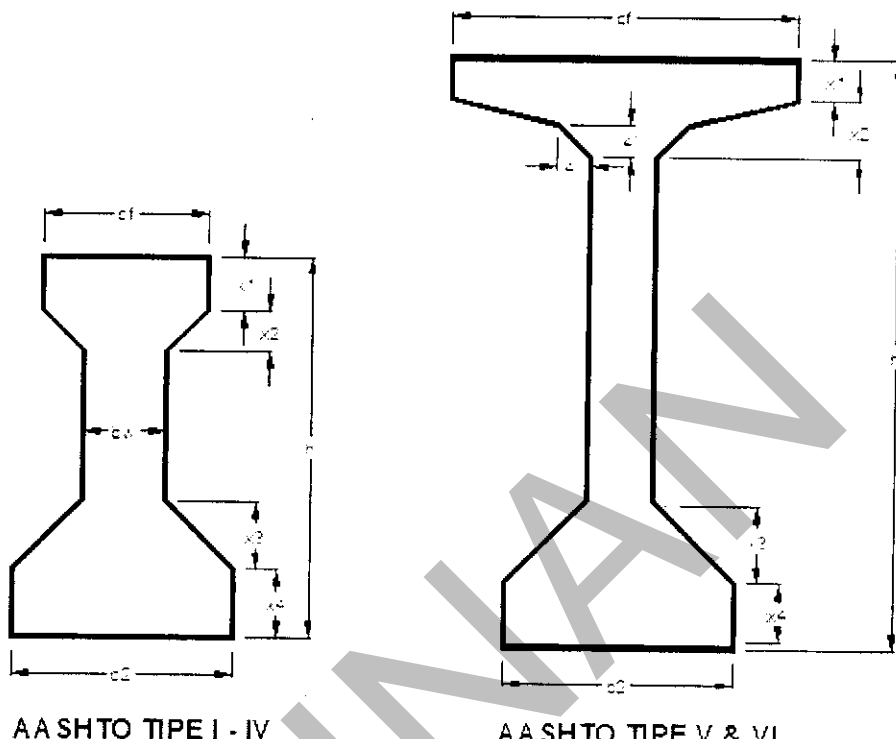
#### C. Jenis Penampang Girder Prategang

Terdapat beberapa jenis penampang beton yang biasa digunakan untuk jembatan. Pemilihan jenis penampang tergantung dari kebutuhan panjang bentang, kerumitan alinyemen dan metoda pelaksanaan. Adapun jenis penampang dapat diuraikan sebagai berikut :

- *Penampang I-girder dan T-bulb AASHTO*

Penampang I-girder dan T-bulb AASHTO dapat digunakan untuk bentang jembatan antara 9.1 m sampai dengan 42 m.

Ada 2 jenis penampang AASHTO yang umum digunakan dalam perencanaan jembatan sebagai berikut :



**Gambar 1-5 Penampang Girder Beton AASHTO (I dan T-bulb)**

**Tabel 1-1 Detail Geometris Penampang AASHTO**

Penampang	bf in / (mm)	x1 in / (mm)	x2 in / (mm)	b2 in / (mm)	x3 in / (mm)	x4 in / (mm)	bw in / (mm)	h in / (mm)
AASHTO 1	12 (304.80)	4 (101.60)	3 (76.20)	16 (406.40)	5 (127.00)	5 (127.00)	6 (152.40)	28 (711.20)
AASHTO 2	12 (304.80)	6 (152.40)	3 (76.20)	18 (457.20)	6 (152.40)	6 (152.40)	6 (152.40)	36 (914.40)
AASHTO 3	16 (406.40)	7 (177.80)	4.5 (114.30)	22 (558.80)	7.5 (190.50)	7 (177.80)	7 (177.80)	45 (1143.00)
AASHTO 4	20 (508.00)	8 (203.20)	6 (152.40)	26 (660.40)	9 (228.60)	8 (203.20)	8 (203.20)	54 (1371.60)
AASHTO 5	42 (1066.80)	5 (127.00)	7 (177.80)	28 (711.20)	10 (254.00)	8 (203.20)	8 (203.20)	63 (1600.20)
AASHTO 6	42 (1066.80)	5 (127.00)	7 (177.80)	28 (711.20)	10 (254.00)	8 (203.20)	8 (203.20)	72 (1828.80)

Tabel 1-2 Modulus Penampang AASHTO

Penampang	Span ft / (m)	A in <sup>2</sup> / (cm <sup>2</sup> )	I in <sup>4</sup> / (cm <sup>4</sup> )	Y <sub>b</sub> in / (cm)	S <sub>b</sub> in <sup>3</sup> / (cm <sup>3</sup> )	S <sub>t</sub> in <sup>3</sup> / (cm <sup>3</sup> )
AASHTO 1	30 - 45 (9.1) - (13.7)	276.00 (1780.64)	22,744.13 (946,682.12)	12.59 (31.98)	1,806.61 (29,605.09)	1,475.87 (24,185.22)
AASHTO 2	40 - 60 (12.2) - (18.3)	369.00 (2380.64)	50,978.74 (2,121,895.52)	15.83 (40.21)	3,220.54 (52,775.15)	2,527.36 (41,416.05)
AASHTO 3	55 - 80 (16.8) - (24.4)	559.50 (3609.67)	125,390.35 (5,219,140.35)	20.27 (51.49)	6,184.95 (101,353.19)	5,071.08 (83,100.16)
AASHTO 4	70 - 100 (21.3) - (30.5)	789.00 (5090.31)	260,740.61 (10,852,843.43)	24.73 (62.82)	10,541.86 (172,750.08)	8,909.29 (145,997.05)
AASHTO 5	90 - 120 (27.4) - (36.6)	1,013.00 (6535.47)	521,162.59 (21,692,424.73)	31.96 (81.17)	16,308.47 (267,247.90)	16,788.17 (275,108.88)
AASHTO 6	110 - 140 (33.5) - (42.7)	1,085.00 (6999.99)	733,320.29 (30,523,095.12)	36.38 (92.41)	20,156.88 (330,312.08)	20,587.69 (337,371.82)

Beberapa penampang tipikal I dan U girder yang telah banyak digunakan saat ini diperlihatkan pada tabel-tabel berikut di bawah.

Tabel 1-3 Penampang Balok Gelagar Tipe I

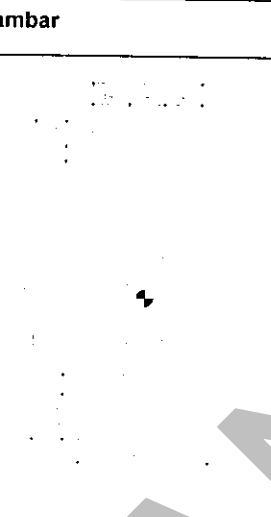
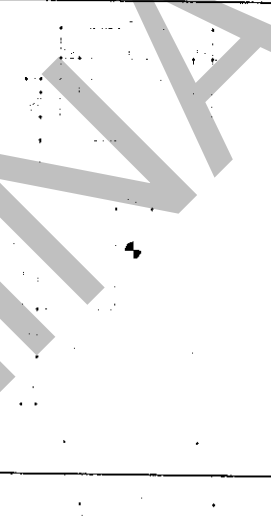
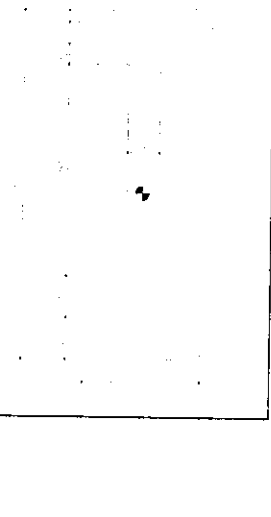
Type	Dimensi		Gambar
H-90	Area (mm <sup>2</sup> )	257,150.00	
	Inersia (mm <sup>4</sup> )	22,653,110,735.88	
	yt (mm)	536.6	
	Zt (mm <sup>3</sup> )	42,216,009.57	
	yb (mm)	363.4	
	Zb (mm <sup>3</sup> )	62,336,573.30	
H-125	Area (mm <sup>2</sup> )	316,650.00	
	Inersia (mm <sup>4</sup> )	54,939,524,663.81	
	yt (mm)	730.5	
	Zt (mm <sup>3</sup> )	75,208,110.42	
	yb (mm)	519.5	
	Zb (mm <sup>3</sup> )	105,754,619.18	

---

---

**MANUAL PERENCANAAN STRUKTUR BETON PRATEKAN UNTUK JEMBATAN**

---

Type	Dimensi		Gambar
H-160	Area (mm <sup>2</sup> )	477,275.00	
	Inersia (mm <sup>4</sup> )	146,060,000,000.00	
	yt (mm)	888.5	
	Zt (mm <sup>3</sup> )	164,389,420.37	
	yb (mm)	711.5	
	Zb (mm <sup>3</sup> )	205,284,609.98	
H-170	Area (mm <sup>2</sup> )	658,750.00	
	Inersia (mm <sup>4</sup> )	235,220,000,000.00	
	yt (mm)	884.7	
	Zt (mm <sup>3</sup> )	265,875,438.00	
	yb (mm)	815.3	
	Zb (mm <sup>3</sup> )	288,507,297.93	
H-210	Area (mm <sup>2</sup> )	734,750.00	
	Inersia (mm <sup>4</sup> )	407,960,000,000.00	
	yt (mm)	1,093.80	
	Zt (mm <sup>3</sup> )	372,974,949.72	
	yb (mm)	1,006.20	
	Zb (mm <sup>3</sup> )	405,446,233.35	

**Tabel 1-4 Penampang Balok Gelagar Tipe U**

Type	Dimensi		Gambar
H-120	Area (mm <sup>2</sup> )	926,400.00	
	Inersia (mm <sup>4</sup> )	126,770,000,000.00	
	yt (mm)	637.10	
	Zt (mm <sup>3</sup> )	198,979,752.00	
	yb (mm)	562.90	
	Zb (mm <sup>3</sup> )	225,208,740.45	
H-140	Area (mm <sup>2</sup> )	1,044,400.00	
	Inersia (mm <sup>4</sup> )	196,960,000,000.00	
	yt (mm)	741.70	
	Zt (mm <sup>3</sup> )	265,552,110.02	
	yb (mm)	658.30	
	Zb (mm <sup>3</sup> )	299,194,895.94	

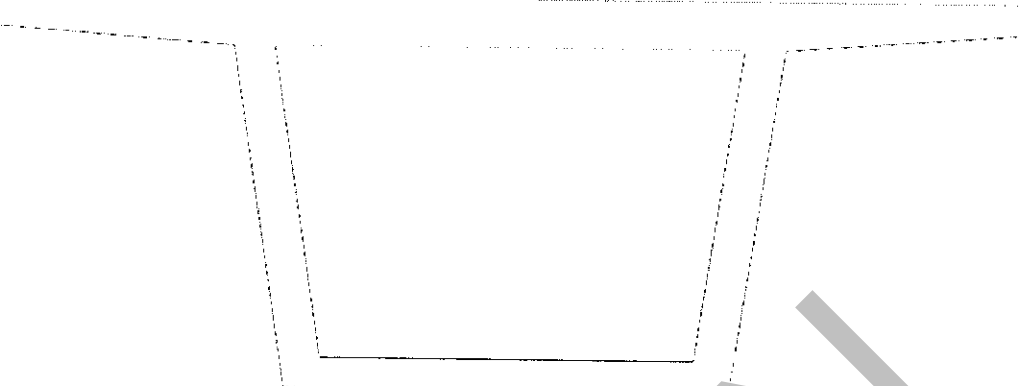
**MANUAL PERENCANAAN STRUKTUR BETON PRATEKAN UNTUK JEMBATAN**

Type	Dimensi		Gambar
H-165	Area (mm <sup>2</sup> )	1,200,900.00	
	Inersia (mm <sup>4</sup> )	315,250,000,000.00	
	yt (mm)	869.60	
	Zt (mm <sup>3</sup> )	362,522,999.08	
	yb (mm)	780.40	
	Zb (mm <sup>3</sup> )	403,959,507.94	
H-185	Area (mm <sup>2</sup> )	1,318,900.00	
	Inersia (mm <sup>4</sup> )	435,420,000,000.00	
	yt (mm)	973.20	
	Zt (mm <sup>3</sup> )	447,410,604.19	
	yb (mm)	876.80	
	Zb (mm <sup>3</sup> )	496,601,277.37	

Penampang I-girder yang tidak disebutkan dalam tabel diatas bisa juga digunakan asalkan memenuhi persyaratan peraturan yang berlaku.

- *Penampang Box-girder*

Box-girder sangat baik menahan pengaruh momen torsi dan secara tipikal tidak memerlukan elemen *bracing*. Penampang box girder juga dapat digunakan untuk bentang yang lebih panjang. Sebagai contoh sebuah jembatan di dekat Tokyo, Jepang menggunakan box girder untuk bentang 240m.



Gambar 1-6 Penampang Box Girder

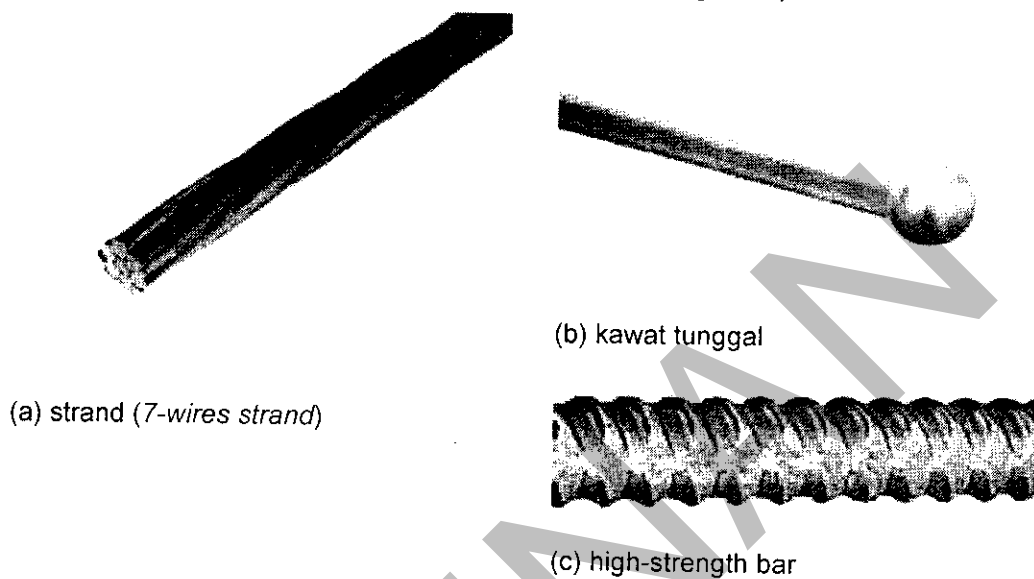
#### 1.6.2 Tulangan Prategang

Kehilangan tegangan akibat rangkak (creep) dan susut (shrinkage) pada beton cukup besar, sehingga pemberian tegangan tekan pada beton akan lebih efektif bila menggunakan baja mutu tinggi dengan kisaran lebih dari 1862 MPa.

- (1) Tendon untuk tulangan prategang harus memenuhi salah satu dari spesifikasi berikut:
  - a) Kawat yang memenuhi "Spesifikasi untuk baja *stress-relieved* tanpa lapisan untuk beton prategang" (ASTM A 421).
  - b) Kawat dengan relaksasi rendah, yang memenuhi "Spesifikasi untuk kawat baja *stress-relieved* tanpa lapisan untuk beton prategang" termasuk suplemen "Kawat dengan relaksasi rendah" (ASTM A 421).
  - c) *Strand* yang sesuai dengan "Spesifikasi untuk *strand* baja, tujuh kawat tanpa lapisan untuk beton prategang" (ASTM A 416M).
  - d) Tulangan, yang sesuai "Spesifikasi untuk baja tulangan mutu tinggi tanpa lapisan untuk beton prategang" (ASTM A 722).
- (2) Kawat, strand, dan batang tulangan yang tidak secara khusus tercakup dalam ASTM A 421, ASTM A 416M, atau ASTM A 722, diperkenankan untuk digunakan bila tulangan tersebut memenuhi persyaratan minimum dari spesifikasi tersebut di atas dan tidak mempunyai sifat yang membuatnya kurang baik dibandingkan dengan sifat-sifat seperti yang terdapat pada ASTM A 421, ASTM A 416, atau ASTM A 722.

#### A. Jenis tulangan prategang

Jenis tulangan prategang dapat berupa kawat tunggal, gabungan kabel yang dipilin membentuk strand, dan tulangan mutu tinggi (high-strength bar).



**Gambar 1-7 Jenis tulangan prategang**



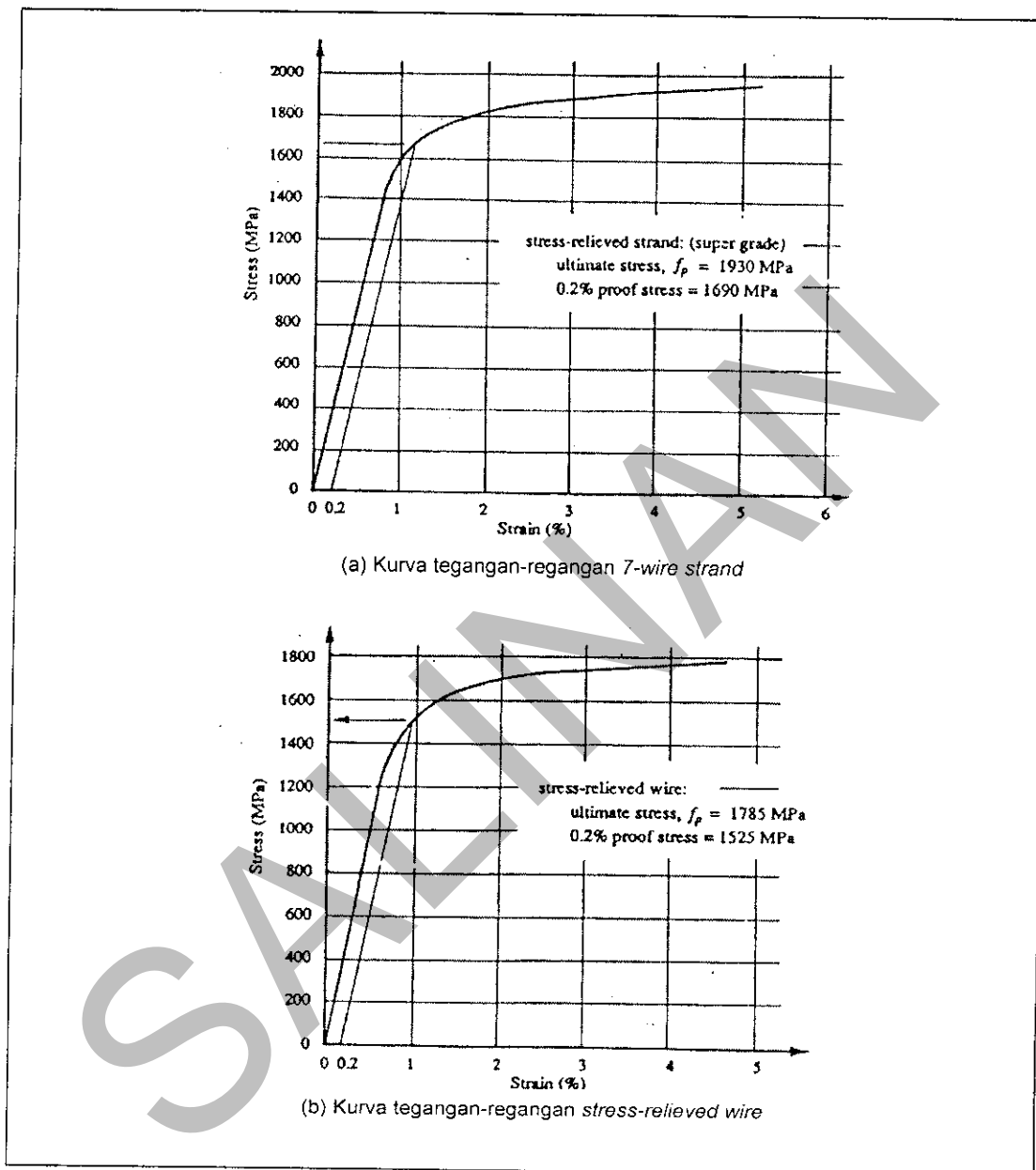
**Gambar 1-8 Strand, Baji dan Kepala Angkur**

## B. Kuat tarik

Kuat tarik baja prategang,  $f_{pu}$  harus ditentukan dari hasil pengujian, atau diambil sebesar mutu baja yang disebutkan oleh fabrikator berdasarkan sertifikat fabrikasi yang resmi.

**Tabel 1-5 Jenis Tulangan Prategang**

Jenis material	Nominal diameter	Luas	Gaya Putus minimum	Tegangan tarik minimum, $f_{pu}$
	mm	mm <sup>2</sup>	kN	MPa
Kawat (wire)	5	19.6	30.4	1550
	5	19.6	33.3	1700
	7	38.5	65.5	1700
7-wire strand super grade	9.3	54.7	102	1860
	12.7	100	184	1840
	15.2	143	250	1750
7-wire strand Regular grade	12.7	94.3	165	1750
Bar	23	415	450	1080
	26	530	570	1080
	29	660	710	1080
	32	804	870	1080
	38	1140	1230	1080



Gambar 1-9 Kurva tegangan-regangan tipikal,  
7-wire strand dan stress-relieved wire

### C. Kuat tarik leleh ekivalen

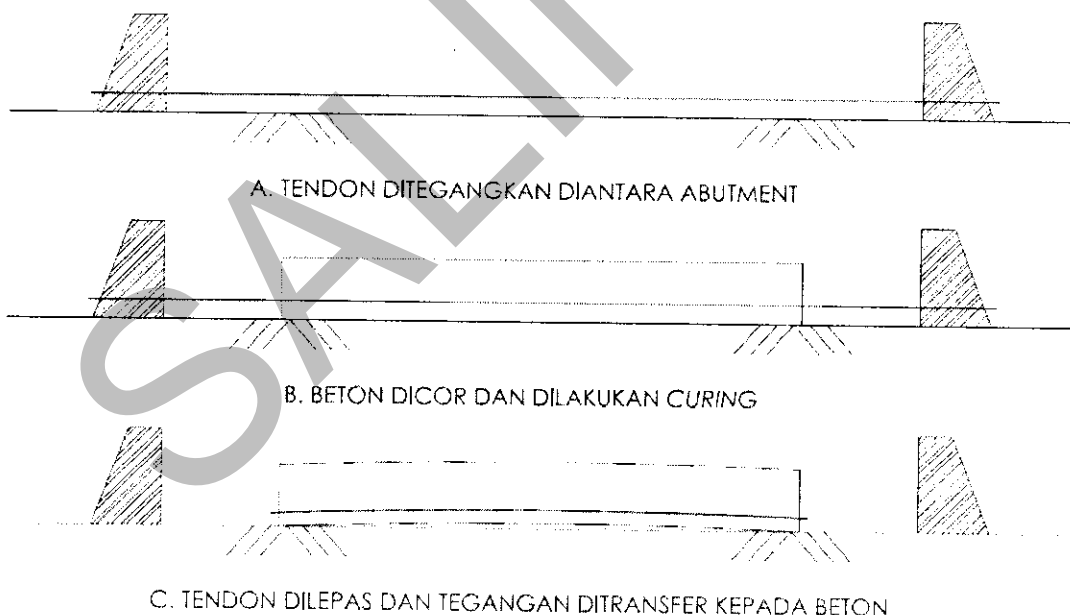
Kuat leleh baja prategang,  $f_{py}$  harus ditentukan dari hasil pengujian atau dianggap sebagai berikut:

- Untuk kawat baja prategang :  $f_{py} = 0,75 f_{pu}$
- Untuk semua kelas strand dan tendon baja bulat :  $f_{py} = 0,85 f_{pu}$

### 1.7 Sistem Penegangan

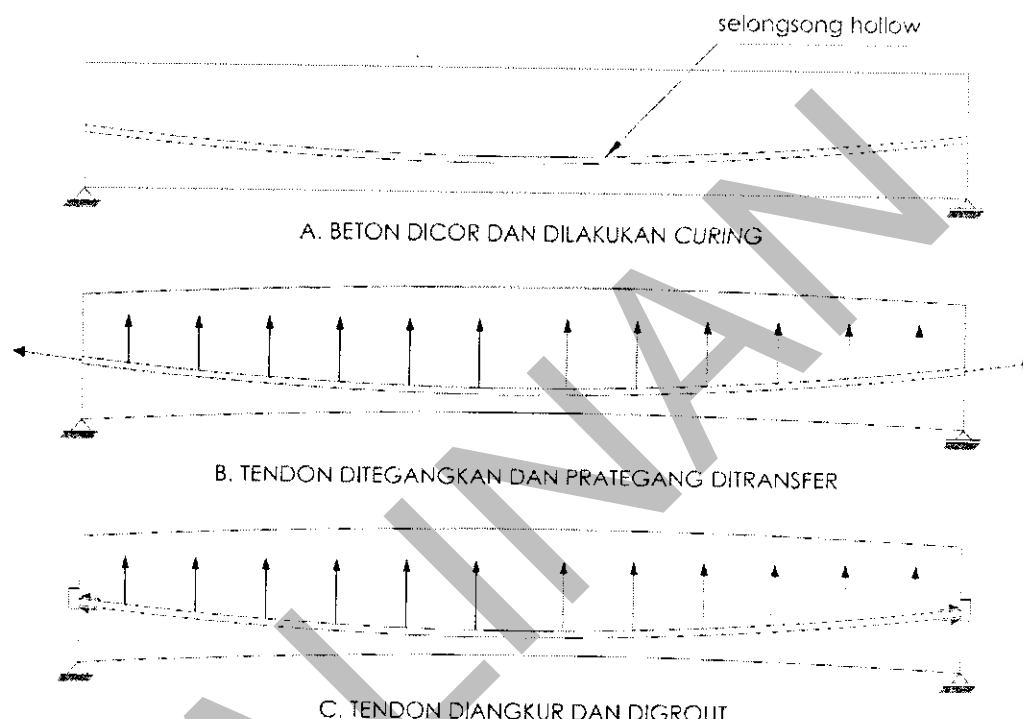
Ditinjau dari segi sistem penegangan terdapat dua cara penegangan pada elemen struktur prategang, yaitu :

1. Pra-tarik (*Pretensioning*), adalah suatu sistem pemberian tegangan tekan pada elemen beton dengan menegangkan kabel prategang terlebih dahulu (biasanya menggunakan *hydraulic-jack*) melalui struktur abutment untuk menahan kabel tersebut, setelah beton dicor dan cukup keras tegangan ditransfer perlahan-lahan.



Gambar 1-10 Prosedur Pra-tarik (*pre-tension*)

2. Pasca-tarik (*post-tensioning*), adalah suatu sistem pemberian tegangan tekan pada elemen beton dengan cara kabel baja ditegangkan pada saat beton telah cukup keras kemudian tegangan ditransfer pada elemen beton tersebut melalui sistem angkur.



Gambar 1-11 Prosedur Pasca-tarik (*post-tension*)

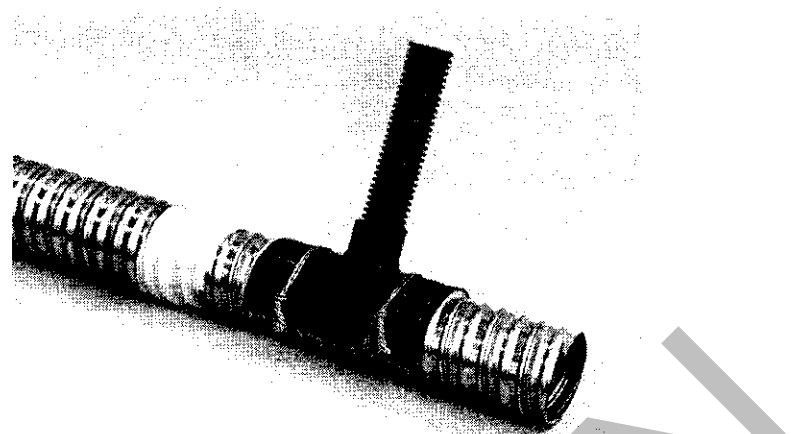
Berdasarkan pada ikatan tendon dengan betonnya, pasca-tarik terbagi menjadi dua bagian :

*Bonded*

Setelah gaya prategang diaplikasikan pada beton, ruang kosong antara lubang dan tendon diisi dengan material *grout*.

*Unbonded*

Setelah gaya prategang diaplikasikan pada beton, ruang kosong antara lubang dan tendon dibiarkan begitu saja. Adapun perlindungan tendon dari korosi biasanya dilakukan dengan sistem pelapisan yang tahan air (*waterproof*).



Gambar 1-12 Corrugated metal duct untuk aplikasi internal grout



Gambar 1-13 Pelaksanaan Grouting Tendon

## 2 PERENCANAAN BERDASARKAN BATAS LAYAN (PBL)

### 2.1 Umum

Dalam perencanaan berdasarkan batas layan struktur dianggap berperilaku elastis linier. Kekuatan rencana yang diizinkan  $R_w$  harus ditentukan berdasarkan persyaratan yang sesuai untuk struktur yang ditinjau (untuk komponen balok, komponen tekan, dan sebagainya).

Keamanan suatu komponen struktur SF ditentukan sedemikian rupa sehingga kuat rencana yang diizinkan  $R_w$  tidak lebih kecil dari pengaruh aksi rencana  $S_w$ .

$$S_w \leq R_w = \frac{\text{Kapasitas\_ultimate}}{\text{SF}}$$

Dengan demikian perencanaan secara PBL dilakukan untuk mengantisipasi suatu kondisi batas layan, yang terdiri antara lain dari:

- Tegangan kerja.
- Deformasi permanen.
- Vibrasi.
- Korosi, retak dan fatik.
- Bahaya banjir di sekitar jembatan.

Kombinasi pembebanan yang dipilih baik kondisi batas maupun layan seharusnya mengikuti kombinasi pembebanan BMS atau SIN Pembebanan untuk jembatan.

### 2.2 Tegangan Izin

#### 2.2.1 Tegangan izin tekan pada kondisi layan

Tegangan tekan izin,  $\overline{\sigma_{cs}} = 0,45 f_c'$  (untuk semua kombinasi beban).

#### 2.2.2 Tegangan izin tekan pada kondisi beban sementara atau kondisi transfer gaya prategang.

Tegangan tekan izin penampang beton,  $\overline{\sigma_{ci}} = 0,60 f_c'$

Dimana:

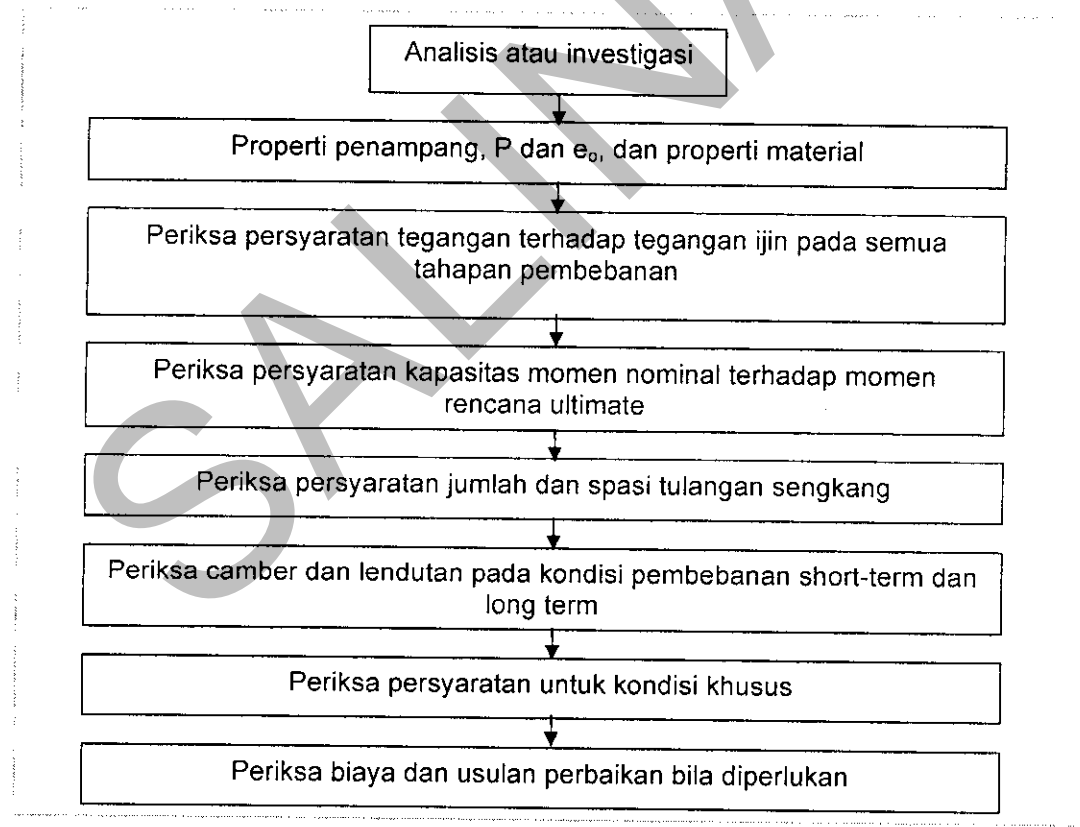
$f_{ci}'$  adalah kuat tekan beton initial pada saat transfer gaya prategang.

#### 2.2.3 Tegangan izin tarik pada kondisi batas layan, $\bar{\sigma}_{ls}$

- Beton tanpa tulangan :  $\bar{\sigma}_{ls} = 0,15 \sqrt{f_c'}$
- Beton prategang penuh :  $\bar{\sigma}_{ls} = 0,5 \sqrt{f_c'}$

#### 2.2.4 Tegangan izin tarik pada kondisi transfer gaya prategang, $\bar{\sigma}_u$

- $0,25 \sqrt{f_c'}$  (selain di perletakan).
- $0,5 \sqrt{f_c'}$  (di perletakan)



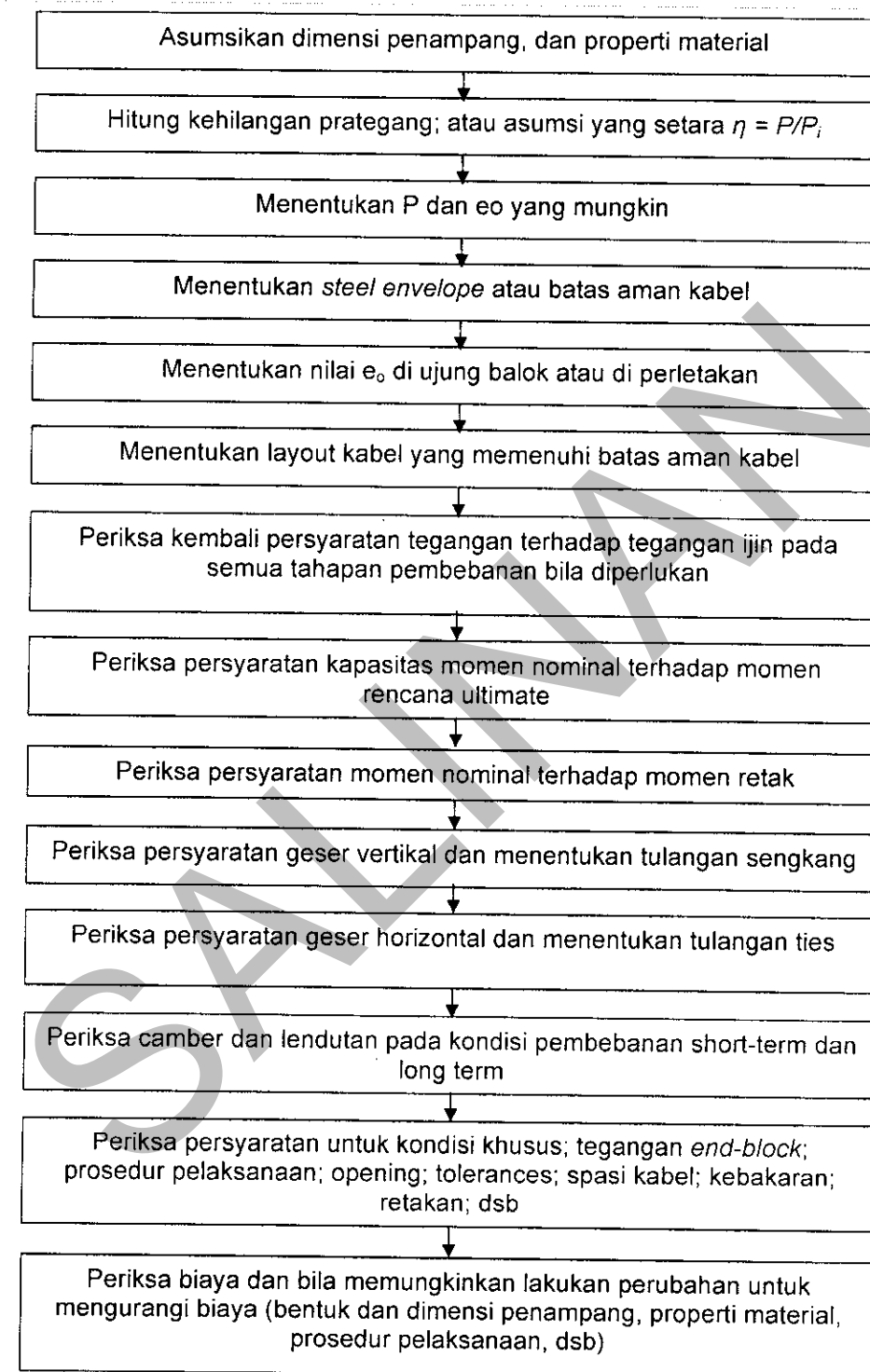
Gambar 2-1 Langkah-langkah analisis atau investigasi lentur dalam PBL

---

---

MANUAL PERENCANAAN STRUKTUR BETON PRATEKAN UNTUK JEMBATAN

---



Gambar 2-2 Langkah-langkah desain lentur dalam PBL

### **2.3 Perjanjian Tanda**

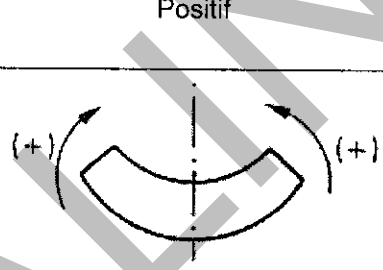
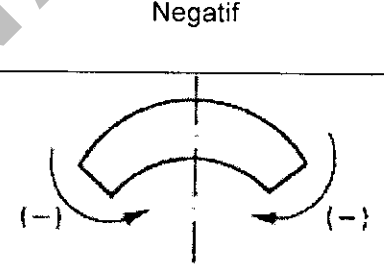
Sekalipun dalam beton prategang efek tekan dan tarik pada kasus sederhana dapat dimengerti, namun penting untuk membuat perjanjian tanda untuk menghindari kesalahan dalam analisis yang kompleks dan sistematis. Hal ini juga penting khususnya bila kita menganalisis dengan bantuan komputer. Perjanjian tanda dalam manual ini secara umum sebagai berikut:

#### **Tegangan**

Tanda (+) untuk tegangan tarik

Tanda (-) untuk tegangan tekan

#### **Momen**

Tanda Momen	Positif	Negatif
Momen Eksternal		
Momen Internal		

#### **Koordinat lokal penampang (untuk $k_t$ , $k_b$ , $e$ )**

Tanda (+) untuk jarak dari pusat penampang (c.g.c) ke arah serat bawah

Tanda (-) untuk jarak dari pusat penampang (c.g.c) ke arah serat atas

Persamaan tegangan pada serat atas dan bawah penampang berkaitan dengan momen lentur dan gaya prategang untuk balok di atas perletakan sederhana dapat dituliskan variatif dalam Tabel 2-1.

**Tabel 2-1 Variasi persamaan tegangan yang disebabkan oleh momen dan gaya prategang**

Pengaruh dari	Serat atas/bawah	Persamaan tegangan
Momen Positif, M	atas	$\sigma_a = -\frac{M \cdot y_t}{I} = -\frac{M}{S_t} = -\frac{M \cdot y_t}{A_c \cdot r^2} = -\frac{M}{A_c \cdot k_b}$
	bawah	$\sigma_b = \frac{M \cdot y_b}{I} = \frac{M}{S_b} = \frac{M \cdot y_b}{A_c \cdot r^2} = \frac{M}{A_c \cdot k_t}$
Gaya prategang, P dengan eksentrisitas $e_o$ ke arah serat bawah.	atas	$\begin{aligned} \sigma_a &= -\frac{P}{A_c} + \frac{P \cdot e_o \cdot y_t}{I} = -\frac{P}{A_c} \left( 1 - \frac{e_o \cdot y_t}{r^2} \right) \\ &= -\frac{P}{A_c} \left( 1 - \frac{e_o}{k_b} \right) = -\frac{P}{A_c} \left( 1 - \frac{e_o \cdot A_c}{S_t} \right) \\ &= -\frac{P}{S_t} (k_b - e_o) \end{aligned}$
	bawah	$\begin{aligned} \sigma_b &= -\frac{P}{A_c} - \frac{P \cdot e_o \cdot y_t}{I} = -\frac{P}{A_c} \left( 1 + \frac{e_o \cdot y_t}{r^2} \right) \\ &= -\frac{P}{A_c} \left( 1 + \frac{e_o}{k_t} \right) = -\frac{P}{A_c} \left( 1 + \frac{e_o \cdot A_c}{S_b} \right) \\ &= -\frac{P}{S_b} (e_o - k_t) \end{aligned}$

Dimana notasi-notasi di atas sebagai berikut:

- I = momen inersia penampang
- $y_t$  = jarak dari pusat penampang (c.g.c) ke serat atas terluar
- $y_b$  = jarak dari pusat penampang (c.g.c) ke serat bawah terluar
- $\sigma$  = tegangan dalam beton secara umum
- $S_t$  =  $I/y_t$  = modulus penampang pada serat atas
- $S_b$  =  $I/y_b$  = modulus penampang pada serat bawah

$r = \sqrt{I/A_c}$  = modulus penampang pada serat bawah

$k_t = -I/(A_c y_b) = -S_b/A_c = -r^2/y_b$  = jarak dari cgc ke batas atas kern.

$k_b = I/(A_c y_t) = S_t/A_c = r^2/y_t$  = jarak dari cgc ke batas bawah kern.

## 2.4 Rumus Umum Perhitungan Tegangan

Kondisi awal:

$$\sigma_s = -\frac{P_i}{A_c} + \frac{P_i \cdot e_o \cdot y_t}{I} - \frac{M_{\min} \cdot y_t}{I} \leq \bar{\sigma}_s$$

$$\sigma_b = -\frac{P_i}{A_c} - \frac{P_i \cdot e_o \cdot y_b}{I} + \frac{M_{\min} \cdot y_t}{I} \geq \bar{\sigma}_b$$

Kondisi layan:

$$\sigma_s = -\frac{P}{A_c} + \frac{P \cdot e_o \cdot y_t}{I} - \frac{M_{\max} \cdot y_t}{I} \geq \bar{\sigma}_{cs}$$

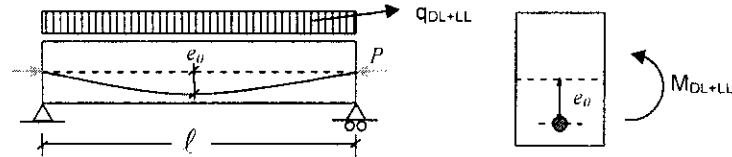
$$\sigma_b = -\frac{P}{A_c} - \frac{P \cdot e_o \cdot y_b}{I} + \frac{M_{\max} \cdot y_t}{I} \leq \bar{\sigma}_{ts}$$

Keterangan :

$M_{\min}$  = momen maksimum yang bekerja pada kondisi awal, biasanya momen akibat berat sendiri balok pada saat transfer

$M_{\max}$  = momen total maksimum yang bekerja pada kondisi akhir atau layan

Contoh 2.1: Berikut ini adalah Balok di atas perletakan sederhana. Contoh ini hanya sebagai ilustrasi perhitungan saja untuk penyederhanaan. Dalam prakteknya bentuk penampang dan beban lebih rumit namun prinsipnya sama.



Diketahui :

$$P := 525\text{kN} \quad (\text{gaya prategang setelah semua losses})$$

$$L := 12\text{m} \quad e_0 := 200\text{mm}$$

$$b := 300\text{mm} \quad h := 600\text{mm}$$

$$\text{Mutu beton} \quad f_c := 50\text{MPa}$$

### 1. Hitung tegangan ijin

Tegangan ijin layan

$$\sigma_{ts} := 0.5 \cdot \sqrt{f_c \cdot \text{MPa}} \quad \sigma_{ts} = 3.536 \text{ MPa} \quad (\text{tarik})$$

$$\sigma_{cs} := -0.45 \cdot f_c \quad \sigma_{cs} = -22.5 \text{ MPa} \quad (\text{tekan})$$

Tegangan ijin initial

$$\sigma_{ti} := 0.25 \cdot \sqrt{f_c \cdot \text{MPa}} \quad \sigma_{ti} = 1.768 \text{ MPa} \quad (\text{tarik})$$

$$\sigma_{ci} := -0.6 \cdot f_c \quad \sigma_{ci} = -30 \text{ MPa} \quad (\text{tekan})$$

### 2. Hitung Momen lentur

Beban mati sendiri

$$q_{DL} := b \cdot h \cdot 25 \frac{\text{kN}}{\text{m}^3} \quad q_{DL} = 4.5 \frac{\text{kN}}{\text{m}}$$

$$M_{DL} := \frac{1}{8} \cdot q_{DL} \cdot L^2 \quad M_{DL} = 81 \text{ kN}\cdot\text{m}$$

Beban hidup

$$q_L := 4 \frac{\text{kN}}{\text{m}}$$

$$M_L := \frac{1}{8} \cdot q_L \cdot L^2 \quad M_L = 72 \text{ kN}\cdot\text{m}$$

Momen total

$$M_{max} := M_{DL} + M_L \quad M_{max} = 153 \text{ kN}\cdot\text{m}$$

**3. Hitung Properti Penampang**

$$I := \frac{b \cdot h^3}{12} \quad I = 5.4 \times 10^9 \text{ mm}^4$$

$$A_c := b \cdot h \quad A_c = 1.8 \times 10^5 \text{ mm}^2$$

$$y_t := \frac{h}{2} \quad y_t = 300 \text{ mm}$$

$$y_b := \frac{h}{2} \quad y_b = 300 \text{ mm}$$

$$S_t := \frac{I}{y_t} \quad S_t = 1.8 \times 10^7 \text{ mm}^3$$

$$S_b := \frac{I}{y_b} \quad S_b = 1.8 \times 10^7 \text{ mm}^3$$

$$k_t := -\frac{S_b}{A_c} \quad k_t = -100 \text{ mm}$$

$$k_b := \frac{S_t}{A_c} \quad k_b = 100 \text{ mm}$$

**4. Periksa tegangan pada serat atas dan bawah kondisi transfer**

$$\text{di midspan} \quad e := e_0 \quad e = 200 \text{ mm}$$

$$\text{asumsi : } \eta := 0.83 \quad P_i := \frac{P}{\eta}$$

$$\sigma_a := \frac{-P_i}{A_c} + \frac{P_i \cdot e}{S_t} - \frac{M_{DL}}{S_t} \quad \sigma_a = -0.986 \text{ MPa} \leq \sigma_{ti} = 1.768 \text{ MPa}$$

(tarik)

$$\sigma_b := \frac{-P_i}{A_c} - \frac{P_i \cdot e}{S_b} + \frac{M_{DL}}{S_b} \quad \sigma_b = -6.042 \text{ MPa} \geq \sigma_{ci} = -30 \text{ MPa}$$

(tekan)

**5. Periksa tegangan pada serat atas dan bawah kondisi layan**

$$\text{di midspan } e := e_0 \quad e = 200\text{mm}$$

$$\sigma_a := \frac{-P}{A_c} + \frac{P \cdot e}{S_t} - \frac{M_{max}}{S_t} \quad \sigma_a = -5.583 \text{ MPa} \geq \sigma_{cs} = -22.5 \text{ MPa}$$

(tekan)

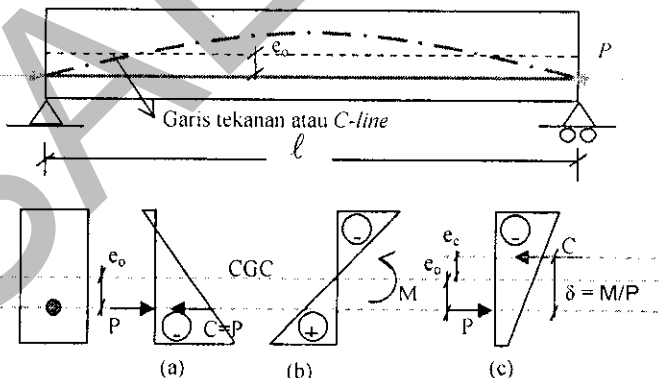
$$\sigma_b := \frac{-P}{A_c} - \frac{P \cdot e}{S_b} + \frac{M_{max}}{S_b} \quad \sigma_b = -0.25 \text{ MPa} \leq \sigma_{ts} = 3.536 \text{ MPa}$$

(tarik)

## 2.5 Profil Kabel

### 2.5.1 Garis tekanan atau C-line

Sebelum momen luar bekerja, gaya tekan penampang beton C besarnya sama dengan gaya prestressnya  $P$  dan garis kerjanya sama dengan  $P$  (gambar 3-3(a)). Bila momen luar sudah bekerja diagram tegangan menjadi seperti ditunjukkan gambar 3-3(b). Hasil superposisi diagram tegangan akibat prategang dan diagram tegangan akibat momen luar menjadi seperti ditunjukkan gambar 3-3(c).



**Gambar 2-3 Garis tekanan atau C-line**

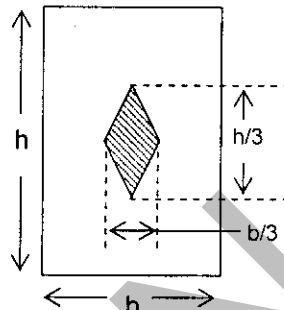
Dari gambar 3-3(c) dapat ditunjukkan juga bahwa posisi gaya C terhadap garis berat penampang (CGC) adalah  $e_c$  yang dapat dihitung sebagai berikut:

$$e_c = e_0 - \frac{M}{P}$$

Untuk statis tertentu, nilai  $e_c = e_0$  bila tak ada beban luar yang bekerja. Namun tidak demikian pada statis tak tentu. Pembahasan statis tak tentu dapat dilihat pada Bab 5.

### 2.5.2 Central kern versus limit kern

*Central kern* adalah daerah sepanjang balok prategang dimana gaya aksial tekan tidak akan menyebabkan tegangan tarik di serat atas maupun bawah. Hal ini dapat terjadi bila garis kerja C berada pada  $k_t$  dan  $k_b$ .



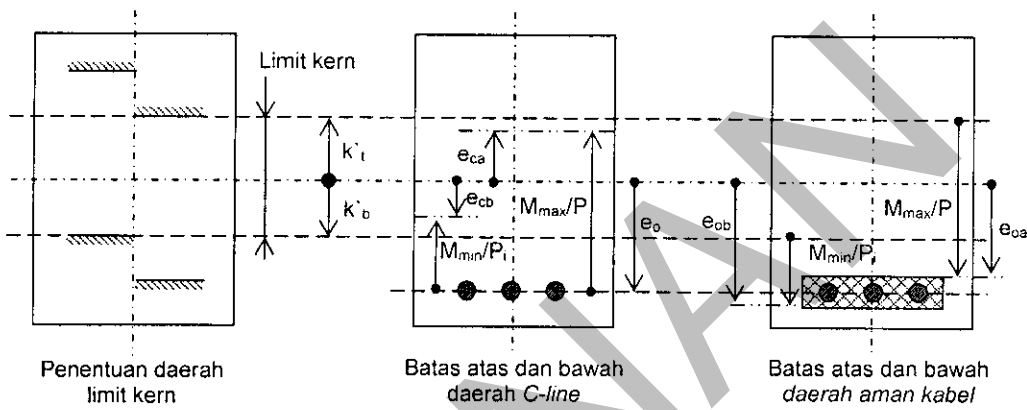
**Gambar 2-4 Central kern**

Sedangkan *limit kern* adalah daerah sepanjang balok dimana gaya aksial tekan tidak akan menyebabkan tegangan yang melebihi tegangan izinnya (baik tarik maupun tekan).

*Limit kern* diperoleh dari pertidaksamaan tegangan pada sub bab 3.3. Bila ruas kiri dan kanannya persamaan tegangan pada sub bab 3.3 dikalikan dengan  $A_c/P_i$  atau  $A_c/P$  dan mendefinikan  $\sigma_{gi} = P_i/A_c$  atau,  $\sigma_{gi} = P/A_c$  maka persamaan dapat ditulis kembali menjadi sebagai berikut:

$$\left. \begin{aligned} e_0 - \frac{M_{min}}{P_i} &\leq k_b \left( \frac{\overline{\sigma}_b}{\sigma_{gi}} + 1 \right) \\ e_0 - \frac{M_{min}}{P_i} &\leq k_t \left( \frac{\overline{\sigma}_{ci}}{\sigma_{gi}} + 1 \right) \end{aligned} \right\} k_b$$

$$\left. \begin{aligned} e_0 - \frac{M_{\max}}{P} &\geq k_b \left( \sqrt{\frac{\sigma_{cs}}{\sigma_g}} + 1 \right) \\ e_0 - \frac{M_{\max}}{P} &\geq k_t \left( \sqrt{\frac{\sigma_{ts}}{\sigma_g}} + 1 \right) \end{aligned} \right\} k_i$$



**Gambar 2-5 Limit kern dan daerah aman kabel**

### 2.5.3 Daerah aman kabel

Daerah aman kabel adalah daerah sepanjang balok dimana bila kabel ditempatkan pada daerah tersebut tidak akan menyebabkan terjadinya tegangan yang melebihi tegangan izinnya (baik tarik maupun tekan).

Dari persamaan di atas dapat diperoleh:

$$e_0 - \frac{M_{\max}}{P} \geq k_t$$

$$e_0 - \frac{M_{\min}}{P} \leq k_b$$

Maka nilai  $e_0$  berada pada

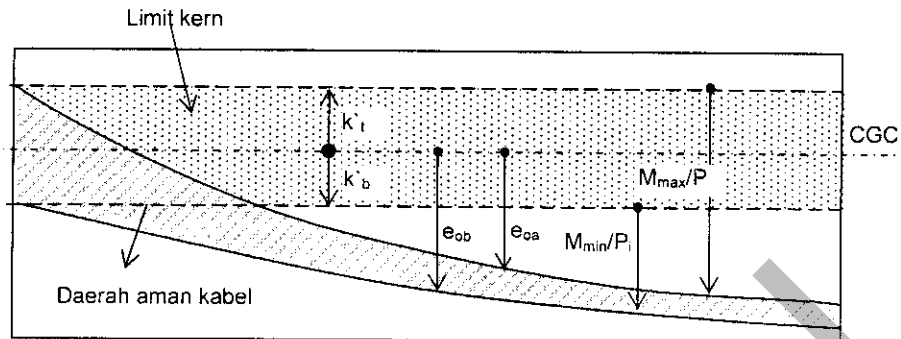
$$k_t + \frac{M_{\max}}{P} \leq e_0 \leq k_b + \frac{M_{\min}}{P}$$

Daerah aman atas ( $e_{oa}$ ) dan bawah ( $e_{ob}$ ) didefinisikan sebagai berikut:

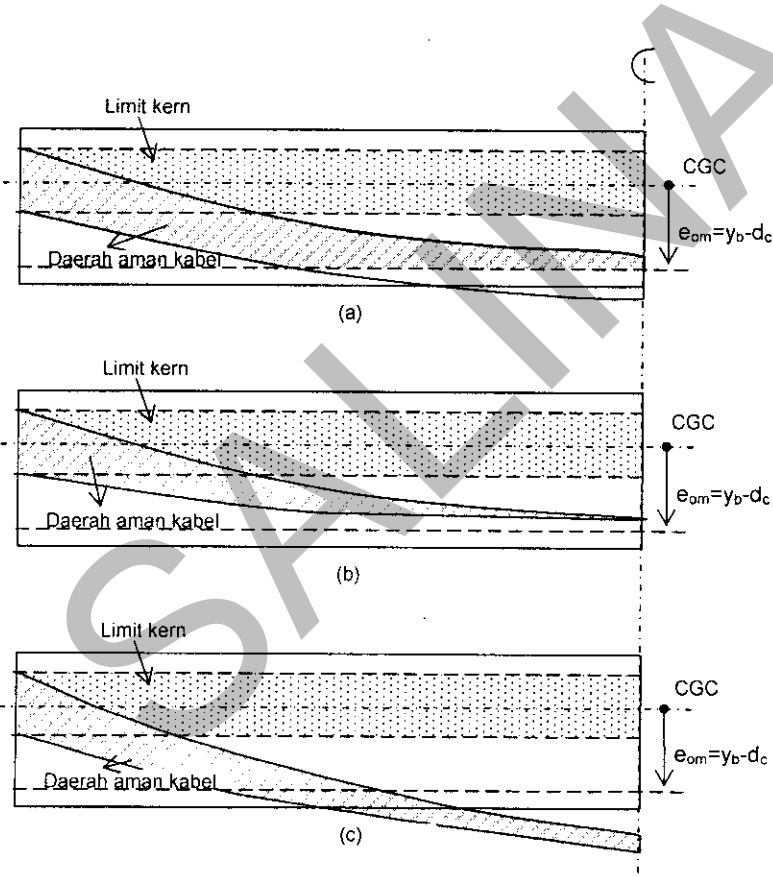
$$e_{oa} = k_t + \frac{M_{\max}}{P}$$

$$e_{ob} = k_b + \frac{M_{\min}}{P}$$

Hubungan limit kern dengan daerah aman diperlihatkan pada gambar 3-6.



**Gambar 2-6 Hubungan limit kern dengan daerah aman kabel**



**Gambar 2-7 Bentuk tipikal daerah aman kabel**

- (a). Desain normal
- (b). Desain optimum (hanya ada satu solusi P dan  $e_o$ ).
- (c). Penampang tidak kuat (preliminary).

Contoh 2.2:

Balok pada Contoh 2.1 akan digunakan untuk menghitung daerah *limit kern* dan daerah aman kabel.

1. Tegangan akibat prategang

$$\sigma_g := \frac{P}{A_c} \quad \sigma_g = 2.917 \text{ MPa}$$

$$\sigma_{gi} := \frac{P_i}{A_c} \quad \sigma_{gi} = 3.514 \text{ MPa}$$

2. Limit Kern

$$k'_t := \max \left[ k_b \left( \frac{\sigma_{cs}}{\sigma_g} + 1 \right), k_t \left( \frac{\sigma_{ts}}{\sigma_g} + 1 \right) \right] \quad k'_t = -0.221 \text{ m}$$

$$k'_b := \min \left[ k_b \left( \frac{\sigma_{ti}}{\sigma_{gi}} + 1 \right), k_t \left( \frac{\sigma_{ci}}{\sigma_{gi}} + 1 \right) \right] \quad k'_b = 0.15 \text{ m}$$

3. Daerah aman kabel

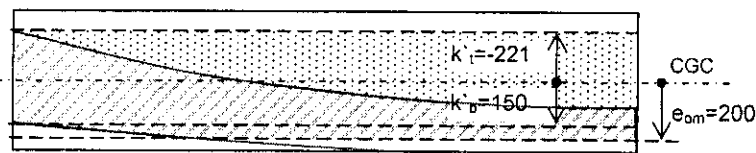
$$e_{oa} := k'_t + \frac{M_{max}}{P} \quad e_{oa} = 70.21 \text{ mm}$$

$$e_{ob} := k'_b + \frac{M_{DL}}{P_i} \quad e_{ob} = 278.363 \text{ mm}$$

$$dc := 100 \text{ mm}$$

$$e_{om} := y_b - dc \quad e_{om} = 200 \text{ mm}$$

Jadi daerah aman kabel berada pada  $70.21 \text{ mm} \leq e_o \leq 200 \text{ mm}$



## 2.6 Lendutan dan camber

Karena adanya eksentrisitas kabel prategang, elemen balok prategang biasanya melengkung ke atas pada saat momen luar yang bekerja masih kecil. Defleksi ke atas ini disebut *camber*. Nilai camber ini dapat membesar atau mengecil dengan bertambahnya waktu. Sebaliknya beban luar yang bekerja akan menyebabkan defleksi ke bawah pada balok.

Perjanjian tanda untuk defleksi diatur sebagai berikut:

(+) defleksi atau melendut ke bawah

(-) defleksi atau melendut ke atas

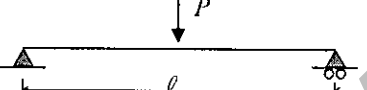
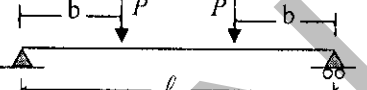
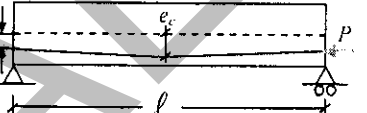
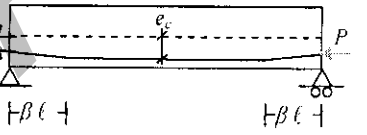
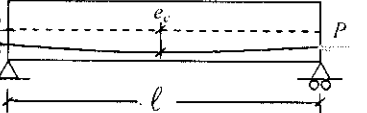
Dalam perencanaan, besarnya defleksi ke atas dan ke bawah harus diperiksa dan dibatasi agar tidak melampui batas defleksi yang diizinkan. Khusus untuk jembatan, acuan mengenai batasan defleksi tersebut dapat dilihat pada Tabel 2-2 (BMS).

**Tabel 2-2 Batasan Defleksi Berdasarkan BMS ( $l$  = panjang bentang)**

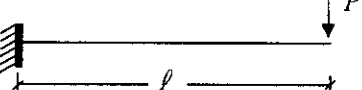
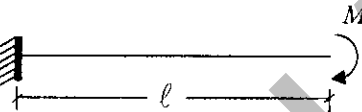
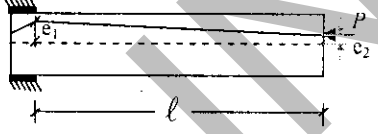
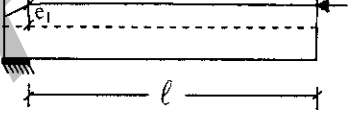
Jenis Elemen	Defleksi yang Ditinjau	Defleksi Maksimum yang Diizinkan	
		Beban Kendaraan	Beban Kendaraan + Pejalan Kaki
Bentang sederhana atau menerus	Defleksi seketika akibat beban hidup layan dan beban impak	$\ell /800$	$\ell /1000$
Kantilever		$\ell /400$	$\ell /375$

Untuk elemen beton prategang yang belum retak, defleksi dan camber dapat dihitung dengan menggunakan persamaan elastis seperti yang diperlihatkan pada Tabel 2-3 dan Tabel 2-4.

**Tabel 2-3 Defleksi Akibat Pembebanan dan Gaya Prategang Pada Balok Sederhana.**

Kondisi Pembebanan dan Profil Tendon		Defleksi di Tengah Bentang $\Delta$
Beban Merata		$\Delta = \frac{5}{384} \frac{w\ell^4}{EI}$
Beban Terpusat (1)		$\Delta = \frac{1}{48} \frac{P\ell^3}{EI}$
Beban Terpusat (2)		$\Delta = \frac{1}{24} \frac{Pb(3\ell^2 - 4b^2)}{EI}$
Eksentrisitas Konstan		$\Delta = \frac{1}{8} \frac{Pe\ell^2}{EI}$
Titik Harping Tunggal		$\Delta = \frac{2e_c + e_e}{24} \frac{P\ell^2}{EI}$
Titik Harping Ganda		$\Delta = \left[ \frac{e_c}{8} - \frac{\beta^2}{6}(e_c - e_e) \right] \frac{P\ell^2}{EI}$
Profil Parabola		$\Delta = \left[ e_e + \frac{5}{6}(e_c - e_e) \right] \frac{P\ell^2}{8EI}$

**Tabel 2-4 Defleksi Akibat Pembebanan dan Gaya Prategang Pada balok kantilever**

Kondisi Pembebanan dan Profil Tendon		Defleksi di Tengah Bentang $\Delta$
Beban Merata		$\Delta = \frac{1}{8} \frac{w\ell^4}{EI}$
Beban Terpusat		$\Delta = \frac{1}{3} \frac{P\ell^3}{EI}$
Beban Momen		$\Delta = \frac{1}{2} \frac{M\ell^2}{EI}$
Eksentrisitas gradual		$\Delta = - \frac{P\ell^2}{2EI} \left( e_2 + \frac{2(e_1 - e_2)}{3} \right)$
Eksentrisitas parabolik		$\Delta = - \frac{Pe_1\ell^2}{4EI}$
Eksentrisitas konstan		$\Delta = - \frac{Pe_1\ell^2}{4EI}$

Pengaruh jangka panjang akibat rangak dan susut pada estimasi camber dan defleksi dapat diperhitungkan dengan menerapkan faktor pengali pada Tabel 2-5.

**Tabel 2-5 Faktor Pengali untuk Perhitungan Camber dan Defleksi Jangka Panjang**

	Tanpa Topping Komposit	Dengan Topping Komposit
Pada Tahapan Ereksi		
(1) Komponen defleksi - diberlakukan pada defleksi elastik akibat berat sendiri.	1,85	1,85
(2) Komponen camber - diberlakukan pada camber elastik akibat prategang.	1,80	1,80
Pada Tahapan Akhir		
(3) Komponen defleksi - diberlakukan pada defleksi elastik akibat berat sendiri.	2,70	2,40
(4) Komponen camber - diberlakukan pada defleksi camber elastik akibat prategang.	2,45	2,20
(5) Defleksi - diberlakukan pada defleksi elastik akibat beban mati tambahan.	3,00	3,00
(6) Defleksi - diberlakukan pada defleksi elastik yang disebabkan topping komposit.	-	2,30

Untuk penampang yang retak, penggunaan momen inersia  $I_g$  dalam perhitungan defleksi akan menghasilkan nilai defleksi dan camber yang lebih kecil dari yang seharusnya. Oleh karena itu, Nilai  $I_g$  hanya boleh digunakan pada penampang yang belum retak, sedangkan pada penampang yang retak harus digunakan nilai inersia retak ( $I_{cr}$ ). Cara yang lebih sederhana untuk menghitung defleksi pada balok yang sebagian penampangnya sudah mengalami retak adalah dengan menggunakan konsep momen inersia efektif yang merupakan nilai inersia rata-rata di sepanjang bentang balok.

Contoh 2.3:

Balok pada Contoh 2.1 akan digunakan untuk memeriksa lendutan.

Diketahui :

Mutu beton initial

$$f_c = 50 \text{ MPa}$$

$$f_{ci} := 0.65 \cdot f_c \quad f_{ci} = 32.5 \text{ MPa}$$

Modulus elastisitas beton

$$E_c := 4700 \cdot \sqrt{f_c \cdot (\text{MPa})} \quad E_c = 33234.019 \text{ MPa}$$

$$E_{ci} := 4700 \cdot \sqrt{f_{ci} \cdot (\text{MPa})} \quad E_{ci} = 26794.122 \text{ MPa}$$

Beban layan

$$\text{beban mati } q_{DL} = 4.5 \frac{\text{kN}}{\text{m}}$$

$$\text{beban hidup } q_L = 2.5 \frac{\text{kN}}{\text{m}}$$

**a. Lendutan awal (*initial*)**

Chamber akibat prestress saja  $e = 0.2 \text{ m}$

$$\Delta_{pi} := \frac{-5 \cdot P_i \cdot e \cdot L^2}{48 \cdot E_{ci} \cdot I} \quad \Delta_{pi} = -13.115 \text{ mm (ke atas)}$$

defleksi akibat berat sendiri

$$\Delta_{bs} := \frac{5}{384} \cdot \frac{(q_{DL}) \cdot L^4}{E_c \cdot I} \quad \Delta_{bs} = 6.77 \text{ mm (ke bawah)}$$

defleksi jangka panjang oleh PCI Multipliers

$$\Delta_1 := 1.85 \cdot \Delta_{bs} + 1.8 \cdot \Delta_{pi} \quad \Delta_1 = -11.082 \text{ mm (ke atas)}$$

**b. Lendutan akhir**

defleksi akibat beban hidup merata,  $q_{LL}$

$$\Delta_L := \frac{5}{384} \cdot \frac{(q_L) \cdot L^4}{E_c \cdot I} \quad \Delta_L = 3.761 \text{ mm (ke bawah)}$$

$$\text{kontrol defleksi, } \Delta_L < \frac{L}{800} = 15 \text{ mm OK !}$$

defleksi jangka panjang total :

$$\Delta_2 := 2.45 \cdot \Delta_{pi} + 2.7 \cdot \Delta_{bs} \quad \Delta_2 = -13.852 \text{ mm (ke atas)}$$

defleksi total

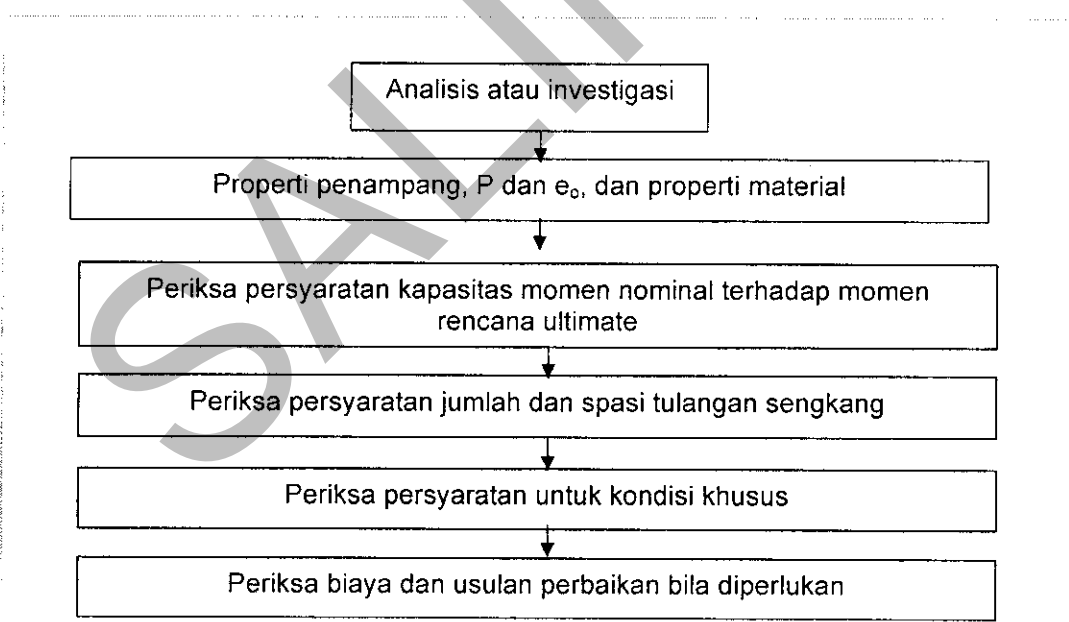
$$\Delta_{tot} := \Delta_2 - \Delta_1 + \Delta_L \quad \Delta_{tot} = 0.991 \text{ mm (ke bawah)}$$

### 3 PERENCANAAN BERDASARKAN BATAS KEKUATAN TERFAKTOR (PBKT)

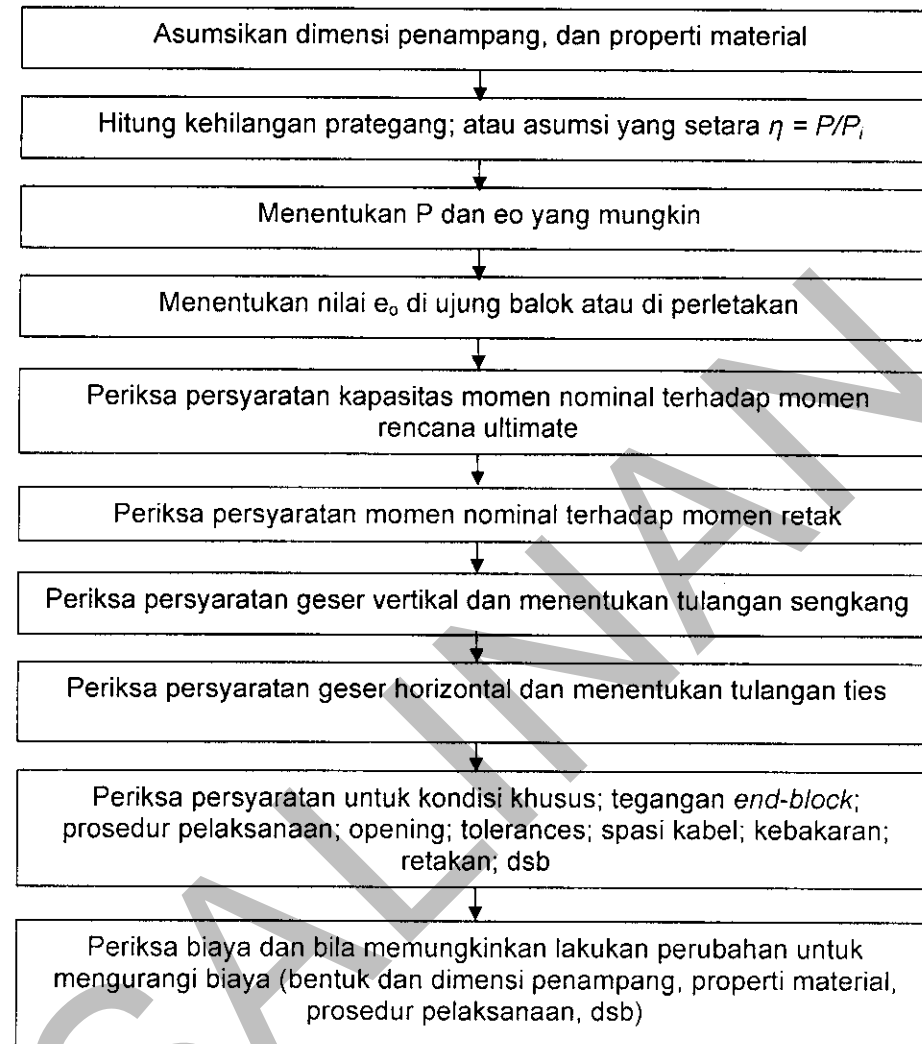
#### 3.1 Umum

Analisis atau investigasi elemen struktur prategang berdasarkan batas kekuatan terfaktor (PBKT) seperti terlihat pada gambar 3.1 meliputi sebagai berikut :

1. Pemilihan tipe penampang (misalnya untuk balok terdapat I, Box) sebagai preliminari desain. Jembatan dengan bentang standar yaitu kurang dari 50 m sebaiknya menggunakan penampang standard dari binamarga atau penampang lainnya yang dapat disetujui direksi teknik.
2. Tentukan gaya prategang,  $P$  dari jumlah kabel dan tegangan putus kabel.
3. Tentukan eksentrisitas kabel,  $e_o$ .
4. Hitung momen nominal penampang beton prategang (lihat sub bab 3.2).
5. Periksa momen kapasitas lebih besar momen ultimate rencana,  $\phi M_n \geq M_u$
6. Periksa jumlah dan spasi tulangan geser terhadap gaya geser rencana,  $V_u$



Gambar 3.1 Langkah-langkah analisis atau investigasi lentur dalam PBKT



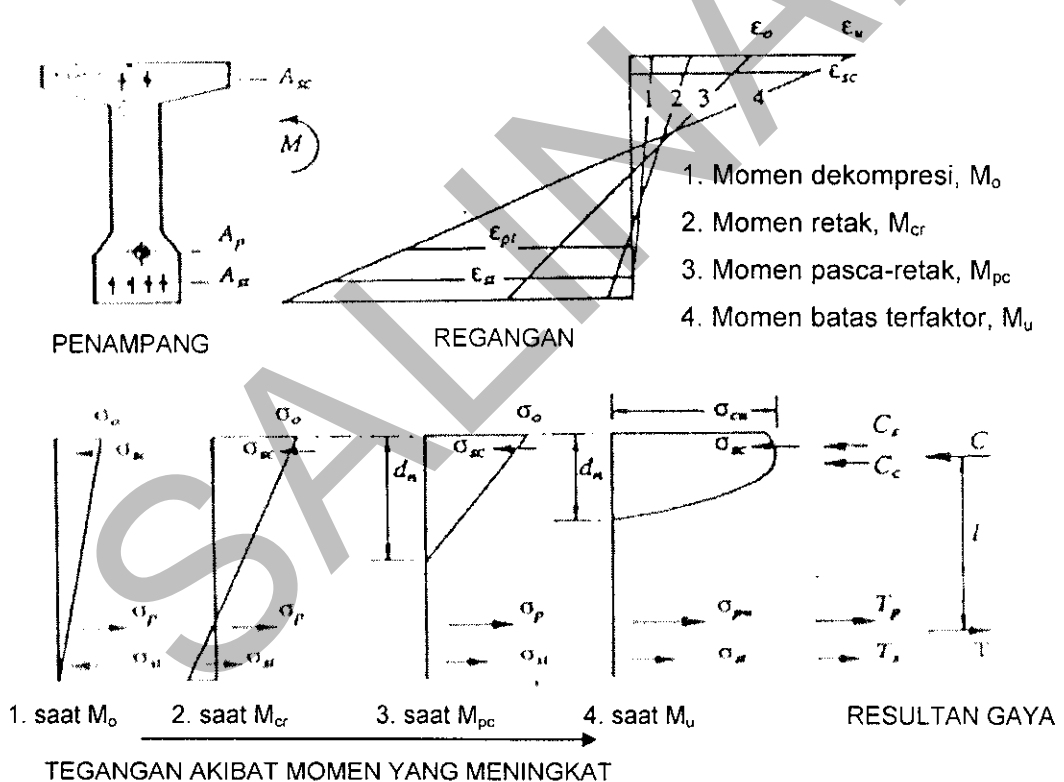
Gambar 3.2 Langkah-langkah dalam desain lentur

Berbeda dengan analisis yang harus sesuai benar dengan kondisi penampang yang ada, mendesain sebuah elemen lentur beton prategang berarti menentukan jumlah kabel prategang, profile kabel prategang, memeriksa kapasitas momen lentur dan geser, tegangan end-block yang bersifat trial and error berbentuk siklus sampai semua persyaratan lentur dan geser terpenuhi. Langkah-langkah desain lentur balok prategang dapat dilihat pada gambar 3.2

### 3.2 Momen nominal lentur, $M_n$

Kekuatan batas nominal lentur adalah kekuatan penampang beton dalam menahan kombinasi beban terfaktor (beban *ultimate*).

Prinsip dan teori perencanaan beton prategang dalam PBKT pada dasarnya sama dengan beton bertulang bila mana momen lentur yang terjadi melebihi momen retaknya  $M_{cr}$  dan momen layan total  $M_T$ . Sama halnya dengan beton bertulang, filosofi perencanaan mensyaratkan bahwa elemen struktur beton tidak mengalami keruntuhan (*failure*) sebelum kapasitas rencana tercapai, dan juga mensyaratkan elemen struktur tersebut mempunyai daktilitas yang cukup sebelum runtuhan.



Gambar 3-3 Perilaku Beton Prategang terhadap Momen yang Meningkat

Berikut ini akan dijelaskan penampang beton prategang berdasarkan perencanaan batas kekuatan terfaktor seperti dalam Gambar 3-3. Penampang tersebut berisi tulangan

beton non-prategang tarik dan tekan, dan tulangan prategang terlekat (*bonded*). Ditunjukkan pula dalam gambar tersebut distribusi tegangan dan regangan untuk empat jenis nilai berbeda momen yang teraplikasi. Dengan meningkatnya momen dari level layan (service level) sampai mencapai batas *overload*, garis netral,  $c$  meningkat secara bertahap dan pada akhirnya perilaku material beton menjadi *non-linear*. Baja tulangan non-prategang tarik akan mengalami leleh bila regangan baja,  $\epsilon_{st}$  mencapai regangan lelehnya ( $\epsilon_y = f_y/E_s$ ), tulangan prategang akan memasuki bagian non-linear dalam kurva tegangan-regangan seiring dengan meningkatnya  $\epsilon_p$  regangan prategang, dan distribusi tegangan tekan beton menjadi non linear bila tegangan pada serat tekan terluar melebihi nilai sekitar  $0.5f_c$ .

Pada saat beban *ultimate tercapai*, tegangan aktual beton non-linear yang berbentuk parabolik menurut peraturan RSNI T-12-2004 dapat diidealisisasi menjadi persegi dengan besar tegangan  $\sigma_{cu} = 0.85f_c$  dan tinggi blok tekan,  $a = \beta_1 * c$ .

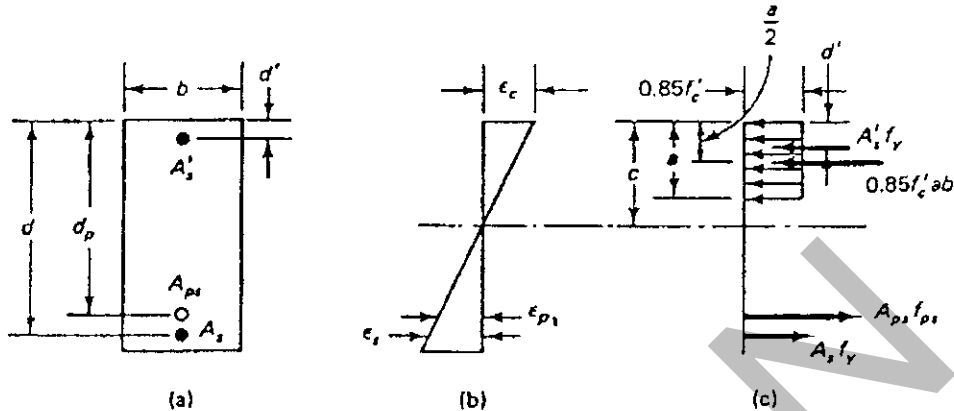
Untuk memenuhi prinsip keseimbangan gaya-gaya horizontal, Resultan gaya-gaya tekan C dan resultan gaya-gaya tarik T pada gambar 3-1 haruslah seimbang satu sama lainnya. Persamaan ini dapat dituliskan sebagai berikut:

$$T = C \quad (3-1)$$

Kapasitas momen *ultimate* dihasilkan dari kopel gaya-gaya internal (T dan C), sebagai berikut:

$$M_u = C l = T l \quad (3-2)$$

### 3.2.1 Momen Nominal Penampang persegi



**Gambar 3-4 Regangan, tegangan dan gaya penampang persegi**  
 (a)penampang (b)regangan (c) tegangan dan gaya

Persamaan keseimbangan (equilibrium) gaya horizontal,

$$T = C$$

$$A_s f_y + A_{ps} f_{ps} = 0.85 f'_c a b + A'_s f_y$$

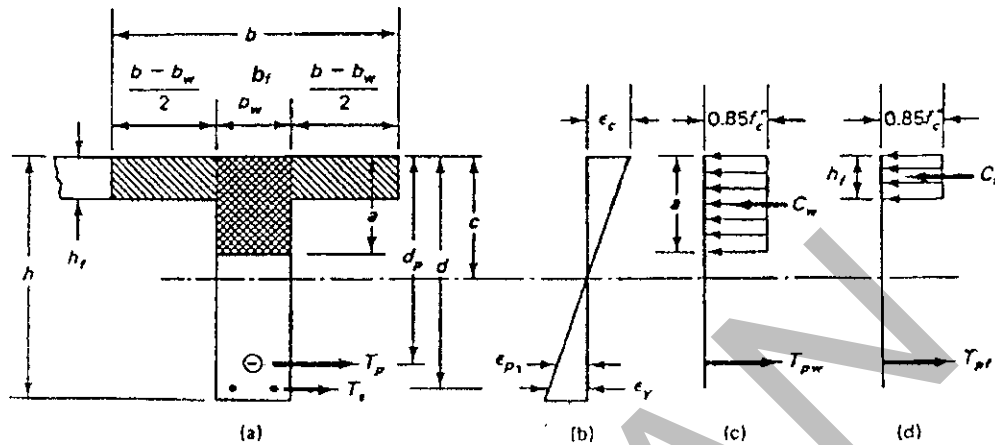
$$a = \frac{A_{ps} f_{ps} + A_s f_y - A'_s f_y}{0.85 f'_c b_w} \quad (3-3)$$

Momen nominal dihasilkan dari kopel gaya-gaya internal horizontal sebagai berikut:

$$M_u = C I = T I$$

$$M_u = A_{ps} f_{ps} \cdot (d_p - a/2) + A_s f_y \cdot (d - a/2) + A'_s f_y \cdot (a/2 - d') \quad (3-4)$$

### 3.2.2 Momen Nominal Penampang Berflens



**Gambar 3-5 Regangan, tegangan dan gaya penampang flens**

(a)penampang (b)regangan (c) tegangan dan gaya badan (d) tegangan dan gaya flens

Persamaan keseimbangan (equilibrium) gaya horizontal,

$$T = C$$

$$A_s f_y + A_{ps} f_{ps} = 0.85 f_c' a b_w + 0.85 f_c' h_f(b_f - b_w)$$

$$A_{pw} f_{ps} = 0.85 f_c' a b_w = A_s f_y + A_{ps} f_{ps} - 0.85 f_c' h_f(b_f - b_w)$$

$$a = \frac{A_{ps} f_{ps} + A_s f_y - 0.85 f_c' h_f(b_f - b_w)}{0.85 f_c' b_w} = \frac{A_{pw} f_{ps}}{0.85 f_c' b_w} \quad (3-5)$$

Momen nominal dihasilkan dari kopel gaya-gaya internal horizontal sebagai berikut:

$$M_u = C I = T I$$

$$M_u = A_{pw} f_{ps} \cdot (d_p - a/2) + A_s f_y \cdot (d - d_p) + 0.85 f_c' (b_f - b_w) h_f \cdot (d_p - h_f/2) \quad (3-6)$$

### 3.2.3 Penampang Komposit

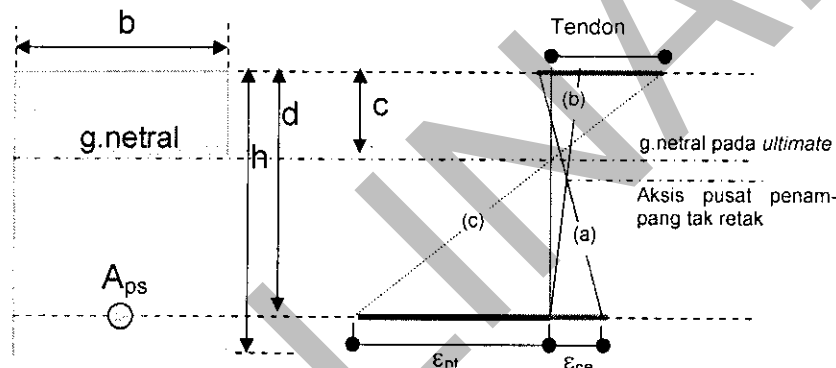
Pelat lantai jembatan dapat diperhitungkan sebagai penampang komposit dengan balok girdernya, dengan catatan menggunakan lebar efektif pelat. Lebar efektif pelat perlu dihitung oleh karena perbedaan mutu beton antara beton girder dan pelat. Dengan demikian, penampang komposit dapat dihitung sebagai penampang berflens dengan lebar sayap sama dengan lebar efektif pelat (lihat sub bab 3.2.2 momen nominal untuk penampang berflens).

### 3.2.4 Menentukan Tegangan Nominal Baja Prategang pada Saat Runtuh, $f_{ps}$

Tegangan nominal baja tulangan prategang pada saat penampang mencapai kondisi *ultimate* (runtuh),  $f_{ps}$  dapat ditentukan sebagai berikut:

- a) Prosedur kompatibilitas regangan jika  $f_{pe} = \frac{P_e}{A_{ps}} < 0.50 f_{pu}$

Pada penampang beton bertulang, regangan dalam tulangan non-prategang dan beton pada level tulangan adalah sama untuk setiap tahapan pembebanan. Lain halnya dengan tulangan prategang, regangan dalam tulangan prategang adalah sama dengan regangan akibat prategang initial ditambah regangan akibat perubahan dalam beton pada level tulangan.



Gambar 3-6 Distribusi regangan pada tiga tahapan pembebanan

Tahap (a) pada Gambar 3-6 menunjukkan regangan elastik beton akibat gaya prategang efektif pada kondisi momen eksternal nol. Regangan dalam beton pada level tulangan adalah sebagai berikut:

$$\varepsilon_{ce} = -\frac{1}{E_c} \cdot \left( \frac{P_e}{A} + \frac{P_e e^2}{I} \right) \quad (3-7)$$

Dimana  $A$  adalah luas penampang beton dan  $I$  adalah momen inersia penampang beton. Tegangan dan regangan efektif dalam tulangan prategang pada saat beban layan adalah:

$$f_{pe} = \frac{P_e}{A_p} \quad \text{dan} \quad \varepsilon_{pe} = \frac{f_{pe}}{E_p} \quad (3-8)$$

Tahap (b) menunjukkan distribusi regangan beton di level prategang pada saat bekerja momen yang cukup untuk dekompresi beton. Besarnya regangan sama dengan tahap (a) plus peningkatan regangan tarik sebesar  $\varepsilon_{ce}$  (dari pers. 3-7).

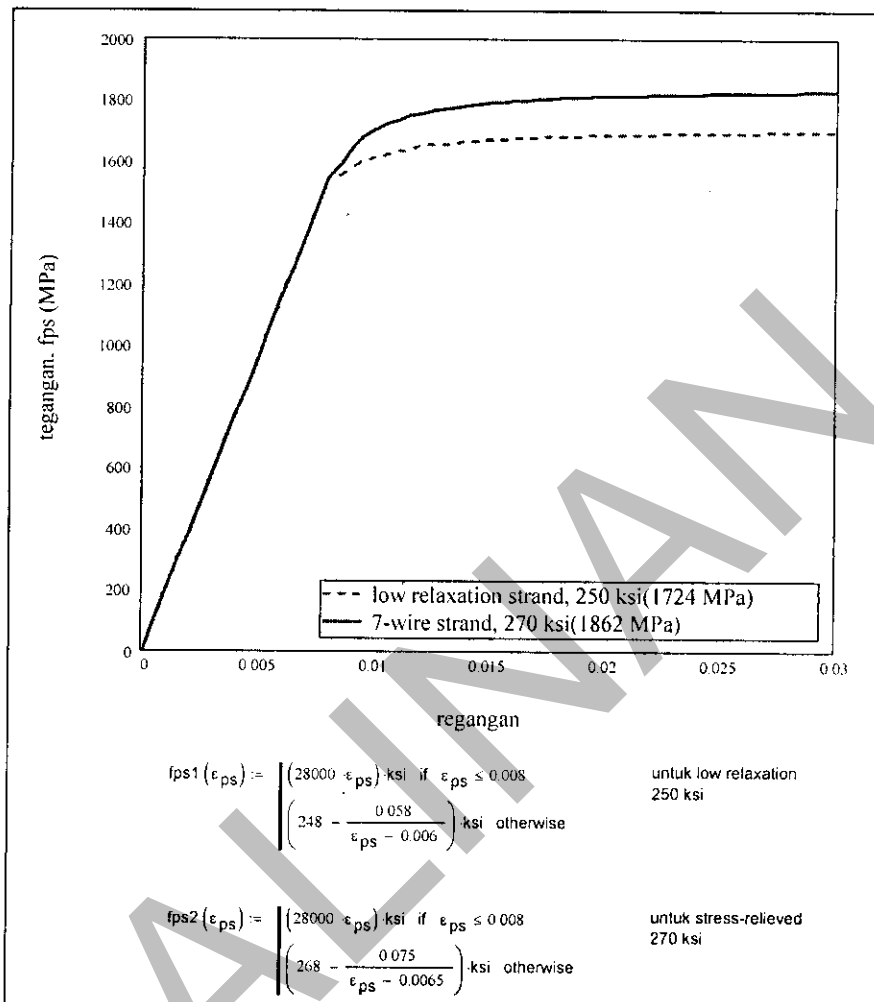
Tahap (c) pada gambar di atas berhubungan dengan kondisi beban *ultimate* (runtuh). Regangan dalam beton pada level tulangan  $\varepsilon_{pt}$  dapat ditentukan dengan variabel regangan tekan serat terluar beton sebesar  $\varepsilon_{cu}$  dan tinggi garis netral  $c$  sebagai berikut :

$$\varepsilon_{pt} = \varepsilon_{cu} \left( \frac{d_p - c}{c} \right) \quad (3-9)$$

Dengan demikian, regangan total dalam tendon prategang pada kondisi beban *ultimate* (runtuh) dapat diperoleh sebagai berikut:

$$\varepsilon_{pu} = \varepsilon_{pe} + \varepsilon_{ce} + \varepsilon_{pt} \quad (3-10)$$

Bila regangan dalam tendon prategang pada kondisi runtuh  $\varepsilon_{pu}$  diketahui maka tegangan dalam tendon prategang pada kondisi runtuh juga dapat diperoleh dari grafik tegangan – regangan pada gambar 3-7.



**Gambar 3-7 Kurva tegangan-regangan 7-wire stress-relieved dan low relaxation (Nawy, 1996)**

- b) Prosedur pendekatan empirik jika  $f_{pe} = \frac{P_e}{A_{ps}} > 0.50 f_{pu}$

Prosedure ini secara umum lebih konservatif dan dapat digunakan sebagai pengganti perhitungan tegangan yang lebih akurat berdasarkan kompatibilitas regangan.

**Bonded tendon :**

$$f_{ps} = f_{pu} \left[ 1 - \frac{\gamma_p}{\beta_1} \left( \rho_p \frac{f_{pu}}{f'_c} + \frac{d}{d_p} \cdot (\omega - \omega') \right) \right] \quad (3-11)$$

**Unbonded tendon :**

Jika rasio bentang terhadap tinggi penampang  $\leq 35$

$$f_{ps} = f_{pe} + 70 + f'/(100\rho_p) \quad (3-12)$$

Jika rasio bentang terhadap tinggi penampang  $> 35$

$$f_{ps} = f_{pe} + 70 + f'/(300\rho_p) \quad (3-13)$$

Dimana :

- $\omega$  = indeks tulangan baja konvensional tarik,  $\omega = \rho f_y / f'_c$
- $\omega'$  = indeks tulangan baja konvensional tekan,  $\omega' = \rho' f_y / f'_c$
- $\omega_p$  = indeks tulangan baja konvensional tekan,  $\omega_p = \rho_p f_{ps} / f'_c$
- $\rho$  = rasio tulangan tarik non-prategang terhadap luas penampang beton.
- $\rho'$  = rasio tulangan tekan terhadap luas penampang beton.
- $\rho_p$  = rasio tulangan prategang terhadap luas penampang beton.
- $f_{pe}$  = tegangan efektif prategang (setelah losses), MPa.
- $f_{pu}$  = kuat tarik baja prategang, MPa.
- $P_e$  = Gaya prategang efektif (setelah losses), N
- $A_{ps}$  = luas tulangan prategang, mm<sup>2</sup>

### 3.2.5 Preliminari Desain Ultimate

Untuk penyederhanaan, Asumsikan :

hanya ada tulangan prategang saja, tanpa tulangan baja biasa.

Lengan momen, jd = 0.8h

Tegangan nominal prategang,  $f_{ps} = 0.9f_{pu}$

Berdasarkan asumsi tersebut momen nominal pada persamaan (3-4) dapat dituliskan sebagai berikut:

$$M_n = A_{ps} f_{ps} \cdot (d_p - a/2) = A_{ps} 0.9f_{pu} \cdot (0.8h) = A_{ps} 0.72f_{pu} \cdot h$$

Maka luas tulangan prategang untuk preliminari (desain awal) dapat diperoleh dari kebutuhan tegangan final atau kebutuhan momen rencana ultimate,  $M_u$  sebagai berikut,

$$A_{ps} = \frac{M_n}{0.72 f_{pu} \cdot h} \quad (3-14)$$

Jika tinggi blok tekan beton  $a$  sama dengan tinggi flens  $h_f$ , maka luas tekan beton  $A_c = b \cdot a$ .

$$C = 0.85 f_c A_c$$

$$T = f_{ps} A_{ps} = M_n / (0.8h)$$

Dari persamaan keseimbangan gaya  $C=T$ , maka luas tekan flens adalah :

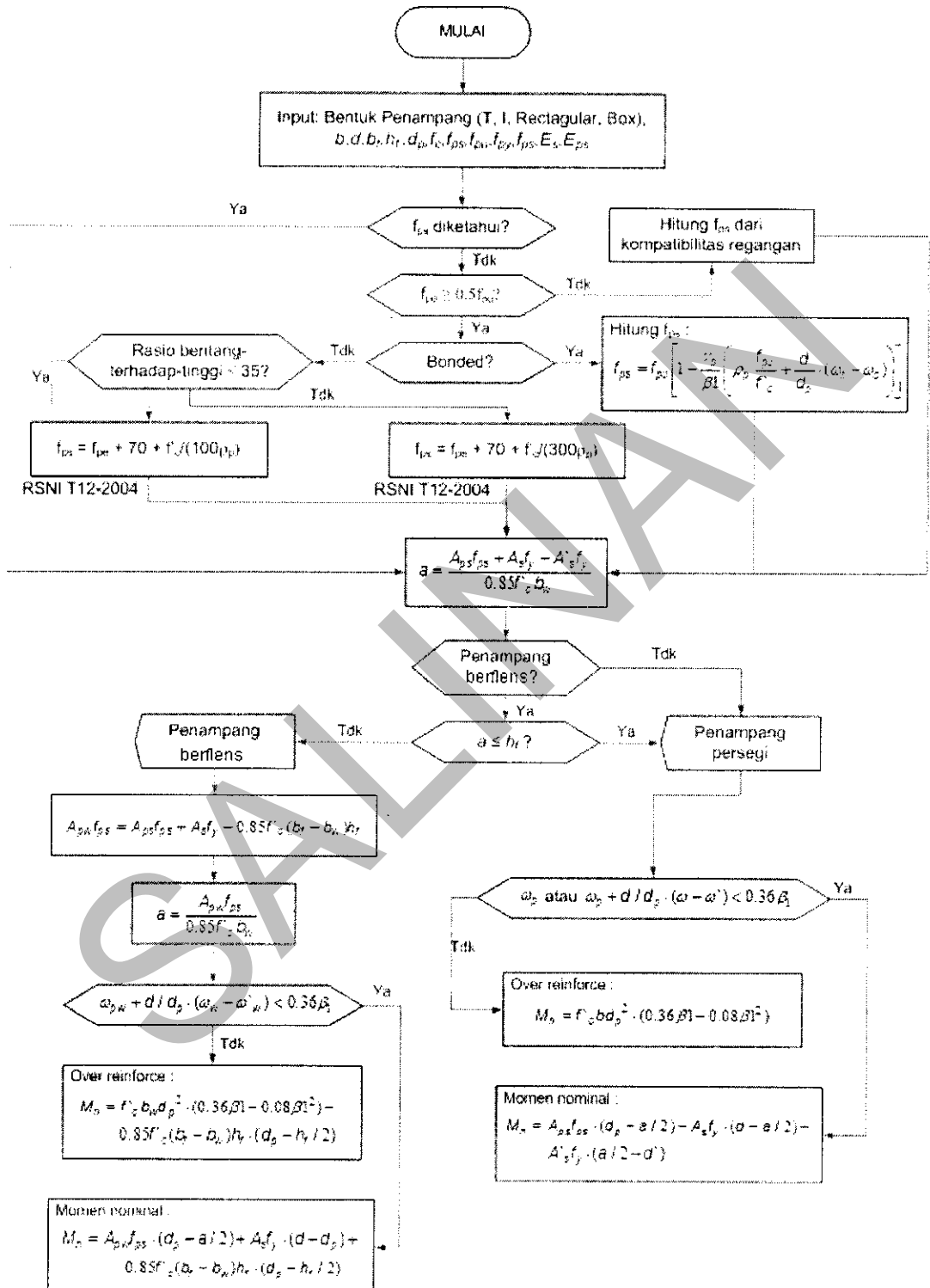
$$A_c = \frac{M_n}{0.8h \cdot 0.85 f_c} = \frac{M_n}{0.68h \cdot f_c} \quad (3-15)$$

### 3.2.6 Langkah-Langkah Desain Member Prategang Kondisi Ultimate

Langkah-langkah mendesain member prategang pada kondisi *ultimate* dapat ditentukan sebagai berikut:

1. Tentukan dimensi penampang. Tinggi penampang,  $h = 1/20 L$ , atau dari Tabel 1-2 bila menggunakan penampang AASHTO. Dimana  $L$  = panjang span.
2. Menghitung gaya dalam momen layar, momen dan geser *ultimate*. Masing-masing yaitu  $M_t$ ,  $M_u$  dan  $V_u$ .
3. Tentukan dimensi pelat. Pilih tinggi flens  $h_f$  dengan rumus pada pers. (3-15) dan lebar pelat efektif.
4. Menghitung sifat penampang komposit girder dan pelat
5. Estimasi luas tulangan prategang,  $A_{ps}$  berdasarkan rumus pada pers. (3-14).
6. Hitung momen nominal,  $M_n$  (lihat *flowchart*).
  - Pilih ukuran dan spasi tulangan non prategang
  - Periksa juga tulangan baja minimum,  $A_s > 0.004 A$  (bila tidak prategang penuh)
7. Periksa momen desain  $\phi M_n \geq M_u$ .
8. Periksa momen desain minimum perlu,  $\phi M_n > 1.2 M_{cr}$  untuk memastikan kecukupan tulangan tarik baja non prategang khususnya pada tendon unbonded.

## MANUAL PERENCANAAN STRUKTUR BETON PRATEKAN UNTUK JEMBATAN



**Gambar 3-8 Flowchart Momen Nominal**

3.2.7 Contoh Perhitungan Desain Member Prategang Kondisi Ultimate

CENTRAL SECTION	DESIGN OF T-SHAPE GIRDERS	1
<b>SOAL :</b> Desain jembatan bentang 36 m dengan balok girder T-Bulb AASHTO.		
DIBERIKAN :		
Panjang bentang jembatan $L_s = 36 \text{ m}$		
Jarak antar balok (as ke as) $L_c = 2.10\text{m}$		
Material		
a. Beton :		
<u>Girder Pracetak</u>		
$f_c = 45.65 \text{ MPa}$		
$E_c = 4700 \cdot \sqrt{f_c} \cdot (\text{MPa})$		
$f_y = 400 \cdot \text{MPa}$		
<u>Pelat :</u>		
$f_{cp} = 29 \cdot \text{MPa}$		
$E_{cp} = 4700 \cdot \sqrt{f_{cp}} \cdot (\text{MPa})$		
$E_{cp} = 25310.275 \cdot \text{MPa}$		

b. Kabel Prategang (Jenis Relaksasi Rendah)

$$f_{pu} = 1860 \text{ MPa}$$

$$f_{py} = 0.9 \cdot f_{pu} \quad f_{py} = 1674 \text{ MPa}$$

$$f_{pj} = 0.75 \cdot f_{pu} \quad f_{pj} = 1395 \text{ MPa} \quad (\text{maks.})$$

$$f_{pi} = 0.7 \cdot f_{pu} \quad f_{pi} = 1302 \text{ MPa}$$

$$f_{peff} = 0.8 \cdot f_{pi} \quad f_{peff} = 1041.6 \text{ MPa}$$

$$\epsilon_{ps} = 195000 \text{ MPa}$$

$$\text{Diameter Tendon} \quad \phi_s = 12.7 \text{ mm}$$

$$\text{Luas efektif per tendon} \quad A_{p1} = 98 \text{ mm}^2$$

(asumsi  
losses 20%)

### **LANGKAH 1: Menentukan Dimensi Penampang**

Penampang : **AASHTO Tipe VI**

$$h = 1828.8 \text{ mm}$$

$$bf = 1066.8 \text{ mm}$$

$$x_1 = 127 \text{ mm}$$

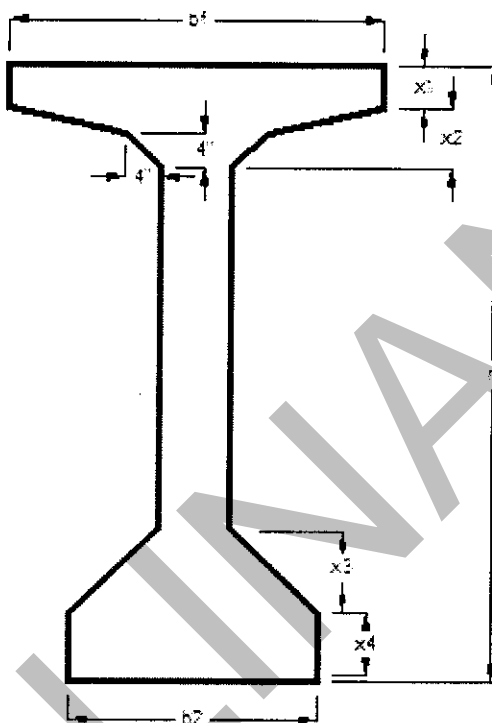
$$x_2 = 177.8 \text{ mm}$$

$$b_2 = 711.2 \text{ mm}$$

$$x_3 = 254 \text{ mm}$$

$$x_4 = 203.2 \text{ mm}$$

$$bw = 203.2 \text{ mm}$$



RSNI-T12-04

Pasal 5.1.1.1

Faktor  $\beta_1$  tergantung dari mutu beton, jika kurang dari 30 MPa nilainya 0.85, namun jika  $f'_c$  lebih besar 30 MPa nilainya berkurang secara proporsional tapi tidak lebih kecil dari 0.65.

### **AASHTO TIPE VI**

Momen inersia

$$I_c = 3.052 \times 10^{11} \text{ mm}^4$$

Luas Penampang

$$A_c = 6.999986 \times 10^5 \text{ mm}^2$$

Garis Berat Bawah

$$C_b = 924.068 \text{ mm}$$

Garis Berat Atas

$$C_t = h - C_b \quad C_t = 904.732 \text{ mm}$$

Sec. Modulus Top

$$S_t = \frac{I_c}{C_t} \quad S_t = 3.374 \times 10^8 \text{ mm}^3$$

Sec. Modulus Bottom

$$S_b = \frac{I_c}{C_b} \quad S_b = 3.303 \times 10^8 \text{ mm}^3$$

Radius Girasi $r = \sqrt{\frac{I_c}{A_c}}$ $r = 660.337 \text{ mm}$ $k_b = \frac{r^2}{C_t}$ $k_b = 481.961 \text{ mm}$ $k_t = \frac{r^2}{C_b}$ $k_t = 471.876 \text{ mm}$  tebal pelat total (asumsi - trial) $h_{slb} = 220\text{mm}$	<b>LANGKAH 2: Gaya Dalam</b>  Faktor reduksi lentur $\phi = 0.8$ Faktor reduksi geser $\phi_v = 0.75$ Berat jenis beton $\gamma_c = 24 \cdot \text{kN} \cdot \text{m}^{-3}$ Berat jenis beton prategang $\gamma_{pt} = 25 \cdot \text{kN} \cdot \text{m}^{-3}$ Berat jenis baja $\gamma_s = 78.5 \cdot \text{kN} \cdot \text{m}^{-3}$  Resume gaya dalam M + V dalam girder $M_{sdl} = 2.629 \times 10^3 \text{ kNm}$ $V_{sdl} = 292.068 \text{ kN}$ $M_{dl} = 2.835 \times 10^3 \text{ kNm}$ $V_{dl} = 314.999 \text{ kN}$ $M_L = 1.418 \times 10^3 \text{ kNm}$ $V_L = 157.584 \text{ kN}$  $M_u = 1.3 \cdot (M_{sdl} + M_{dl}) + 2.2 \cdot (M_L)$ $M_u = 1.022 \times 10^4 \text{ kN} \cdot \text{m}$ $M_t = 1.0 \cdot (M_{sdl} + M_{dl}) + 1.0 \cdot (M_L)$ $M_t = 6.882 \times 10^3 \text{ kN} \cdot \text{m}$ $V_u = 1.3 \cdot (V_{sdl} + V_{dl}) + 2.2 \cdot (V_L)$ $V_u = 1.136 \times 10^3 \text{ kN}$ $V_t = 1.0 \cdot (V_{sdl} + V_{dl}) + 1.0 \cdot (V_L)$ $V_t = 764.651 \text{ kN}$	Lihat kombinasi pembebanan pada BMS'92 atau SNI peraturan pembebanan untuk jembatan .
---	---	---

---

---

**MANUAL PERENCANAAN STRUKTUR BETON PRATEKAN UNTUK JEMBATAN**

---

Keterangan :

MsdI = Momen akibat beban mati superimposed,  
seperti pelat lantai dan aspal  
Mdl = Momen akibat berat sendiri girder  
ML = Momen akibat beban hidup

VsdI = Geser akibat beban mati superimposed,  
seperti pelat lantai dan aspal  
Vdl = Geser akibat berat sendiri girder  
VL = Geser akibat beban hidup

### **LANGKAH 3: Penentuan Tebal Pelat Lantai Jembatan**

Tinggi perlu flens untuk menahan momen Mu

$$Ac' = \frac{Mu}{\phi \cdot 0.68 \cdot h \cdot f_c} \quad Ac' = 2.251 \times 10^5 \text{ mm}^2$$

bila lebar pelat efektif di atas girder,

$$b_{pl} = L_c \quad b_{pl} = 2100 \text{ mm}$$

maka tebal flens minimum,

$$h_f = \frac{Ac'}{b_{pl}}$$

$$h_f = 107.188 \text{ mm} \quad < \quad h_{slb} = 220 \text{ mm}$$

Ket = "h<sub>slb</sub> > h<sub>f</sub>, OK"

Lebar effektif pelat, terkecil dari:

$$b_{pl} = \min \left( \left( b_w + 16 \cdot h_{slb} \quad L_c \quad \frac{L_{sl}}{4} \right) \right) \quad b_{pl} = 2100 \text{ mm}$$

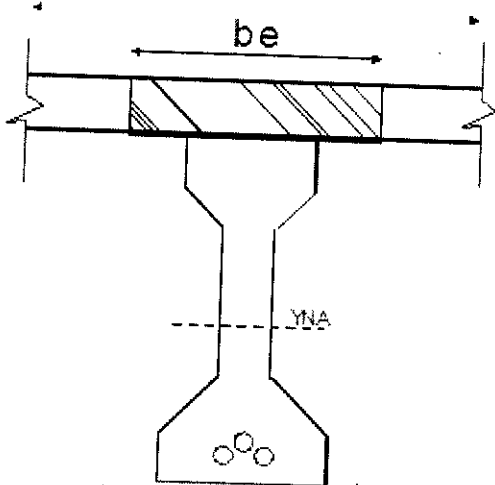
Tebal minimum flens menurut AASHTO

$$t_{min} = \frac{1.2 \cdot (L_c + 3m)}{30}$$

$$t_{min} = 204 \text{ mm} \quad < \quad h_{slb} = 220 \text{ mm} \quad \text{OK !}$$

Ket = "h<sub>slb</sub> > t<sub>min</sub>, OK"

**LANGKAH 4: Menghitung Sifat Penampang Komposit**



Modulus Elastisitas Girder

$$E_c = 3.176 \times 10^4 \text{ MPa}$$

Modulus Elastisitas Pelat

$$E_{cp} = 2.531 \times 10^4 \text{ MPa}$$

Rasio modulus

$$n_c = \frac{E_{cp}}{E_c} \quad n_c = 0.797$$

Lebar sayap efektif

$$b_{pl} = 2100 \text{ mm}$$

Lebar sayap transform.

$$b_e = n_c \cdot b_{pl} \quad b_e = 1673.78 \text{ mm}$$

Luas Penampang Komposit

$$A_{ck} = A_c + b_e \cdot h_{slb} \quad A_{ck} = 1.068 \times 10^6 \text{ mm}^2$$

Garis Berat Bawah Komposit

$$C_{bk} = \frac{b_e \cdot (h_{slb}) \cdot \left( h + \frac{h_{slb}}{2} \right) + A_c \cdot C_b}{A_{ck}} \quad C_{bk} = 1.274 \times 10^3 \text{ mm}$$

Garis Berat Atas Komposit

$$C_{tk} = h + h_{slb} - C_{bk} \quad C_{tk} = 774.942 \text{ mm}$$

**MANUAL PERENCANAAN STRUKTUR BETON PRATEKAN UNTUK JEMBATAN**

Momen inersia Komposit

$$I_{ck} = I_c + A_c \cdot (C_{bk} - C_b)^2 + \frac{b_e \cdot h_{slb}^3}{12} + b_e \cdot h_{slb} \cdot \left( C_{tk} - \frac{h_{slb}}{2} \right)^2$$

$$I_{ck} = 5.552 \times 10^{11} \text{ mm}^4$$

Sec. Modulus Top       $S_{tk} = \frac{I_{ck}}{C_{tk}}$        $S_{tk} = 7.164 \times 10^8 \text{ mm}^3$

Sec. Modulus Bottom       $S_{bk} = \frac{I_{ck}}{C_{bk}}$        $S_{bk} = 4.358 \times 10^8 \text{ mm}^3$

**LANGKAH 5: Estimasi Luas Prategang**

Eksentrisitas Tendon

$$e_m = h - 200\text{mm} - C_t \quad e_m = 724.068\text{mm}$$

Estimasi berdasarkan kondisi tegangan akhir pada serat bawah

$$e = e_m \quad e = 724.068\text{mm} \quad F_t = 0\text{MPa}$$

Nilai awal       $P_{eff} = 1\text{kN}$

Given

$$\frac{-P_{eff}}{A_c} - \frac{P_{eff} \cdot e}{S_b} + \frac{M_{dl} + M_{sdI}}{S_b} + \frac{M_L}{S_{bk}} = F_t$$

$$Pf2 = \text{Find}(P_{eff})$$

$$Pf2 = 5467.24\text{kN}$$

Estimasi berdasarkan kekuatan batas penampang

$$A_{ps} = \frac{M_u}{\phi \cdot [0.72 f_{pu} \cdot (h + h_{slb})]}$$

$$A_{ps} = 4.657 \times 10^3 \text{ mm}^2$$

$$Pf3 = A_{ps} \cdot f_{peff}$$

$$Pf3 = 4.851 \times 10^3 \text{ kN}$$

Luas perkiraan kabel  
Aps dapat diperoleh dengan menggunakan persamaan 4-14.  
dimana  $M_n = M_u / \phi$  dan  $h = h + h_{slb}$ .

Gaya prategang efektif yang dibutuhkan

$$P_f = \max((P_{f2} - P_{f3}))$$

$$P_f = 5.467 \times 10^3 \text{ kN}$$

$$A_{ps} = \frac{P_f}{f_{peff}}$$

$$A_{ps} = 5248.886 \text{ mm}^2$$

Menentukan jumlah strand

$$n_{strand} = \text{ceil}\left(\frac{A_{ps}}{A_{p1}}\right)$$

$$n_{strand} = 54$$

$$A_{ps} = n_{strand} \cdot A_{p1}$$

$$A_{ps} = 5292 \text{ mm}^2$$

#### **LANGKAH 6: Menghitung Kapasitas Momen**

Diameter tulangan

$$D_s = 16 \text{ mm}$$

$$\phi = 0.8$$

Luas per tulangan

$$A_{s1} = 0.25 \cdot \pi \cdot D_s^2$$

$$A_{s1} = 201.062 \text{ mm}^2$$

Lebar tekan balok

$$b_t = b_e$$

$$b_t = 1.674 \times 10^3 \text{ mm}$$

Jumlah tulangan

$$n_s = 7$$

(trial and error)

Luas Total tul. tarik

$$A_{st} = n_s \cdot A_{s1}$$

$$A_{st} = 1407.434 \text{ mm}^2$$

Cover beton

$$d_c = 40 \text{ mm}$$

Lengan momen prategang komposit  $C_t = 904.732 \text{ mm}$

$$d_p = C_t + h_{slb} + e_m$$

$$d_p = 1848.8 \text{ mm}$$

$$P_e = f_{peff} A_{ps} \quad P_e = 5512.147 \text{ kN}$$

$$f_{peff} = 1041.6 \text{ MPa} \geq 0.5 \cdot f_{pu} = 930 \text{ MPa} \quad \dots \text{OK!}$$

maka : Nilai untuk  $\gamma_p$       0.55 bila  $f_{py}/f_{pu} \geq 0.8$

$$\frac{f_{py}}{f_{pu}} = 0.9 \quad \begin{array}{l} 0.4 \text{ bila } f_{py}/f_{pu} \geq 0.85 \\ 0.28 \text{ bila } f_{py}/f_{pu} \geq 0.9 \end{array}$$

$$\gamma_p = 0.28$$

$$\beta_1 = \begin{cases} 0.85 & \text{if } f_c \leq 30 \text{ MPa} \\ 0.65 & \text{if } f_c \geq 55 \text{ MPa} \\ 0.85 - 0.008 \cdot \left( \frac{f_c}{\text{MPa}} - 30 \right) & \text{if } 30 \text{ MPa} < f_c \leq 55 \text{ MPa} \end{cases}$$

$$\beta_1 = 0.725$$

$$\rho_p = \frac{A_{ps}}{A_{ck}} \quad \rho_p = 0.495 \%$$

$$\rho_c = 0 \quad \omega_c = 0$$

$$\rho_t = \frac{A_{st}}{A_{ck}} \quad \rho_t = 0.132 \%$$

$$\omega_t = \rho_t \cdot \frac{f_y}{f_c} \quad \omega_t = 0.012$$

$$f_{ps} = f_{pu} \cdot \left[ 1 - \frac{\gamma_p}{\beta_1} \cdot \left[ \rho_p \cdot \frac{f_{pu}}{f_c} + \frac{d}{d_p} \cdot (\omega_t - \omega_c) \right] \right]$$

$$f_{ps} = 1706.044 \text{ MPa}$$

$$\omega_p = \rho_p \cdot \frac{f_{ps}}{f_c} \quad \omega_p = 0.185$$

**Lebar stress blok pada beton  
(asumsi garis netral berada di flens)**

$$T_{ps} = f_{ps} \cdot A_{ps}$$

$$T_{ps} = 9.028 \times 10^3 \text{ kN}$$

$$T_s = A_{st} \cdot f_y$$

$$T_s = 562.973 \text{ kN}$$

$$a = \frac{T_{ps} + T_s}{0.85 \cdot f_c \cdot b t}$$

$$a = 147.68 \text{ mm} < h_{slb} = 220 \text{ mm}$$

( OK, asumsi benar )

Bila asumsi salah maka pendekatan harus diperhitungkan sebagai balok T. Lihat sub bab 4.2.2

**Periksa Tulangan Maksimum**

Berdasarkan ACI / NAVY (untuk balok segi-4)

$$\omega_p = \rho_p \cdot \frac{f_{ps}}{f_c}$$

$$\omega_p = 0.185 < 0.36 \cdot \beta_1 = 0.261$$

**OK (jika prategang penuh)**

$$\omega_p + \frac{d}{dp} \cdot (\omega_t - \omega_c) = 0.198 < 0.36 \cdot \beta_1 = 0.261$$

**OK (jika baja tulangan diperhitungkan)**

Notes : jika rasio tulangan  $< 0.36 \beta_1$  maka under-reinforced, jika tidak maka over-reinforced.

$$\text{OVER} = \begin{cases} "Y" & \text{if } \omega_p + \frac{d}{dp} \cdot (\omega_t - \omega_c) > 0.36 \cdot \beta_1 \\ "N" & \text{otherwise} \end{cases}$$

$$\text{OVER} = "N"$$

Berdasarkan AASHTO 3rd Edition 2004, Sec. 5.7.3.3

Kedalaman tulangan efektif pada penampang

$$d_e = \frac{A_{ps} \cdot f_{ps} \cdot d_p + A_{st} \cdot f_y \cdot d}{A_{ps} \cdot f_{ps} + A_{st} \cdot f_y} \quad d_e = 1.857 \text{ m}$$

$$c = \frac{a}{\beta_1} \quad c = 203.753 \text{ mm}$$

$$\frac{c}{d_e} = 0.11 < 0.42 \text{ OK.}$$

$$\text{OVER} = \begin{cases} "Y" & \text{if } \frac{c}{de} > 0.42 \cdot \beta_1 \\ "N" & \text{otherwise} \end{cases} \quad \text{OVER} = "N"$$

$$M_n = T_{ps} \cdot \left( d_p - \frac{a}{2} \right) + A_{st} \cdot f_y \cdot \left( d - \frac{a}{2} \right)$$

$$M_n = 17102.525 \text{ kN} \cdot \text{m}$$

#### **LANGKAH 7: Periksa Momen Desain *Ultimate***

Momen Nominal  $M_n = 17102.525 \text{ kN} \cdot \text{m}$

Periksa :

$$\phi \cdot M_n = 13682.02 \text{ kN} \cdot \text{m} > M_u = 10222.851 \text{ kN} \cdot \text{m}$$

check apakah  $\phi M_n > M_u$  jika ya  $\rightarrow$  OK

#### **LANGKAH 8: Periksa Momen Desain Minimum Perlu**

$$A_c = 699998.6 \text{ mm}^2 \quad I_c = 3.052 \times 10^{11} \text{ mm}^4$$

$$P_e = 5.512 \times 10^3 \text{ kN}$$

$$\text{Tegangan tarik retak} \quad f_r = 0.7 \cdot \sqrt{f_c \cdot \text{Mpa}} \quad f_r = 4.73 \text{ Mpa}$$

Menghitung momen retak penampang

Tegangan serat bawah girder akibat beban layan total,  $M_t$

$$\text{fakt} = \frac{-P_e}{A_c} - \frac{P_e \cdot e}{S_b} + \frac{M_{dl} + M_{sdL}}{S_b} + \frac{M_L}{S_{bk}}$$

$$\text{fakt} = -0.163 \text{ Mpa}$$

Momen untuk meretakan penampang adalah

$$M_{cr} = (f_r - \text{fakt}) \cdot S_{bk} + M_t$$

$$M_{cr} = 9013.961 \text{ kN} \cdot \text{m}$$

Periksa rasio momen kapasitas terhadap momen retak

$$\frac{\phi \cdot M_n}{M_{cr}} = 1.52 > 1.2 \dots \text{OK!}$$

### 3.3 Perencanaan Balok Terhadap Geser

Aturan perencanaan ini berlaku untuk balok prategang yang mengalami geser  $V_u$ , momen lentur  $M_u$  dan aksial  $P_u$ , atau yang mengalami geser  $V_u$ , momen lentur  $M_u$ , aksial  $P_u$  dan puntir  $T_u$ , dengan ketentuan memenuhi persyaratan untuk puntir juga.

Analisis geser balok harus dilakukan dengan cara Perencanaan berdasarkan Beban dan Kekuatan Terfaktor (PBKT).

Pada balok yang tidak prismatis atau tinggi penampangnya bervariasi, perhitungan kekuatan geser harus memperhitungkan komponen gaya tarik atau tekan miring akibat adanya variasi tinggi penampang.

#### 3.3.1 Kekuatan Geser Batas Nominal

Kekuatan geser batas nominal  $V_n$ , tidak boleh diambil lebih besar dari jumlah kekuatan geser yang disumbangkan oleh beton dan tulangan geser dalam penampang komponen struktur yang ditinjau, yaitu:

$$V_n = V_c + V_s$$

#### 3.3.2 Kekuatan Geser Batas Yang Disumbangkan Oleh Beton

Kekuatan geser batas beton  $V_c$  tanpa memperhitungkan adanya tulangan geser, tidak boleh diambil melebihi dari nilai terkecil yang diperoleh dari 2 kondisi retak, yaitu retak geser terlentur ( $V_{ci}$ ) dan retak geser badan ( $V_{cw}$ ), kecuali jika penampang yang ditinjau mengalami retak akibat lentur, di mana dalam kondisi tersebut hanya kondisi retak geser terlentur yang berlaku.

- Kondisi retak geser terlentur

Kuat geser  $V_{ci}$  harus dihitung dari:

$$V_{ci} = \frac{\sqrt{f_c'}}{20} b_w d + V_d + \frac{\Delta V_u \cdot \Delta M_{cr}}{\Delta M_u}$$

di mana

$$\Delta M_{cr} = Z_b \left( \frac{\sqrt{f_c'}}{2} + f_{pe} - f_d \right) = \text{momen retak dikurangi momen berat sendiri.}$$

$\Delta V_u = V_{uDL} + V_{uSDL} = \text{geser total dikurangi geser berat sendiri.}$

$\Delta M_u = M_{uDL} + M_{uSDL} = \text{momen total dikurangi momen berat sendiri.}$

$$Z_b = I / y_b$$

tetapi  $V_{ci}$  tidak perlu diambil kurang dari  $\frac{\sqrt{f_c'}}{7} b_w d$ .

b). Kondisi retak geser bagian badan

$$V_{cw} = V_t + V_p$$

di mana:

$V_t$  = gaya geser yang, bila dikombinasikan dengan gaya prategang dan pengaruh aksi lainnya pada penampang, akan menghasilkan tegangan tarik utama sebesar  $0,33 \sqrt{f_c'}$  pada sumbu pusat atau perpotongan bagian badan dan sayap, mana yang lebih kritis, atau dapat diambil sebesar:

$$V_t = 0,3 (\sqrt{f_c'} + f_{pc}) b_v d$$

Dimana :

$f_{pc}$  = menyatakan tegangan tekan rata-rata pada beton akibat gaya prategang efektif saja, sesudah memperhitungkan semua kehilangan gaya prategang

$b_v$  = lebar penampang geser

$d$  = tinggi efektif penampang geser

Bila pada komponen struktur pratarik terdapat keadaan di mana penampang yang berjarak  $h/2$  dari tumpuan berada lebih dekat ke ujung komponen dari pada panjang transfer tendon prategang, maka dalam perhitungan  $V_{cw}$  untuk kondisi retak akibat geser badan digunakan nilai prategang yang direduksi. Gaya prategang dapat dianggap

bervariasi dari nol pada ujung tendon sampai harga maksimum sebesar 50 kali diameter (kawat untai) atau 100 kali diameter (kawat tunggal) pada titik sejauh panjang transfer tendon.

### 3.3.3 Kekuatan Geser Batas Yang Disumbangkan oleh Tulangan Geser

Sumbangan tulangan geser tegak dan miring terhadap kekuatan geser batas,  $V_s$ , ditentukan dengan persamaan berikut :

- untuk tulangan geser tegak lurus

$$V_s = \frac{A_v f_y d}{s}$$

- untuk tulangan geser miring

$$V_s = \frac{A_v f_y (\sin \alpha + \cos \alpha) d}{s}$$

di mana  $\alpha$  menyatakan besarnya sudut antara sengkang miring dan sumbu longitudinal komponen struktur, dan  $d$  adalah jarak dari serat tekan terluar terhadap titik berat tulangan tarik longitudinal, tapi tidak perlu diambil kurang dari  $0,8h$ .

Dalam segala hal  $V_s$  tidak boleh melebihi  $(2\sqrt{f_c}/3) b_v d$ .

### 3.3.4 Kekuatan Geser Batas Rencana

Kekuatan geser rencana harus diambil sebesar  $\phi V_n$ , di mana kuat geser batas  $V_n$ , dan  $\phi$  adalah faktor reduksi kekuatan.

Untuk memenuhi syarat keamanan geser, kuat geser rencana harus diambil tidak lebih kecil dari gaya geser batas (ultimit, atau gaya geser rencana terfaktor)  $V_u$  pada penampang yang ditinjau akibat kombinasi pembebanan luar yang paling berbahaya.

$$\phi V_n \geq V_u$$

### 3.3.5 Gaya Geser Maksimum Di Dekat Tumpuan

Gaya geser batas atau gaya geser rencana terfaktor  $V_u$  dihitung dengan menggunakan beban rencana batas seperti yang ditentukan pada Peraturan Pembebanan untuk Jembatan.

Gaya geser maksimum di dekat tumpuan harus diambil sebagai gaya geser pada:

- a). jarak  $h/2$  dari muka tumpuan, jika tidak ada beban terpusat bekerja antara muka tumpuan dan lokasi sejauh jarak tersebut, atau
- b). muka tumpuan, jika retak diagonal akibat geser mungkin terjadi pada tumpuan atau berlanjut sampai pada tumpuan.

### 3.3.6 Tulangan geser minimum

Luas tulangan geser minimum adalah:

$$A_v = \left( \frac{b_v s}{3 f_y} \right)$$

Bila gaya prategang efektif tidak kurang dari 40% kekuatan tarik tulangan, tulangan geser minimum dapat dihitung dengan persamaan di atas atau persamaan berikut:

$$A_v = \frac{A_{ps}}{80} \frac{f_{pu}}{f_y} \frac{s}{d} \sqrt{\frac{d}{b_v}}$$

### 3.3.7 Persyaratan tulangan geser

Persyaratan untuk tulangan geser berikut ini harus diterapkan dalam perencanaan geser:

Jika gaya geser rencana terfaktor  $V_u$  tidak melebihi kekuatan geser rencana balok dengan tulangan geser minimum,  $V_u \leq \phi V_{n,min}$ , maka hanya perlu dipasang tulangan geser minimum.

Syarat pemasangan tulangan geser minimum ini pada balok bisa diabaikan jika  $V_u \leq \phi V_c$  dan tinggi total komponen struktur tidak melebihi nilai terbesar dari 250 mm dan setengah lebar badan.

Ketentuan mengenai tulangan geser minimum ini dapat diabaikan bila menurut pengujian yang mensimulasikan pengaruh perbedaan penurunan, susut, rangkak dan

perubahan suhu yang mungkin terjadi selama masa layan, komponen dapat mengembangkan kuat lentur dan geser nominal yang diperlukan.

Jika  $V_u > \phi V_{n,min}$ , maka harus dipasang tulangan geser dengan kuat geser batas  $V_s$ .

Jika gaya prategang lebih besar dari gaya geser rencana,  $V_p > V_u$ , maka gaya geser rencana semula harus dimodifikasi menjadi  $V_u = 1,2 V_p - V_{u,awal}$  dan untuk perhitungan selanjutnya  $V_p$  dianggap nol.

**Contoh 3.2-1 Merencanakan kapasitas geser balok T pada contoh 3.1.**

Bentang  $L = 36\text{ m}$

Penampang

Tinggi penampang  $h = 1.829\text{ m}$

Lebar badan  $b_w = 0.203\text{ m}$

$A_c = 7 \times 10^5 \text{ mm}^2$

$Y_t = 904.732\text{ mm}$

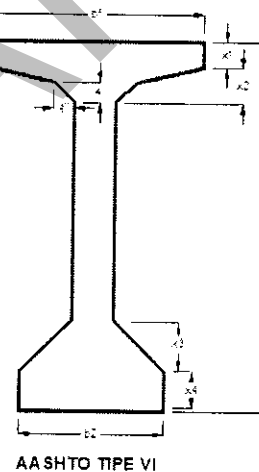
$S_b = 3.303 \times 10^8 \text{ mm}^3$

$P_e = 5512.147\text{kN}$

$A_{ps} = 5292 \text{ mm}^2$

$d_p = 1.849\text{ m}$

$$f_{pe} = \frac{P_e}{A_{ps}} \quad f_{pe} = 1041.6 \text{ MPa} \quad > \quad 0.4 f_{pu} = 744 \text{ MPa}$$



layout kabel mengikuti persamaan parabolik sebagai berikut:

$$e_x(x) = \alpha_1 x^2 + \beta_1 x + \gamma_1$$

$$\alpha_1 = -0.0022 \text{ m}^{-1} \quad \beta_1 = 0.0805 \quad \gamma_1 = 0 \text{ m}$$

$$\text{check } e_x(0.5L) = 0.724 \text{ m} = e_m$$

Material

Faktor reduksi  $\phi = 0.75$

Kuat tekan beton  $f_c = 45.65 \text{ Mpa}$

Tegangan leleh tul.  $f_y = 400 \text{ Mpa}$

**Beban**

$$Q_{gir} = 17.5 \frac{\text{kN}}{\text{m}} \quad Q_{SDL} = 16.226 \frac{\text{kN}}{\text{m}} \quad Q_{II} = 8.755 \frac{\text{kN}}{\text{m}}$$

$$Q_{uDL} = 1.3 \cdot Q_{gir} \quad Q_{uDL} = 22.75 \frac{\text{kN}}{\text{m}}$$

$$Q_{uSDL} = 1.3 \cdot Q_{SDL} \quad Q_{uSDL} = 21.094 \frac{\text{kN}}{\text{m}}$$

$$Q_{uLL} = 2.2 \cdot Q_{II} \quad Q_{uLL} = 19.261 \frac{\text{kN}}{\text{m}}$$

$$Qu = Qu_{DL} + Qu_{SDL} + Qu_{LL} \quad Qu = 63.105 \frac{\text{kN}}{\text{m}}$$

$$\Delta Qu = Qu_{SDL} + Qu_{LL} \quad \Delta Qu = 40.355 \frac{\text{kN}}{\text{m}}$$

**Gaya-gaya dalam :**

Saat beban layan belum bekerja (geser hanya ditahan oleh girder saja)  
beban konstruksi yang bekerja = 1 kN/m<sup>2</sup>

$$Mu_{DL}(x) = Qu_{DL} \cdot \left[ \frac{L}{2} \cdot x - \frac{(x)^2}{2} \right] \quad Vu_{DL}(x) = Qu_{DL} \left[ \frac{L}{2} - (x) \right]$$

$$Mu(x) = Qu \cdot \left( \frac{L}{2} \cdot x - \frac{x^2}{2} \right) \quad Vu(x) = Qu \cdot \left[ \frac{L}{2} - (x) \right]$$

$$\Delta Mu(x) = \Delta Qu \cdot \left[ \frac{L}{2} \cdot x - \frac{(x)^2}{2} \right] \quad \Delta Vu(x) = \Delta Qu \cdot \left[ \frac{L}{2} - (x) \right]$$

Diagram momen

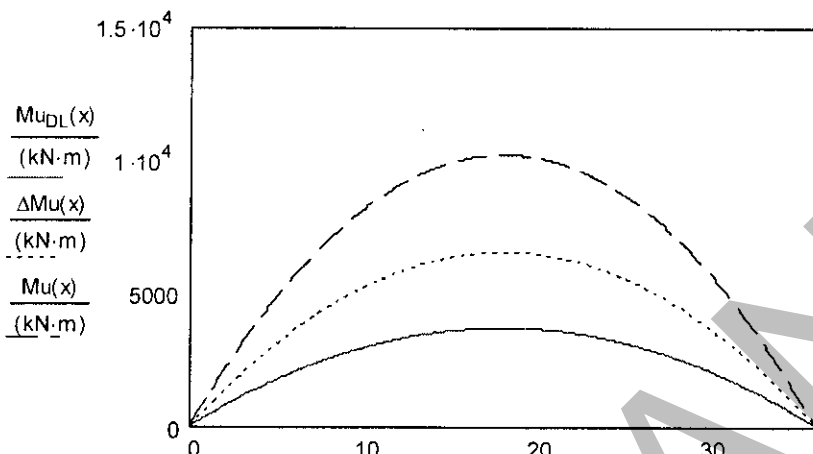
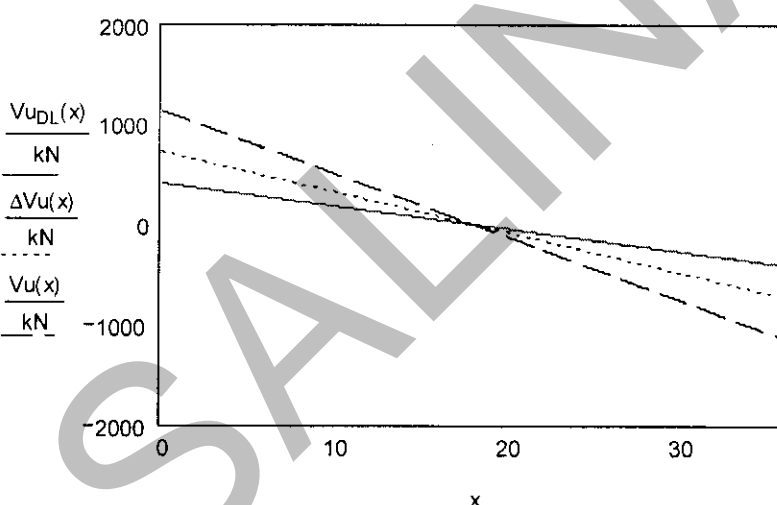


Diagram Geser



$$x_1 = \frac{h}{2} \quad x_2 = 0.25L \quad x_3 = 0.35L$$

$$x_2 = 9\text{ m} \quad x_3 = 12.6\text{ m}$$

### **Momen**

$$\text{Mu}_1 = \text{Mu}(x_1) \quad \text{Mu}_1 = 1012.272\text{kN}\cdot\text{m}$$

$$\text{Mu}_2 = \text{Mu}(x_2) \quad \text{Mu}_2 = 7667.228\text{kN}\cdot\text{m}$$

$$\text{Mu}_3 = \text{Mu}(x_3) \quad \text{Mu}_3 = 9302.903\text{kN}\cdot\text{m}$$

### **Geser**

$$V_{u1} = V_u(x_1) \quad V_{u1} = 1078.183\text{kN}$$

$$V_{u2} = V_u(x_2) \quad V_{u2} = 567.943\text{kN}$$

$$V_{u3} = V_u(x_3) \quad V_{u3} = 340.766\text{kN}$$

Jarak serat atas ke pusat prategang, dp

$$dp_1 = Y_t + e_x(x_1) \quad dp_1 = 0.976\text{m}$$

$$dp_2 = Y_t + e_x(x_2) \quad dp_2 = 1.448\text{m}$$

$$dp_3 = Y_t + e_x(x_3) \quad dp_3 = 1.564\text{m}$$

Persyaratan Geser menurut ACI :

$$0.4 \cdot f_{pu} = 744\text{Mpa} \quad < \quad f_{pe} = 1041.6\text{Mpa}$$

dapat menggunakan metoda sederhana sebagai berikut :

$$V_c = \frac{1}{20} \sqrt{\frac{f_c}{\text{MPa}}} + 4.8 \cdot \frac{V_u \cdot dp}{\text{Mu}}$$

$$\frac{V_u \cdot dp}{\text{Mu}} \leq 1 \quad \frac{V_{u1} \cdot dp_1}{\text{Mu}_1} = 1.04$$

$$\frac{V_{u2} \cdot dp_2}{\text{Mu}_2} = 0.107$$

$$\frac{V_{u3} \cdot dp_3}{\text{Mu}_3} = 0.057$$

$$vc_1 = \left( \frac{1}{20} \sqrt{\frac{f_c}{Mpa}} + 4.8 \cdot 1.0 \right) \text{Mpa} \quad vc_1 = 5.138 \text{ MPa}$$

$$vc_2 = \left( \frac{1}{20} \sqrt{\frac{f_c}{Mpa}} + 4.8 \cdot 0.107 \right) \text{Mpa} \quad vc_2 = 0.851 \text{ MPa}$$

$$vc_3 = \left( \frac{1}{20} \sqrt{\frac{f_c}{Mpa}} + 4.8 \cdot 0.057 \right) \text{Mpa} \quad vc_3 = 0.611 \text{ MPa}$$

$\lambda = 1$  (untuk beton normal)

$$vc_1 = \begin{cases} 0.4 \cdot \lambda \cdot \sqrt{f_c \cdot (\text{Mpa})} & \text{if } vc_1 > 0.4 \cdot \lambda \cdot \sqrt{f_c \cdot \text{Mpa}} \\ \frac{\lambda}{6} \cdot \sqrt{f_c \cdot (\text{MPa})} & \text{if } vc_1 \leq \frac{\lambda}{6} \cdot \sqrt{f_c \cdot (\text{MPa})} \\ vc_1 & \text{otherwise} \end{cases} \quad vc_1 = 2.703 \text{ Mpa}$$

$$vc_2 = \begin{cases} 0.4 \cdot \lambda \cdot \sqrt{f_c \cdot (\text{Mpa})} & \text{if } vc_2 > 0.4 \cdot \lambda \cdot \sqrt{f_c \cdot \text{Mpa}} \\ \frac{\lambda}{6} \cdot \sqrt{f_c \cdot (\text{MPa})} & \text{if } vc_2 \leq \frac{\lambda}{6} \cdot \sqrt{f_c \cdot (\text{MPa})} \\ vc_2 & \text{otherwise} \end{cases} \quad vc_2 = 1.126 \text{ Mpa}$$

$$vc_3 = \begin{cases} 0.4 \cdot \lambda \cdot \sqrt{f_c \cdot (\text{Mpa})} & \text{if } vc_3 > 0.4 \cdot \lambda \cdot \sqrt{f_c \cdot \text{Mpa}} \\ \frac{\lambda}{6} \cdot \sqrt{f_c \cdot (\text{MPa})} & \text{if } vc_3 \leq \frac{\lambda}{6} \cdot \sqrt{f_c \cdot (\text{MPa})} \\ vc_3 & \text{otherwise} \end{cases} \quad vc_3 = 1.126 \text{ Mpa}$$

Saat beban layan bekerja

Pada titik 1:  $x_1 = 0.914\text{m}$

$$V_{u1} = 1078.183\text{kN} > \phi \cdot v_{c1} \cdot b_w \cdot d_{p1} = 402.167\text{kN}$$

maka diperlukan tulangan geser tidak minimum

Menentukan spasi,  $s$        $s_{act} = 200\text{mm}$  (praktis)

$$s = \min \left( \begin{array}{l} 0.75 \cdot h \\ 600\text{mm} \\ s_{act} \end{array} \right) \quad s = 200\text{mm}$$

$$\text{Luas tul. minimum} \quad A_{vmin} = \frac{b_w \cdot s}{3 \cdot f_y} \cdot \text{Mpa} \quad A_{vmin} = 33.867\text{mm}^2$$

Menentukan luas tulangan geser,  $A_v$

$$A_{v1} = \left( \frac{V_{u1}}{\phi} - v_{c1} \cdot b_w \cdot d_{p1} \right) \cdot \frac{s}{f_y \cdot d} \quad A_{v1} = 226.722\text{mm}^2$$

Luas tul. geser dia =  $13 \cdot \text{mm}$

$$A_{v1act} = 0.25 \cdot \pi \cdot \text{dia}^2 \cdot 2 \quad A_{v1act} = 265.465\text{mm}^2 \quad > A_{vmin} \text{ atau } A_{v1} \dots \text{OK!}$$

$$\phi V_{n1} = \phi \cdot \left( v_{c1} \cdot b_w \cdot d_{p1} + \frac{A_{v1act} \cdot f_y \cdot d}{s} \right) \quad \phi V_{n1} = 1193.702\text{kN}$$

Pada titik 2:  $x_2 = 9 \text{ m}$

$$V_{u2} = 567.943 \text{ kN} > \phi \cdot v_{c2} \cdot b_w \cdot d_{p2} = 248.461 \text{ kN}$$

maka diperlukan tulangan geser tidak minimum

Menentukan spasi,  $s$        $s_{act} = 250 \text{ mm}$  (praktis)

$$s = \min \left( \begin{array}{l} 0.75 \cdot h \\ 600 \text{ mm} \\ s_{act} \end{array} \right) \quad s = 250 \text{ mm}$$

$$\text{Luas tul. minimum} \quad A_{v\min} = \frac{b_w \cdot s}{3 \cdot f_y} \cdot \text{Mpa} \quad A_{v\min} = 42.333 \text{ mm}^2$$

Menentukan luas tulangan geser,  $A_v$

$$A_{v2} = \left( \frac{V_{u2}}{\phi} - v_{c2} \cdot b_w \cdot d_{p2} \right) \cdot \frac{s}{f_y \cdot d} \quad A_{v2} = 133.935 \text{ mm}^2$$

$$\phi Vn_2 = \phi \cdot \left( vc2 \cdot bw \cdot dp2 + \frac{Av2_{act} \cdot fy \cdot d}{s} \right) \quad \phi Vn_2 = 881.689 \text{ kN}$$

Pada titik 3:  $x_3 = 12.6 \text{ m}$

$$Vu3 = 340.766 \text{ kN} > \phi \cdot 0.5vc3 \cdot bw \cdot dp3 = 134.171 \text{ kN}$$

maka diperlukan tulangan geser tidak minimum

Menentukan spasi,  $s$        $s_{act} = 300 \text{ mm}$  (praktis)

$$s = \min \begin{pmatrix} 0.75 \cdot h \\ 600 \text{ mm} \\ s_{act} \end{pmatrix} \quad s = 300 \text{ mm}$$

$$\text{Luas tul. minimum} \quad Av_{min} = \frac{bw \cdot s}{3 \cdot fy} \cdot \text{Mpa} \quad Av_{min} = 50.8 \text{ mm}^2$$

Menentukan luas tulangan geser,  $Av$

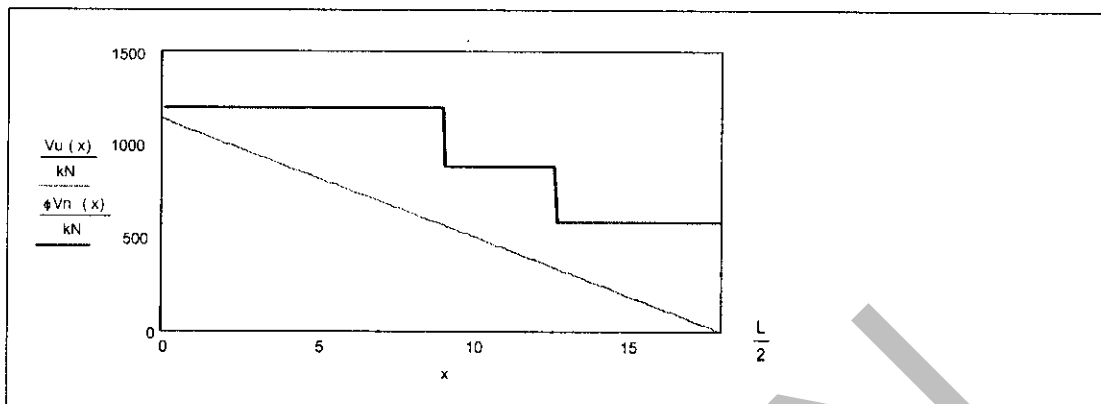
$$Av3 = \left( \frac{Vu3}{\phi} - vc3 \cdot bw \cdot dp3 \right) \cdot \frac{s}{fy \cdot d} \quad Av2 = 133.935 \text{ mm}^2$$

Luas tul. geser dia = 10 mm

$$Av_{3act} = 0.25 \cdot \pi \cdot dia^2 \cdot 2 \quad Av_{3act} = 157.08 \text{ mm}^2 \quad > Av_{min} \text{ atau } Av2..OK!$$

$$\phi Vn_3 = \phi \cdot \left( vc3 \cdot bw \cdot dp3 + \frac{Av_{3act} \cdot fy \cdot d}{s} \right) \quad \phi Vn_3 = 580.585 \text{ kN}$$

$$\phi Vn(x) = \begin{cases} \phi Vn_1 & \text{if } 0 \text{ m} < x \leq x_2 \\ \phi Vn_2 & \text{if } x_2 < x \leq x_3 \\ \phi Vn_3 & \text{if } x > x_3 \end{cases}$$



SALINAN

### ***3.4 Daerah pengangkuran untuk angkur prategang***

#### ***3.4.1 Angkur untuk komponen prategang pasca tarik***

Tulangan harus dipasang untuk memikul gaya tarik yang timbul dari aksi dan penyebaran gaya prategang pada daerah angkur.

Pada daerah pengangkuran harus dipasang tulangan untuk menahan gaya pemecah (bursting), gaya pembelah (splitting), dan gaya pengelupas (spalling) akibat pengangkuran tendon, kecuali apabila dapat dibuktikan bahwa hal itu memang tidak diperlukan.

Daerah dengan perubahan penampang mendadak harus diberi tulangan yang cukup. Angkur, penyambung dan penutup akhir (end fitting) harus dilindungi secara permanen terhadap karat.

#### ***3.4.2 Pembebaan yang diperhitungkan***

Pembebaan yang harus diperhitungkan meliputi:

- a). semua beban pada angkur;
- b). beban kritis selama pelaksanaan penarikan.

Bila jarak antara 2 angkur kurang dari 0,3 kali tinggi atau lebar total komponen, harus dipertimbangkan pengaruh pasangan angkur yang bekerja sebagai angkur tunggal ekivalen di bawah gaya prategang total.

Dalam menghitung pengaruh rencana harus digunakan nilai maksimum gaya prategang selama transfer.

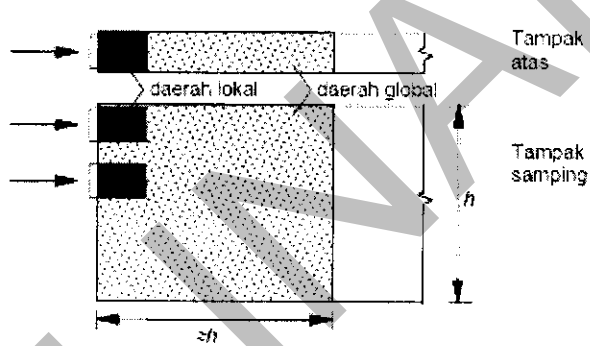
Jika angkur majemuk ditegangkan secara berurutan, gaya prategang total pada tiap tahapan dapat dikurangi untuk mengantisipasi kehilangan pada tendon yang sudah ditegangkan.

### 3.4.3 Perhitungan gaya tarik sepanjang garis kerja gaya angkur

Resultan gaya pecah dari tegangan tarik melintang yang terjadi sepanjang garis aksi gaya angkur besarnya tergantung pada gaya maksimum yang terjadi pada angkur saat penegangan, dan perbandingan tinggi atau lebar pelat tumpuan angkur dengan tinggi atau lebar prisma simetris.

Tinggi atau lebar prisma harus diambil yang terkecil dari:

- c). 2 kali jarak dari pusat angkur ke permukaan beton terdekat pada bidang penampang memanjang.
- d). Jarak dari pusat angkur ke pusat angkur sekitarnya yang terdekat.



Gambar 3.3-1 Daerah Angkur Lokal dan Global

### 3.4.4 Jumlah dan distribusi tulangan

Untuk gaya pemecah (bursting) di mana tulangan tidak di dekat permukaan beton dan ada tambahan tulangan permukaan, tegangan pada tulangan harus dibatasi maksimum 200 MPa.

Untuk gaya pengelupas (spalling) di mana terdapat lapisan tulangan pada tiap sisi komponen, tegangan pada tulangan permukaan harus dibatasi sampai 150 MPa untuk mengontrol retak. Tulangan harus diangkur dengan baik untuk menyalurkan tegangan tersebut.

Tulangan harus didistribusikan sebagai berikut:

Tulangan untuk gaya pemecah harus didistribusikan dari  $0,1h$  sampai  $1,0h$  dari permukaan yang dibebani.

- a). Tulangan yang serupa harus dipasang dari bidang pada  $0,1h$  sampai sedekat mungkin ke muka yang dibebani.  $h$  harus diambil sama dengan tinggi atau lebar dari prisma simetris. Tulangan yang dipasang untuk mencegah pemecahan juga dapat digunakan untuk mencegah pengelupasan asalkan posisinya tepat dan dijangkarkan dengan baik.
- b). Tulangan untuk gaya pengelupas harus dipasang sedekat mungkin ke muka yang dibebani dan konsisten dengan persyaratan selimut beton dan pemanatan.
- c). Pada tiap bidang yang sejajar dengan sisi yang dibebani, tulangan harus ditentukan dari penampang memanjang dengan persyaratan tulangan yang terbesar pada bidang tersebut, dan harus diperpanjang ke seluruh tinggi atau lebar daerah ujung.

#### *3.4.5 Angkur Untuk Komponen Prategang Pratarik*

Pada daerah pengangkuran komponen pra-tarik, tulangan untuk gaya pemecah umumnya tidak diperlukan.

Untuk mengontrol retak horisontal, sengkang vertikal yang dipasang harus menahan minimum 4% gaya prategang total saat transfer. Untuk mengontrol retak vertikal diperlukan sengkang horisontal dalam luas yang sama, dan dipasang bersama-sama sengkang vertikal jika diperlukan kontrol terhadap retak vertikal dan horisontal. Sengkang ini ditempatkan sebagai tulangan pencegah pengelupasan (spalling reinforcement) di sepanjang 0,25 kali tinggi (lebar) komponen dari muka ujung. Tulangan harus direncanakan untuk menyalurkan tegangan sebesar 150 MPa.

#### *3.4.6 Detail penulangan khusus pada daerah pengangkuran*

Harus diperhatikan tulangan yang diperlukan pada daerah tegangan tarik setempat seperti pada sudut tak bertegangan (dead end), angkur internal, dan angkur luar.

Pada angkur internal, tulangan khusus harus dipasang untuk menahan 20-40% gaya prategang dalam tendon.

Bila digunakan angkur luar, selain tulangan untuk menahan gaya pemecah, diperlukan tulangan tambahan untuk menahan tarik akibat kelengkungan tendon, menyediakan sambungan geser ke komponen utama dan melayani penyebaran gaya prategang, serta menahan tarik akibat eksentrisitas setempat dari gaya prategang.

#### 3.4.7 Panjang penyaluran untuk tendon pratarik

Jika tidak ada data pengujian yang cermat, panjang penyaluran  $L_p$  untuk pelepasan berangsur diambil minimum sebagai berikut:

- 150 kali diameter untuk kawat baja (wire)
- 60 kali diameter untuk kawat untai (strand).
- $(f_{ps} - \frac{2}{3} f_{se}) d_b / 7 \quad \text{mm}$

Bila lekatan kawat untai tidak menerus sampai ke ujung komponen, dan bila akibat beban kerja terdapat kondisi tarik pada beton yang awalnya mengalami tekan, maka nilai panjang penyaluran di atas harus dikali 2.

#### 3.4.8 Penyaluran tegangan tendon pasca tarik dengan pengangkuran

Pengangkuran tendon harus mampu menyalurkan kekuatan tarik  $f_{pu}$  ke dalam tendon.

Angkur untuk tendon yang tidak terlekat harus mampu menahan kondisi pembebaan berulang.

## 4 KEHILANGAN PRATEGANG

### 4.1 Umum

Secara umum kehilangan prategang dapat disebabkan oleh beberapa hal sebagai berikut:

1. Friksi (pasca-tarik saja)
2. Slip pengangkuran (*Anchorage-seating*)
3. Perpendekan elastik beton (*Elastic-shortening*)
4. Rangkak
5. Susut
6. Relaxation

Adapun penjelasan semua jenis kehilangan prategang ini dapat dijelaskan pada sub bab selanjutnya.

### 4.2 Kehilangan Akibat Friksi

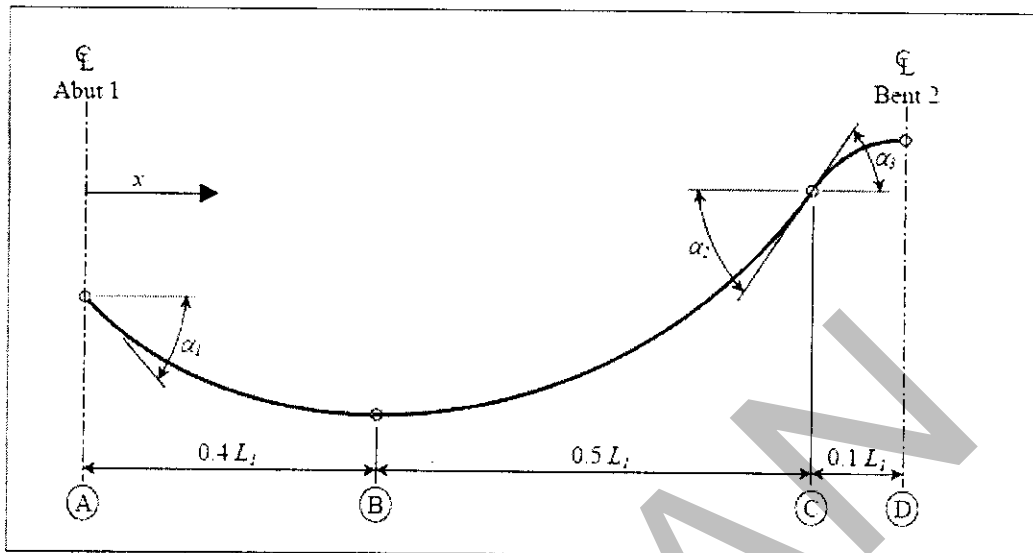
Kehilangan tegangan akibat friksi antara tendon dan selongsong beton sekitarnya dapat dihitung dengan menggunakan rumus sebagai berikut:

$$f_0 = f_x e^{(\mu\alpha + KL)}$$

(CL. 5.9.5.2.2 AASHTO-2004)

Dimana :

- $f_0$  = tegangan baja prategang pada saat *jacking* sebelum *seating*.  
 $f_x$  = tegangan baja prategang di titik x sepanjang tendon.  
 $e$  = nilai dasar logaritmik natural *naperian*  
 $\mu$  = koefisien friksi, bila tidak disebutkan dalam spesifikasi material nilainya dapat dilihat pada Tabel 2-1 Koefisien Friksi  
 $\alpha$  = perubahan sudut total dari profil layout kabel dalam radian dari titik *jacking*  
 $K$  = koefisien wobble, bila tidak disebutkan dalam spesifikasi material nilainya dapat dilihat Tabel 2-1 Koefisien Friksi  
 $L$  = Panjang baja prategang diukur dari titik *jacking*.



**Gambar 4-1 Contoh Model Layout Tendon**

**Tabel 4-1 Koefisien Friksi untuk tendon pasca-tarik (CL. 5.9.5.2.2 AASHTO-2004)**

Type of Steel	Type of Duct	K	m
Wire or strand	Rigid and semirigid galvanized metal sheathing	$6,6 \times 10^{-7}$	0,15-0,25
	Polyethylene	$6,6 \times 10^{-7}$	0,23
	Rigid steel pipe deviators for external tendons	$6,6 \times 10^{-7}$	0,25
High strength bars	Galvanized metal sheathing	$6,6 \times 10^{-7}$	0,30

Contoh Perhitungan:

CONTOH 4.1	Kehilangan Akibat Friksi	1
<b>SOAL :</b> Jembatan dua bentang box-girder yang ditarik di satu sisi.		
<b>DIBERIKAN :</b> Jumlah titik Analisis $np = 7$ Jumlah bentang $nb = 2$ Panjang Bentang (bentang pertama) $Sb_0 = 48\text{m}$ (bentang kedua) $Sb_1 = 42\text{m}$		

<b>Material</b> <b>Kabel Prategang</b> Jenis prategang Post = "Ya" (Post-tension) Jenis baja Low_relax = "Ya" Tegangan putus fpu = 1860·Mpa Tegangan saat jack fpj = 0.75·fpu $fpj = 1.395 \times 10^3 \text{ Mpa} \quad (\text{maks.})$ Tegangan leleh fpy = 0.85·fpu $fpy = 1581 \text{ Mpa}$ Modulus elastisitas Eps = 195000·Mpa	Koefisien friksi $\mu = 0.15$ (panjang frame < 180 m) Koefisien wobble $K = 0.00066 \cdot \frac{1}{m}$ <b>Layout kabel</b> <table border="0"> <tbody> <tr> <td><math>L_{x_0} = 0</math></td><td><math>y_{p_0} = 1.05</math></td></tr> <tr> <td><math>L_{x_1} = 19.2</math></td><td><math>y_{p_1} = 0.305</math></td></tr> <tr> <td><math>L_{x_2} = 43.2</math></td><td><math>y_{p_2} = 1.32</math></td></tr> <tr> <td><math>L_{x_3} = 48</math></td><td><math>y_{p_3} = 1.52</math></td></tr> <tr> <td><math>L_{x_4} = 52.2</math></td><td><math>y_{p_4} = 1.32</math></td></tr> <tr> <td><math>L_{x_5} = 73.2</math></td><td><math>y_{p_5} = 0.305</math></td></tr> <tr> <td><math>L_{x_6} = 90</math></td><td><math>y_{p_6} = 1.05</math></td></tr> </tbody> </table> <p><math>L_x</math> = jarak dari ujung penarikan kabel terhadap titik yang ditinjau.  <math>y_p</math> = elevasi kabel terhadap serat terbawah penampang.</p>	$L_{x_0} = 0$	$y_{p_0} = 1.05$	$L_{x_1} = 19.2$	$y_{p_1} = 0.305$	$L_{x_2} = 43.2$	$y_{p_2} = 1.32$	$L_{x_3} = 48$	$y_{p_3} = 1.52$	$L_{x_4} = 52.2$	$y_{p_4} = 1.32$	$L_{x_5} = 73.2$	$y_{p_5} = 0.305$	$L_{x_6} = 90$	$y_{p_6} = 1.05$
$L_{x_0} = 0$	$y_{p_0} = 1.05$														
$L_{x_1} = 19.2$	$y_{p_1} = 0.305$														
$L_{x_2} = 43.2$	$y_{p_2} = 1.32$														
$L_{x_3} = 48$	$y_{p_3} = 1.52$														
$L_{x_4} = 52.2$	$y_{p_4} = 1.32$														
$L_{x_5} = 73.2$	$y_{p_5} = 0.305$														
$L_{x_6} = 90$	$y_{p_6} = 1.05$														
<b>Langkah 1:</b> Menentukan beda tinggi $y$ dan beda jarak $L$ Array spasi $i = 0..(np - 2)$ {bilangan 0,1,..,s/d 5} $y_i =  y_{p_{i+1}} - y_{p_i}  \quad L_i = L_{x_{i+1}} - L_{x_i}$															

**Langkah 2: Menghitung perbedaan sudut vertikal (radian)**

$\alpha =$

Segmen	y (m)	L (m)	$\alpha = 2(y/L)$
AB	0.745	19.200	0.078
BC	1.015	24.000	0.085
CD	0.200	4.800	0.083
DE	0.200	4.200	0.095
EF	1.015	21.000	0.097
FG	0.745	16.800	0.089

(y L)

**Langkah 3: Menghitung rasio tegangan setelah friksi terhadap  $f_o$  (=  $f_p$ )**

Segmen	$\mu$	$\alpha = 2(y/L)$	$\Sigma\alpha$	Wobble, K	L	$\Sigma L$	$\mu\Sigma\alpha + K\Sigma L$	$e^{-(\mu\Sigma\alpha + K\Sigma L)}$
AB	0.150	0.078	0.078	0.00066	19.20	19.200	0.024	0.976
BC	0.150	0.085	0.162	0.00066	24.00	43.200	0.053	0.949
CD	0.150	0.083	0.246	0.00066	4.80	48.000	0.069	0.934
DE	0.150	0.095	0.341	0.00066	4.20	52.200	0.086	0.918
EF	0.150	0.097	0.437	0.00066	21.00	73.200	0.114	0.892
FG	0.150	0.089	0.526	0.00066	16.80	90.000	0.138	0.871

**Langkah 4: Menghitung kehilangan tegangan akibat friksi**

$$\Delta f_f = f_o - f_x = f_o \left[ 1 - e^{-(\mu\Sigma\alpha + K\Sigma L)} \right] \quad (\text{Rumus})$$

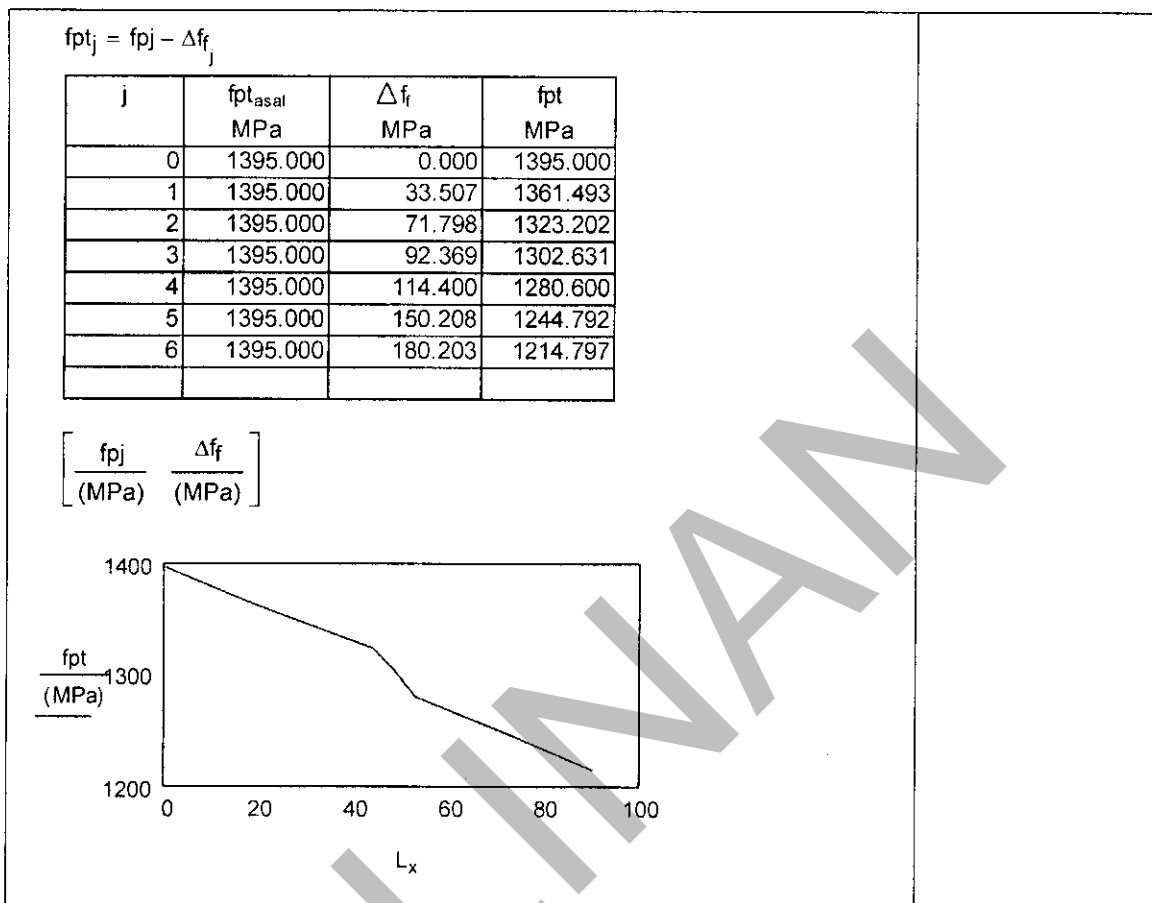
$$\Delta f_f = f_o (1 - R_f)$$

j = 0 .. (np - 1) {bilangan 0,1,...,s/d 6}

$$\Delta f_{f_j} = \begin{cases} 0 & \text{if } j = 0 \\ f_p j (1 - R_{f_{j-1}}) & \text{otherwise} \end{cases}$$

$$\Delta f_f = \begin{cases} 0 \\ 33.507 \\ 71.798 \\ 92.369 \\ 114.4 \\ 150.208 \\ 180.203 \end{cases} \text{ MPa}$$

**Langkah 5: Tegangan prategang subtotal setelah friksi**



#### 4.3 Kehilangan Akibat Slip Pengangkuran

Kehilangan prategang yang disebabkan oleh slipnya baji-baji pada angkur saat gaya jacking ditransfer pada angkur. Besarnya slip angkur tergantung pada angkur saat gaya jacking ditransfer pada angkur. Besarnya slip angkur tergantung pada sistem prategang yang digunakan, nilainya bervariasi antara 3 – 10 mm. Nilai slip angkur 6 mm dapat diasumsikan dalam perhitungan untuk pendekatan (CL. 5.9.5.2.1 AASHTO-2004).

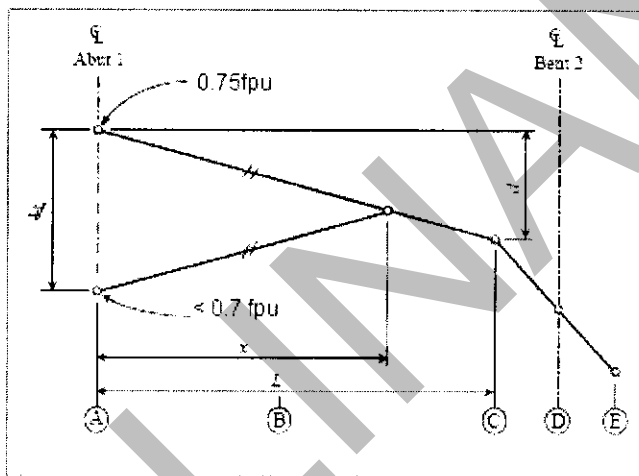
Kehilangan prategang yang terjadi akibat slip angkur dapat ditentukan dengan pendekatan rumus sebagai berikut :

$$\Delta f_A = \frac{2 \cdot d \cdot x}{L}$$

$$x = \sqrt{\frac{E \cdot (\Delta L) \cdot L}{d}}$$

Dimana

- $\Delta f_A$  = kehilangan prategang akibat slip angkur
- d = kehilangan akibat friksi pada jarak L dari titik penarikan.
- x = panjang yang terpengaruh oleh slip angkur
- L = jarak antara titik penarikan(jacking) dengan titik dimana kehilangan diketahui
- $\Delta L$  = slip angkur , normalnya 6 mm s/d 9mm.



**Gambar 4-2 Slip Angkur**

<b>CONTOH 4.2</b>	<b>Kehilangan Akibat Slip Angkur</b>	2
<b>SOAL :</b> Hitung kehilangan akibat slip angkur pada contoh 2.1.		
<b>Diberikan :</b>		
Modulus elastisitas kabel	$E_{ps} = 195000 \text{ MPa}$	
Besarnya selip pada angkur	$\Delta L = 0.0095 \text{ m}$	
Jarak ke titik yang diketahui	$L = L_0 + L_1 = 43.2 \text{ m}$	
Kehilangan akibat friksi sejarak L	$d = \Delta f_f \cdot L$	$d = 71.798 \text{ MPa}$

**Langkah 1:** Jarak yang terpengaruh oleh slip angkur, x

$$x = \sqrt{\frac{Eps \cdot \Delta L \cdot L}{d}} \quad x = 33.386 \text{ m}$$

**Langkah 2:** Kehilangan tegangan akibat anchor set

$$\Delta f_a = \frac{2 \cdot d \cdot x}{L} \quad \Delta f_a = 110.975 \text{ MPa}$$

**Langkah 3:** Check tegangan pada posisi angkur setelah slip  
(tegangan harus kurang dari 0.7fpu)

$$f_p = f_{pj} - \Delta f_a$$

$$f_p = 1284.025 \text{ MPa} < 0.7f_{pu} = 1.302 \times 10^3 \text{ MPa} \quad \text{OK!}$$

**Langkah 4:** Tegangan prategang setelah slip angkur

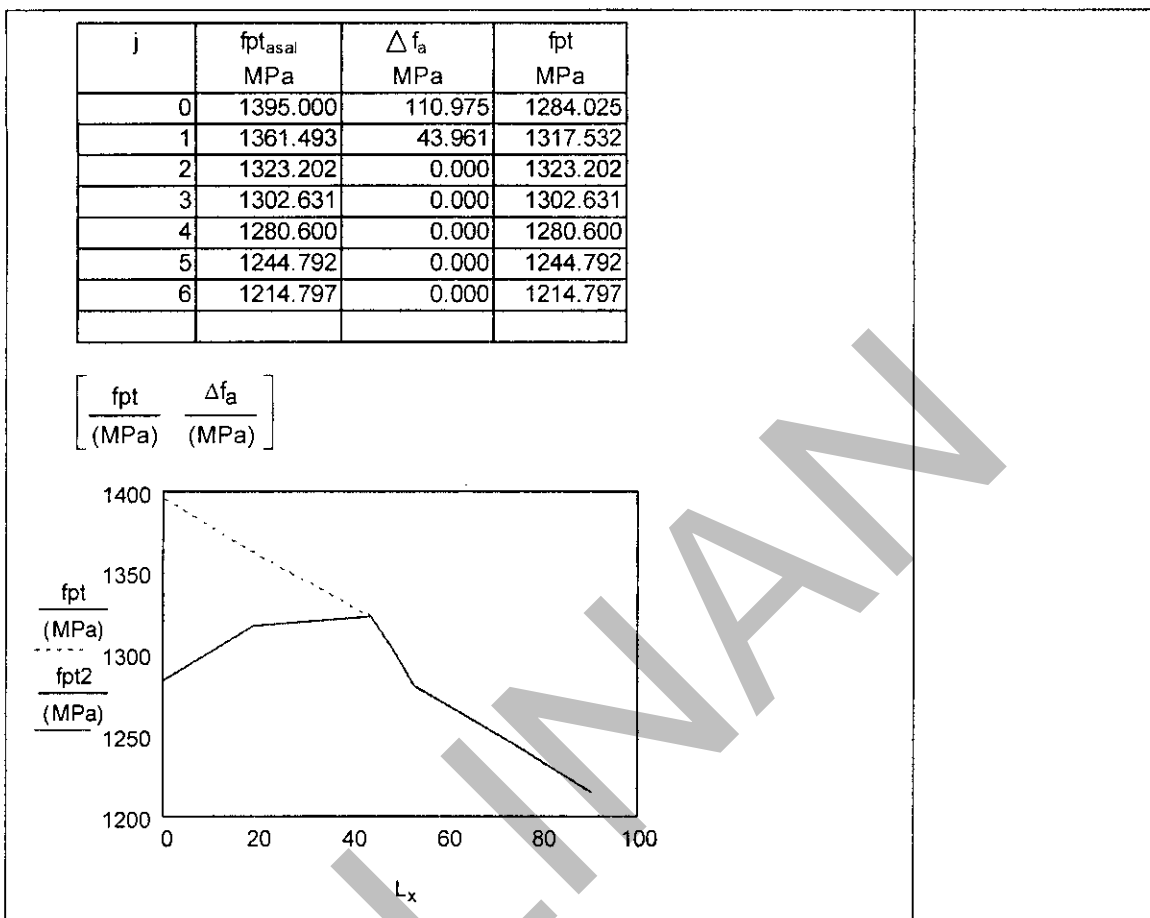
$$\text{Tegangan di ujung} \quad f_{puj} = f_{pj} - \Delta f_a$$

$$f_{puj} = 1.284 \times 10^3 \text{ MPa}$$

$$f_{pt2j} = \begin{cases} f_{puj} & \text{if } j = 0 \\ \min(f_{ptj}, f_{puj} + \Delta f_{fj}) & \text{otherwise} \end{cases}$$

Redefinisi kehilangan akibat slip angkur

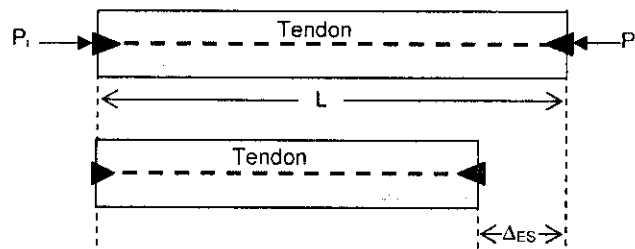
$$\Delta f_a = f_{pt} - f_{pt2}$$



#### 4.4 Kehilangan Akibat Pemendekan Beton

Beton menjadi lebih pendek bila gaya prategang diaplikasikan. Bersamaan dengan pemendekan itu tendon yang tertanam dalam beton tersebut kehilangan sebagian gaya yang dibawanya.

Untuk beton prategang pasca-tarik kehilangan akibat pemendekan beton tidak ada bila beton ditarik bersamaan. Bila tidak bersamaan kehilangan prategang pada pasca-tarik besarnya  $\frac{1}{2}$  kali nilai pra-tarik.



**Gambar 4-3 Pemendekan Beton**

Gambar 4-3 mengilustrasikan pemendekan beton yang disebabkan bekerjanya gaya prategang initial  $P_i$ . Regangan yang terjadi adalah

$$\varepsilon_{ES} = \frac{\Delta_{ES}}{L} = \frac{f_c}{E_c} = \frac{P_i}{A_c E_c}$$

Kehilangan tegangan akibat pemendekan beton dapat dihitung sebagai berikut:

$$\Delta f_{ES} = \varepsilon_{ES} E_s = \frac{P_i}{A_c E_c} E_s = \frac{P_i}{A_c} n = f_{cs} n$$

Dimana

$f_{cs}$  = tegangan dalam beton pada level pusat tendon prategang.

$n$  = nilai modular atau rasio  $E_s/E_c$ .

Jika layout tendon mempunyai eksentrisitas terhadap pusat penampang dan berat sendiri beton ikut diperhitungkan maka :

$$f_{cs} = -\frac{P_i}{A_c} \left( 1 + \frac{e^2}{r^2} \right) + \frac{M_{Ic} e}{I_c}$$

Catatan:

$f_{cs}$  bernilai (-) bila menyebabkan tekan dan bernilai (+) bila menyebabkan tarik.

CONTOH 4.3	Kehilangan Akibat Pemendekan Beton	3																																							
<b>SOAL :</b> Hitung kehilangan akibat pemendekan beton pasca-tarik pada contoh 2.1.																																									
<p>a. Jika 2 tendon sekaligus dalam sekali penarikan</p> <p>b. Jika 1 tendon dalam sekali penarikan</p> <p>c. Jika semua ditarik bersamaan</p>																																									
<b>Diberikan :</b>																																									
<table> <tbody> <tr> <td>Mutu beton silinder</td> <td><math>f_c = 60 \text{ MPa}</math></td> <td></td> </tr> <tr> <td>Modulus elastisitas beton (28hari)</td> <td><math>E_c = 4700 \cdot \sqrt{f_c \cdot \text{MPa}}</math></td> <td></td> </tr> <tr> <td></td> <td><math>E_c = 3.641 \times 10^4 \text{ MPa}</math></td> <td></td> </tr> <tr> <td>Mutu beton saat transfer</td> <td><math>f_{ci} = 0.65 \cdot f_c</math></td> <td><math>f_{ci} = 39 \text{ MPa}</math></td> </tr> <tr> <td>Modulus elastisitas beton initial</td> <td><math>E_{ci} = 4700 \cdot \sqrt{f_{ci} \cdot \text{MPa}}</math></td> <td></td> </tr> <tr> <td></td> <td><math>E_{ci} = 2.935 \times 10^4 \text{ MPa}</math></td> <td></td> </tr> <tr> <td>Luas penampang</td> <td><math>A_{cj} = 6 \text{ m}^2</math></td> <td></td> </tr> <tr> <td>Momen inersia</td> <td><math>I_{cj} = 3.764 \text{ m}^4</math></td> <td></td> </tr> <tr> <td>Garis berat bawah</td> <td><math>y_{bj} = 1.05 \text{ m}</math></td> <td></td> </tr> <tr> <td>Radius girasi</td> <td><math>r = \sqrt{\frac{I_c}{A_c}}</math></td> <td></td> </tr> <tr> <td>Berat isi beton</td> <td><math>\gamma_c = 24 \text{ kN} \cdot \text{m}^{-3}</math></td> <td></td> </tr> <tr> <td>Jumlah tendon</td> <td><math>ntd = 4</math></td> <td></td> </tr> <tr> <td>Luas total kabel</td> <td><math>A_{ps} = 7200 \text{ mm}^2</math></td> <td></td> </tr> </tbody> </table>			Mutu beton silinder	$f_c = 60 \text{ MPa}$		Modulus elastisitas beton (28hari)	$E_c = 4700 \cdot \sqrt{f_c \cdot \text{MPa}}$			$E_c = 3.641 \times 10^4 \text{ MPa}$		Mutu beton saat transfer	$f_{ci} = 0.65 \cdot f_c$	$f_{ci} = 39 \text{ MPa}$	Modulus elastisitas beton initial	$E_{ci} = 4700 \cdot \sqrt{f_{ci} \cdot \text{MPa}}$			$E_{ci} = 2.935 \times 10^4 \text{ MPa}$		Luas penampang	$A_{cj} = 6 \text{ m}^2$		Momen inersia	$I_{cj} = 3.764 \text{ m}^4$		Garis berat bawah	$y_{bj} = 1.05 \text{ m}$		Radius girasi	$r = \sqrt{\frac{I_c}{A_c}}$		Berat isi beton	$\gamma_c = 24 \text{ kN} \cdot \text{m}^{-3}$		Jumlah tendon	$ntd = 4$		Luas total kabel	$A_{ps} = 7200 \text{ mm}^2$	
Mutu beton silinder	$f_c = 60 \text{ MPa}$																																								
Modulus elastisitas beton (28hari)	$E_c = 4700 \cdot \sqrt{f_c \cdot \text{MPa}}$																																								
	$E_c = 3.641 \times 10^4 \text{ MPa}$																																								
Mutu beton saat transfer	$f_{ci} = 0.65 \cdot f_c$	$f_{ci} = 39 \text{ MPa}$																																							
Modulus elastisitas beton initial	$E_{ci} = 4700 \cdot \sqrt{f_{ci} \cdot \text{MPa}}$																																								
	$E_{ci} = 2.935 \times 10^4 \text{ MPa}$																																								
Luas penampang	$A_{cj} = 6 \text{ m}^2$																																								
Momen inersia	$I_{cj} = 3.764 \text{ m}^4$																																								
Garis berat bawah	$y_{bj} = 1.05 \text{ m}$																																								
Radius girasi	$r = \sqrt{\frac{I_c}{A_c}}$																																								
Berat isi beton	$\gamma_c = 24 \text{ kN} \cdot \text{m}^{-3}$																																								
Jumlah tendon	$ntd = 4$																																								
Luas total kabel	$A_{ps} = 7200 \text{ mm}^2$																																								
<p><b>Langkah 1:</b> Menentukan eksentrisitas kabel</p> $e_{xj} = y_{bj} - y_{pj} \cdot m$																																									

j	L <sub>x</sub> m	e <sub>x</sub> m
0	0.00	0.000
1	19.20	0.745
2	43.20	-0.270
3	48.00	-0.470
4	52.20	-0.270
5	73.20	0.745
6	90.00	0.000

Catatan:  
tanda (+) dibawah cgc

$$\left( L_x \frac{e_x}{m} \right)$$

**Langkah 2:** Hitung Momen akibat berat sendiri

$$Q_d = 144 \text{ m}^{-1} \text{ kN}$$

$$M_D(x) = \frac{1}{2} \cdot Q_d \cdot L_b \cdot x - \frac{Q_d}{2} \cdot x^2$$

j	L <sub>j</sub> m	M <sub>D</sub> kN m
0	0.00	0.00
1	19.20	39,813.12
2	43.20	14,929.92
3	48.00	0.00
4	52.20	11,430.72
5	73.20	30,481.92
6	90.00	0.00

**Langkah 3:** Tegangan pada beton di level prategang

Gaya prategang saat transfer  
(nawymembolehkan reduksi 10% , P<sub>i</sub> = 0.9P<sub>j</sub>)

$$P_i = f_{pj} \cdot A_{ps}$$

$$P_i = 10044 \text{ kN}$$

$$f_{csj} = \frac{P_i}{A_{cj}} \left[ 1 + \frac{(e_j)^2}{(r_j)^2} \right] - \frac{M_{Dj} \cdot e_j}{I_{cj}}$$

Catatan:  
untuk losses tegangan tekan yang  
menyebabkan losses)

$$f_{cs} = \begin{pmatrix} 1.674 \\ -4.725 \\ 2.939 \\ 2.263 \\ 2.688 \\ -2.878 \\ 1.674 \end{pmatrix} \text{ MPa}$$

**Langkah 4:** Kehilangan tegangan pada beton pra-tarik

$$n = \frac{E_{ps}}{E_{ci}} \quad n = 6.644$$

$$\Delta f_{ES\_pre} = n \cdot f_{cs} \quad (\text{kehilangan pemendekan total bila terjadi pada pra-tarik})$$

**Langkah 5:** Kehilangan tegangan pada beton pasca-tarik

Untuk pasca tarik yang ditarik tidak bersamaan, dengan kondisi penarikan sebagai berikut:

a. Masing-masing penarikan per 2 tendon.

$$ntj = 2$$

$$\text{jumlah penarikan} \quad n_j = \frac{ntd}{ntj} \quad n_j = 2$$

$$\Delta f_{ES\_post} = \sum_{i=1}^{n_j} \frac{i-1}{n_j-1} \cdot \Delta f_{ES\_pre} \quad \Delta f_{ES\_post} =$$

5.561
-15.696
9.764
7.519
8.931
-9.561
5.561

MPa

b. Masing-masing penarikan per 1 tendon.

$$ntj = 1$$

$$\text{jumlah penarikan} \quad n_j = \frac{ntd}{ntj} \quad n_j = 4$$

$$\Delta f_{ES\_post} = \sum_{i=1}^{n_j} \frac{i-1}{n_j-1} \cdot \Delta f_{ES\_pre} \quad \Delta f_{ES\_post} =$$

5.561
-15.696
9.764
7.519
8.931
-9.561
5.561

MPa

## c. Penarikan semua tendon sekaligus

$$ntj = ntd \quad ntj = 4$$

$$\text{jumlah penarikan} \quad nj = \frac{ntd}{ntj} \quad nj = 1$$

$$\Delta f_{ES\_post} = \sum_{i=1}^{nj} \frac{i-1}{nj-1} \cdot \Delta f_{ES\_pre} \quad \Delta f_{ES\_post} =$$

Kehilangan akibat pemendekan

$$\Delta f_{ES} = \begin{cases} \Delta f_{ES\_post} & \text{if Post = "Ya"} \\ \Delta f_{ES\_pre} & \text{otherwise} \end{cases}$$

$$\begin{pmatrix} 0 \\ 0 \\ 0 \\ 0 \\ 0 \\ 0 \end{pmatrix}$$

MPa

---

---

**MANUAL PERENCANAAN STRUKTUR BETON PRATEKAN UNTUK JEMBATAN**

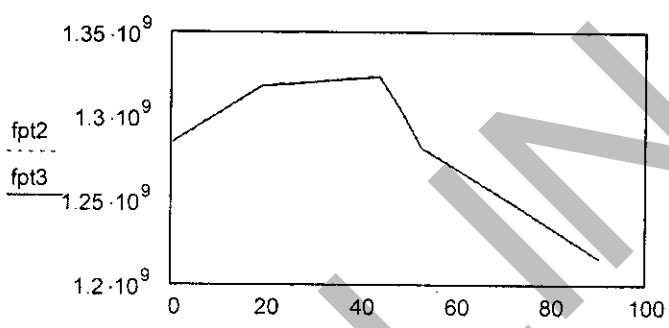
---

Tegangan prategang setelah pemendekan

$$fpt3_j = fpt2_j - \Delta f_{ES_j}$$

j	fpt <sub>asal</sub> MPa	$\Delta f_{ES}$ MPa	fpt MPa
0	1284.025	0.000	1284.025
1	1317.532	0.000	1317.532
2	1323.202	0.000	1323.202
3	1302.631	0.000	1302.631
4	1280.600	0.000	1280.600
5	1244.792	0.000	1244.792
6	1214.797	0.000	1214.797

$$\left( \frac{fpt2}{\text{MPa}} \quad \frac{\Delta f_{ES}}{\text{MPa}} \right)$$



#### 4.5 Kehilangan Akibat Susut Beton

Bila tidak terbenam dalam air terus menerus (kondisi kelembaban 100%), beton akan kehilangan kebasahannya (*moisture*) dan berkurang volumenya. Proses ini disebut sebagai penyusutan beton. Besarnya penyusutan beton dapat bervariasi dari nol (terbenam dalam air) sampai 0,0008 untuk penampang tipis yang terbuat dari agregat dengan penyusutan tinggi dan tidak dilakukan *curing* dengan baik.

Besarnya susut beton dipengaruhi oleh beberapa faktor diantaranya:

- proporsi campuran
- jenis agregat
- rasio w/c
- jenis semen
- jenis dan waktu *curing*
- ukuran dan bentuk, atau rasio volume terhadap permukaan (V/S)
- kondisi lingkungan, kelembaban rata-rata di lokasi jembatan

Rumus umum kehilangan tegangan akibat susut berdasarkan PCI (*Prestressed Concrete Institute*) dituliskan sebagai berikut :

$$\Delta f_{sh} = 8.2 \cdot 10^{-6} \cdot K_{sh} \cdot E_{ps} \cdot \left(1 - 0.006 \cdot \frac{V}{S}\right) \cdot (100 - R_h)$$

Dimana :

$K_{sh}$  = konstanta yang bernilai 1 untuk pretension. Adapun untuk post-tension nilainya diberikan pada tabel dibawah ini.

$E_{ps}$  = Modulus elastisitas baja prategang. [ MPa ]

$R_h$  = kelembaban relatif. [ % ]

V/S = volume / luas permukaan. [ inci ]

Tabel 4-2      Tabel  $K_{sh}$  untuk pasca-tarik.

t (hari)	1	3	5	7	10	20	30	60
$K_{sh}$	0.92	0.85	0.8	0.77	0.73	0.64	0.58	0.45

---

---

**MANUAL PERENCANAAN STRUKTUR BETON PRATEKAN UNTUK JEMBATAN**

---

Kehilangan akibat susut untuk kondisi standar bisa juga dihitung sebagai fungsi waktu dengan persamaan lainnya. Cara seperti ini dapat dilihat pada persamaan di bawah ini sebagai berikut:

a. Perawatan kondisi basah (*moist-curing*), setelah 7 hari

$$\Delta f_{sh} = \left( \frac{t}{35+t} \cdot 0.51 \cdot 10^{-3} \right) \cdot K_s \cdot K_h \cdot E_{ps}$$

b. Perawatan *stream-curing*, setelah 1 sampai dengan 3 hari.

$$\Delta f_{sh} = \left( \frac{t}{55+t} \cdot 0.56 \cdot 10^{-3} \right) \cdot K_s \cdot K_h \cdot E_{ps}$$

Dimana :

$t$  = waktu (hari)

$E_{ps}$  = Modulus elastisitas baja prategang. [ MPa ]

$\Delta f_{sh}$  = Kehilangan akibat susut [ MPa ]

$K_s$  = faktor ukuran, ditentukan dalam gambar 2-4, atau persamaan berikut

$$K_s(t) := \left[ \frac{\frac{t}{0.0142 \cdot \left( \frac{V}{S} \right)} + t}{\frac{26 \cdot e^{\frac{t}{45+t}}}{45+t}} \right] \left( \frac{1064 - 3.70 \cdot \frac{V}{S}}{923} \right)$$

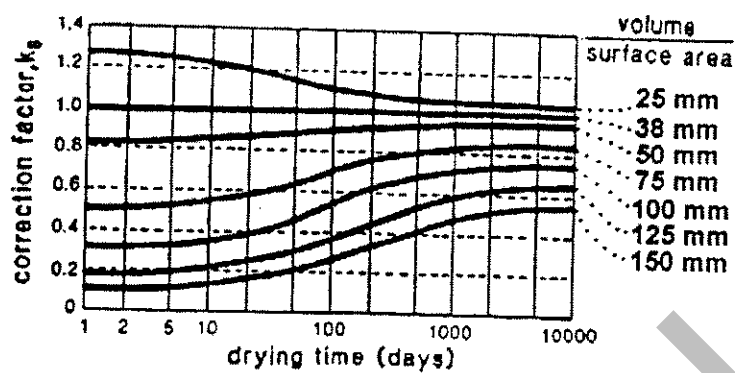
Catatan : V/S dalam [ mm ] dan t dalam [ hari ]

$K_h$  = faktor kelembaban, ditentukan dalam tabel 2-4 atau persamaan berikut

$$K_h := \begin{cases} \frac{140 - H}{70} & \text{if } H < 80 \\ \frac{3 \cdot (100 - H)}{70} & \text{if } H \geq 80 \end{cases}$$

Dimana :

H = kelembaban relatif (%)



Gambar 4-4 Faktor  $K_s$

Tabel 4-3 Faktor  $K_h$

Average Ambient Relative Humidity %	$K_h$
40	1.43
50	1.29
60	1.14
70	1.00
80	0.86
90	0.43
100	0.00

**CONTOH 4.4**

**Kehilangan Akibat Susut Beton**

4

**SOAL :** Hitung kehilangan akibat susut beton pasca-tarik pada contoh 2.1 dengan menggunakan :

- a. Metoda PCI
- b. Metoda AASHTO

**Diberikan :**

Jenis prategang Post = "Ya" (Post-tension)

Jenis curing Moist = "Ya" (moist curing)

Waktu setelah curing  $t = 14$  (hari)

Kelembaban relatif  $R_h = 70$  (%)

Asumsi :  $S = 1$  (Luas permukaan yang terekspos)

$V = 2 \cdot S$   $V = 2$  (Volume beton)

**Langkah 1 : Hitung Kehilangan akibat Susut Beton**

a. Rumus PCI (Metoda Ksh),

$K_{sh}$  bernilai 1 untuk pratarik,  
adapun untuk Pasca-tarik lihat tabel dibawah

$K_{sh} =$

$t$ (hari)	1	3	5	7	10	20	30	60
$K_{sh}$	0.92	0.85	0.8	0.77	0.73	0.64	0.58	0.45

$t$

$$K_{sh} = 0.694$$

$$\Delta f_{sh\_1} = 8.2 \cdot 10^{-6} \cdot K_{sh} \cdot Eps \left( 1 - 0.006 \cdot \frac{V}{S} \right) \cdot (100 - R_h)$$

$$\Delta f_{sh\_1} = 32.892 \text{ MPa}$$

b. Rumus AASHTO

**MANUAL PERENCANAAN STRUKTUR BETON PRATEKAN UNTUK JEMBATAN**

$$\Delta f_{sh\_2} = \begin{cases} (117 - 1.03R_h) \text{ MPa} & \text{if Post } \neq "Ya" \\ (93 - 0.85 \cdot R_h) \cdot \text{MPa} & \text{otherwise} \end{cases}$$

$$\Delta f_{sh\_2} = 33.5 \text{ MPa}$$

$$\Delta f_{sh_j} = \max(\Delta f_{sh\_1}, \Delta f_{sh\_2})$$

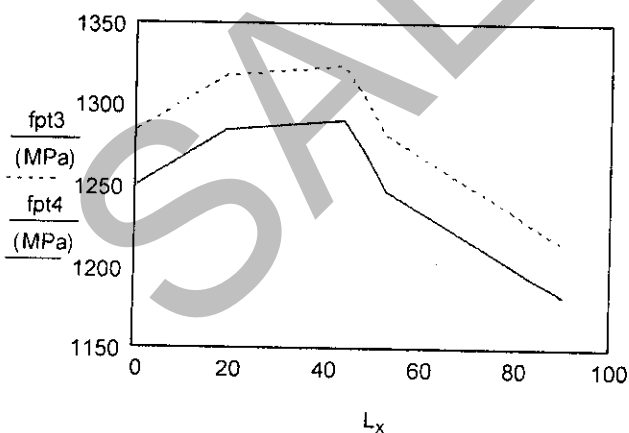
$$\max(\Delta f_{sh\_1}, \Delta f_{sh\_2}) = 33.5 \text{ MPa}$$

**Langkah 2:** Tegangan prategang setelah susut

$$fpt4_j = fpt3_j - \Delta f_{sh_j}$$

j	fpt <sub>asal</sub> MPa	$\Delta f_{sh}$ MPa	fpt MPa
0	1284.025	33.500	1250.525
1	1317.532	33.500	1284.032
2	1323.202	33.500	1289.702
3	1302.631	33.500	1269.131
4	1280.600	33.500	1247.100
5	1244.792	33.500	1211.292
6	1214.797	33.500	1181.297

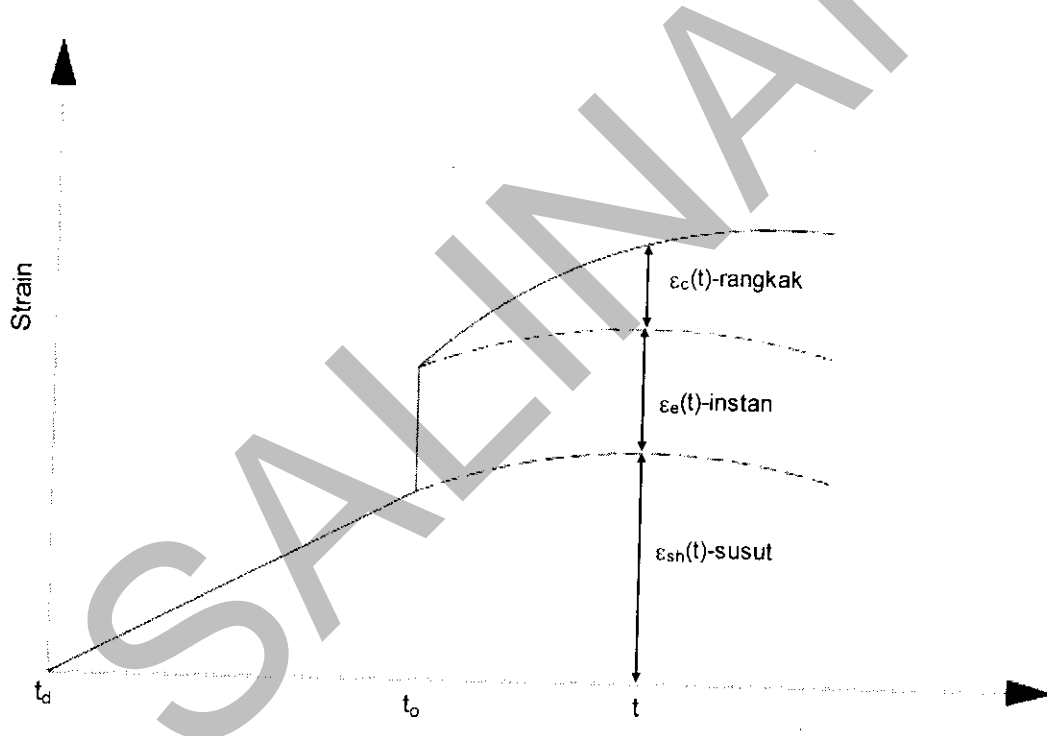
$$\left[ \frac{fpt3}{(\text{MPa})} \quad \frac{\Delta f_{sh}}{(\text{MPa})} \right]$$



#### 4.6 Kehilangan Akibat Rangkak Beton

Pada bab awal telah diterangkan mengenai kurva tegangan-regangan beton. Kurva tersebut sangat tergantung pada besarnya pembebahan dan *time-history* pembebahan. Bila material beton ditekan oleh pembebahan tertentu secara konstan sehingga regangan beton meningkat, maka peristiwa ini disebut rangkak.

Regangan atau deformasi pada beton umumnya disebabkan oleh 3 hal yaitu susut, rangkak dan beban itu sendiri. Regangan akibat susut dan rangkak disebut regangan fungsi waktu (*time-dependent*), sedangkan regangan akibat beban disebut regangan seketika. Komponen regangan ini dapat dilihat pada gambar 4-5.



Gambar 4-5 Regangan vs waktu untuk specimen dibawah tegangan konstan

Regangan susut mulai terjadi sesaat setelah pengeringan dimulai pada waktu  $t_d$  (seketika setelah setting atau pada akhir *moist curing*). Regangan susut terus meningkat seiring dengan penambahan waktu. Saat tegangan pertama diaplikasikan

pada  $t_0$ , tegangan ini menyebabkan lonjakan regangan secara seketika dalam diagram regangan yang langsung diikuti pula oleh regangan rangkak.

Perkiraan kehilangan tegangan akibat rangkak dapat dihitung dengan menggunakan rumusan dari AASHTO (CL. 5.9.5.4.3 AASHTO-2004) sebagai berikut:

$$\Delta f_{cr} = 12.f_{cs} - 7.\Delta f_{cdp} \geq 0,0$$

#### Catatan

$f_{cs}$  = tegangan beton di level pusat prategang

$\Delta f_{cdp}$  = perbedaan tegangan beton di level pusat pratekan akibat beban permanen dengan pengecualian beban yang bekerja saat gaya pratekan diaplikasikan

CONTOH 4.5	Kehilangan Akibat Rangkak Beton	5
<b>SOAL :</b> Hitung kehilangan akibat rangkak beton pasca-tarik pada contoh 2.1 dengan menggunakan :		
a. Metoda AASHTO b. Metoda ACI-ASCE		
<b>Diberikan :</b>		
Jenis prategang	Post = "Ya"	(Post-tension)
Beban mati superimposed	$Qsd = 5.5 \frac{\text{kN}}{\text{m}}$	
<b>Langkah 1 : Momen akibat superimposed</b>		$M_{sd}(x)$ adalah momen akibat beban mati superimposed yang didefinisikan sebagai fungsi terhadap jarak $x$ dari ujung penarikan.
Beban mati superimposed		
$Qsd = 5.5 \frac{\text{kN}}{\text{m}}$		
$MSD(x) = \frac{1}{2} \cdot Qsd \cdot Lb \cdot x - \frac{Qsd}{2} \cdot x^2$		

**MANUAL PERENCANAAN STRUKTUR BETON PRATEKAN UNTUK JEMBATAN**

j	L <sub>x</sub> m	M <sub>SD</sub> kN m
0	0.00	0.00
1	19.20	1,520.64
2	43.20	570.24
3	48.00	0.00
4	52.20	436.59
5	73.20	1,164.24
6	90.00	0.00

$$\left( L_x \frac{M_{SD}}{kN \cdot m} \right)$$

**Langkah 2: Tegangan akibat superimposed**

$$f_{csd,j} = \frac{M_{SD,j}}{Ic_j} \cdot e_x$$

$$\Delta f_{cdp,j} = f_{cs,j} - f_{csd,j}$$

j	f <sub>cs</sub> MPa	f <sub>csd</sub> MPa	Δ f <sub>cdp</sub> MPa
0	1.674	0.000	1.674
1	-4.725	0.301	-5.026
2	2.939	-0.041	2.980
3	2.263	0.000	2.263
4	2.688	-0.031	2.720
5	-2.878	0.230	-3.109
6	1.674	0.000	1.674

$$\left( \frac{f_{cs}}{MPa} \quad \frac{f_{csd}}{MPa} \right)$$

*f<sub>csd</sub>* = tegangan akibat beban mati superimposed di level tendon prategang.

*f<sub>cs</sub>* = tegangan akibat beban mati berat sendiri balok di level tendon prategang.

**Langkah 3: Menghitung kehilangan tegangan akibat rangkak**

Rumus AASHTO

$$\Delta f_{cr,j} = 12 \cdot f_{cs,j} - 7 \cdot \Delta f_{cdp,j}$$

$$\Delta f_{cr} = \begin{pmatrix} 8.37 \\ -21.519 \\ 14.411 \\ 11.317 \\ 13.223 \\ -12.778 \\ 8.37 \end{pmatrix} \text{ MPa}$$

Rumus ACI-ASCE

$$K_{cr} = \begin{cases} 2 & \text{if Post } \neq "Ya" \\ 1.6 & \text{otherwise} \end{cases}$$

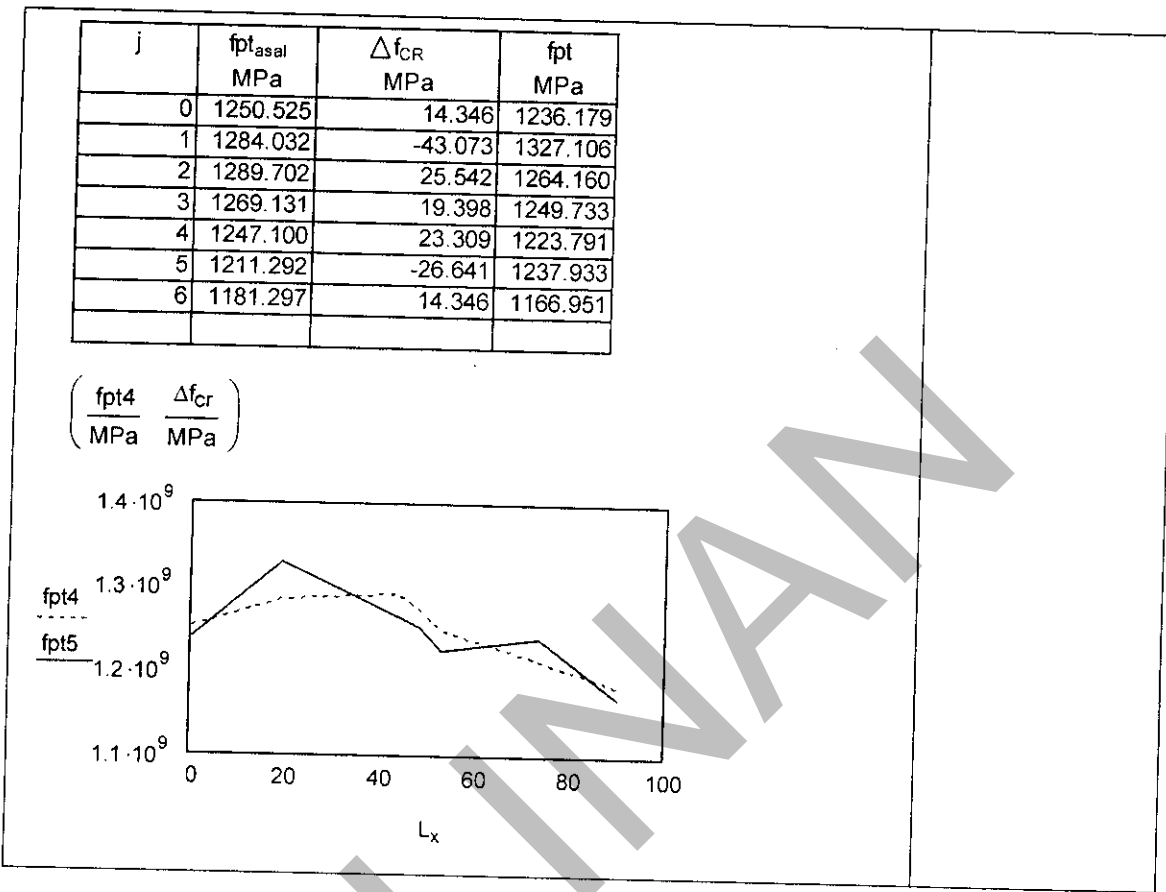
$$K_{cr} = 1.6$$

$$\Delta f_{cr} = K_{cr} \cdot \frac{E_{ps}}{E_c} \cdot (f_{cs} - f_{csd})$$

$$\Delta f_{cr} = \begin{pmatrix} 14.346 \\ -43.073 \\ 25.542 \\ 19.398 \\ 23.309 \\ -26.641 \\ 14.346 \end{pmatrix} \text{ MPa}$$

**Langkah 4: Tegangan prategang setelah rangkak**

$$f_{pt5,j} = f_{pt4,j} - \Delta f_{cr,j}$$



#### 4.7 Kehilangan Akibat Relaksasi

Relaksasi baja prategang harus diperhitungan sebagai faktor yang mempengaruhi kehilangan gaya prategang. Besarnya kehilangan relaksasi tidak hanya tergantung pada lamanya waktu diaplikasikan gaya prategang, tetapi juga berdasarkan rasio  $f_{pi}/f_{py}$  tegangan awal (*initial*) dengan tegangan leleh tulangan prategang. Jika tidak ada perhitungan yang lebih teliti, maka kehilangan tegangan dalam tendon akibat relaksasi baja prategang harus diambil sebesar :

$$\Delta f_r = f_{pi} \left( \frac{\log(t_2) - \log(t_1)}{10} \right) \cdot \left( \frac{f_{pi}}{f_{py}} - 0.55 \right) \quad \text{untuk baja } \textit{stress-relieved}, \text{ atau}$$

$$\Delta f_r = f_{pi} \left( \frac{\log(t_2) - \log(t_1)}{40} \right) \cdot \left( \frac{f_{pi}}{f_{py}} - 0.55 \right) \quad \text{untuk baja } \textit{low-relaxation}.$$

Dimana :

- $t_2, t_1$  = waktu akhir dan awal interval [ jam ]
- $f_{pi}$  = tegangan awal baja prategang [ MPa ]
- $\Delta f_r$  = Kehilangan akibat relaksasi [ MPa ]

<b>CONTOH 4.6</b>	<b>Kehilangan Akibat Relaksasi</b>	6
<b>SOAL :</b> Hitung kehilangan akibat relaksasi pada contoh 2.1 dengan kondisi sebagai berikut :		
a. tahap I, saat transfer gaya prategang b. tahap II, saat beban superimposed diletakan c. tahap III, setelah 2 tahun beban superimposed diletakan.		
<b>Diberikan :</b>		
Jenis baja prategang: Low_relax = "Ya"		
<b>Tahap I, saat transfer</b>		
Lama hari sebelum transfer $t_1 = 18$ (hari) $t_0 = 1$		
Kehilangan akibat relaksasi saat transfer		
$\Delta f_{r1} = \begin{cases} f_{pj} \left( \frac{\log(t_1 \cdot 24) - \log(t_0)}{10} \right) \left( \frac{f_{pj}}{f_{py}} - 0.55 \right) & \text{if } \text{Low\_relax} \neq \text{"Ya"} \\ f_{pj} \left( \frac{\log(t_1 \cdot 24) - \log(t_0)}{40} \right) \left( \frac{f_{pj}}{f_{py}} - 0.55 \right) & \text{otherwise} \end{cases}$		
$\Delta f_{r1} = 30.547 \text{ MPa}$		
<b>Tahap II, saat superimposed diletakan</b>		
Kehilangan setelah umur 30 hari $t_2 = 30$ (hari) $t_1 = 18$		
Kehilangan akibat relaksasi umur 30 hari		

**MANUAL PERENCANAAN STRUKTUR BETON PRATEKAN UNTUK JEMBATAN**

$$\Delta f_{r2} = \begin{cases} fp_j \cdot \left( \frac{\log(t_2 \cdot 24) - \log(t_1 \cdot 24)}{10} \right) \cdot \left( \frac{fp_j}{f_p} - 0.55 \right) & \text{if Low_relax} \neq "Ya" \\ fp_j \cdot \left( \frac{\log(t_2 \cdot 24) - \log(t_1 \cdot 24)}{40} \right) \cdot \left( \frac{fp_j}{f_p} - 0.55 \right) & \text{otherwise} \end{cases}$$

$$\Delta f_{r2} = 2.571 \text{ MPa}$$

**Tahap III, setelah 2 tahun superimposed diletakan**

Kehilangan setelah umur 2 tahun  $t_2 = 365 \cdot 2$  (hari)  $t_1 = 30$

Kehilangan akibat relaksasi umur 30 hari

$$\Delta f_{r3} = \begin{cases} fp_j \cdot \left( \frac{\log(t_2 \cdot 24) - \log(t_1 \cdot 24)}{10} \right) \cdot \left( \frac{fp_j}{f_p} - 0.55 \right) & \text{if Low_relax} \neq "Ya" \\ fp_j \cdot \left( \frac{\log(t_2 \cdot 24) - \log(t_1 \cdot 24)}{40} \right) \cdot \left( \frac{fp_j}{f_p} - 0.55 \right) & \text{otherwise} \end{cases}$$

$$\Delta f_{r3} = 16.067 \text{ MPa}$$

Tegangan akhir prategang setelah relaksasi

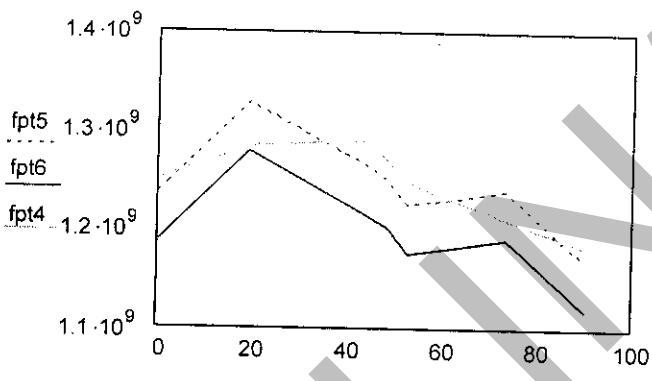
$$\Delta f_r = \Delta f_{r1} + \Delta f_{r2} + \Delta f_{r3} \quad \Delta f_r = 49.186 \text{ MPa}$$

$$f_{pt6j} = f_{pt5j} - \Delta f_r$$

**MANUAL PERENCANAAN STRUKTUR BETON PRATEKAN UNTUK JEMBATAN**

j	fpt <sub>asal</sub> MPa	Δf <sub>cr</sub> MPa	fpt MPa
0	1236.179	49.186	1186.993
1	1327.106	49.186	1277.920
2	1264.160	49.186	1214.974
3	1249.733	49.186	1200.547
4	1223.791	49.186	1174.605
5	1237.933	49.186	1188.747
6	1166.951	49.186	1117.765

$$\left( \frac{fpt_5}{\text{MPa}} \quad \frac{\Delta f_r}{\text{MPa}} \right)$$



#### 4.8 Kehilangan Total

Perhitungan jumlah keseluruhan kehilangan prategang antara pra-tarik dan pasca-tarik sangat berbeda, karena perbedaan metoda yang dipakai. Total kehilangan untuk masing-masing dapat dihitung sebagai berikut:

- (i) Pra-tarik

$$\Delta f_T = \Delta f_{ES} + \Delta f_r + \Delta f_{cr} + \Delta f_{sh}$$

Dimana :

$\Delta f_T$  = total kehilangan [ MPa ]

$\Delta f_{ES}$  = kehilangan akibat pemendekan beton [ MPa ]

$\Delta f_r$  = kehilangan akibat relaksasi [ MPa ]

---

---

**MANUAL PERENCANAAN STRUKTUR BETON PRATEKAN UNTUK JEMBATAN**

---

$\Delta f_{cr}, \Delta f_{sh}$  = kehilangan akibat rangkak dan susut [ MPa ]

(ii) Pasca-tarik

$$\Delta f_T = \Delta f_A + \Delta f_f + \Delta f_{ES} + \Delta f_r + \Delta f_{cr} + \Delta f_{sh}$$

Dimana :

$\Delta f_T$  = total kehilangan [ MPa ]

$\Delta f_A$  = kehilangan akibat slip angkur [ MPa ]

$\Delta f_f$  = kehilangan akibat friksi [ MPa ]

$\Delta f_{ES}$  = kehilangan akibat pemendekan beton, pada pasca-tarik tidak ada jika tendon ditarik secara simultan [ MPa ]

$\Delta f_{cr}, \Delta f_{sh}$  = kehilangan akibat rangkak dan susut [ MPa ]

CONTOH 4.7	Kehilangan Total	4
<b>SOAL :</b> Hitung kehilangan total pada contoh 2.1:		
Berdasarkan perhitungan pada contoh 2.1 s.d contoh 2.5 dapat dihitung kehilangan total sebagai berikut,	$\Delta f_{tot_j} = \begin{cases} \Delta f_f_j + \Delta f_a_j + \Delta f_{ES_j} + \Delta f_r + \Delta f_{cr_j} + \Delta f_{sh_j} & \text{if Post = "Ya"} \\ \Delta f_{ES_j} + \Delta f_r + \Delta f_{cr_j} + \Delta f_{sh_j} & \text{otherwise} \end{cases}$ $\Delta f_{tot} = \begin{array}{ c c } \hline & 0 \\ \hline 0 & 208.007 \\ \hline 1 & 117.08 \\ \hline 2 & 180.026 \\ \hline 3 & 194.453 \\ \hline 4 & 220.395 \\ \hline 5 & 206.253 \\ \hline 6 & 277.235 \\ \hline \end{array}$ MPa	

---

---

**MANUAL PERENCANAAN STRUKTUR BETON PRATEKAN UNTUK JEMBATAN**

---

Persentase kehilangan total terhadap fpj

$$\frac{\Delta f_{tot}}{fpj} = \%$$

	0
0	14.911
1	8.393
2	12.905
3	13.939
4	15.799
5	14.785
6	19.873

## 5 ANALISIS STRUKTUR

### 5.1 Umum

Pada struktur statis tertentu deformasi penampang individual dapat terjadi tanpa memperhitungkan kekangan di perletakan dan gaya dalam dapat ditentukan dengan prinsip statis biasa.

Adapun pada struktur statis tak tentu gaya dalam sangat tergantung pada kekakuan relatif member terhadap kekakuan individual lainnya. Dalam analisis struktur statis tak tentu, kompatibilitas geometrik perlu ditambahkan dalam persamaan keseimbangan.

### 5.2 Struktur Statis Tertentu (ST)

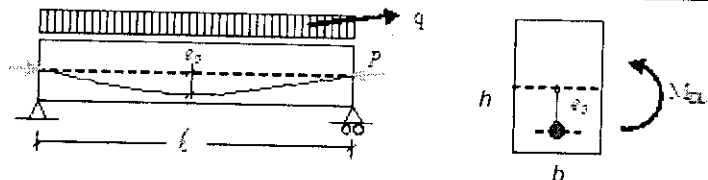
Struktur statis tertentu adalah struktur yang dapat diselesaikan dengan menggunakan persamaan keseimbangan biasa untuk memperoleh gaya-gaya dalam. Dimana bilangan yang tidak diketahui harus memenuhi 3 persamaan sebagai berikut:

$$\Sigma M = 0,$$

$$\Sigma V = 0, \text{ dan}$$

$$\Sigma H = 0$$

**Analisa Struktur Balok Sederhana (Simple-Beam)**



Diketahui :

$$P := 525 \text{ kN} \quad (\text{setelah semua losses})$$

$$q := 7 \frac{\text{kN}}{\text{m}}$$

$$L := 12 \text{ m} \quad e_o := 200 \text{ mm}$$

$$b := 300 \text{ mm} \quad h := 600 \text{ mm}$$

$$\text{Modulus elastisitas beton} \quad E_c := 25000 \text{ MPa}$$

$$\text{Momen inersia} \quad I_c := \frac{1}{12} \cdot b \cdot h^3 \quad I_c = 5.4 \times 10^{-3} \text{ m}^4$$

1. Mencari kebutuhan gaya prategang,  $P$  (optimum)

Besarnya  $P$  dapat diperoleh dari 2 buah persamaan lendutan pada tabel 3.3a sub bab 3.6

Simple span dengan beban merata:

$$\Delta = \frac{5}{384} \frac{w\ell^4}{EI} \quad w = q$$

Simple span dengan bentuk parabolik:

$$\Delta = \left[ e_e + \frac{5}{6}(e_c - e_e) \right] \frac{Pl^2}{8EI}$$

Dengan memasukan nilai  $e_e := 0$      $e_c := e_o$     maka diperoleh

$$P_{opt} := \frac{1}{8} \frac{q \cdot L^2}{e_c} \quad P_{opt} = 630 \text{ kN}$$

2. Mencari beban merata ekivalen dengan gaya P aktual

$$q_p := -8 \cdot \frac{P \cdot e_c}{L^2} \quad q_p = -5.833 \frac{kN}{m}$$

3. Menghitung Gaya Dalam

Akibat  $q$

$$\text{Momen : } M_q(x) := \frac{q \cdot L}{2} \cdot x - \frac{1}{2} \cdot q \cdot x^2$$

$$\text{Geser: } V_q(x) := \frac{q \cdot L}{2} - q \cdot x$$

Akibat  $q_p$

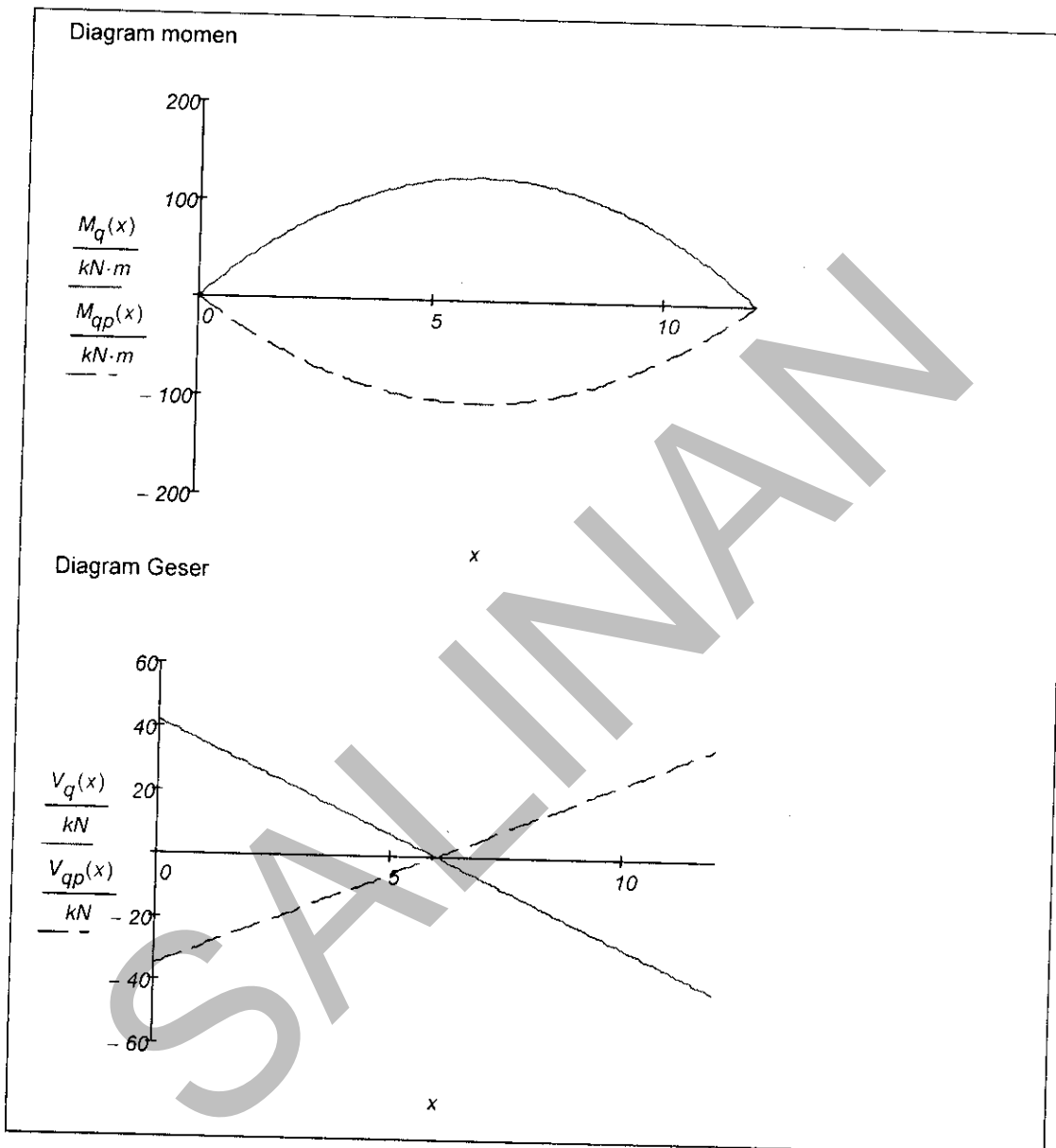
$$\text{Momen : } M_{qp}(x) := \frac{q_p \cdot L}{2} \cdot x - \frac{1}{2} \cdot q_p \cdot x^2$$

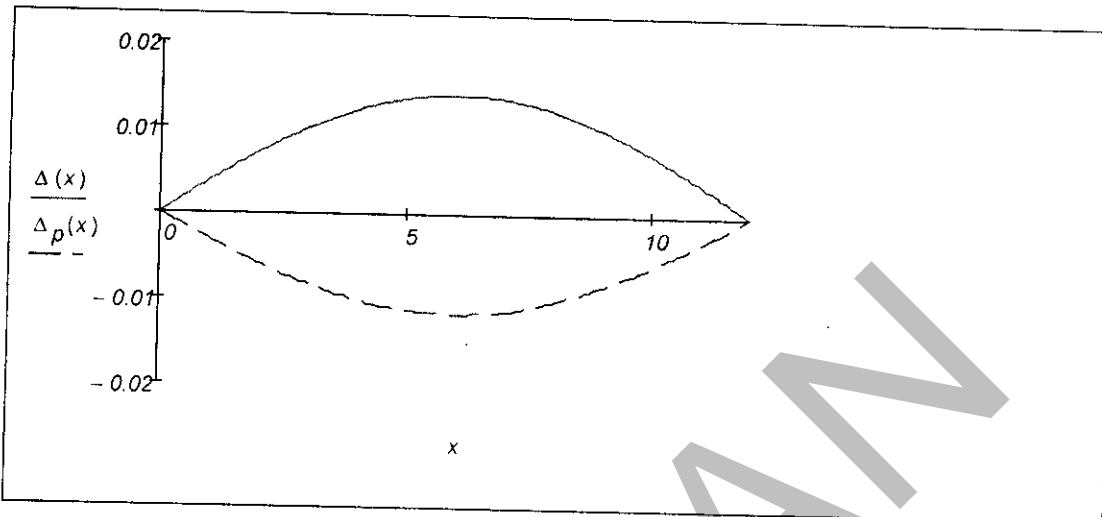
$$\text{Geser: } V_{qp}(x) := \frac{q_p \cdot L}{2} - q_p \cdot x$$

4. Menghitung lendutan

$$\Delta(x) := \frac{q \cdot x}{24 \cdot E_c \cdot I_c} \cdot (L^3 - 2 \cdot L \cdot x^2 + x^3) \quad \Delta(0.5L) = 14 \text{ mm}$$

$$\Delta_p(x) := \frac{q_p \cdot x}{24 \cdot E_c \cdot I_c} \cdot (L^3 - 2 \cdot L \cdot x^2 + x^3) \quad \Delta_p(0.5L) = -11.667 \text{ mm}$$





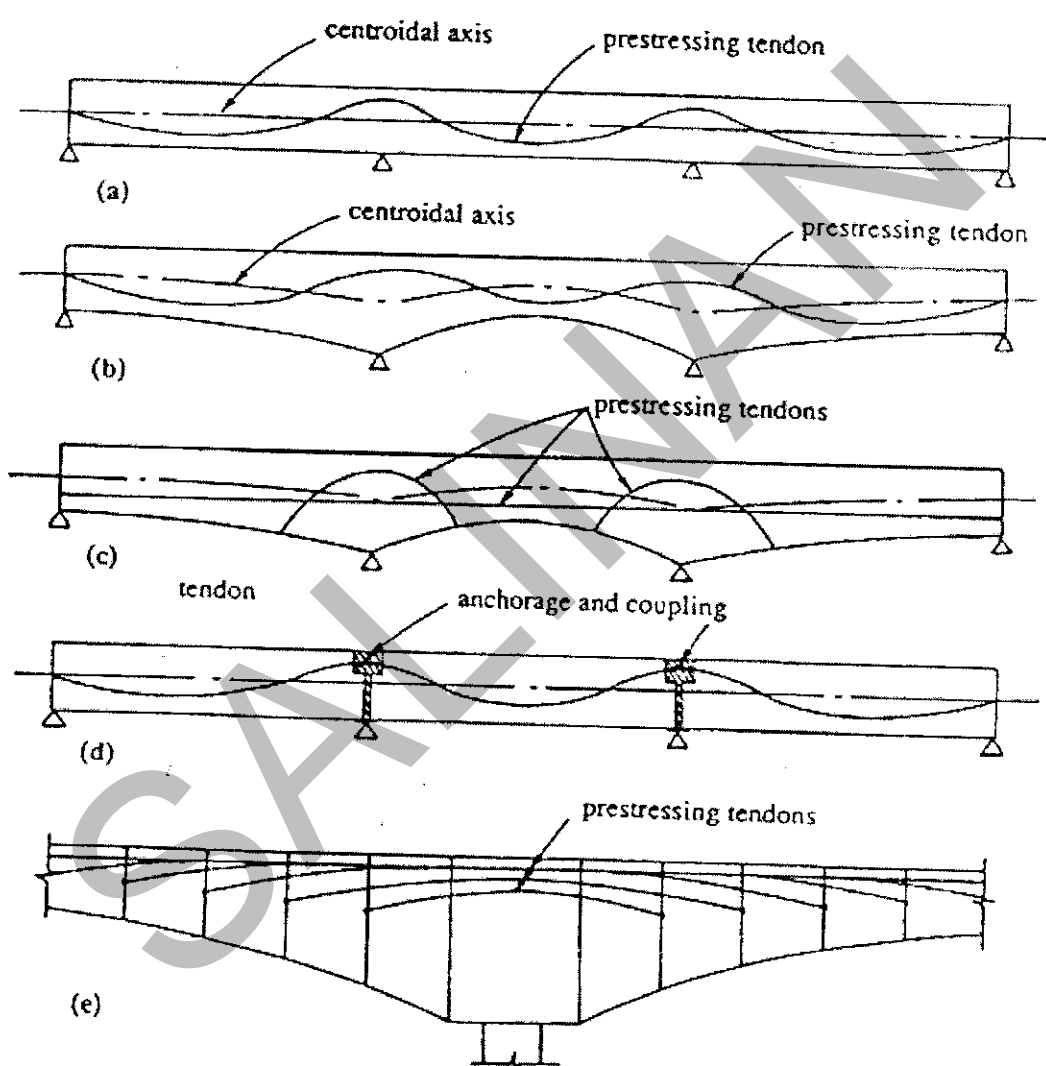
### 5.3 Struktur Statis Tak Tentu (STT)

Seperti di beton bertulang dan material struktural lainnya, sistem menerus dapat dibuat dari elemen horizontal seperti balok yang disatukan dari ujung ke ujung dengan memberi perletakan intermediate/antara pada setiap bentangnya atau menambah kaki pada sistem rangka. Seiring dengan pengurangan momen dan tegangan pada midspans melalui perancangan sistem menerus menghasilkan bentuk penampang yang lebih kecil dan lebih kaku dibanding struktur perletakan sederhana dengan bentang dan beban yang sama. Disamping itu struktur menerus menghasilkan lendutan atau defleksi yang lebih kecil. Akhirnya sebagai konsekuensi, struktur yang lebih ringan dengan pondasi yang lebih ringan pula diharapkan dapat menekan ongkos material dan konstruksi. Sebagai tambahan juga, stabilitas struktural dan ketahanan lateral dan longitudinal pada umumnya meningkat dengan sistem menerus. Sebagai hasilnya, perbandingan span-to-depth dapat ditingkatkan, tergantung pada jenis sistem menerus yang dipertimbangkan. Struktur flat plates, dapat menggunakan perbandingan span-to-depth 40 ~ 45, sedangkan balok box girder mencapai 25 ~ 30.

Suatu keuntungan tambahan lagi dari sistem menerus adalah penghapusan angkur pada perletakan intermediate dengan cara melakukan post-tensioning menerus atas beberapa span sekaligus, dengan demikian mengurangi lebih lanjut ongkos material dan tenaga kerja. Beton pra tekan menerus secara luas diterapkan dalam konstruksi

jembatan berbentang panjang. Jembatan box girder kantilever yang dibuat secara segmental, secara luas banyak digunakan di eropa.

Aplikasi jembatan dengan tendon menerus dapat dilihat pada gambar di bawah ini:



Gambar 5-1 Kurva tegangan-regangan 7-wire stress-relieved dan low relaxation (Nawy, 1996)

### 5.3.1 Kerugian Kontinuitas Prategang

Ada beberapa kerugian bila struktur dibuat menjadi sistem menerus:

1. Kehilangan friksi menjadi lebih tinggi dalam kaitan dengan jumlah tekukan yang lebih banyak dan tendon yang lebih panjang.
2. Pertemuan momen dan geser besar di bagian perletakan, yang mengurangi kekuatan momen pada potongan itu.
3. Momen dan gaya lateral yang berlebihan di dalam kolom penyangga, terutama jika dihubungkan secara kaku dengan balok. gaya ini terjadi oleh karena pemendekan elastis sepanjang balok di bawah gaya prategang.
4. Efek tegangan sekunder yang lebih besar berkaitan dengan adanya penyusutan, rangkak, variasi temperatur, dan penurunan perletakan.
5. Momen sekunder dalam kaitan dengan reaksi di kolom penopang disebabkan oleh gaya prategang.
6. Pemanjangan momen yang serius mungkin saja terjadi dalam kaitan dengan kombinasi pembebanan tertentu.
7. Adanya momen tambahan di perletakan interior yang memerlukan penulangan tambahan, yang mungkin tidak diperlukan bila menggunakan sistem perletakan sederhana.

### 5.3.2 Metode Perhitungan

Penyelesaian analisis struktur statis tak tentu dapat ditempuh dengan bermacam-macam cara, beberapa cara diantaranya yang cukup mudah dan sederhana adalah dengan cara persamaan 3-momen dan distribusi momen cross. Kedua metoda ini akan dibahas pada uraian selanjutnya di bawah ini.

### 5.3.3 Teorema 3 Momen (Clapeyron)

Metoda 3-momen sangat efektif untuk menghitung momen lentur pada struktur dengan lebih dari 3 perletakan yang berturutan. Konsep perhitungan 3-momen dapat dikategorikan sebagai metoda gaya (*force methode*), yaitu menggunakan momen perletakan (di tengah) sebagai redundan sehingga balok dapat dianalisis sebagai balok di atas dua perletakan sederhana. Ambil dua span bentang menerus yang berturutan AB dan BC seperti dapat dilihat pada gambar 5.2. Gunakan momen tengah  $M_b$  sebagai redundan dengan membayangkan terdapat sendi engsel (hinges) dimana  $M_b$  berada. Kemudian, aplikasikan  $M_b$  pada hinge dan momen lainnya  $M_a$  dan  $M_c$ . Arah positif adalah momen yang menekan serat atas lihat gambar 5.2c. Gunakan *momen area methode* untuk menghitung putaran sudut  $\theta_{ba}$  dan  $\theta_{bc}$  akibat beban luar dan momen redundan :

$$\theta_{ba} = \frac{\Delta AB}{L} = \frac{1}{L} \cdot \int_a^b \frac{M_x}{EI} \cdot x \, dx \quad (\text{Pers. 5.1})$$

$$\theta_{ba} = \frac{1}{L_1} \left[ \frac{A_1}{E \cdot I_1} \cdot x_1 + \frac{1}{2} \left( \frac{M_a}{E \cdot I_1} \right) \cdot L_1 \cdot \left( \frac{L_1}{3} \right) + \frac{1}{2} \left( \frac{M_b}{E \cdot I_1} \right) \cdot L_1 \cdot \left( \frac{2L_1}{3} \right) \right]$$

$$\theta_{ba} = \frac{A_1 \cdot x_1}{E \cdot I_1 \cdot L_1} + \frac{1}{6} \left( \frac{M_a}{E \cdot I_1} \right) \cdot L_1 + \frac{2}{6} \left( \frac{M_b}{E \cdot I_1} \right) \cdot L_1 \quad (\text{Pers. 5.2})$$

$$\theta_{bc} = \frac{\Delta_{CB}}{L} = \frac{1}{L} \cdot \int_c^b \frac{M_x}{EI} \cdot x \, dx \quad (\text{Pers. 5.3})$$

$$\begin{aligned} \theta_{bc} &= \frac{1}{L_2} \left[ \frac{A_2}{E \cdot I_2} \cdot x_2 + \frac{1}{2} \left( \frac{M_c}{E \cdot I_2} \right) \cdot L_2 \left( \frac{L_2}{3} \right) + \frac{1}{2} \left( \frac{M_b}{E \cdot I_2} \right) \cdot L_2 \left( \frac{2L_2}{3} \right) \right] \\ \theta_{bc} &= \frac{A_2 \cdot x_2}{E \cdot I_2 \cdot L_2} + \frac{1}{6} \left( \frac{M_c}{E \cdot I_2} \right) \cdot L_2 + \frac{2}{6} \left( \frac{M_b}{E \cdot I_2} \right) \cdot L_2 \end{aligned} \quad (\text{Pers. 5.4})$$

Untuk konsistensi deformasi struktur :

$$\theta_{ba} + \theta_{bc} = 0 \quad (\text{Pers. 5.5})$$

Dengan menyelesaikan persamaan di atas, maka dapat disusun persamaan 3-momen berikut:

$$M_a \left( \frac{L_1}{EI_1} \right) + 2 \cdot M_b \left( \frac{L_1}{EI_1} + \frac{L_2}{EI_2} \right) + M_c \left( \frac{L_2}{EI_2} \right) = -6 \frac{A_1 \cdot x_1}{E \cdot I_1 \cdot L_1} - 6 \frac{A_2 \cdot x_2}{E \cdot I_2 \cdot L_2} \quad (\text{Pers. 5.6})$$

Dimana :

$M_a, M_b, M_c$  : momen-momen pada 2 bentang yang berturutan. (lihat gambar 5.2)

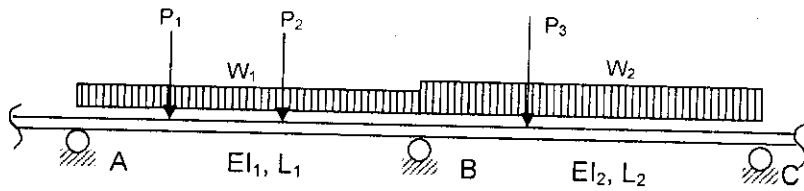
$A_1, A_2$  : luas diagram momen pada bentang 1 dan bentang 2 akibat gaya luar dengan masing-masing span dipertimbangkan sebagai perletakan sederhana (*simple span*).

$x_1, x_2$  : jarak titik pusat luasan  $A_1$  dan  $A_2$  pada metode momen area.

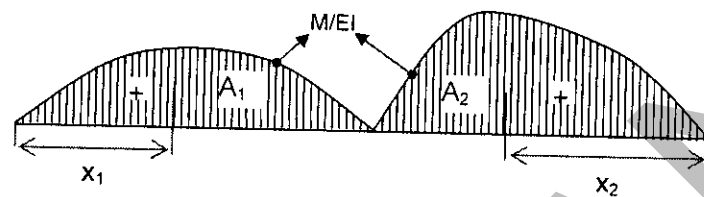
$L_1, L_2$  : Panjang bentang 1 dan bentang 2.

$EI_1, EI_2$  : Kekakuan batang yang terdiri dari modulus elastisitas dan momen inersia pada bentang 1 dan bentang 2.

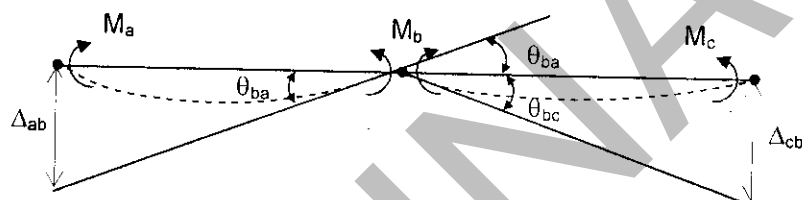
**MANUAL PERENCANAAN STRUKTUR BETON PRATEGANG UNTUK JEMBATAN**



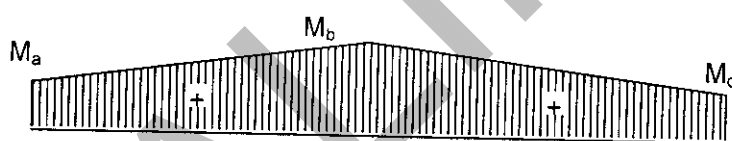
a. Bentang interior menerus yang berturutan



b. Diagram momen akibat beban luar pada balok perletakan sederhana (redundan  $M_b$  dihilangkan)



c. kurva elastis dengan hinge diletakkan dimana momen redundan dihilangkan



d. Diagram momen akibat redundan

**Gambar 5-2 Teorema tiga momen**

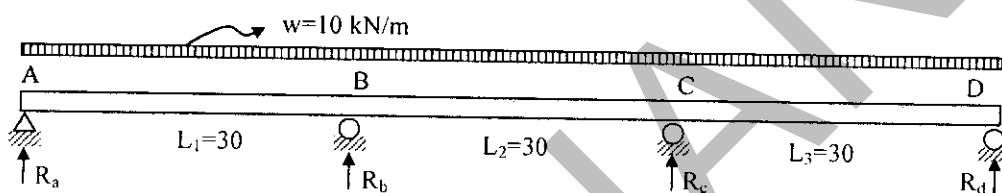
Aplikasi perhitungan analisis struktur dengan metoda 3-momen dapat dilihat pada contoh sebagai berikut:

**CONTOH 5.1**

**Analisis Struktur Balok Menerus  
Metoda 3-Momen (Clapeyron)**

1  
1

**SOAL :** Berikut ini adalah contoh perhitungan analisis struktur tiga bentang dengan panjang bentang dan beban merata seragam untuk seluruh bentang. Gaya dalam untuk kasus seperti ini dapat diperoleh dengan persamaan tiga momen maupun koefisien momen pada lampiran B.1 manual ini.



Diketahui :

$$\text{Modulus elastisitas beton} \quad E_c := 25000 \text{ MPa}$$

$$\text{Momen inersia} \quad I_c := 0.5 \cdot m^4$$

$$P := 525 \text{ kN} \quad (\text{setelah semua losses})$$

$$w := 10 \cdot \frac{\text{kN}}{\text{m}}$$

$$L_1 := 30 \text{ m} \quad I_1 := I_c \quad I_1 = 0.5 \text{ m}^4$$

$$L_2 := 30 \text{ m} \quad I_2 := I_c \quad I_2 = 0.5 \text{ m}^4$$

$$L_3 := 30 \text{ m} \quad I_3 := I_c \quad I_3 = 0.5 \text{ m}^4$$

1. Menuliskan persamaan momen sepasang span yang bersebelahan

**Tinjau span 1 dan 2**

$$M_a \cdot \left( \frac{L_1}{I_1} \right) + 2 \cdot M_b \cdot \left( \frac{L_1}{I_1} + \frac{L_2}{I_2} \right) + M_c \cdot \left( \frac{L_2}{I_2} \right) = -\frac{1}{4} \cdot \left( \frac{w \cdot L_1^3}{I_1} + \frac{w \cdot L_2^3}{I_2} \right)$$

**Tinjau span 2 dan 3**

$$M_b \cdot \left( \frac{L_2}{I_2} \right) + 2 \cdot M_c \cdot \left( \frac{L_2}{I_2} + \frac{L_3}{I_3} \right) + M_d \cdot \left( \frac{L_3}{I_3} \right) = -\frac{1}{4} \cdot \left( \frac{w \cdot L_2^3}{I_2} + \frac{w \cdot L_3^3}{I_3} \right)$$

2. Menentukan batasan-batasan (*boundary*) dan momen perletakan yang tak diketahui

Karena  $M_a=0$  dan  $M_d=0$  maka persamaan akan disederhanakan lagi sehingga dapat diselesaikan ( 2 unknown dan 2 persamaan) sebagai berikut:

**Tinjau span 1 dan 2**

$$2 \cdot M_b \cdot \left( \frac{L_1}{I_1} + \frac{L_2}{I_2} \right) + M_c \cdot \left( \frac{L_2}{I_2} \right) = -\frac{1}{4} \cdot \left( \frac{w \cdot L_1^3}{I_1} + \frac{w \cdot L_2^3}{I_2} \right)$$

**Tinjau span 2 dan 3**

$$M_b \cdot \left( \frac{L_2}{I_2} \right) + 2 \cdot M_c \cdot \left( \frac{L_2}{I_2} + \frac{L_3}{I_3} \right) = -\frac{1}{4} \cdot \left( \frac{w \cdot L_2^3}{I_2} + \frac{w \cdot L_3^3}{I_3} \right)$$

Persamaan diatas dapat disederhanakan kembali dengan mengalikan ruas kiri dan kanan dengan nilai Inersia,  $I_c$  sehingga persamaan menjadi sebagai berikut:

$$Mb := 1 \cdot kN \cdot m \quad Mc := 1 \cdot kN \cdot m$$

Given

$$2 \cdot Mb \cdot 60m + Mc \cdot 30m = -1.35 \times 10^5 m^2 kN$$

$$Mb \cdot 30m + 2Mc \cdot 60m = -1.35 \times 10^5 m^2 kN$$

$$Find(Mb, Mc) = \begin{pmatrix} -900 \\ -900 \end{pmatrix} \cdot kN \cdot m$$

Nilai ini menunjukkan hasil yang sama dengan koefisien momen pada Lampiran B.1

$$M_b := -0.1 \cdot w \cdot L_1^2 \quad M_b = -900 \text{ kN} \cdot m$$

$$M_c := -0.1 \cdot w \cdot L_1^2 \quad M_c = -900 \text{ kN} \cdot m$$

### 3. Menentukan reaksi perletakan

$$M_a := 0 \text{ kN} \cdot m \quad M_d := 0 \text{ kN} \cdot m$$

$$R_{ab} := \frac{w \cdot L_1}{2} - \frac{M_a - M_b}{L_1} \quad R_{ab} = 120 \text{ kN}$$

$$R_{ba} := \frac{w \cdot L_1}{2} + \frac{M_a - M_b}{L_1} \quad R_{ba} = 180 \text{ kN}$$

$$R_{bc} := \frac{w \cdot L_2}{2} - \frac{M_b - M_c}{L_2} \quad R_{bc} = 150 \text{ kN}$$

$$R_{cb} := \frac{w \cdot L_2}{2} + \frac{M_b - M_c}{L_2} \quad R_{bc} = 150 \text{ kN}$$

$$R_{cd} := \frac{w \cdot L_3}{2} - \frac{M_c - M_d}{L_3} \quad R_{cd} = 180 \text{ kN}$$

$$R_{dc} := \frac{w \cdot L_3}{2} + \frac{M_c - M_d}{L_3} \quad R_{dc} = 120 \text{ kN}$$

$$R_a := R_{ab} \quad R_a = 120 \text{ kN}$$

$$R_b := R_{ba} + R_{bc} \quad R_b = 330 \text{ kN}$$

$$R_c := R_{cb} + R_{cd} \quad R_c = 330 \text{ kN}$$

$$R_d := R_{dc} \quad R_d = 120 \text{ kN}$$

Nilai ini menunjukkan hasil yang sama dengan koefisien geser pada Lampiran B.1

$$R_a := \frac{4}{10} \cdot w \cdot L_1 \quad R_a = 120 \text{ kN}$$

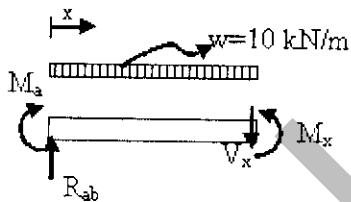
$$R_b := \left( \frac{6}{10} \right) \cdot w \cdot L_1 + \left( \frac{5}{10} \right) \cdot w \cdot L_2 \quad R_b = 330 \text{ kN}$$

$$R_c := \left( \frac{5}{10} \right) \cdot w \cdot L_2 + \left( \frac{6}{10} \right) \cdot w \cdot L_3 \quad R_c = 330 \text{ kN}$$

$$R_d := \frac{4}{10} \cdot w \cdot L_3 \quad R_d = 120 \text{ kN}$$

#### 4. Menentukan momen dan geser maksimum

##### a. Momen maksimum sepanjang bentang A dan B



$$M_x(x) := R_{ab} \cdot x - \frac{1}{2} \cdot w \cdot x^2$$

Momen maksimum terjadi bila nilai diferensial fungsi momen di atas = 0.

Nilai awal  $x := 1 \text{ m}$

Given

$$\frac{d}{dx} M_x(x) = 0 \quad x := \text{Find}(x) \quad x = 12 \text{ m}$$

$$M_x(x) = 720 \text{ kN} \cdot \text{m}$$

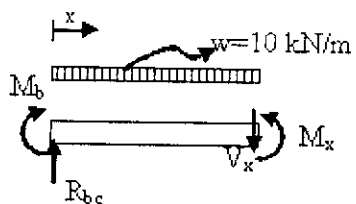
Nilai ini sesuai dengan koefisien momen  $0.08 \cdot w \cdot L_1^2 = 720 \text{ kN} \cdot \text{m}$

Geser yang terjadi pada awal dan akhir bentang

$$V_x(x) := \frac{d}{dx} M_x(x) \quad V_x(0) = 120 \text{ kN}$$

$$V_x(L_1) = -180 \text{ kN}$$

b. Momen maksimum sepanjang bentang B dan C



$$M_x(x) := M_b + R_{bc} \cdot x - \frac{1}{2} \cdot w \cdot x^2$$

Momen maksimum terjadi bila nilai diferensial fungsi momen di atas = 0.

Nilai awal  $x := 1 \text{ m}$

Given

$$\frac{d}{dx} M_x(x) = 0 \quad x := \text{Find}(x) \quad x = 15 \text{ m}$$

$$M_x(x) = 225 \text{ kN} \cdot \text{m}$$

$$\text{Nilai ini sesuai dengan koefisien momen } 0.025 \cdot w \cdot L_2^2 = 225 \text{ kN} \cdot \text{m}$$

Geser yang terjadi pada awal dan akhir bentang

$$V_x(x) := \frac{d}{dx} M_x(x) \quad V_x(0) = 150 \text{ kN} \quad V_x(0) = 150 \text{ kN}$$

$$V_x(L_1) = -150 \text{ kN}$$

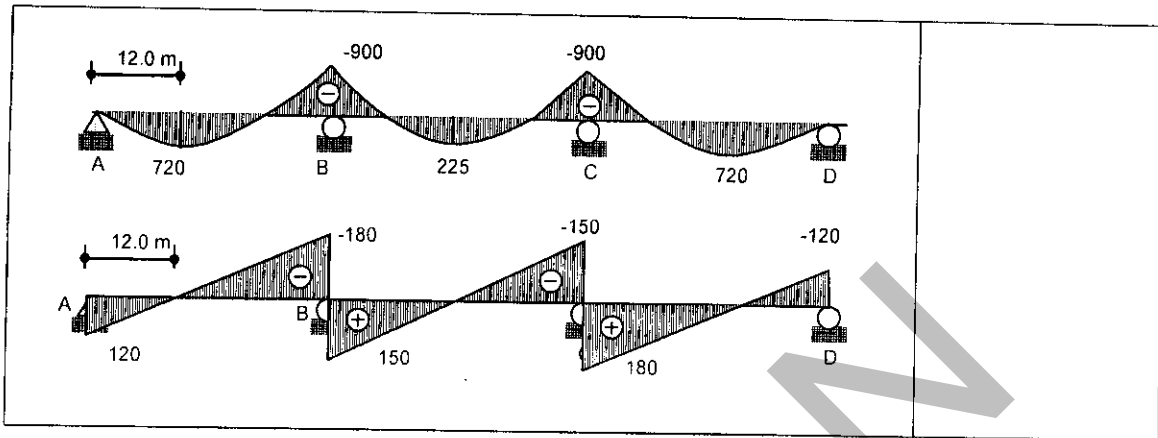
Diagram momen:

---

---

MANUAL PERENCANAAN STRUKTUR BETON PRATEGANG UNTUK JEMBATAN

---



### 5.3.4 Distribusi Momen Cross

Cara distribusi momen dapat digunakan untuk menganalisa semua jenis balok atau kerangka kaku statis tak tentu. Metoda ini waktu pertama kali diperkenalkan oleh Hardy Cross merupakan sebuah konsep pendekatan untuk mendapatkan jawaban nilai eksak dari sebuah analisis struktur dengan melakukan iterasi yang cukup.

Langkah-langkah :

1. tentukan besarnya kekakuan relative.
2. tentukan faktor distribusi.
3. tentukan momen ujung terjepit ( FEM ).
4. tentukan besar momen kunci sebesar penjumlahan dikalikan negative (-)
5. tentukan momen seimbang.
6. tentukan momen CO (Carry Over) sebesar  $\frac{1}{2} \times$  momen seimbang pada ujung batang yang berseberangan (untuk batang prismatic).
7. tentukan momen kunci sebesar penjumlahan x negative (-)
8. tentukan momen seimbang.
9. lakukan beberapa siklus hingga mendapatkan nilai " CO " yang mendekati nol (0).
10. jumlahkan semua momen pada setiap siklus kecuali momen kunci.

#### a. Menentukan Faktor Kekakuan (Stiffness) dan Carry Over

##### Faktor Kekakuan

Kekakuan (stiffness) didefinisikan sebagai momen yang bekerja untuk menghasilkan rotasi sebesar 1 satuan unit rotasi (lihat gambar 5.3). Stiffness  $S_{AB}$  adalah besarnya momen  $M_a$  yang diperlukan untuk membuat putaran sudut  $\theta_a = 1$ .  $S_{AB}$  dapat diperoleh dengan menghitung besarnya putaran sudut di titik A akibat momen  $M_a$  dan  $M_b$  menggunakan *momen area method*.

$$\theta_{AB} = \frac{\Delta_{BA}}{L} = \frac{1}{L_1} \cdot \int_a^b \frac{M_x}{EI} \cdot (L - x) dx \quad (\text{Pers. 5.7})$$

$$\theta_{AB} = \frac{1}{L_1} \left[ \frac{1}{2} \cdot \left( \frac{M_a}{E \cdot I_1} \right) \cdot L_1 \cdot \left( \frac{2L_1}{3} \right) + \frac{1}{2} \cdot \left( \frac{M_b}{E \cdot I_1} \right) \cdot L_1 \cdot \left( \frac{L_1}{3} \right) \right]$$

$$\theta_{AB} = \frac{2}{6} \left( \frac{M_a}{E \cdot I_1} \right) \cdot L_1 + \frac{1}{6} \left( \frac{M_b}{E \cdot I_1} \right) \cdot L_1$$

(Pers. 5.8)

Adapun putaran sudut di B dihitung sebagai berikut:

$$\theta_{BA} = \frac{\Delta AB}{L} = \frac{1}{L_1} \cdot \int_a^b \frac{M_x}{EI} \cdot (x) dx$$

(Pers. 5.9)

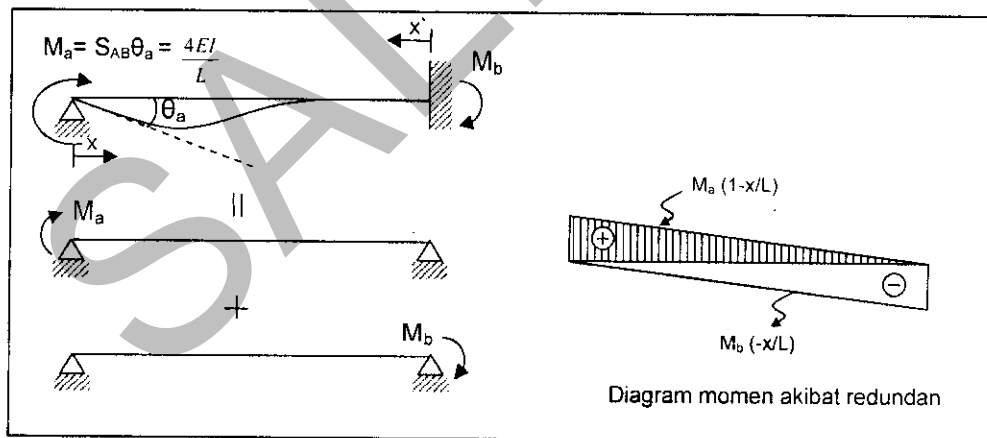
$$\theta_{BA} = \frac{1}{L_1} \left[ \frac{1}{2} \left( \frac{M_a}{E \cdot I_1} \right) \cdot L_1 \left( \frac{L_1}{3} \right) + \frac{1}{2} \left( \frac{M_b}{E \cdot I_1} \right) \cdot L_1 \left( \frac{2L_1}{3} \right) \right]$$

$$\theta_{BA} = \frac{1}{6} \left( \frac{M_a}{E \cdot I_1} \right) \cdot L_1 + \frac{2}{6} \left( \frac{M_b}{E \cdot I_1} \right) \cdot L_1$$

(Pers. 5.10)

Batasan kondisi untuk struktur jepit sendi diatas adalah:

$$\theta_a = 1 \text{ dan } \theta_b = 0.$$



Gambar 5.3 Faktor kekakuan dan Carry Over.

Dengan memasukan kondisi  $\theta_b = \theta_{BA}=0$  dan  $\theta_a = \theta_{AB}=1$  kedalam persamaan 5.8 dan 5.10 diperoleh:

$$M_b = \frac{1}{2} M_a \quad (\text{Pers 5.11})$$

$$M_a = \frac{4E \cdot I}{L} \cdot \theta_A = \frac{4E \cdot I}{L} \cdot (1) = S_{AB} \quad (\text{Pers 5.12})$$

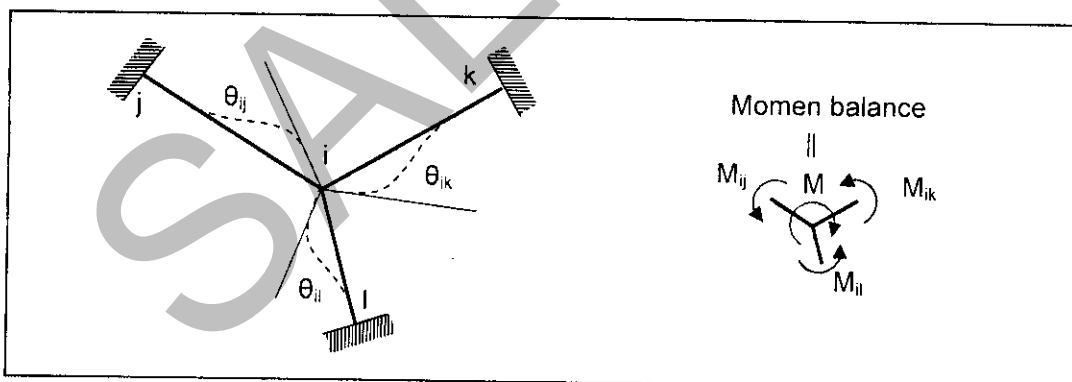
### Faktor Carry Over

Pada saat titik A dikunci dan kemudian dilepaskan dengan memberikan momen  $M_a$  seperti terlihat pada gambar 5.3, titik B dalam keadaan jepit (terkunci). Pemberian momen  $M_a$  di titik ujung A pada member AB membuat terjadinya momen  $M_b$  di titik B yang perletakan jepit. Besarnya momen induksi di titik B,  $M_b$  untuk penampang prismatis adalah  $\frac{1}{2}$  dari momen yang diaplikasikan  $M_a$ . (lihat pers. 5.11).

$$C_{AB} = \frac{M_b}{M_a} = \frac{1}{2} \quad (\text{Pers. 5.13})$$

### b. Menentukan Faktor Distribusi

Pada saat joint yang terkunci dilepaskan, joint tersebut akan berotasi untuk mencapai equilibrium. Besarnya rotasi proporsional dengan momen penyeimbang di titik itu. Momen penyeimbang ini didistribusikan secara proporsional dengan kekakuan masing-masing member yang bertemu di joint tersebut .

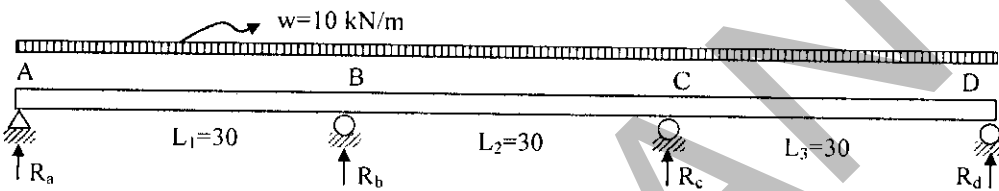


Gambar 5.4 Faktor Distribusi

Pada saat kunci di titik i dilepas, semua elemen yang bermuara ke titik i akan berotasi yang besarnya sama.  $\theta_{ij} = \theta_{ik} = \theta_{il} = \theta_i$

$$\theta_i = \frac{M_{ij}}{S_{ij}} = \frac{M_{ik}}{S_{ik}} = \frac{M_{il}}{S_{il}}$$

$$M_{ij} + M_{ik} + M_{il} = M$$

<b>CONTOH 5.2</b>	<b>Analisis Struktur Balok Menerus Metoda Distribusi Momen Cross</b>	1
<b>SOAL :</b> Ambil soal 5.1 kemudian hitung dengan metoda distribusi momen cross.		
 <p>Konvensi : momen (+) searah jarum jam</p>		

$$M_{ij} = \frac{S_{ij}}{S_{ii} + S_{ik} + S_{il}} \cdot M$$

(Pers. 5.14)

Contoh aplikasi perhitungan metoda distribusi momen cross dapat dilihat sebagai berikut:

## 1. Menentukan momen ujung jepit (FEM)

$$M_{FAB} := \frac{-w \cdot L_1^2}{12}$$

$$M_{FBA} := \frac{w \cdot L_1^2}{12}$$

$$M_{FAB} = -750 \text{ kN}\cdot\text{m}$$

$$M_{FBA} = 750 \text{ kN}\cdot\text{m}$$

$$M_{FBC} := \frac{-w \cdot L_2^2}{12}$$

$$M_{FCB} := \frac{w \cdot L_2^2}{12}$$

$$M_{FBC} = -750 \text{ kN}\cdot\text{m}$$

$$M_{FCB} = 750 \text{ kN}\cdot\text{m}$$

$$M_{FCD} := \frac{-w \cdot L_2^2}{12}$$

$$M_{FDC} := \frac{w \cdot L_2^2}{12}$$

$$M_{FCD} = -750 \text{ kN}\cdot\text{m}$$

$$M_{FDC} = 750 \text{ kN}\cdot\text{m}$$

**MANUAL PERENCANAAN STRUKTUR BETON PRATEGANG UNTUK JEMBATAN**

**2. Faktor distribusi (DF)**

Ditentukan Modulus elastisitas beton,  $E_c$ . Dalam kasus  $E_c = \text{konstan}$  atau Inersia  $I = \text{konstan}$  maka  $E_c$  dan  $I$  dapat dihilangkan.

$$\text{Stiffness : } S_{ik} = \frac{4 \cdot E_c \cdot I_i}{L_i} = \frac{4 \cdot I_i}{L_i}$$

$$S_{AB} := \frac{4 \cdot I_1}{L_1} \quad S_{BA} := \frac{4 \cdot I_1}{L_1}$$

$$S_{AB} = 0.067 \cdot m^3 \quad S_{BA} = 0.067 \cdot m^3$$

$$S_{BC} := \frac{4 \cdot I_2}{L_2} \quad S_{CB} := \frac{4 \cdot I_2}{L_2}$$

$$S_{BC} = 0.067 \cdot m^3 \quad S_{CB} = 0.067 \cdot m^3$$

$$S_{CD} := \frac{4 \cdot I_3}{L_3} \quad S_{DC} := \frac{4 \cdot I_3}{L_3}$$

$$S_{CD} = 0.067 \cdot m^3 \quad S_{DC} = 0.067 \cdot m^3$$

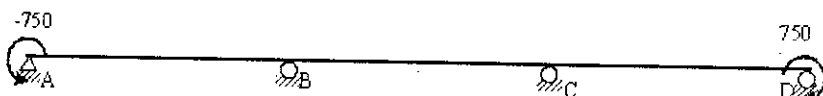
Faktor distribusi

$$DF_{AB} := \frac{S_{AB}}{S_{AB} + 0} \quad DF_{AB} = 1 \quad DF_{BA} := \frac{S_{BA}}{S_{BA} + S_{BC}} \quad DF_{BA} = 0.5$$

$$DF_{BC} := \frac{S_{BC}}{S_{BC} + S_{BA}} \quad DF_{BC} = 0.5 \quad DF_{CB} := \frac{S_{CB}}{S_{CB} + S_{CD}} \quad DF_{CB} = 0.5$$

$$DF_{CD} := \frac{S_{CD}}{S_{CD} + S_{CB}} \quad DF_{CD} = 0.5 \quad DF_{DC} := \frac{S_{DC}}{S_{DC} + 0} \quad DF_{DC} = 1$$

**3. Menentukan momen titik untuk mengunci posisi.** Jumlah momen ujung jepit (FEM) semua sisi di sebuah titik temui member adalah momen yang diperlukan untuk mengunci posisi di titik tersebut atau disebut juga momen unbalance pada titik A -750 kNm (berlawanan putaran jam), di B 0.0 kNm, di C 0.0 kNm dan di D 750 kNm (serah putaran jam).



**4. Distribusi Momen**

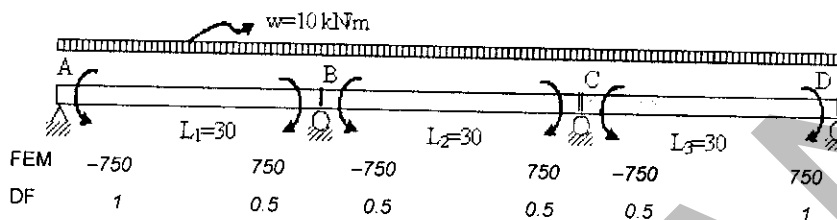
Ketika titik A sebagai perletakan jepit dan akan diperhitungkan sebagai sendi bila titik B dibuka jepitannya, maka titik A harus dibuka jepitannya dan diseimbangkan terlebih dahulu. besar momen ujung jepit (FEM) akibat beban merata di titik A adalah -750 kNm. bertanda (-) karena berlawanan arah jarum jam. Momen FEM ini menimbulkan momen unbalance (MUB) = -750 kNm.

**MANUAL PERENCANAAN STRUKTUR BETON PRATEGANG UNTUK JEMBATAN**

Momen ini harus diseimbangkan dengan cara mengalikan dengan minus faktor distribusi DF,  $MBAL=MUB*(-1)*DF=750$  kNm. Ketika titik A diseimbangkan dengan MBAL, maka setengah momen balance (MBAL) harus dibagikan ke titik B sebagai momen carry over (MCO), selanjutnya MCO dipertimbangkan sebagai momen unbalance baru.



Tanda momen ujung positif



JOINT		A	B	C	D		
Momen ujung		AB	BA	BC	CB	CD	DC
Siklus	DF	1.0	0.5	0.5	0.5	0.5	1.0
1	FEM	-750.00	750.00	-750.00	750.00	-750.00	750.00
	MUB	-750.00		0.00		0.00	750.00
	MBAL	750.00	*	0.00	*	0.00	*
2	MCO	0.00	375.00	0.00	0.00	-375.00	0.00
	MUB	0.00	375.00		-375.00		0.00
	MBAL	0.00	*	-187.50	-187.50	187.50	187.50
3	MCO	-93.75	*	0.00	93.75	*	93.75
	MUB	-93.75	*	93.75		-93.75	93.75
	MBAL	93.75	*	-46.88	-46.88	46.88	-46.88
4	MCO	-23.44	*	46.88	23.44	*	23.44
	MUB	-23.44	*	70.31		-70.31	23.44
	MBAL	23.44	*	-35.16	-35.16	35.16	-35.16
5	MCO	-17.58	*	11.72	17.58	*	17.58
	MUB	-17.58	*	29.30		-29.30	17.58
	MBAL	17.58	*	-14.65	-14.65	14.65	-14.65
6	MCO	-7.32	*	8.79	7.32	*	7.32
	MUB	-7.32	*	16.11		-16.11	7.32
	MBAL	7.32	*	-8.06	-8.06	8.06	-8.06
7	MCO	-4.03	*	3.66	4.03	*	4.03
	MUB	-4.03	*	7.69		-7.69	4.03
	MBAL	4.03	*	-3.85	-3.85	3.85	-3.85
8	MCO	-1.92	*	2.01	1.92	*	1.92
	MUB	-1.92	*	3.94		-3.94	1.92
	MBAL	1.92	*	-1.97	-1.97	1.97	-1.97
JUMLAH		0.00	900.01	-900.01	900.01	-900.01	0.00

5. Menggambar Diagram Momen dan Geser

Setelah mendapat momen ujung tahapan selanjutnya sama seperti pada solusi contoh 5.1 langkah (3) mencari reaksi perletakan dan (4) mencari gaya-gaya dalam maksimum. Diagram gaya dalam dapat dibuat setelah semua gaya dalam momen dan geser diperoleh.

### 5.3.5 Penampang Non Prismatis

Analisis struktur balok menerus dengan penampang non-prismatis (penampang tidak konstan) dapat diselesaikan secara manual dengan metoda distribusi momen.

Penentuan momen jepit ujung, faktor distribusi, dan faktor carry over yang biasa digunakan pada properti penampang konstan tidak berlaku lagi pada penampang non-prismatis, namun semua parameter di atas dapat diperoleh melalui prinsip yang sama yaitu persamaan kesetimbangan dan momen area method.

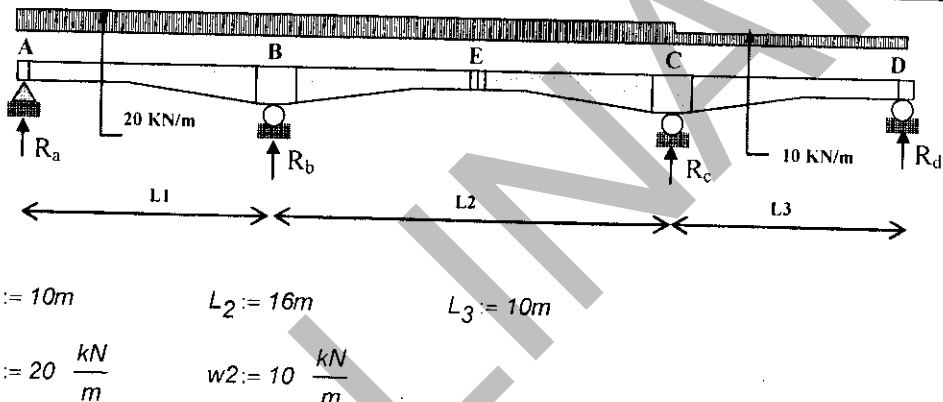
Perhitungan penampang non-prismatis dapat dilihat pada contoh berikut ini:

**CONTOH 5.3**

**Analisis Struktur Balok Menerus  
Penampang Non-Prismatis**

1  
1

**SOAL :** Hitung dan gambarkan diagram momen pada struktur dengan  $EI$  tidak konstan di bawah ini.  
Gunakan metoda Cross.

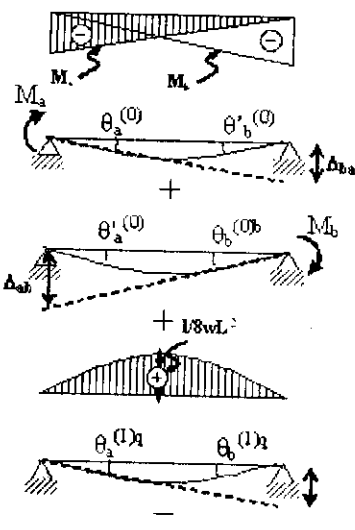
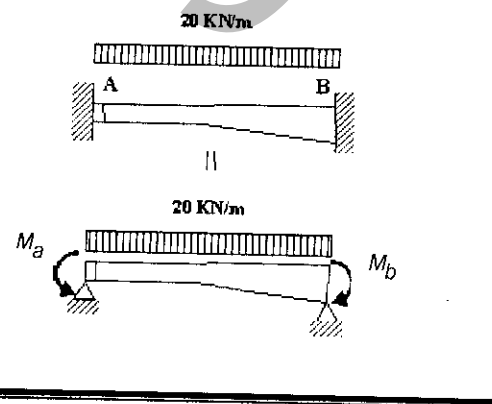


1. Menentukan momen ujung jepit (FEM)  
*Boundary*

$$\theta_a := 0 \quad \theta_b := 0$$

Panjang bentang  $L := 10$

FEM pada bentang A-B



Keterangan :  
 $\theta_{ab}$  : Jumlah perubahan putaran sudut total antara titik A dan B. Jumlah putaran sudut ini diperoleh dengan cara menghitung luas daerah dalam kurva  $M/EI$  antara A dan B.

$\Delta_{ba}(0)$  : Lendutan di titik B sehubungan adanya garis tangen putaran sudut di titik A akibat momen redundan  $M_a$  dan  $M_b$ . Lendutan ini diperoleh dengan menghitung statis momen dari luas daerah dalam kurva  $M/EI$  akibat momen redundan  $M_a$  dan  $M_b$  antara A dan B dikali jarak pusat daerah dalam kurva  $M/EI$  terhadap titik B akibat momen  $M_a$  dan  $M_b$ .

Momen akibat beban merata  $w_1$  sepanjang bentang  $L_1$

$$M_q(x) = \frac{w_1 \cdot x}{2} \cdot (L - x)$$

Modulus elastisitas bahan,  $E$

Momen inersia balok lurus,  $I_o := 1$

Momen inersia daerah pembesaran (*aunch*),

$$I_{ab}(x) := \begin{cases} I_o & \text{if } 0 \leq x < 5 \\ \left[ I_o \cdot \left( \frac{x}{5} \right)^3 \right] & \text{if } 5 < x \leq 10 \end{cases}$$

Persamaan putaran sudut pada ujung-ujung member dimana kedua ujungnya jepit.

$$\Theta_{ab} = \frac{\Delta_{ba}^{(0)} - \Delta_{ba}^{(1)}}{L} = \theta_a = 0$$

$$\Theta_{ba} = \frac{\Delta_{ab}^{(0)} - \Delta_{ab}^{(1)}}{L} = \theta_b = 0$$

Dari persamaan putaran sudut di atas dapat dikembangkan persamaan berikut:

$$\theta_a = \left[ \int_0^L \frac{Ma \cdot \left( \frac{x}{L} - 1 \right) \cdot (L - x)}{E \cdot I_{ab}(x)} dx + \int_0^L \frac{Mb \cdot \left( \frac{x}{L} \right) \cdot (L - x)}{E \cdot I_{ab}(x)} dx - \int_0^L \frac{\frac{w_1 \cdot x}{2} \cdot (L - x)^2}{E \cdot I_{ab}(x)} dx \right] \frac{1}{L}$$

$$\theta_b = \left[ \int_0^L \frac{Ma \cdot \left( \frac{x}{L} - 1 \right) \cdot (x)}{E \cdot I_{ab}(x)} dx + \int_0^L \frac{Mb \cdot \left( \frac{x}{L} \right) \cdot (x)}{E \cdot I_{ab}(x)} dx - \int_0^L \frac{\frac{w_1 \cdot x}{2} \cdot (L - x) \cdot x}{E \cdot I_{ab}(x)} dx \right] \frac{1}{L}$$

Untuk menghitung integrasi di atas akan digunakan cara *Simpson*. Rumus Integrasi numerik *Simpson*:

$$\int_a^b f(x) dx = \frac{s}{3} (f_0 + 4f_1 + 2f_2 + 4f_3 + 2f_4 \dots 2f_{m-2} + 4f_{m-1} + f_m)$$

$\Delta_{ba}^{(1)}$  : Lendutan di titik B sehubungan adanya garis tangen putaran sudut di titik A akibat momen  $M_q$ . Lendutan ini diperoleh dengan menghitung statis momen dari luas daerah dalam kurva  $M/EI$  akibat  $M_q$  antara A dan B dikali jarak pusat daerah dalam kurva  $M/EI$  terhadap titik B.

$\Delta_{ab}$  : Lendutan di titik A akibat adanya garis tangen putaran sudut di titik B. Lendutan ini diperoleh dengan menghitung statis momen dari luas daerah dalam kurva  $M/EI$  antara A dan B dengan jarak pusat daerah dalam kurva  $M/EI$  terhadap titik A.

$\theta_a$  : Putaran sudut di titik A.

$\theta_b$  : Putaran sudut di titik B.

$$A1(x) := \frac{\left(\frac{x}{L} - 1\right) \cdot (L - x)}{E \cdot I_{ab}(x)}$$

$$A2(x) := \frac{\left(\frac{x}{L} - 1\right) \cdot (x)}{E \cdot I_{ab}(x)}$$

$$B1(x) := \frac{\left(-\frac{x}{L}\right) \cdot (L - x)}{E \cdot I_{ab}(x)}$$

$$B2(x) := \frac{\left(-\frac{x}{L}\right) \cdot (x)}{E \cdot I_{ab}(x)}$$

$$C1(x) := \frac{\frac{w1 \cdot x}{2} \cdot (L - x)^2}{E \cdot I_{ab}(x)}$$

$$C2(x) := \frac{\frac{w1 \cdot x}{2} \cdot (L - x) \cdot x}{E \cdot I_{ab}(x)}$$

**MANUAL PERENCANAAN STRUKTUR BETON PRATEGANG UNTUK JEMBATAN**

Menghitung :

$$\int_0^L A1(x) dx = -31.581$$

L	=	10
Range	=	10
Jumlah interval	=	20
s	=	0.5

Point (i)	x <sub>i</sub>	I(x)	M(x)	f <sub>i</sub> =M(x)/I(x)	4f <sub>i</sub> (ganjil)	2f <sub>i</sub> (genap)
0	0.000	1.000	-10.000	-10.000000		
1	0.500	1.000	-9.025	-9.025000	-36.1000	
2	1.000	1.000	-8.100	-8.100000		-16.2000
3	1.500	1.000	-7.225	-7.225000	-28.9000	
4	2.000	1.000	-6.400	-6.400000		-12.8000
5	2.500	1.000	-5.625	-5.625000	-22.5000	
6	3.000	1.000	-4.900	-4.900000		-9.8000
7	3.500	1.000	-4.225	-4.225000	-16.9000	
8	4.000	1.000	-3.600	-3.600000		-7.2000
9	4.500	1.000	-3.025	-3.025000	-12.1000	
10	5.000	1.000	-2.500	-2.500000		-5.0000
11	5.500	1.331	-2.025	-1.521412	-6.0856	
12	6.000	1.728	-1.600	-0.925926		-1.8519
13	6.500	2.197	-1.225	-0.557579	-2.2303	
14	7.000	2.744	-0.900	-0.327988		-0.6560
15	7.500	3.375	-0.625	-0.185185	-0.7407	
16	8.000	4.096	-0.400	-0.097656		-0.1953
17	8.500	4.913	-0.225	-0.045797	-0.1832	
18	9.000	5.832	-0.100	-0.017147		-0.0343
19	9.500	6.859	-0.025	-0.003645	-0.0146	
20	10.000	8.000	0.000	0.000000		
Total				-125.7545	-53.7374	

Result: = 0.50/3\*(-10.0000 + -125.7545 + -53.7374 + 0.0000) = -31.58198

**MANUAL PERENCANAAN STRUKTUR BETON PRATEGANG UNTUK JEMBATAN**

Menghitung :

$$\int_0^L B1(x) dx = -12.169$$

L	=	10
Range	=	10
Jumlah interval	=	20
s	=	0.5

Point (i)	$x_i$	I(x)	M(x)	$f_i$ $=M(x)/i(x)$	$4f_i$ (ganjil)	$2f_i$ (genap)
0	0.000	1.000	0.000	0.000000		
1	0.500	1.000	-0.475	-0.475000	-1.9000	
2	1.000	1.000	-0.900	-0.900000		-1.8000
3	1.500	1.000	-1.275	-1.275000	-5.1000	
4	2.000	1.000	-1.600	-1.600000		-3.2000
5	2.500	1.000	-1.875	-1.875000	-7.5000	
6	3.000	1.000	-2.100	-2.100000		-4.2000
7	3.500	1.000	-2.275	-2.275000	-9.1000	
8	4.000	1.000	-2.400	-2.400000		-4.8000
9	4.500	1.000	-2.475	-2.475000	-9.9000	
10	5.000	1.000	-2.500	-2.500000		-5.0000
11	5.500	1.331	-2.475	-1.859504	-7.4380	
12	6.000	1.728	-2.400	-1.388889		-2.7778
13	6.500	2.197	-2.275	-1.035503	-4.1420	
14	7.000	2.744	-2.100	-0.765306		-1.5306
15	7.500	3.375	-1.875	-0.555556	-2.2222	
16	8.000	4.096	-1.600	-0.390625		-0.7813
17	8.500	4.913	-1.275	-0.259516	-1.0381	
18	9.000	5.832	-0.900	-0.154321		-0.3086
19	9.500	6.859	-0.475	-0.069252	-0.2770	
20	10.000	8.000	0.000	0.000000		
Total		-48.6173	-24.3983			

Result:  $= 0.50/3 * (0.0000 + -48.6173 + -24.3983 + 0.0000) = -12.16927$

**MANUAL PERENCANAAN STRUKTUR BETON PRATEGANG UNTUK JEMBATAN**

Menghitung :

$$\int_0^L C_1(x) dx$$

L	=	10
Range	=	10
Jumlah interval	=	20
s	=	0.5

Point (i)	$x_i$	$I(x)$	$M(x)$	$f_i$ $=M(x)/I(x)$	$4f_i$ (ganjil)	$2f_i$ (genap)
0	0.000	1.000	0.000	0.000000		
1	0.500	1.000	451.250	451.250000	1805.0000	
2	1.000	1.000	810.000	810.000000		1620.0000
3	1.500	1.000	1083.750	1083.750000	4335.0000	
4	2.000	1.000	1280.000	1280.000000		2560.0000
5	2.500	1.000	1406.250	1406.250000	5625.0000	
6	3.000	1.000	1470.000	1470.000000		2940.0000
7	3.500	1.000	1478.750	1478.750000	5915.0000	
8	4.000	1.000	1440.000	1440.000000		2880.0000
9	4.500	1.000	1361.250	1361.250000	5445.0000	
10	5.000	1.000	1250.000	1250.000000		2500.0000
11	5.500	1.331	1113.750	836.776860	3347.1074	
12	6.000	1.728	960.000	555.555556		1111.1111
13	6.500	2.197	796.250	362.426036	1449.7041	
14	7.000	2.744	630.000	229.591837		459.1837
15	7.500	3.375	468.750	138.888889	555.5556	
16	8.000	4.096	320.000	78.125000		156.2500
17	8.500	4.913	191.250	38.927336	155.7093	
18	9.000	5.832	90.000	15.432099		30.8642
19	9.500	6.859	23.750	3.462604	13.8504	
20	10.000	8.000	0.000	0.000000		
Total			28646.9269	14257.4090		

Result:  $= 0.50/3 * (0.0000 + 28646.9269 + 14257.4090 + 0.0000) = 7150.72265$

Demikian pula dengan cara yang sama digunakan untuk menghitung :

$$\int_0^L A2(x) dx = -12.169$$

$$\int_0^L B2(x) dx = -12.831$$

$$\int_0^L C2(x) dx = 5018.506$$

Selanjutnya setelah semua integrasi diatas diperoleh, maka persamaan momen jepit diatas dapat ditulis kembali sebagai berikut:

$$\theta a = 0 \quad \theta b = 0$$

$$Ma := 1 \quad Mb := 1$$

Given

$$\theta a = Ma \cdot (-31.581) + Mb \cdot (-12.169) - 7150.722$$

$$\theta b = Ma \cdot (-12.169) + Mb \cdot (-12.831) - 5018.506$$

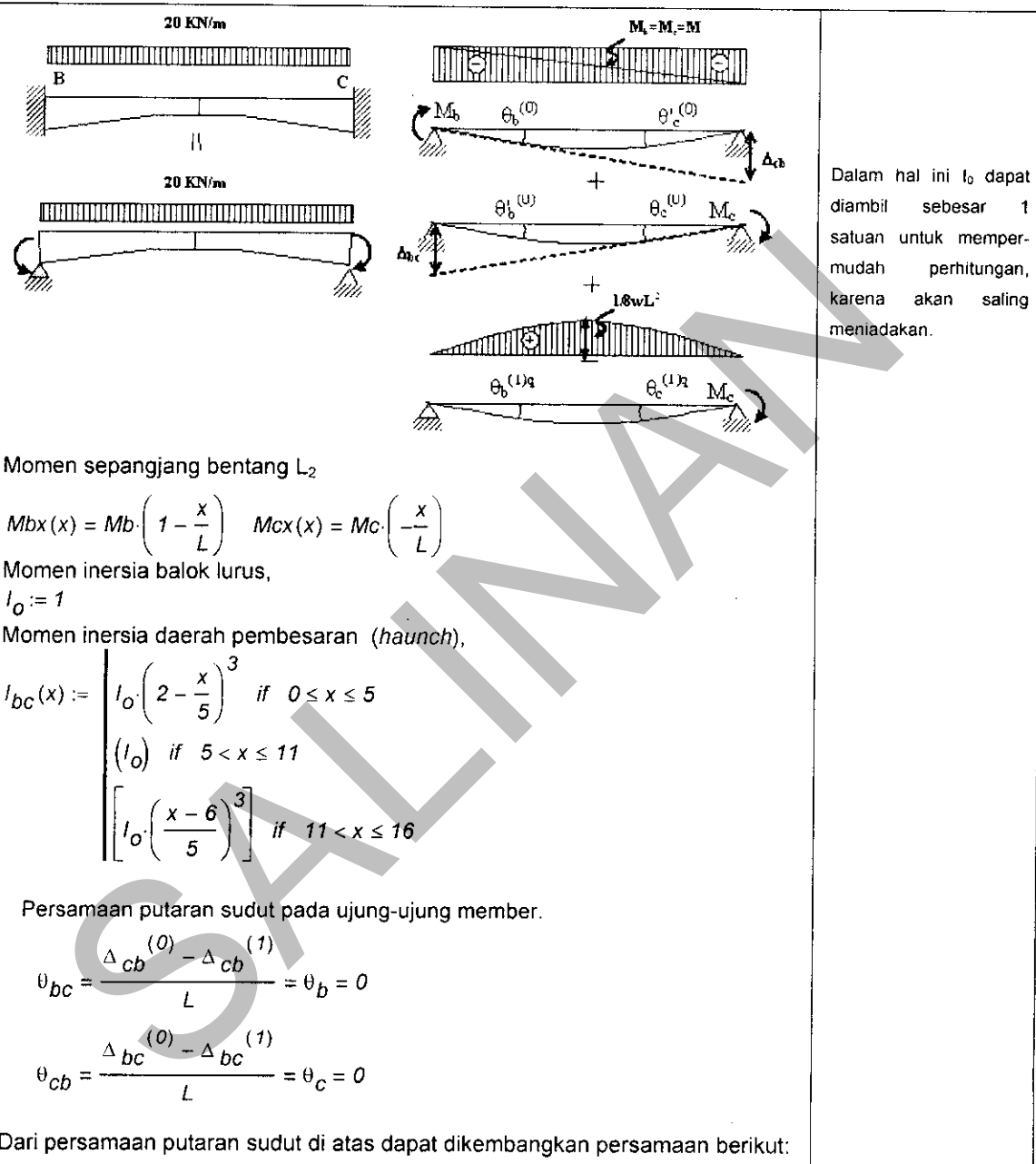
$$\begin{pmatrix} MF_{ab} \\ MF_{ba} \end{pmatrix} := Find(Ma, Mb) \quad \begin{pmatrix} MF_{ab} \\ MF_{ba} \end{pmatrix} = \begin{pmatrix} -119.319 \\ -277.96 \end{pmatrix}$$

#### FEM pada bentang B-C

Boundary

$$\theta b := 0 \quad \theta c := 0$$

$$\text{Panjang bentang} \quad L := 16$$



$$\theta_b = \left[ \int_0^L \frac{Mb \cdot \left( \frac{x}{L} - 1 \right) \cdot (L-x)}{E \cdot I_{bc}(x)} dx + \int_0^L \frac{Mc \cdot \left( -\frac{x}{L} \right) \cdot (L-x)}{E \cdot I_{bc}(x)} dx - \int_0^L \frac{\frac{w_1 x}{2} \cdot (L-x)^2}{E \cdot I_{bc}(x)} dx \right] \cdot \frac{1}{L}$$

$$\theta_c = \left[ \int_0^L \frac{Mb \cdot \left( \frac{x}{L} - 1 \right) \cdot (x)}{E \cdot I_{bc}(x)} dx + \int_0^L \frac{Mc \cdot \left( -\frac{x}{L} \right) \cdot (x)}{E \cdot I_{bc}(x)} dx - \int_0^L \frac{\frac{w_1 x}{2} \cdot (L-x) \cdot x}{E \cdot I_{bc}(x)} dx \right] \cdot \frac{1}{L}$$

$$\begin{pmatrix} MF_{bc} \\ MF_{cb} \end{pmatrix} := Find(Mb, Mc) \quad \begin{pmatrix} MF_{bc} \\ MF_{cb} \end{pmatrix} = \begin{pmatrix} -530.988 \\ -530.988 \end{pmatrix}$$

Momen Jepit di ujung-ujung member (FEM) menjadi sebagai berikut:

$$M_{FAB} := MF_{ab} \quad M_{FBA} := MF_{ba}$$

$$M_{FAB} = -119.31928 \quad M_{FBA} = -277.96039$$

$$M_{FBC} := MF_{bc} \quad M_{FCB} := MF_{cb}$$

$$M_{FBC} = -530.988 \quad M_{FCB} = -530.9879$$

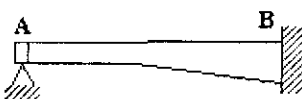
$$M_{FCD} := MF_{ba} \quad M_{FDC} := MF_{ab}$$

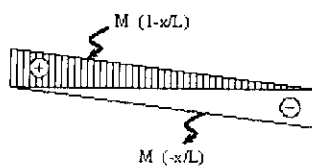
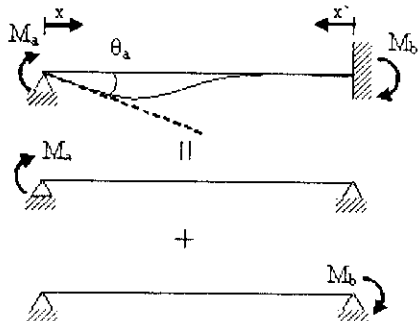
$$M_{FCD} = -277.96 \quad M_{FDC} = -119.319$$

## 2. Faktor distribusi (DF) dan Carry Over

Ditentukan Modulus elastisitas beton, Ec. Dalam kasus Ec=konstan atau Inersia I=konstan maka Ec dan I dapat dihilangkan, namun tidak demikian bila penampang non prismatic.

Tinjau bentang AB





### Menentukan stiffness $S_{ab}$

Faktor kekakuan (stiffness)  $S_{ab}$  diperoleh dengan memberikan putaran sudut di titik yang berputar satu satuan,  $\theta_a = 1$  sementara titik B dikunci.

*Boundary*

$$0a := 1 \quad \theta b := 0 \quad L := 10$$

$$Max(x) = Ma \cdot \left(1 - \frac{x}{L}\right) \quad Mb(x) = Mb \cdot \left(\frac{x}{L}\right)$$

$$I_0 := 1 \quad E := 1$$

$$I_{ab}(x) := \begin{cases} I_0 & \text{if } 0 \leq x < 5 \\ \left[I_0 \left(\frac{x}{5}\right)^3\right] & \text{if } 5 < x \leq 10 \end{cases}$$

Persamaan putaran sudut di titik A pada bentang AB

$$\theta_{ab} = \frac{\Delta ba}{L} = 1 \quad \theta_{ba} = \frac{\Delta ab}{L} = 0$$

$$Ma := 1$$

$$Mb := 1$$

Given

$$\theta_a = \left[ \int_0^{10} \frac{Ma \cdot \left(1 - \frac{x}{L}\right) \cdot (L-x)}{E \cdot I_{ab}(x)} dx + \int_0^{10} \frac{Mb \cdot \left(-\frac{x}{L}\right) \cdot (L-x)}{E \cdot I_{ab}(x)} dx \right] \cdot \frac{1}{L}$$

$$\theta_b = \left[ \int_0^{10} \frac{Ma \cdot \left(1 - \frac{x}{L}\right) \cdot (x)}{E \cdot I_{ab}(x)} dx + \int_0^{10} \frac{Mb \cdot \left(-\frac{x}{L}\right) \cdot (x)}{E \cdot I_{ab}(x)} dx \right] \cdot \frac{1}{L}$$

$$\begin{pmatrix} Ma \\ Mb \end{pmatrix} := Find(Ma, Mb)$$

$$\begin{pmatrix} Ma \\ Mb \end{pmatrix} = \begin{pmatrix} 0.499 \\ 0.473 \end{pmatrix}$$

$$\frac{Mb}{Ma} = 0.9484 \quad \text{carry over}$$

$$S_{AB} := Ma \times EI \text{ [MPa m}^3\text{]} \quad \text{faktor kekakuan stiffness}$$

$$S_{AB} = 0.499 \times EI \text{ [MPa m}^3\text{]}$$

#### **Menentukan stiffness $S_{ba}$**

Faktor kekakuan (*stiffness*)  $S_{bc}$  diperoleh dengan memberikan putaran sudut dititik yang berputar satu satuan searah jarum jam,  $\theta_b = 1$  (atau  $\theta_b = -1$  untuk putaran yang berlawanan arah jarum jam) sementara titik A dikunci.

*Boundary*

$$\theta_b := -1 \quad \theta_a := 0 \quad L := 10$$

$$Max(x) = Ma \cdot \left(1 - \frac{x}{L}\right) \quad Mb(x) = Mb \cdot \left(-\frac{x}{L}\right)$$

$$I_o := 1$$

$$I_{ab}(x) := \begin{cases} I_o & \text{if } 0 \leq x < 5 \\ \left[I_o \left(\frac{x}{5}\right)^3\right] & \text{if } 5 < x \leq 10 \end{cases}$$

Persamaan putaran sudut di titik B pada bentang AB

$$\theta_{ba} = \frac{\Delta ab}{L} = 1 \quad \theta_{ab} = \frac{\Delta ba}{L} = 0$$

$$Ma := 1 \quad Mb := 1$$

Given

$$\theta_a = \left[ \int_0^L \frac{Ma \left( 1 - \frac{x}{L} \right) \cdot (L-x)}{E \cdot I_{ab}(x)} dx + \int_0^L \frac{Mb \cdot \left( \frac{x}{L} \right) \cdot (L-x)}{E \cdot I_{ab}(x)} dx \right] \cdot \frac{1}{L}$$

$$\theta_b = \left[ \int_0^L \frac{Ma \left( 1 - \frac{x}{L} \right) \cdot (x)}{E \cdot I_{ab}(x)} dx + \int_0^L \frac{Mb \cdot \left( \frac{x}{L} \right) \cdot (x)}{E \cdot I_{ab}(x)} dx \right] \cdot \frac{1}{L}$$

$$\begin{pmatrix} Ma \\ Mb \end{pmatrix} := Find(Ma, Mb)$$

$$\begin{pmatrix} Ma \\ Mb \end{pmatrix} = \begin{pmatrix} 0.473 \\ 1.228 \end{pmatrix}$$

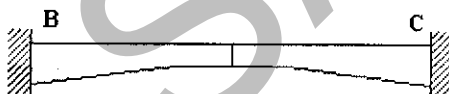
$$\frac{Ma}{Mb} = 0.3853 \quad \text{carry over}$$

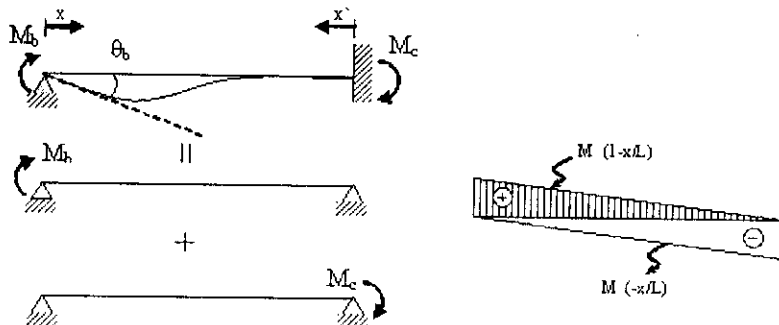
$$S_{BA} := Mb \times EI_o [\text{MPa m}^3]$$

faktor kekuan stiffness

$$S_{BA} = 1.228 \times EI_o [\text{MPa m}^3]$$

Tinjau bentang BC





#### **Menentukan stiffness $S_{bc}$**

Faktor kekakuan (stiffness)  $S_{bc}$  diperoleh dengan memberikan putaran sudut difitik yang berputar satu satuan searah jarum jam,  $\theta_b = 1$  (atau  $\theta_b = -1$  untuk putaran yang berlawanan arah jarum jam) sementara di titik C dikunci.

*Boundary*

$$\theta_b := 1 \quad \theta_c := 0 \quad L := 16$$

$$M_{bx}(x) = M_b \cdot \left(1 - \frac{x}{L}\right) \quad M_{cx}(x) = M_c \cdot \left(\frac{x}{L}\right)$$

$$I_0 := 1$$

$$I_{bc}(x) := \begin{cases} I_0 \cdot \left(2 - \frac{x}{5}\right)^3 & \text{if } 0 \leq x \leq 5 \\ (I_0) & \text{if } 5 < x \leq 11 \\ \left[I_0 \cdot \left(\frac{x-6}{5}\right)^3\right] & \text{if } 11 < x \leq 16 \end{cases}$$

Persamaan putaran sudut di titik B pada bentang BC

$$\theta_{bc} = \frac{\Delta_{cb}}{L} = 1 \quad \theta_{cb} = \frac{\Delta_{bc}}{L} = 0$$

$$Mb := 1$$

$$Mc := 1$$

Given

$$\theta_b = \left[ \int_0^L \frac{Mb \cdot \left(1 - \frac{x}{L}\right) \cdot (L-x)}{E \cdot I_{bc}(x)} dx + \int_0^L \frac{Mc \cdot \left(-\frac{x}{L}\right) \cdot (L-x)}{E \cdot I_{bc}(x)} dx \right] \cdot \frac{1}{L}$$

$$\theta_c = \left[ \int_0^L \frac{Mb \cdot \left(1 - \frac{x}{L}\right) \cdot (x)}{E \cdot I_{bc}(x)} dx + \int_0^L \frac{Mc \cdot \left(-\frac{x}{L}\right) \cdot (x)}{E \cdot I_{bc}(x)} dx \right] \cdot \frac{1}{L}$$

$$\begin{pmatrix} Mb \\ Mc \end{pmatrix} := Find(Mb, Mc)$$

$$\begin{pmatrix} Mb \\ Mc \end{pmatrix} = \begin{pmatrix} 0.705 \\ 0.5 \end{pmatrix}$$

$$\frac{Mc}{Mb} = 0.7089 \quad \text{Carry Over (CO)}$$

$$S_{BC} := Mb \times EI \text{ [MPa m}^3]$$

faktor kekakuan stiffness

$$S_{BC} = 0.7047 \times EI \text{ [MPa m}^3]$$

Faktor kekakuan tiap member dapat dituliskan sebagai berikut:

$$S_{CB} := S_{BC} \quad S_{CB} = 0.7047$$

$$S_{CD} := S_{BA} \quad S_{CD} = 1.228$$

$$S_{DC} := S_{AB}$$

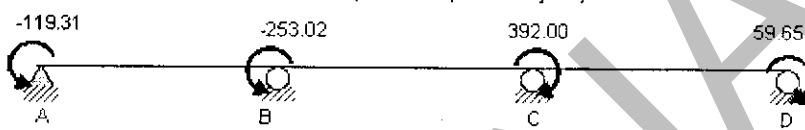
**Faktor distribusi**

$$DF_{AB} := \frac{S_{AB}}{S_{AB} + 0} \quad DF_{AB} = 1 \quad DF_{BA} := \frac{S_{BA}}{S_{BA} + S_{BC}} \quad DF_{BA} = 0.6354$$

$$DF_{BC} := \frac{S_{BC}}{S_{BC} + S_{BA}} \quad DF_{BC} = 0.3646 \quad DF_{CB} := \frac{S_{CB}}{S_{CB} + S_{CD}} \quad DF_{CB} = 0.3646$$

$$DF_{CD} := \frac{S_{CD}}{S_{CD} + S_{CB}} \quad DF_{CD} = 0.6354 \quad DF_{DC} := \frac{S_{DC}}{S_{DC} + 0} \quad DF_{DC} = 1$$

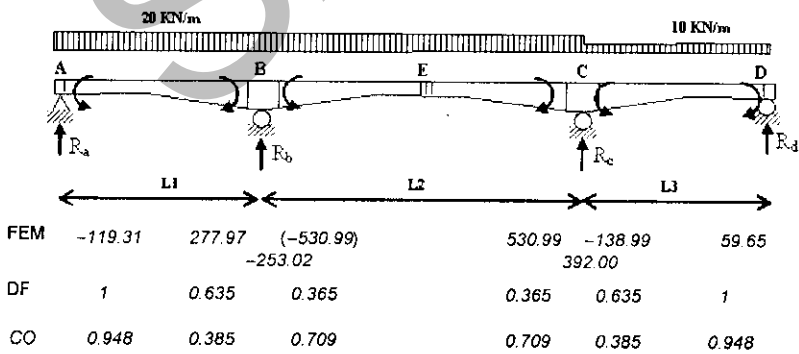
3. Menentukan momen titik untuk mengunci posisi. Jumlah momen ujung jepit (FEM) semua sisi di sebuah titik temu member adalah momen yang diperlukan untuk mengunci posisi di titik tersebut atau disebut juga momen unbalance. pada titik A -119.31 kNm, di B -253.02 kNm (berlawanan putaran jam), di C 392.0 kNm dan di D 59.65 kNm (serah putaran jam).



4. Distribusi Momen

Ketika titik A sebagai perletakan jepit dan akan diperhitungkan sebagai sendi bila titik B dibuka jepitannya, maka titik A harus dibuka jepitannya dan diseimbangkan terlebih dahulu. besar momen ujung jepit (FEM) akibat beban merata di titik A adalah -119.319 kNm. bertanda (-) karena berlawanan arah jarum jam. Momen FEM ini menimbulkan momen unbalance (MUB) = -119.319 kNm. Momen ini harus diseimbangkan dengan cara mengalikan dengan minus faktor distribusi DF,  $MBAL=MUB*(-1)*DF=119.319$  kNm. Ketika titik A diseimbangkan dengan MBAL, maka sebagian momen balance (MBAL) harus dibagikan ke titik B sebagai momen carry over (MCO). selanjutnya MCO dipertimbangkan sebagai momen unbalance baru.

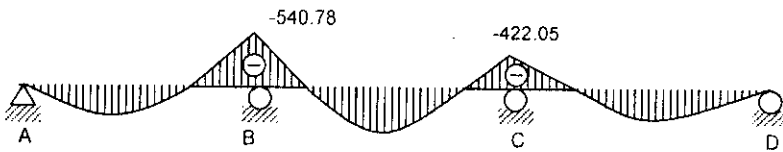
Tanda momen ujung positif.



**MANUAL PERENCANAAN STRUKTUR BETON PRATEGANG UNTUK JEMBATAN**

JOINT		A	B		C	D
Momen ujung		AB	BA	BC	CB	CD
Siklus		CO	0.3853	0.7089	0.7089	0.3853
	DF	1.000	0.635	0.365	0.365	0.635
1	FEM	-119.31	277.97	-530.99	530.99	-138.99
	MUB	-119.31		-253.02		392.00
	MBAL	119.31		160.77	92.25	-142.92
2	MCO	61.94	113.15	-101.32	65.40	-56.58
	MUB	61.94		11.83		8.82
	MBAL	-61.94		-7.52	-4.31	-3.22
3	MCO	-2.90	-58.75	-2.28	-3.06	91.02
	MUB	-2.90		-61.03		87.96
	MBAL	2.90		38.78	22.25	-32.07
4	MCO	14.94	2.75	-22.73	15.77	2.05
	MUB	14.94		-19.99		17.82
	MBAL	-14.94		12.70	7.29	-6.50
5	MCO	4.89	-14.17	-4.61	5.17	20.42
	MUB	4.89		-18.78		25.59
	MBAL	-4.89		11.93	6.85	-9.33
6	MCO	4.60	-4.64	-6.61	4.85	4.14
	MUB	4.60		-11.25		8.99
	MBAL	-4.60		7.15	4.10	-3.28
7	MCO	2.76	-4.36	-2.32	2.91	5.94
	MUB	2.76		-6.68		8.85
	MBAL	-2.76		4.25	2.44	-3.23
8	MCO	1.64	-2.61	-2.29	1.73	2.09
	MUB	1.64		-4.90		3.81
	MBAL	-1.64		3.11	1.79	-1.39
9	MCO	1.20	-1.55	-0.99	1.27	2.05
	MUB	1.20		-2.54		3.32
	MBAL	-1.20		1.61	0.93	-1.21
10	MCO	0.62	-1.14	-0.86	0.66	0.89
	MUB	0.62		-2.00		1.54
	MBAL	-0.62		1.27	0.73	-0.56
11	MCO	0.49	-0.59	-0.40	0.52	0.77
	MUB	0.49		-0.99		1.29
	MBAL	-0.49		0.63	0.36	-0.47
12	MCO	0.24	-0.46	-0.33	0.26	0.36
	MUB	0.24		-0.80		0.61
	MBAL	-0.24		0.51	0.29	-0.22
					-0.39	0.32
JUMLAH		0.00	540.78	-540.78	422.05	-422.05
						0.00

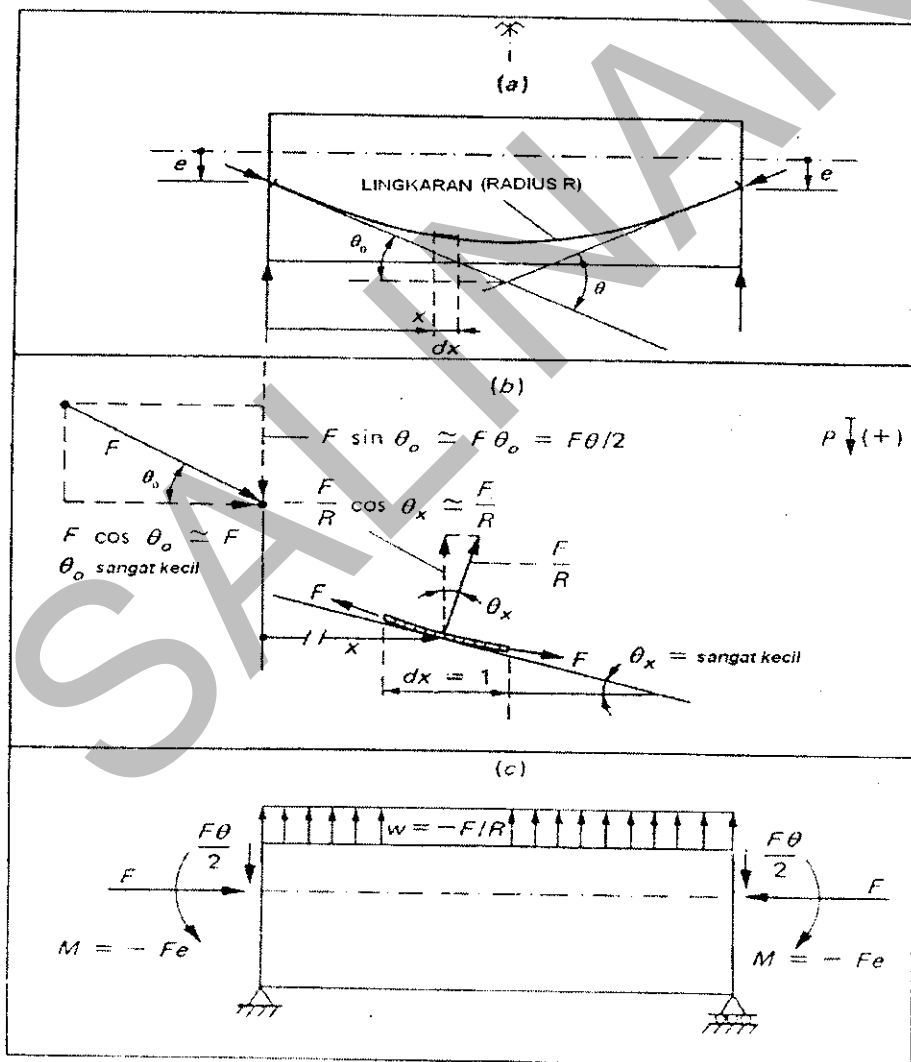
Diagram Momen



SALINAN

### 5.3.6 Konsep Beban Ekivalen

Kabel prategang yang bekerja pada balok dapat digantikan dengan beban ekivalen. Beban ekivalen ini terdiri dari gaya horizontal, gaya vertikal, dan momen pada perletakan, gaya transversal sepanjang profil tendon. Gaya transversal diperoleh dari kelengkungan (*curvature*) atau perubahan pada profil tendon. Untuk tendon melengkung, besarnya beban transversal per unit panjang adalah  $P/p_x$ , dimana  $p_x$  adalah radius kelengkungan pada potongan yang ditinjau.



**Gambar 5-3 Konsep beban ekivalen (a) Profil tendon. (b) Beban transversal akibat prategang. (c) Free body balok**

PROFIL KABEL PRATEGANG	BEBAN LUAR EKIVALEN
	<p>Profil kabel parabolik :</p> $w = -\frac{F\theta}{l} = -\frac{8F\delta}{l^2}$ <p>Profil kabel lingkaran :</p> $w = -\frac{F\theta}{l} = -\frac{F}{R}$
	<p><math>P = -Fl = -4F \frac{\delta}{l}</math> radian</p>
	<p><math>w = -\frac{F\theta}{l} = -\frac{2F\delta}{l^2}</math></p>

**Gambar 5-4 Rumusan beban ekivalen untuk profil tendon tipikal pada balok.**

Aplikasi perhitungan beban ekivalen dapat dilihat pada contoh praktis berikut ini:

**Soal 5.4 Hitung beban ekivalen untuk profil kabel sebagai berikut:**

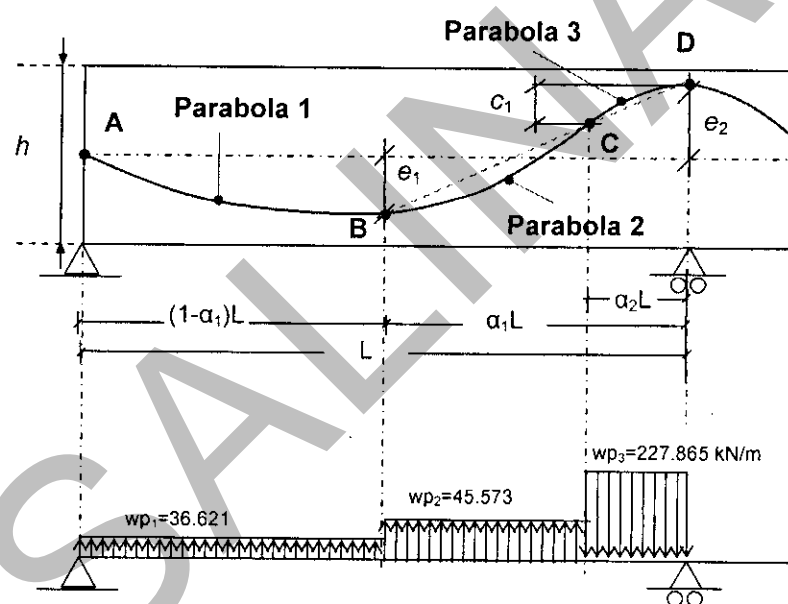
**Diketahui :**

Gaya prategang  $F := 2500 \text{kN}$

Panjang bentang  $L := 16 \text{m}$   $\alpha_1 := 0.6$   $\alpha_2 := 0.1$

Eksentrisitas  $e_1 := 300 \text{mm}$   $c_2 := 400 \text{mm}$

Tinggi parabola 3  $c_1 := \frac{\alpha_2}{\alpha_1} \cdot (e_1 + e_2)$   $c_1 = 0.117 \text{m}$



**Parabola 1**

Total Perubahan sudut kelengkungan :

$$L' := (1 - \alpha_1)L$$

$$\theta_1 := \frac{2 \cdot e_1}{L'} \quad \theta_1 = 0.094$$

Beban merata ekivalen :

$$wp_1 = \frac{F}{R} = \frac{F \cdot \theta_1}{L'}$$

$$wp_1 := \frac{F \cdot \theta_1}{L'} \quad wp_1 = 36.621 \frac{\text{kN}}{\text{m}} \quad [↑]$$

**Parabola 2**

Total Perubahan sudut kelengkungan :

$$L' := \alpha_1 L - \alpha_2 L$$

$$\theta_2 := \frac{2(e_1 + e_2 - c_1)}{L'} \quad \theta_2 = 0.146$$

Beban merata ekivalen :

$$wp_2 = \frac{F}{R} = \frac{F \cdot \theta_2}{L'}$$

$$wp_2 := \frac{F \cdot \theta_2}{L'} \quad wp_2 = 45.573 \frac{\text{kN}}{\text{m}} \quad [↑]$$

**Parabola 3**

Total Perubahan sudut kelengkungan :

$$L' := \alpha_2 \cdot L$$

$$\theta_3 := \theta_2 \quad \theta_3 = 0.146 \quad \text{atau}$$

$$\theta_3 := \frac{2(e_1 + e_2)}{\alpha_1 \cdot L} \quad \theta_3 = 0.146$$

Beban merata ekivalen :

$$wp_3 = \frac{F}{R} = \frac{F \cdot \theta_3}{L'}$$

$$wp_3 := \frac{F \cdot \theta_3}{L'} \quad wp_3 = 227.865 \frac{\text{kN}}{\text{m}} \quad [↓]$$

CONTOH 5.5

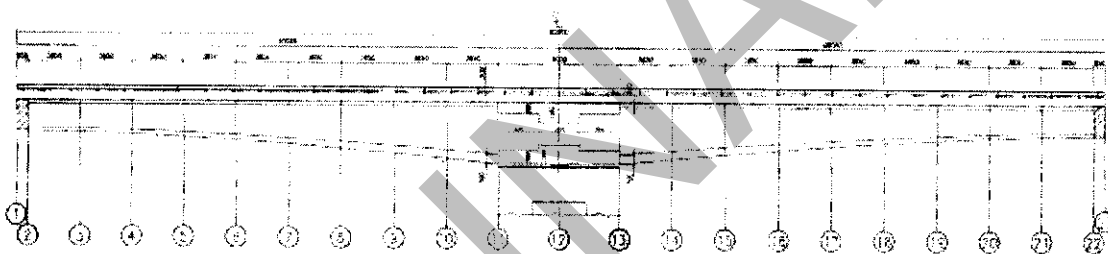
Analisis Lentur Balok Box-Girder

1  
1

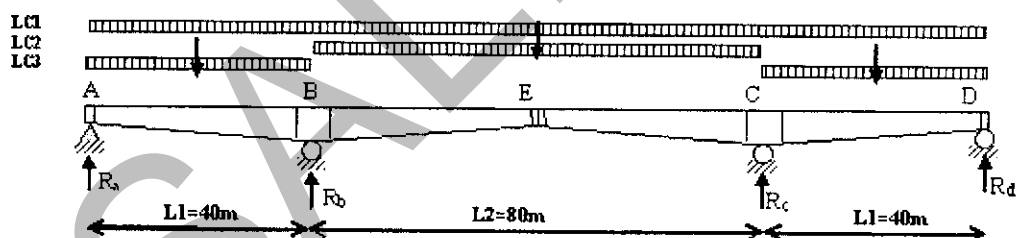
SOAL : Analisis tegangan lentur pada struktur box-girder menerus berikut ini.



Balok Simetris



Kombinasi beban hidup yang diperhitungkan



**Diketahui :**

*Beban*

Asumsi beban lalu lintas,  $wLL = 8 \text{ kN/m}^2$  total 100% selebar jalan 5.5m selebihnya 50%

$$wLL := 8 \cdot 5.5 + 4 \cdot 3 \quad \frac{\text{kN}}{\text{m}}$$

$$wLL = 56 \quad \frac{\text{kN}}{\text{m}}$$

Asumsi beban lalu lintas terpusat,  $PLL = 44 \text{ kN/m}$  total 100% selebar jalan 5.5m selebihnya 50%

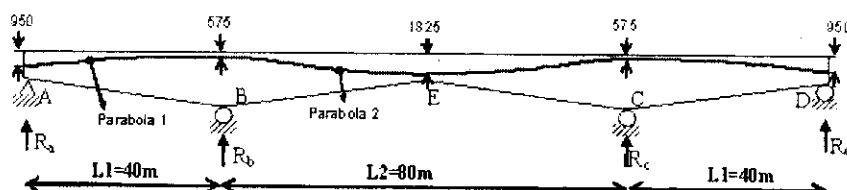
$$PLL := (44 \cdot 5.5 + 22 \cdot 3) \cdot 1.4 \quad PLL = 431.2 \text{ kN}$$

*Material*

Mutu beton	$f_{c'} := 37 \text{ MPa}$
Mutu strand	$f_{pu} := 1860 \text{ MPa}$ (ASTM A416 270 K)
Diameter strand	12.5 mm ( 0.5 inc )
Luas strand	$Aps1 := 100 \text{ mm}^2$
Jumlah strand per tendon	$nst := 12$
Jumlah tendon	$nt := 2 \cdot 12 \quad nt = 24$
Jumlah strand total	$nps := nst \cdot nt \quad nps = 288$
Asumsi tegangan efektif	$fpe := 0.4 \cdot f_{pu} \quad fpe = 744 \text{ MPa}$
Gaya prategang	$F := fpe \cdot nps \cdot Aps1 \quad F = 21427.2 \text{ kN}$
Panjang bentang	$L := 40 + 80 + 40$
Eksentrisitas	$e_1 := (950 - 575) \text{ mm} \quad e_2 := 1825 \text{ mm}$ $e_1 = 0.375 \text{ m}$

**1. Menentukan Beban Ekivalen**

Menentukan center gravitasi kabel (cgs) untuk mendapatkan layout kabel gabungan.



Menentukan besarnya beban merata ekivalen.

Struktur ini dapat dimodelkan sebagai sendi di ujung kiri dan rol pada perlakuan lainnya. Pada contoh sebelumnya telah diberikan perhitungan dengan analisis struktur secara manual metoda cross dan 3-momen, namun pada contoh ini akan dihitung dengan software sejenis SAP2000 atau MIDAS.

**Parabola 1**

Total Perubahan sudut kelengkungan :

$$L' := 40m$$

$$\theta_1 := \frac{2 \cdot e_1}{L'} \quad \theta_1 = 0.019$$

Beban merata ekivalen :

$$wp_1 = \frac{F}{R} = \frac{F \cdot \theta_1}{L'}$$

$$wp_1 := \frac{F \cdot \theta_1}{L'} \quad wp_1 = 10.044 \frac{kN}{m} \quad [↓]$$

**Parabola 2**

Total Perubahan sudut kelengkungan :

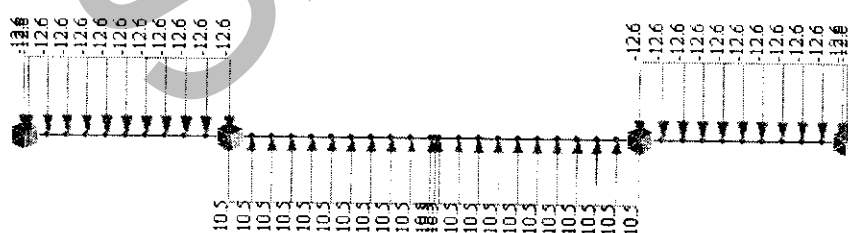
$$L' := 80m$$

$$\theta_2 := \frac{2 \cdot e_2}{L'} \quad \theta_2 = 0.046$$

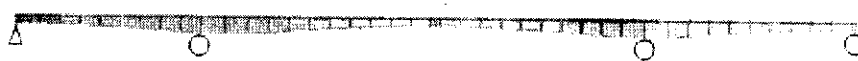
Beban merata ekivalen :

$$wp_2 = \frac{F}{R} = \frac{F \cdot \theta_2}{L'}$$

$$wp_2 := \frac{F \cdot \theta_2}{L'} \quad wp_2 = 12.22 \frac{kN}{m} \quad [↑]$$



**2. Pemodelan**

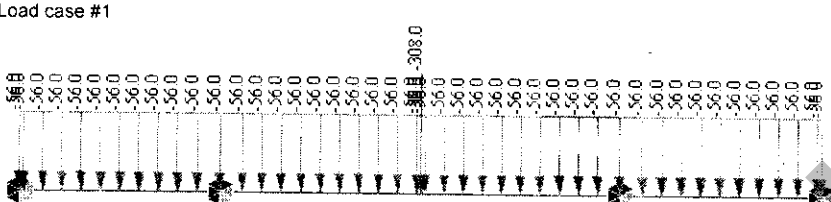
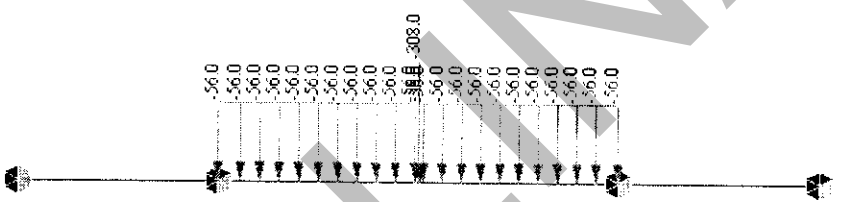


---

---

## MANUAL PERENCANAAN STRUKTUR BETON PRATEGANG UNTUK JEMBATAN

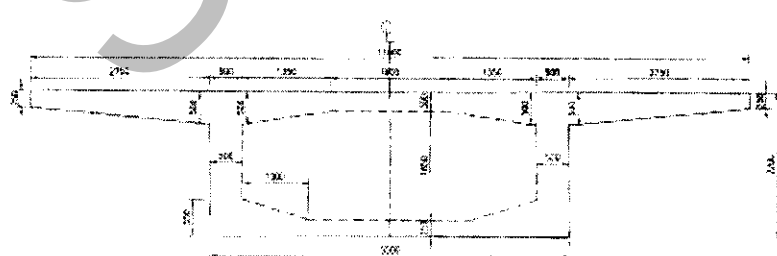
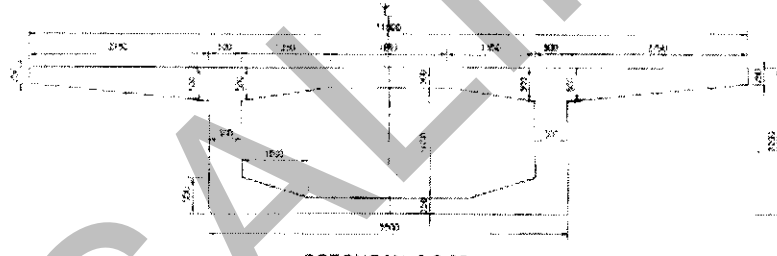
---

<p><i>Input Beban</i></p> <p>Load case #1</p>  <p>Load case #2</p>  <p>Load case #3</p> 	<p>Beban harus disusun agar dapat diperoleh momen paling kritis baik momen negatif maupun positif.</p> <p>Load Case #1 ditentukan untuk memperoleh momen negatif maksimum, sedangkan load case #2 untuk momen positif di tengah bentang.</p>
<p><i>Input Properties penampang</i></p> 	<p>Catatan:</p> <p>Properties penampang tiap potongan harus dihitung manual dan diinput kedalam software. (sebaiknya digunakan software yang dapat menghitung penampang non prisma dengan baik). Properties penampang inersia I, dan luas A bisa dihitung juga menggunakan software prestress PBKT dalam paket manual.</p>

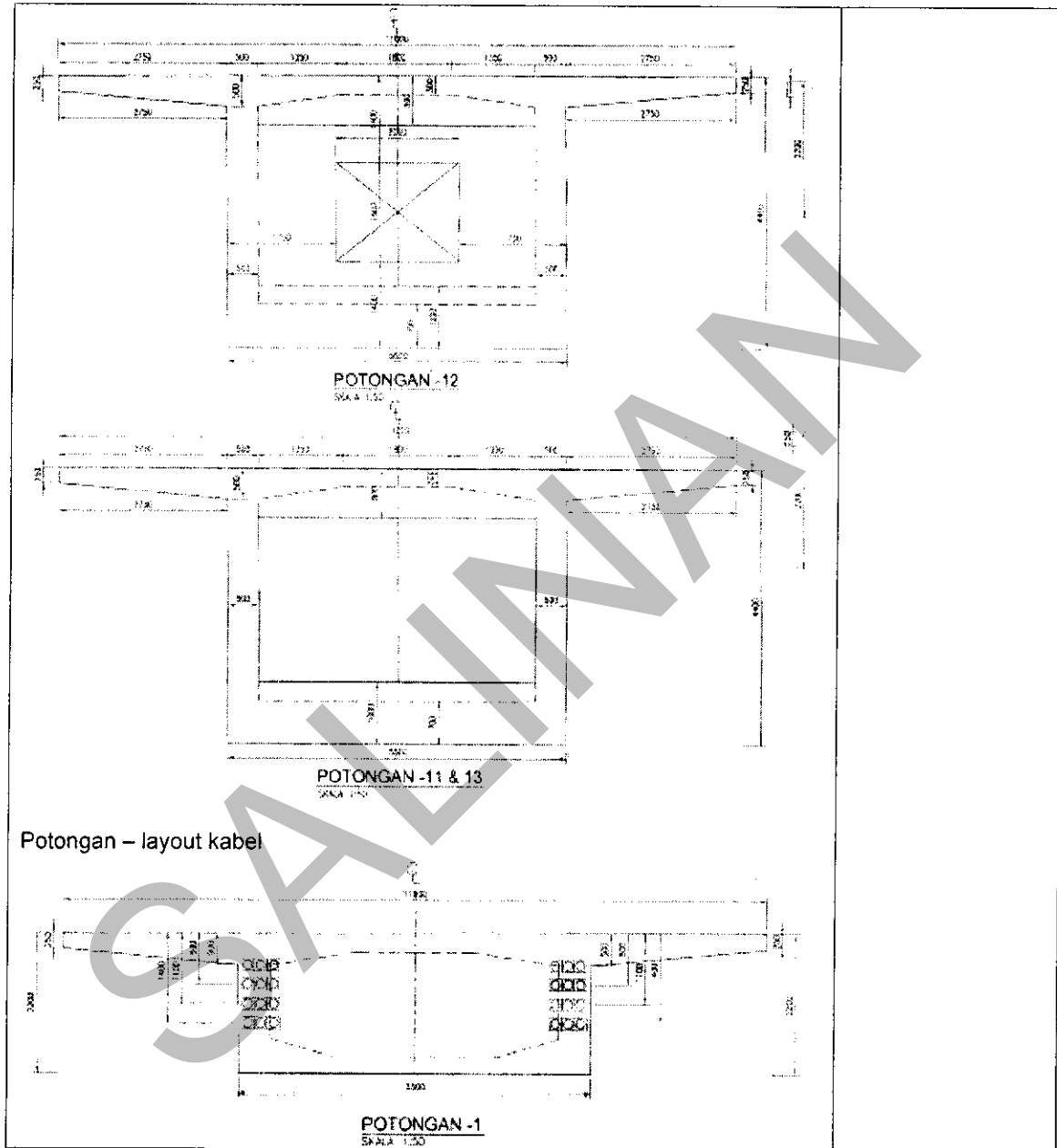
**MANUAL PERENCANAAN STRUKTUR BETON PRATEGANG UNTUK JEMBATAN**

ID	Type	Shape	Name	Area (m <sup>2</sup> )	A <sub>sy</sub> (m <sup>2</sup> )	A <sub>sz</sub> (m <sup>2</sup> )	b <sub>x</sub> (m <sup>4</sup> )	t <sub>y</sub> (m <sup>4</sup> )	I <sub>zz</sub> (m <sup>4</sup> )
22	PSC	1CEL	box1	14.1625	10.8638	6.2301	11.0529	8.3548	84.2270
17	PSC	1CEL	box10	10.3350	4.7653	2.9529	7.2212	26.0716	66.7379
6	PSC	1CEL	box11	11.0750	4.7833	3.5694	8.3107	32.2140	86.7283
7	PSC	1CEL	box12	23.3625	13.6340	11.4706	33.2948	45.6434	93.7324
1	PSC	1CEL	box2	7.1500	3.6338	2.9237	2.7618	4.6229	53.6341
2	PSC	1CEL	box3	7.3200	3.5759	0.8607	3.8923	4.8629	54.0730
3	PSC	1CEL	box4	7.3600	3.4767	0.8180	3.1357	5.7452	54.2682
11	PSC	1CEL	box5	8.1050	4.1104	1.1141	3.6119	7.4606	59.4285
15	PSC	1CEL	box6	8.1700	4.1628	1.4046	4.0875	8.1916	67.8603
4	PSC	1CEL	box7	8.7976	4.3313	1.6238	4.7510	11.9734	59.8737
16	PSC	1CEL	box8	9.1400	4.2878	2.0158	5.2638	16.1858	61.7730
5	PSC	1CEL	box9	9.0850	4.8550	2.3148	6.2642	19.9370	67.1119
8	Tapered	1CEL	bvar1	7.1600	3.8338	0.9237	2.7618	4.8228	53.6341
9	Tapered	1CEL	bvar2	7.2200	3.5758	0.8207	2.8923	4.9229	54.0730
10	Tapered	1CEL	bvar3	7.3500	3.4758	0.8180	3.1357	5.7452	54.2682
12	Tapered	1CEL	bvar4	8.1050	4.1104	1.1141	3.6119	7.4606	59.4285
14	Tapered	1CEL	bvar5	8.1700	4.1628	1.4046	4.0875	8.1916	67.8603
18	Tapered	1CEL	bvar6	8.7976	4.3313	1.6238	4.7510	11.9734	59.8737
19	Tapered	1CEL	bvar7	9.2150	4.5108	2.0628	5.4248	16.3280	61.2910
20	Tapered	1CEL	bvar8	9.0850	4.8550	2.3148	6.2642	19.9370	67.1119
21	Tapered	1CEL	bvar9	10.3350	4.7653	2.9529	7.2212	26.0716	86.7379
13	Tapered	1CEL	Var-1	4.8250	2.8632	0.9678	2.6605	4.4258	12.6172

Potongan ujung tipikal



MANUAL PERENCANAAN STRUKTUR BETON PRATEGANG UNTUK JEMBATAN

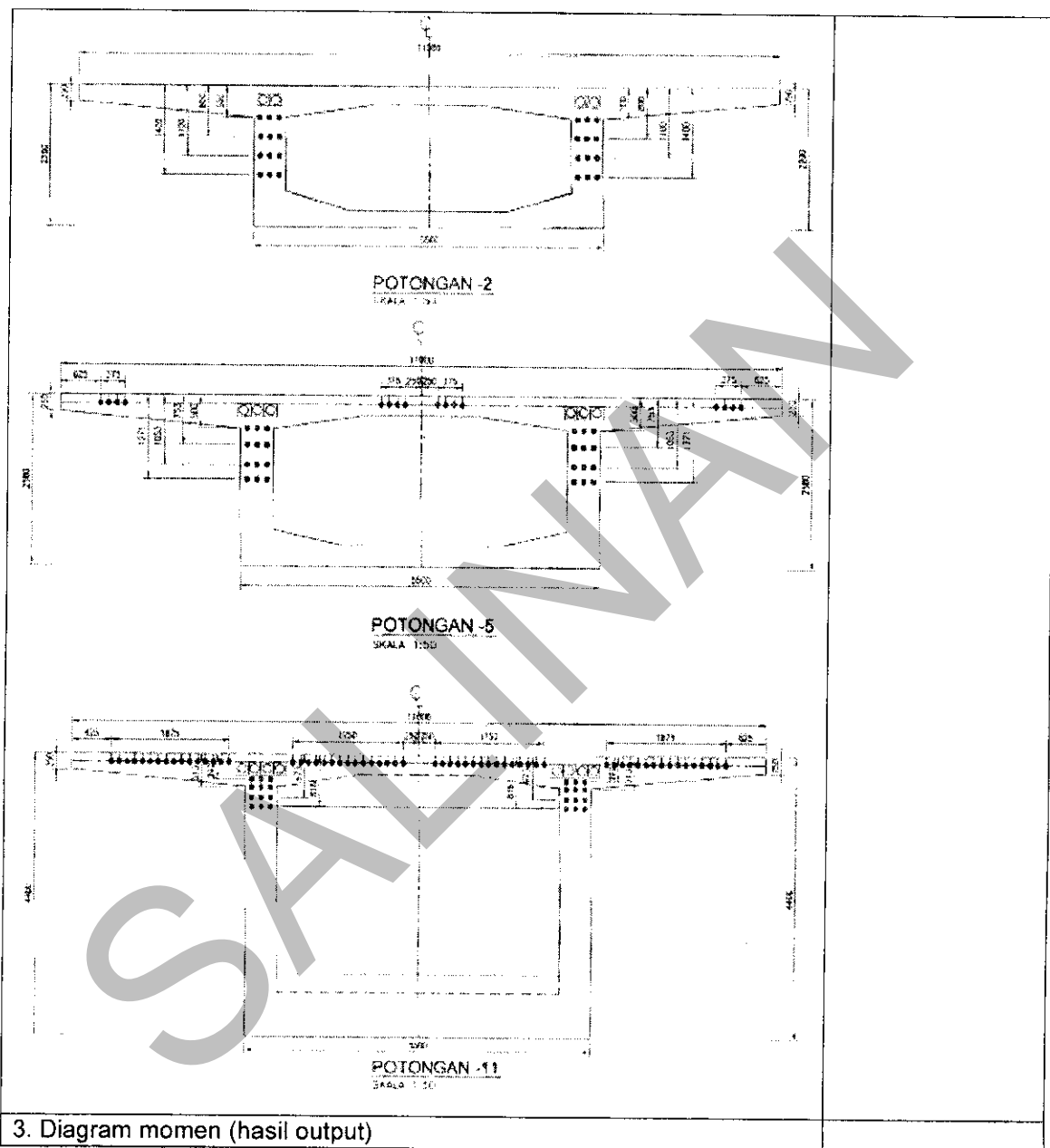


---

---

MANUAL PERENCANAAN STRUKTUR BETON PRATEGANG UNTUK JEMBATAN

---



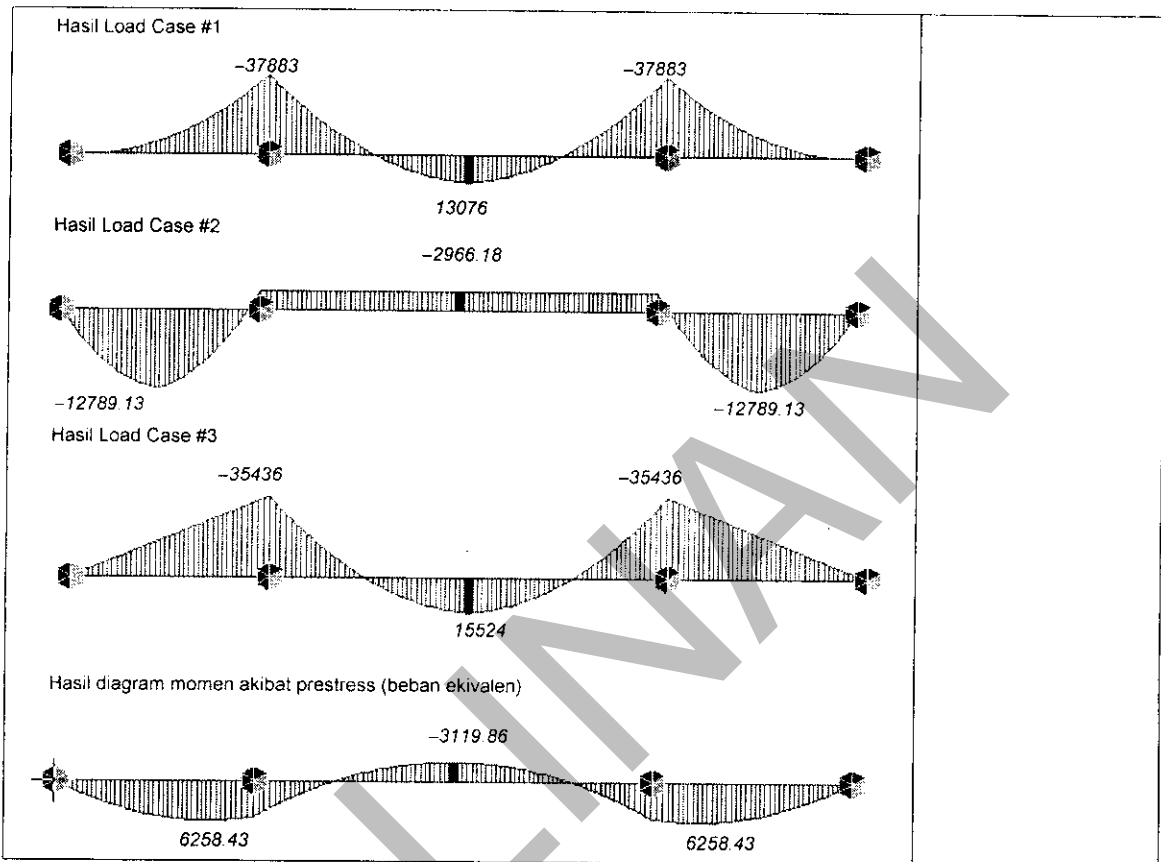
3. Diagram momen (hasil output)

---

---

MANUAL PERENCANAAN STRUKTUR BETON PRATEGANG UNTUK JEMBATAN

---



#### 4. Check Tegangan

Asumsi beban mati dipikul oleh kabel prategang atas pada saat ereksi.  
Dengan demikian kabel tendon hanya memikul beban lalu lintas saja.

##### Tegangan di titik E

###### Tegangan di serat atas

$$M_{ps} := -2960.35 \text{ kN}\cdot\text{m} \quad I := 6.35478E+12 \cdot \text{mm}^4 \quad Y_t := 834.0618 \text{ mm}$$

$$M_{LL} := 15524 \text{ kN}\cdot\text{m} \quad A_c := 14162500 \text{ mm}^2$$

$$\sigma_a = \frac{-F}{A_c} - \frac{M_{ps}}{I} \cdot Y_t - \frac{M_{LL}}{I} \cdot Y_t > \sigma_{tk} := -0.45 \cdot f_c'$$

$$\frac{-F}{A_c} - \frac{M_{ps}}{I} \cdot Y_t - \frac{M_{LL}}{I} \cdot Y_t = -3.54 \cdot \text{MPa} > \sigma_{tk} = -16.65 \cdot \text{MPa}$$

OK !

###### Tegangan di serat bawah

$$M_{ps} := -3256 \text{ kN}\cdot\text{m} \quad I := 6.35478E+12 \cdot \text{mm}^4 \quad Y_b := 2200 \text{ mm} - Y_t$$

$$M_{LL} := 15524 \text{ kN}\cdot\text{m} \quad A_c := 14162500 \text{ mm}^2 \quad Y_b = 1.366 \text{ m}$$

$$\sigma_b = \frac{-F}{A_c} + \frac{M_{ps}}{I} \cdot Y_b + \frac{M_{LL}}{I} \cdot Y_b < \sigma_{tr} := 0.5 \cdot \sqrt{f_c' \cdot (\text{MPa})}$$

$$\frac{-F}{A_c} + \frac{M_{ps}}{I} \cdot Y_b + \frac{M_{LL}}{I} \cdot Y_b = 0.746 \cdot \text{MPa} < \sigma_{tr} = 3.041 \cdot \text{MPa}$$

OK !

Perhitungan pada titik-titik lainnya sepanjang jembatan dapat digambarkan ke dalam grafik sebagai berikut:

**Keterangan:**  
 $M_{ps}$  = Momen akibat beban prategang ekivalen.

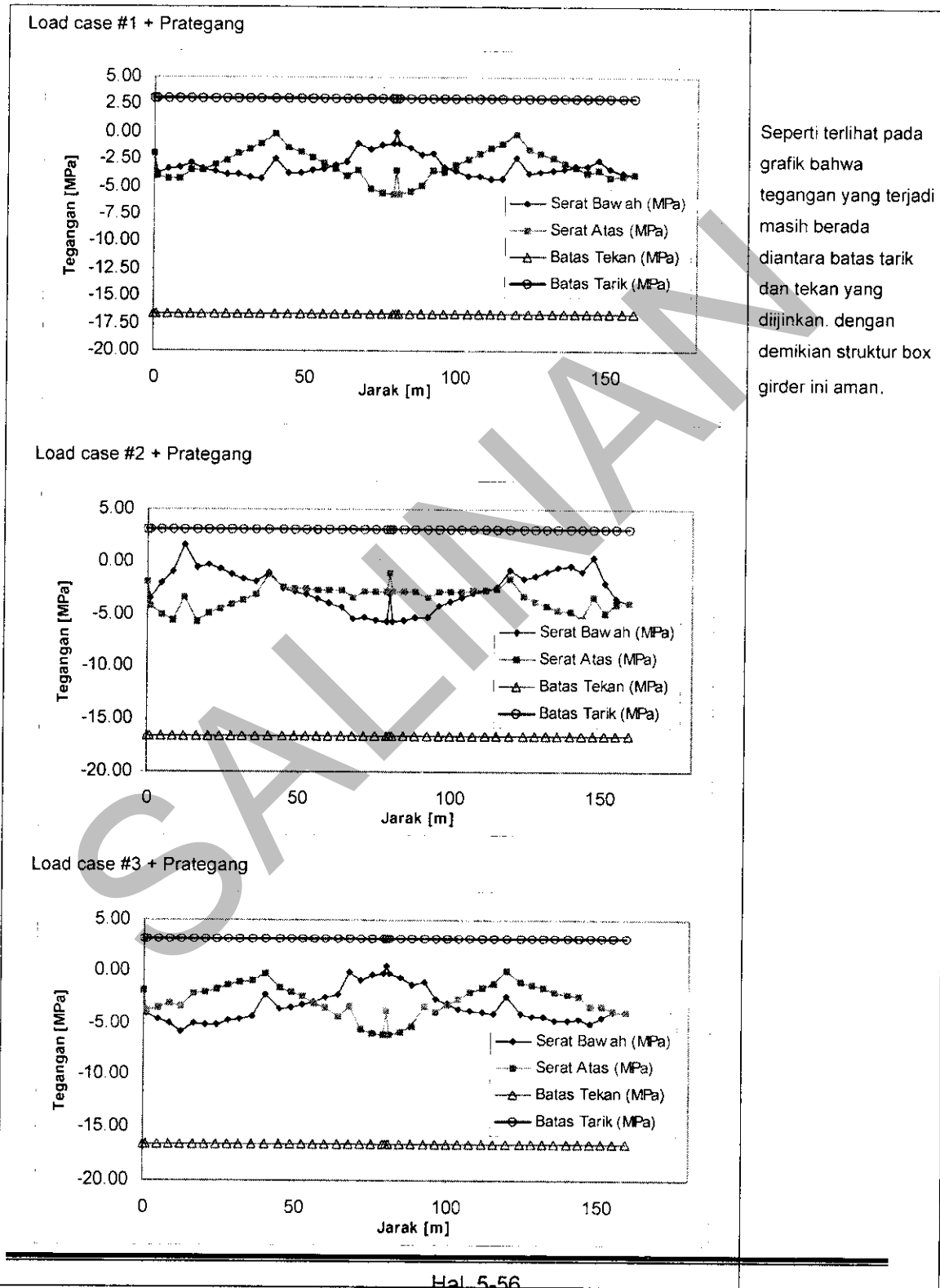
$M_{LL}$  = Momen akibat beban hidup.

---

---

## MANUAL PERENCANAAN STRUKTUR BETON PRATEGANG UNTUK JEMBATAN

---



**5. Check terhadap kondisi batas**

$$\phi := 0.8$$

$$f_{pu} = 1860 \text{ MPa}$$

$$f_{py} := 0.9 f_{pu} \quad f_{py} = 1674 \text{ MPa}$$

$$A_{ps} := nps \cdot A_{ps1} \quad A_{ps} = 0.029 \text{ m}^2$$

Di tengah bentang (titik E)

$$\text{Luas penampang} \quad A_c := 7.15 \text{ m}^2$$

$$\text{Jarak pusat kabel ke serat atas} \quad d_p := 1825 \text{ mm}$$

$$M_u = 2.0 \cdot M_{uLL}$$

$$M_u := 2.0 \cdot 15524 \text{ kN} \cdot \text{m}$$

$$M_u = 31048 \text{ kN} \cdot \text{m}$$

maka : Nilai untuk  $\gamma_p$

0.55 untuk  $f_{py}/f_{pu} \geq 0.8$

$$\frac{f_{py}}{f_{pu}} = 0.9$$

0.4 untuk  $f_{py}/f_{pu} \geq 0.85$

$$\gamma_p := 0.28$$

0.28 untuk  $f_{py}/f_{pu} \geq 0.9$

$$\beta_1 := \begin{cases} 0.85 & \text{if } f_{c'} \leq 30 \text{ MPa} \\ 0.65 & \text{if } f_{c'} \geq 55 \text{ MPa} \\ 0.85 - 0.008 \cdot \left[ \frac{f_{c'}}{(MPa)} - 30 \right] & \text{if } 30 \text{ MPa} < f_{c'} \leq 55 \text{ MPa} \end{cases}$$

$$\beta_1 = 0.794$$

$$\rho_p := \frac{A_{ps}}{A_c}$$

$$\rho_p = 0.403\%$$

$$\rho_c := 0$$

$$\omega_c := 0$$

$$\rho_t := 0$$

$$\omega_t := 0$$

$$d := 0$$

$$f_{ps} := f_{pu} \left[ 1 - \frac{\gamma_p}{\beta_1} \left[ \rho_p \cdot \frac{f_{pu}}{f_{c'}} + \frac{d}{d_p} \cdot (\omega_t - \omega_c) \right] \right]$$

$$f_{ps} = 1727.185 \text{ MPa}$$

**Lebar stress blok pada beton**

asumsi tinggi tegangan tekan saat ultimate, a berada di pelat

$$\text{lebar pelat} \quad bt := 11m$$

$$\text{tebal pelat} \quad hplt := 250mm$$

$$Tps := f_{ps} \cdot A_{ps} \quad Tps = 4.974 \times 10^4 \cdot kN$$

$$a := \frac{Tps}{0.85 \cdot f'_c \cdot bt} \quad a = 143.786 \cdot mm < hplt = 250 \cdot mm$$

( OK, asumsi benar )

**Periksa Tulangan Maksimum**

Berdasarkan ACI / NAWY (untuk balok segi-4)

$$\omega_p := \rho_p \cdot \frac{f_{ps}}{f'_c} \quad \omega_p = 0.188 < 0.36 \cdot \beta_1 = 0.286$$

**OK, under reinforce (jika prestressed only)**

**Periksa Momen Desain Ultimate**

$$M_n := Tps \cdot \left( d_p - \frac{a}{2} \right)$$

$$M_n = 87204.649 \cdot kN \cdot m$$

$$\text{Momen Nominal} \quad M_n = 87204.6487 \cdot kN \cdot m$$

Periksa :

$$\phi \cdot M_n = 69763.719 \cdot kN \cdot m > M_u = 31048 \cdot kN \cdot m$$

periksa apakah  $\phi M_n > M_u$  jika ya --> OK

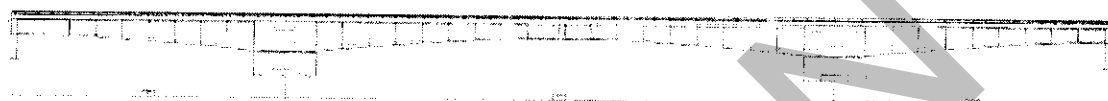
Untuk pemahaman yang komprehensif terhadap perhitungan prategang, berikut ini akan diuraikan contoh aplikatif perhitungan jembatan box girder.

CONTOH 5.6

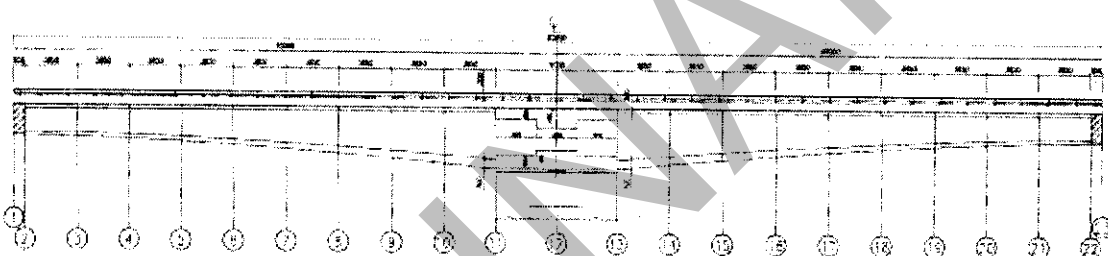
Analisis Lentur Balok Box-Girder

1  
1

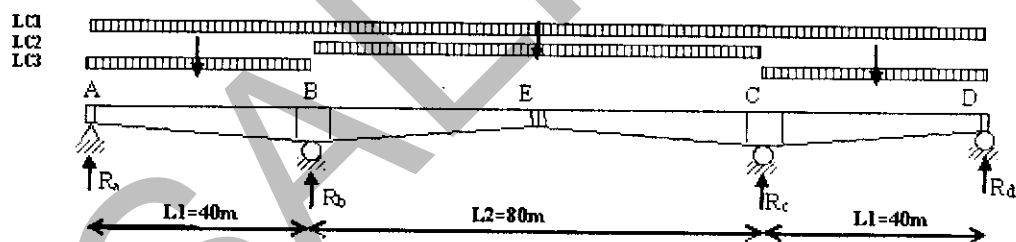
SOAL : Analisis tegangan lentur pada struktur box-girder menerus berikut ini.



Balok Simetris



Kombinasi beban hidup yang diperhitungkan



**Diketahui :**

*Beban*

Asumsi beban lalu lintas,  $w_{LL} = 8 \text{ kN/m}^2$  total 100% selebar jalan 5.5m  
selebihnya 50%

$$w_{LL} := 8 \cdot 5.5 + 4 \cdot 3 \quad \frac{\text{kN}}{\text{m}}$$

$$w_{LL} = 56 \quad \frac{\text{kN}}{\text{m}}$$

Asumsi beban lalu lintas terpusat,  $P_{LL} = 44 \text{ kN/m}$  total 100% selebar jalan 5.5m selebihnya 50%

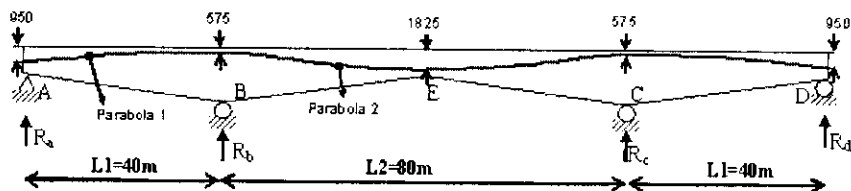
$$P_{LL} := (44 \cdot 5.5 + 22 \cdot 3) \cdot 1.4 \quad P_{LL} = 431.2 \text{ kN}$$

*Material*

Mutu beton	$f'_c := 37 \text{ MPa}$
Mutu strand	$f_{pu} := 1860 \text{ MPa}$ (ASTM A416 270 K)
Diameter strand	12.5 mm ( 0.5 inc )
Luas strand	$A_{ps1} := 100 \text{ mm}^2$
Jumlah strand per tendon	$n_{st} := 12$
Jumlah tendon	$n_t := 2 \cdot 12 \quad n_t = 24$
Jumlah strand total	$n_{ps} := n_{st} \cdot n_t \quad n_{ps} = 288$
Asumsi tegangan efektif	$f_{pe} := 0.4 \cdot f_{pu} \quad f_{pe} = 744 \text{ MPa}$
Gaya prategang	$F := f_{pe} \cdot n_{ps} \cdot A_{ps1} \quad F = 21427.2 \text{ kN}$
Panjang bentang	$L := 40 + 80 + 40$
Eksentrisitas	$e_1 := (950 - 575) \text{ mm} \quad e_2 := 1825 \text{ mm}$ $e_1 = 0.375 \text{ m}$

**1. Menentukan Beban Ekivalen**

Menentukan center gravitasi kabel (cgs) untuk mendapatkan layout kabel gabungan.



Menentukan besarnya beban merata ekivalen.

Struktur ini dapat dimodelkan sebagai sendi di ujung kiri dan rol pada perlakuan lainnya. Pada contoh sebelumnya telah diberikan perhitungan dengan analisis struktur secara manual metoda cross dan 3-momen, namun pada contoh ini akan dihitung dengan software sejenis SAP2000 atau MIDAS.

### **Parabola 1**

Total Perubahan sudut kelengkungan :

$$L' := 40m$$

$$\theta_1 := \frac{2 \cdot e_1}{L'} \quad \theta_1 = 0.019$$

Beban merata ekivalen :

$$wp_1 = \frac{F \cdot \theta_1}{R} = \frac{F \cdot \theta_1}{L'}$$

$$wp_1 := \frac{F \cdot \theta_1}{L'} \quad wp_1 = 10.044 \cdot \frac{kN}{m} \quad [ \downarrow ]$$

### **Parabola 2**

Total Perubahan sudut kelengkungan :

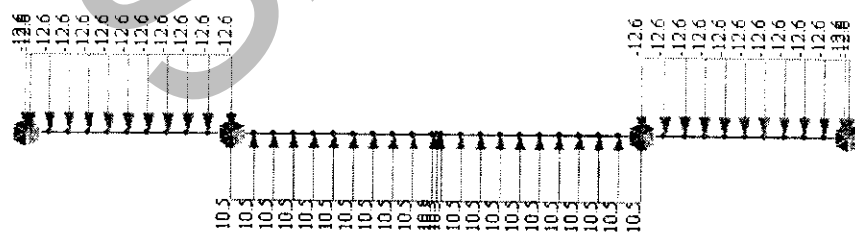
$$L' := 80m$$

$$\theta_2 := \frac{2 \cdot e_2}{L'} \quad \theta_2 = 0.046$$

Beban merata ekivalen :

$$wp_2 = \frac{F \cdot \theta_2}{R} = \frac{F \cdot \theta_2}{L'}$$

$$wp_2 := \frac{F \cdot \theta_2}{L'} \quad wp_2 = 12.22 \cdot \frac{kN}{m} \quad [ \uparrow ]$$



# **LAMPIRAN**

**MANUAL PERENCANAAN STRUKTUR BETON PRATEGANG  
UNTUK JEMBATAN**

## LAMPIRAN A RUMUS DAN DIAGRAM BALOK

### A.1 NOTASI

- E = Modulus Elastisitas, kN/m<sup>2</sup>.
- I = Momen Inersia balok, m<sup>4</sup>.
- L = Panjang total balok antara titik-titik reaksi, m.
- M<sub>max</sub> = Momen maksimum, kN-m.
- M<sub>1</sub> = Momen maksimum pada potongan kiri balok, kN-m.
- M<sub>2</sub> = Momen maksimum di potongan kanan balok, kN-m.
- M<sub>3</sub> = Momen positif maksimum beam dengan kombinasi momen ujung, kN-m.
- M<sub>x</sub> = Momen sejarak x dari ujung balok, kN-m.
- p = Beban terpusat, kN
- P<sub>1</sub> = Beban terpusat yang terdekat dari reaksi kiri, kN.
- P<sub>2</sub> = Beban terpusat yang terdekat dari reaksi kanan, dan besarnya berbeda dengan P<sub>1</sub>, kN.
- R = Reaksi balok ujung untuk kondisi pembebanan simetris, kN.
- R<sub>1</sub> = Reaksi balok ujung kiri, kN.
- R<sub>2</sub> = Reaksi balok ujung kanan atau antara, kN.
- R<sub>3</sub> = Reaksi balok ujung kanan, kN.
- V = Geser vertikal maksimum untuk kondisi pembebanan simetris, kN.
- V<sub>1</sub> = Geser vertikal maksimum pada reaksi kiri, kN.
- V<sub>2</sub> = Geser vertikal maksimum pada reaksi kanan, atau kiri antara, kN.
- V<sub>3</sub> = Geser vertikal maksimum pada reaksi kanan, atau kanan antara, kN.
- V<sub>x</sub> = Geser vertikal sejarak x dari ujung balok, kN.
- W = Beban total di atas balok, kN.
- a = Jarak tertentu di sepanjang balok, m.

---

---

**MANUAL PERENCANAAN STRUKTUR BETON PRATEGANG UNTUK JEMBATAN**

---

- b = Jarak tertentu di sepanjang balok yang mungkin nilainya lebih besar atau lebih kecil dari a, m.
- l = Panjang total balok antara titik-titik reaksi, m.
- w = Beban terdistribusi seragam per unit panjang, kN/m.
- w<sub>1</sub> = Beban terdistribusi seragam per unit panjang dekat reaksi kiri, kN/m.
- w<sub>2</sub> = Beban terdistribusi seragam per unit panjang dekat reaksi kanan dan nilainya berbeda dengan w<sub>1</sub>, kN/m.
- x = Besarnya jarak di sepanjang balok dari ujung kiri balok, m.
- x<sub>1</sub> = Besarnya jarak di sepanjang overhang dari titik reaksi terdekat, m.
- Δ<sub>max</sub> = Defleksi maksimum, m.
- Δ<sub>a</sub> = Defleksi pada beban titik, m.
- Δ<sub>x</sub> = Defleksi pada jarak x dari titik reaksi kiri, m.
- Δ<sub>x1</sub> = Defleksi balok overhang pada jarak tertentu dari titik reaksi terdekat, m.

## A.2 FORMULASI YANG Sering Digunakan.

Formulasi di bawah ini sering diperlukan dalam perancangan struktural untuk memudahkan insinyur atau siapapun yang jarang menggunakan rumusan ini sebagai referensi

### Balok

Tegangan lentur pada serat ekstrim:

$$f = \frac{M \cdot c}{I} = \frac{M}{S}$$

Tegangan lentur pada serat tertentu:

$$f = \frac{M \cdot y}{I}, \text{ dimana } y = \text{jarak dari sumbu neutral penampang.}$$

### Sudut dan defleksi pada titik tertentu

$$EI \frac{d^2y}{dx^2} = M$$

Dimana :

x = jarak absis dari titik perletakan

y = jarak ordinat dari sumbu netral penampang

(Integrasi pertama memberikan rotasi/sudut, integrasi kedua memberikan defleksi. Semua konstanta integrasi harus ditentukan).

### Balok Menerus (teorema tiga momen)

Beban Merata:

$$M_a \frac{L_1}{I_1} + 2M_b \left( \frac{L_1}{I_1} + \frac{L_2}{I_2} \right) + M_c \frac{L_2}{I_2} = -\frac{1}{4} \left( \frac{w_1(L_1)^3}{I_1} + \frac{w_2(L_2)^3}{I_2} \right)$$

Beban Terpusat:

$$M_a \frac{L_1}{I_1} + 2M_b \left( \frac{L_1}{I_1} + \frac{L_2}{I_2} \right) + M_c \frac{L_2}{I_2} = -\frac{P_1 a_1 b_1}{I_1} \left( 1 + \frac{a_1}{L_1} \right) - \frac{P_2 a_2 b_2}{I_2} \left( 1 + \frac{a_2}{L_2} \right)$$

Dengan menggunakan dua bentang yang bersebelahan dalam struktur menerus:

$M_a, M_b, M_c$  = Momen pada perletakan kiri, tengah dan kanan secara berurutan pada sepasang bentang yang bersebelahan.

$L_1, L_2$  = Panjang bentang pada bentang kiri dan kanan secara berurutan.

$I_1, I_2$  = Momen inersia pada bentang kiri dan kanan secara berurutan.

$w_1, w_2$  = Beban merata pada bentang kiri dan kanan secara berurutan.

$P_1, P_2$  = Beban terpusat pada bentang kiri dan kanan secara berurutan.

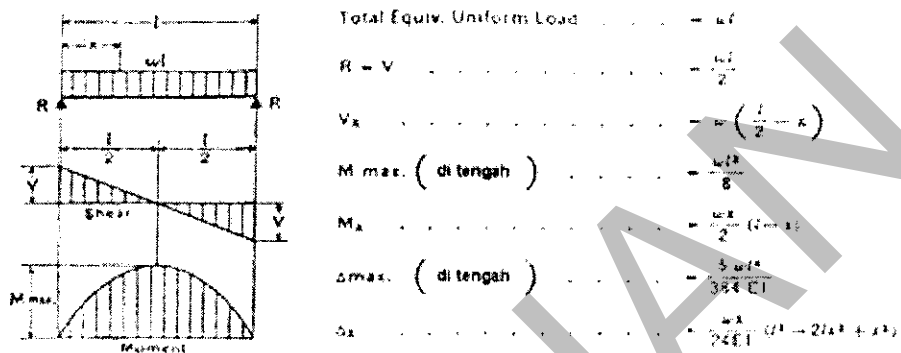
$a_1, a_2$  = Jarak beban terpusat dari kiri perletakan pada bentang kiri dan kanan secara berurutan.

$b_1, b_2$  = Jarak beban terpusat dari kanan perletakan pada bentang kiri dan kanan secara berurutan.

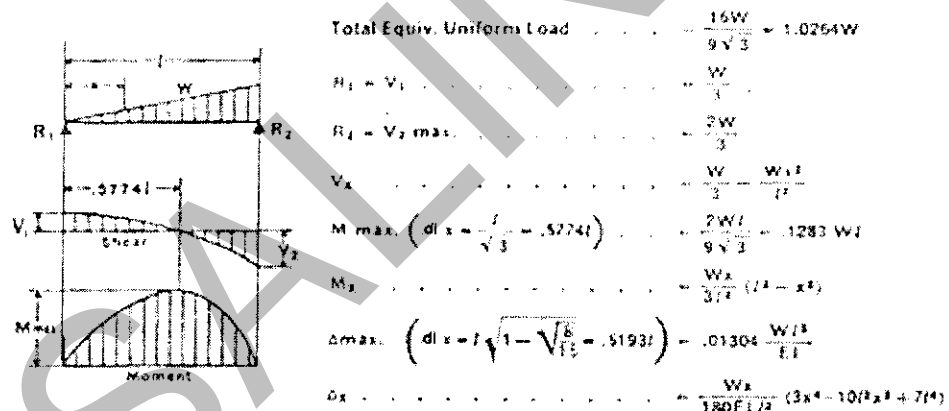
Rumusan tiga momen ini digunakan untuk balok dengan momen inersia konstan pada setiap span tetapi nilainya boleh berbeda masing-masing span, menerus di atas tiga perletakan atau lebih. Dengan menuliskan persamaan diatas untuk sepasang bentang dan menentukan nilai momen-momen ujung (biasanya nol), maka momen lainnya dapat ditentukan dengan cara ini.

**A.3 FORMULASI DAN DIAGRAM BALOK  
RUMUS DAN DIAGRAM BALOK  
Untuk berbagai kondisi pembebanan statik**

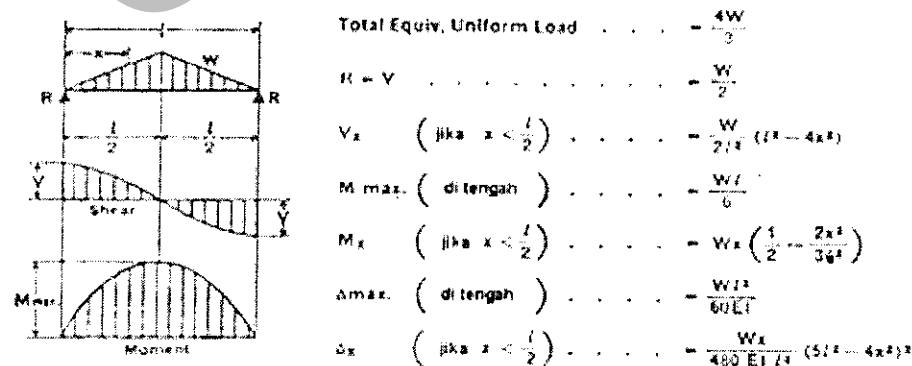
**1. SIMPLE BEAM—UNIFORMLY DISTRIBUTED LOAD**



**2. SIMPLE BEAM—LOAD INCREASING UNIFORMLY TO ONE END**

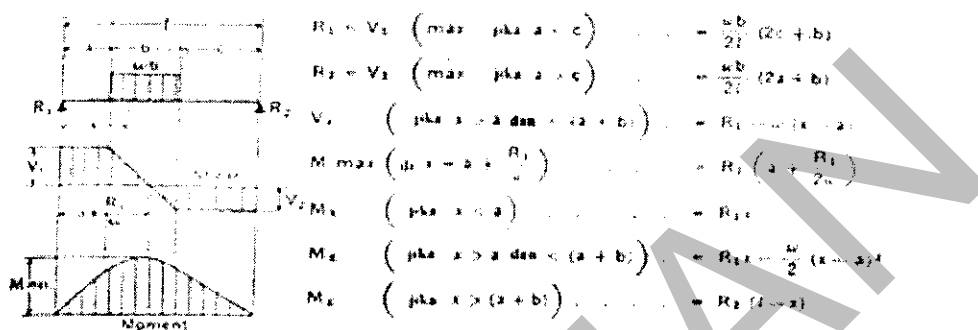


**3. SIMPLE BEAM—LOAD INCREASING UNIFORMLY TO CENTER**

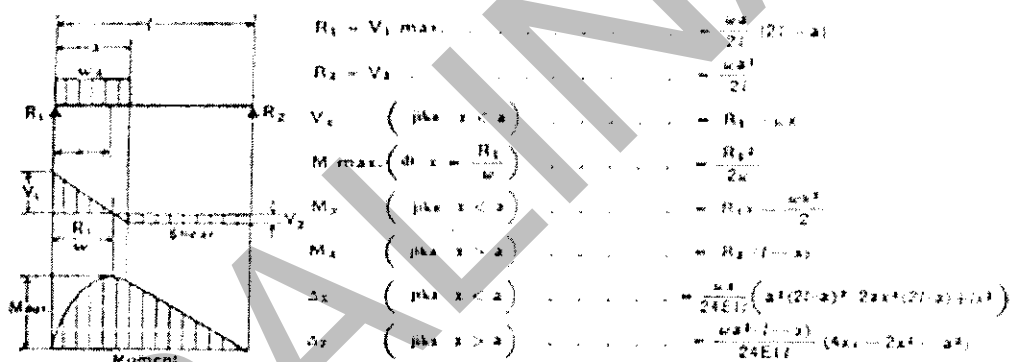


## RUMUS DAN DIAGRAM BALOK Untuk berbagai kondisi pembebanan statik

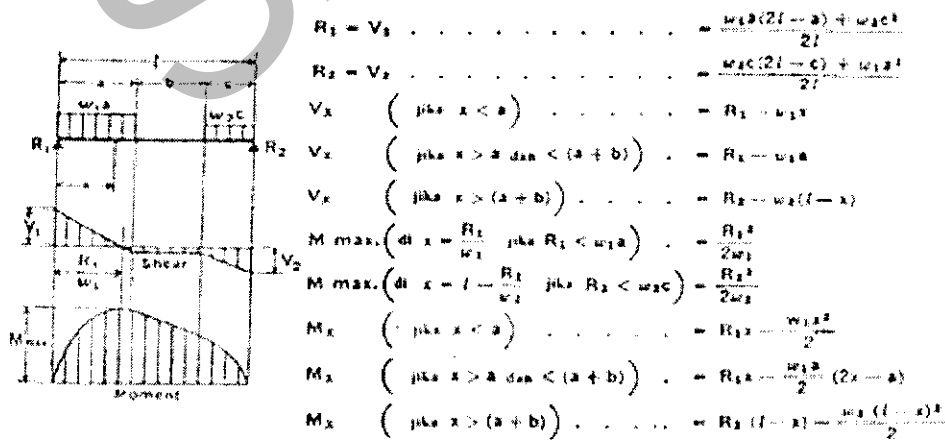
### 4. SIMPLE BEAM—UNIFORM LOAD PARTIALLY DISTRIBUTED



### 5. SIMPLE BEAM—UNIFORM LOAD PARTIALLY DISTRIBUTED AT ONE END

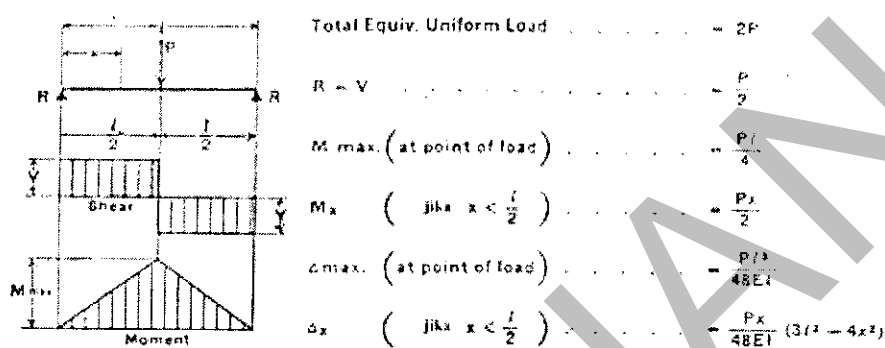


### 6. SIMPLE BEAM—UNIFORM LOAD PARTIALLY DISTRIBUTED AT EACH END

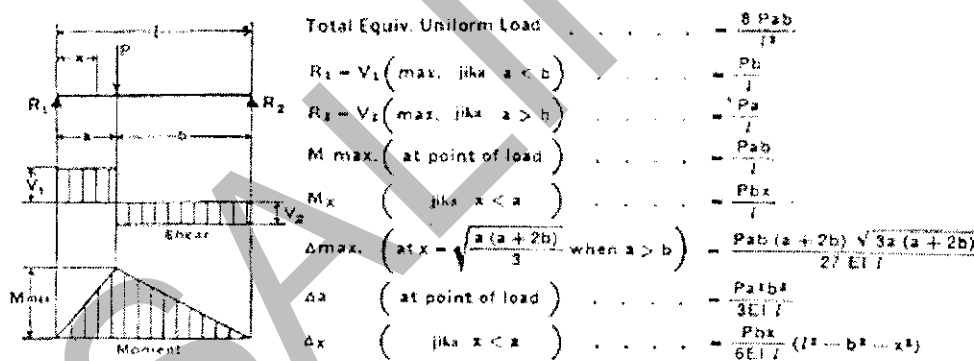


## **RUMUS DAN DIAGRAM BALOK Untuk berbagai kondisi pembebanan statik**

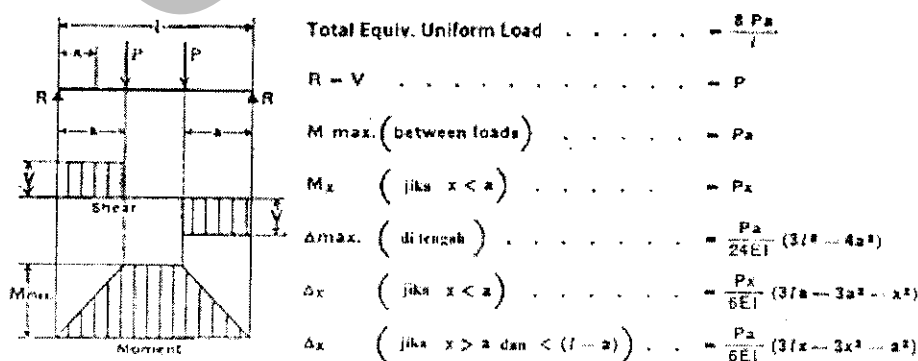
### 7. SIMPLE BEAM—CONCENTRATED LOAD AT CENTER



### 8. SIMPLE BEAM—CONCENTRATED LOAD AT ANY POINT

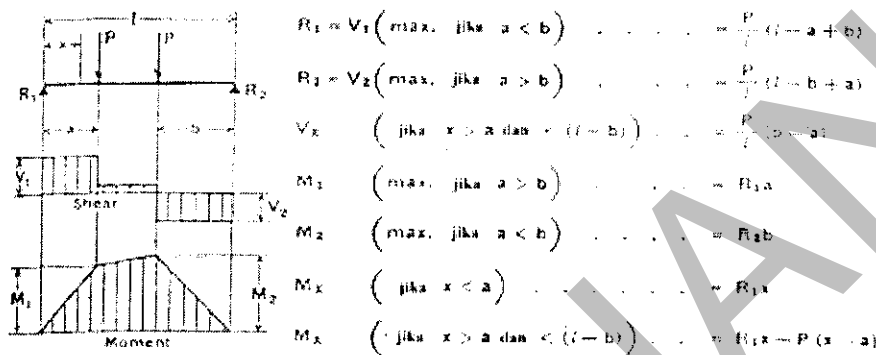


### 9. SIMPLE BEAM—TWO EQUAL CONCENTRATED LOADS SYMMETRICALLY PLACED

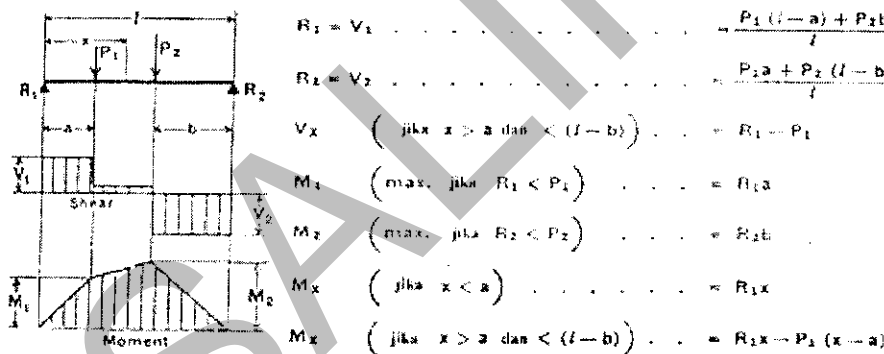


## **RUMUS DAN DIAGRAM BALOK** **Untuk berbagai kondisi pembebanan statik**

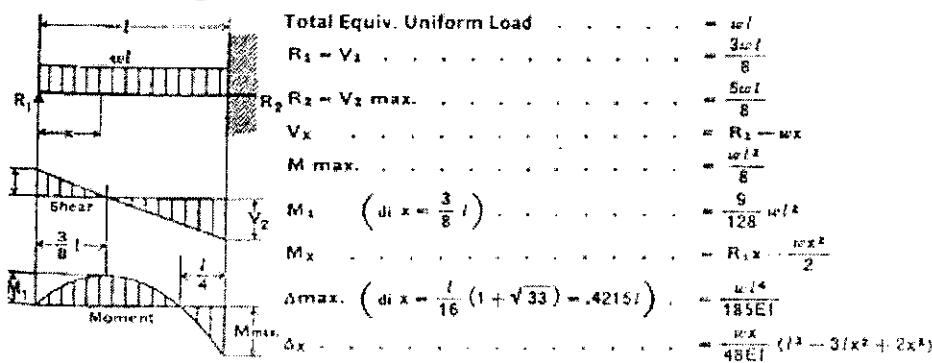
### 10. SIMPLE BEAM—TWO EQUAL CONCENTRATED LOADS UNSYMMETRICALLY PLACED



### 11. SIMPLE BEAM—TWO UNEQUAL CONCENTRATED LOADS UNSYMMETRICALLY PLACED

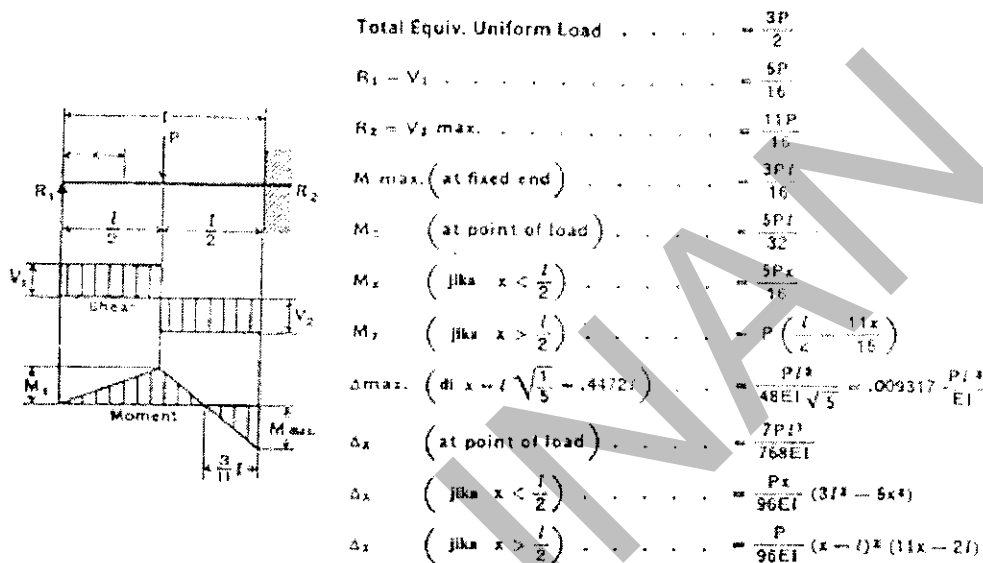


### 12. BEAM FIXED AT ONE END, SUPPORTED AT OTHER—UNIFORMLY DISTRIBUTED LOAD

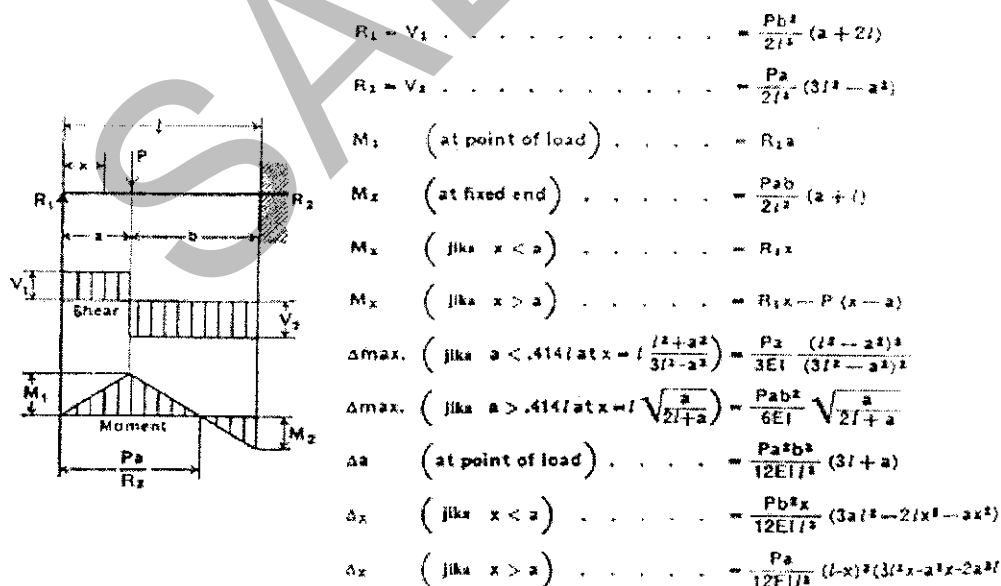


## **RUMUS DAN DIAGRAM BALOK Untuk berbagai kondisi pembebanan statik**

### 13. BEAM FIXED AT ONE END, SUPPORTED AT OTHER— CONCENTRATED LOAD AT CENTER

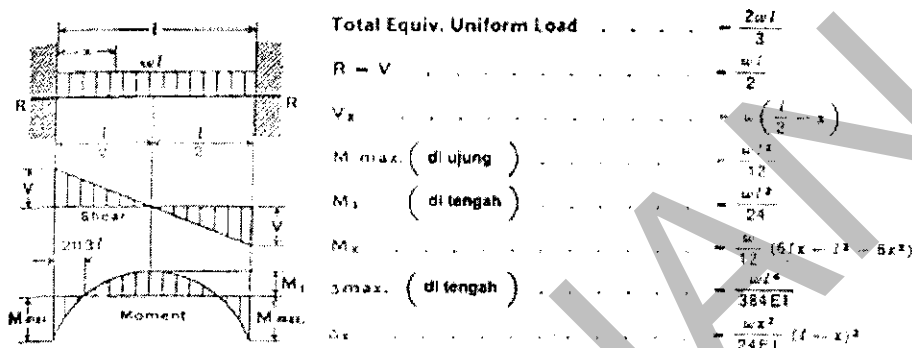


### 14. BEAM FIXED AT ONE END, SUPPORTED AT OTHER— CONCENTRATED LOAD AT ANY POINT



**RUMUS DAN DIAGRAM BALOK**  
**Untuk berbagai kondisi pembebanan statik**

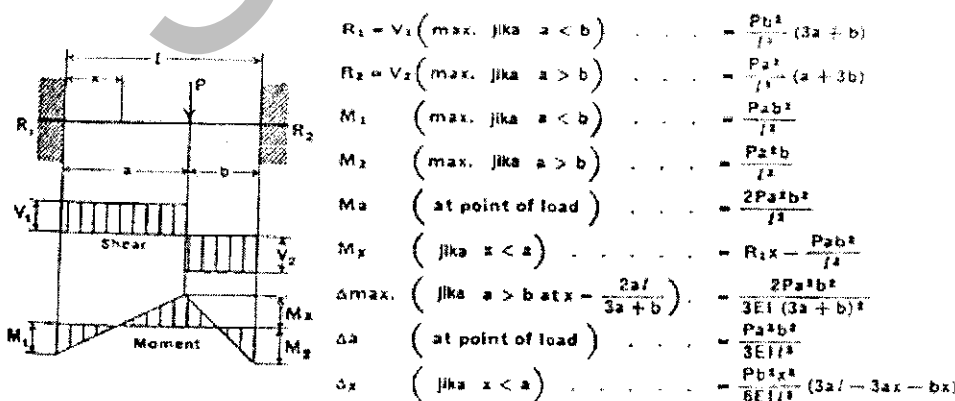
**15. BEAM FIXED AT BOTH ENDS—UNIFORMLY DISTRIBUTED LOADS**



**16. BEAM FIXED AT BOTH ENDS—CONCENTRATED LOAD AT CENTER**

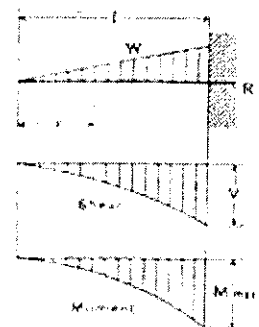


**17. BEAM FIXED AT BOTH ENDS—CONCENTRATED LOAD AT ANY POINT**



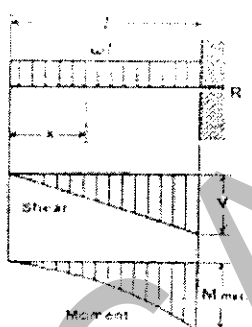
## **RUMUS DAN DIAGRAM BALOK** **Untuk berbagai kondisi pembebanan statik**

### 18. CANTILEVER BEAM—LOAD INCREASING UNIFORMLY TO FIXED END



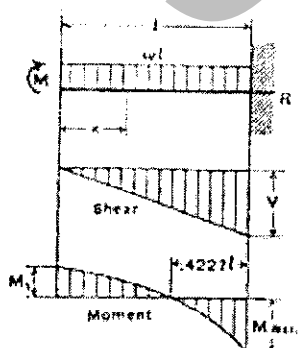
$$\begin{aligned}
 &\text{Total Equiv. Uniform Load} = \frac{8}{3}W \\
 &R = V = \frac{8}{3}W \\
 &V_x = \frac{8}{3}Wx \\
 &M_{\max} (\text{at fixed end}) = \frac{Wl^2}{3} \\
 &M_x = \frac{Wx^3}{3l} \\
 &\Delta_{\max} (\text{at free end}) = \frac{Wl^4}{15EI} \\
 &\Delta_x = \frac{W}{60EI} (x^4 - 5/4x^2 + 4/1)
 \end{aligned}$$

### 19. CANTILEVER BEAM—UNIFORMLY DISTRIBUTED LOAD



$$\begin{aligned}
 &\text{Total Equiv. Uniform Load} = 4wl \\
 &R = V = 4wl \\
 &V_x = 4wx \\
 &M_{\max} (\text{at fixed end}) = \frac{w l^2}{2} \\
 &M_x = \frac{w x^3}{2} \\
 &\Delta_{\max} (\text{at free end}) = \frac{w l^4}{8EI} \\
 &\Delta_x = \frac{w}{24EI} (x^4 - 4/3x^2 + 3/4)
 \end{aligned}$$

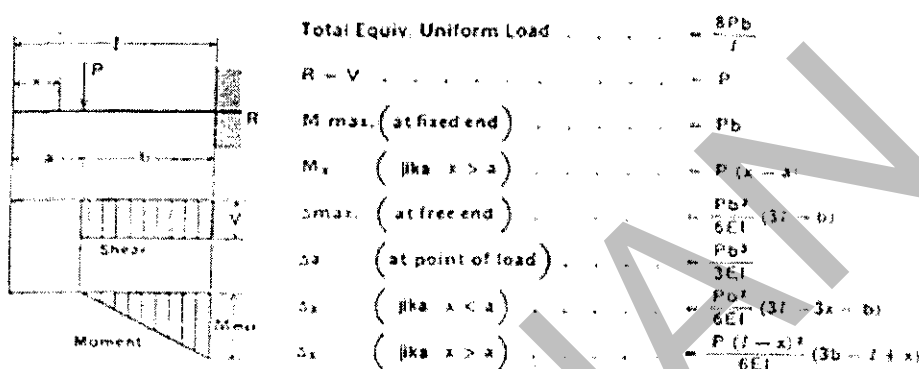
### 20. BEAM FIXED AT ONE END, FREE TO DEFLECT VERTICALLY BUT NOT ROTATE AT OTHER—UNIFORMLY DISTRIBUTED LOAD



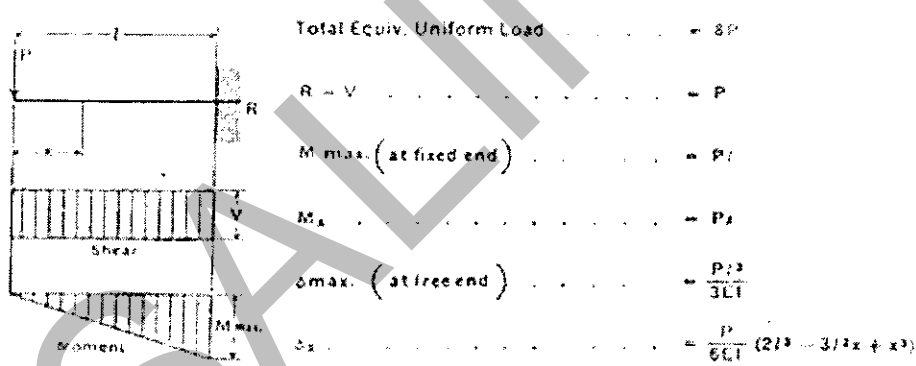
$$\begin{aligned}
 &\text{Total Equiv. Uniform Load} = \frac{8}{3}wl \\
 &R = V = \frac{8}{3}wl \\
 &V_x = \frac{8}{3}wx \\
 &M_{\max} (\text{at fixed end}) = \frac{wl^2}{3} \\
 &M_x = \frac{wl^2}{6} \\
 &\Delta_{\max} (\text{at deflected end}) = \frac{wl^4}{24} (l^2 - 3x^2) \\
 &\Delta_x = \frac{wl^4}{24EI} \\
 &\Delta_x = \frac{w(l^2 - x^2)x}{24EI}
 \end{aligned}$$

## RUMUS DAN DIAGRAM BALOK Untuk berbagai kondisi pembebanan statik

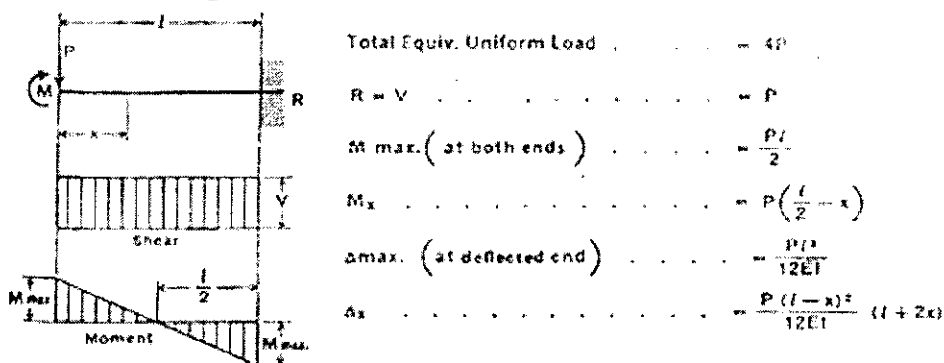
### 21. CANTILEVER BEAM—CONCENTRATED LOAD AT ANY POINT



### 22. CANTILEVER BEAM—CONCENTRATED LOAD AT FREE END

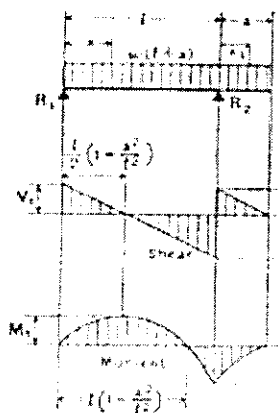


### 23. BEAM FIXED AT ONE END, FREE TO DEFLECT VERTICALLY BUT NOT ROTATE AT OTHER—CONCENTRATED LOAD AT DEFLECTED END



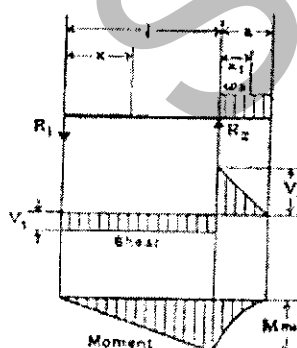
## **RUMUS DAN DIAGRAM BALOK Untuk berbagai kondisi pemberahan statik**

### 24. BEAM OVERHANGING ONE SUPPORT—UNIFORMLY DISTRIBUTED LOAD



$$\begin{aligned}
 R_1 &= V_1 = w \left( \frac{L}{2} + x_1 \right) = \frac{w}{2} \left( L + 2x_1 \right) \\
 R_2 &= V_2 + V_3 = w \left( \frac{L}{2} - x_1 \right) + w \left( \frac{L}{2} + x_1 \right) = wL \\
 V_2 &= w \left( \frac{L}{2} - x_1 \right) = \frac{w}{2} \left( L - 2x_1 \right) \\
 V_3 &= w \left( \frac{L}{2} + x_1 \right) = \frac{w}{2} \left( L + 2x_1 \right) \\
 V_x & \quad (\text{between supports}) \quad = R_1 - w x_1 \\
 V_{x_1} & \quad (\text{for overhang}) \quad = w \left( \frac{L}{2} + x_1 \right) \\
 M_1 & \quad (\text{at } x = \frac{L}{2} \left[ 1 - \frac{x_1}{L} \right]) \quad = \frac{w}{8} \left( L + x_1 \right) x \left( L - x_1 \right) \\
 M_2 & \quad (\text{at } R_2) \quad = \frac{w x_1^2}{2} \\
 M_x & \quad (\text{between supports}) \quad = \frac{w}{24} \left( L^2 - 2x_1^2 - 4x_1 \right) \\
 M_{x_1} & \quad (\text{for overhang}) \quad = \frac{w}{2} \left( x_1 - x_1 \right)^2 \\
 \Delta_x & \quad (\text{between supports}) \quad = \frac{w x_1^3}{24EI} (4x_1^2/3 + 11x_1^2/3 + 2x_1^2/3) \\
 \Delta_{x_1} & \quad (\text{for overhang}) \quad = \frac{w x_1^3}{24EI} (4x_1^2/3 + 6x_1^2x_1 - 4x_1^2(x_1 + x_1))
 \end{aligned}$$

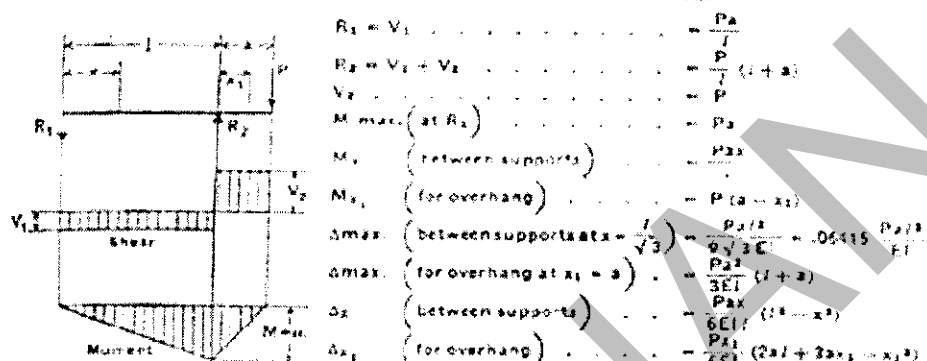
### 25. BEAM OVERHANGING ONE SUPPORT—UNIFORMLY DISTRIBUTED LOAD ON OVERHANG



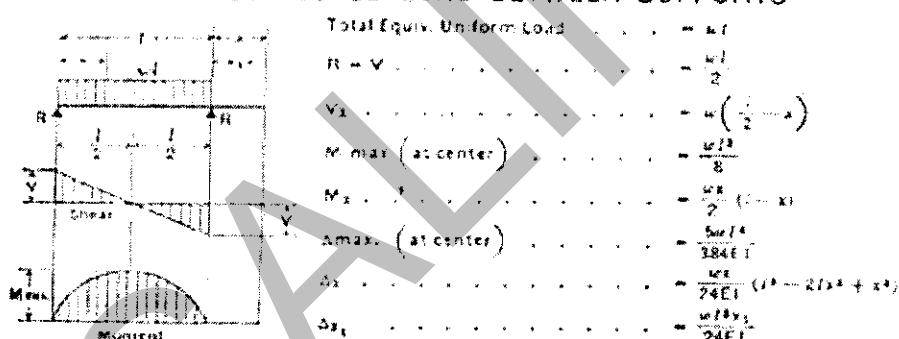
$$\begin{aligned}
 R_1 &= V_1 = w \left( \frac{L}{2} + x_1 \right) = \frac{w}{2} \left( L + 2x_1 \right) \\
 R_2 &= V_2 + V_3 = w \left( \frac{L}{2} - x_1 \right) + w \left( \frac{L}{2} + x_1 \right) = wL \\
 V_2 &= w \left( \frac{L}{2} - x_1 \right) = \frac{w}{2} \left( L - 2x_1 \right) \\
 V_{x_1} & \quad (\text{for overhang}) \quad = w \left( x_1 - x_1 \right) \\
 M_{\max} & \quad (\text{at } R_2) \quad = \frac{w x_1^2}{2} \\
 M_x & \quad (\text{between supports}) \quad = \frac{w x_1^3}{24} \\
 M_{x_1} & \quad (\text{for overhang}) \quad = \frac{w}{2} \left( x_1 - x_1 \right)^2 \\
 \Delta_{\max} & \quad (\text{between supports at } x = \frac{L}{3}) \quad = \frac{w x_1^{5/2}}{18 \sqrt{3} EI} = 0.03208 \frac{w x_1^{5/2}}{EI} \\
 \Delta_{\max} & \quad (\text{for overhang at } x_1 = a) \quad = \frac{w a^3}{24 EI} (4/3 + 3a) \\
 \Delta_x & \quad (\text{between supports}) \quad = \frac{w x_1^3}{12 EI} (L^2 - x_1^2) \\
 \Delta_{x_1} & \quad (\text{for overhang}) \quad = \frac{w x_1^3}{24 EI} (4a^2/3 + 6a^2x_1 - 4ax_1^2 + x_1^2)
 \end{aligned}$$

## **RUMUS DAN DIAGRAM BALOK Untuk berbagai kondisi pembebanan statik**

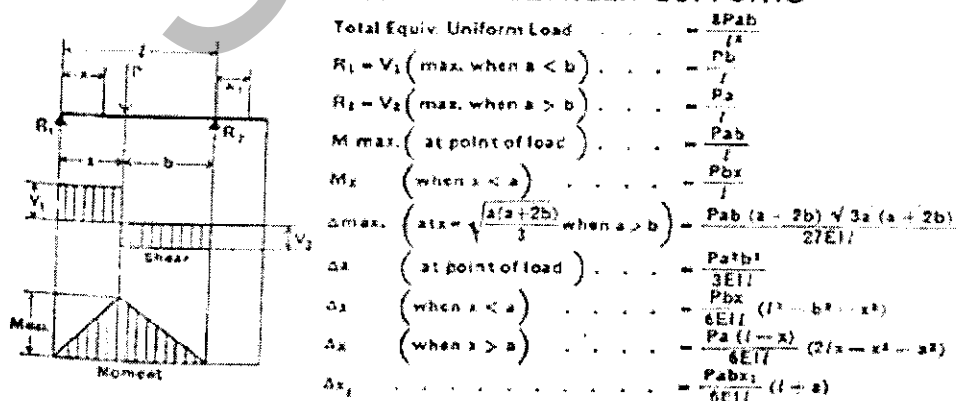
### **26. BEAM OVERHANGING ONE SUPPORT—CONCENTRATED LOAD AT END OF OVERHANG**



### **27. BEAM OVERHANGING ONE SUPPORT—UNIFORMLY DISTRIBUTED LOAD BETWEEN SUPPORTS**

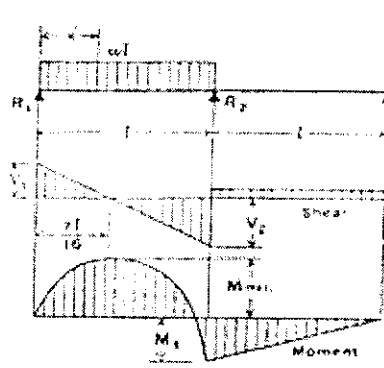


### **28. BEAM OVERHANGING ONE SUPPORT—CONCENTRATED LOAD AT ANY POINT BETWEEN SUPPORTS**



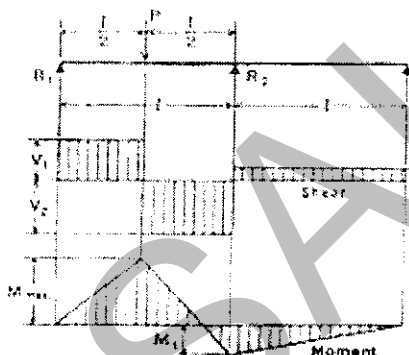
## **RUMUS DAN DIAGRAM BALOK Untuk berbagai kondisi pemberatan statik**

### 29. CONTINUOUS BEAM—TWO EQUAL SPANS—UNIFORM LOAD ON ONE SPAN



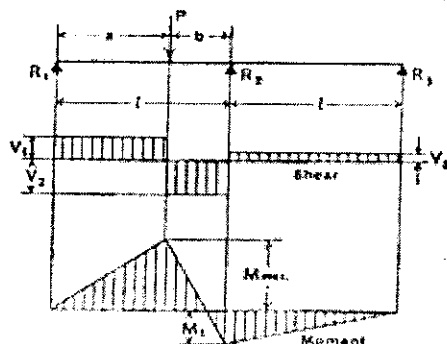
Total Equiv. Uniform Load	$\frac{49}{64} w l$
$R_1 = V_1$	$= \frac{7}{16} w l$
$R_2 = V_2 + V_3$	$= \frac{5}{8} w l$
$R_3 = V_3$	$= \frac{1}{16} w l$
$V_1$	$= \frac{9}{16} w l$
$M_{\text{max.}} (\text{at } x = \frac{7}{16} l)$	$= \frac{49}{512} w l^2$
$M_1 (\text{at support } R_1)$	$= \frac{7}{16} w l^2/4$
$M_x (\text{when } x \leq l)$	$= \frac{4x^2}{16} (7l - 8x)$
$\Delta \text{Max. (0.472 l from } R_1)$	$= 0.0092 w^4/EI$

### 30. CONTINUOUS BEAM—TWO EQUAL SPANS—CONCENTRATED LOAD AT CENTER OF ONE SPAN



Total Equiv. Uniform Load	$\frac{13}{8} P$
$R_1 = V_1$	$= \frac{13}{32} P$
$R_2 = V_2 + V_3$	$= \frac{11}{16} P$
$R_3 = V_3$	$= -\frac{3}{32} P$
$V_1$	$= \frac{19}{32} P$
$M_{\text{max.}} (\text{at point of load})$	$= \frac{13}{64} P l^2$
$M_1 (\text{at support } R_1)$	$= \frac{3}{32} P l^2$
$\Delta \text{Max. (0.480 l from } R_1)$	$= 0.015 P^2/EI$

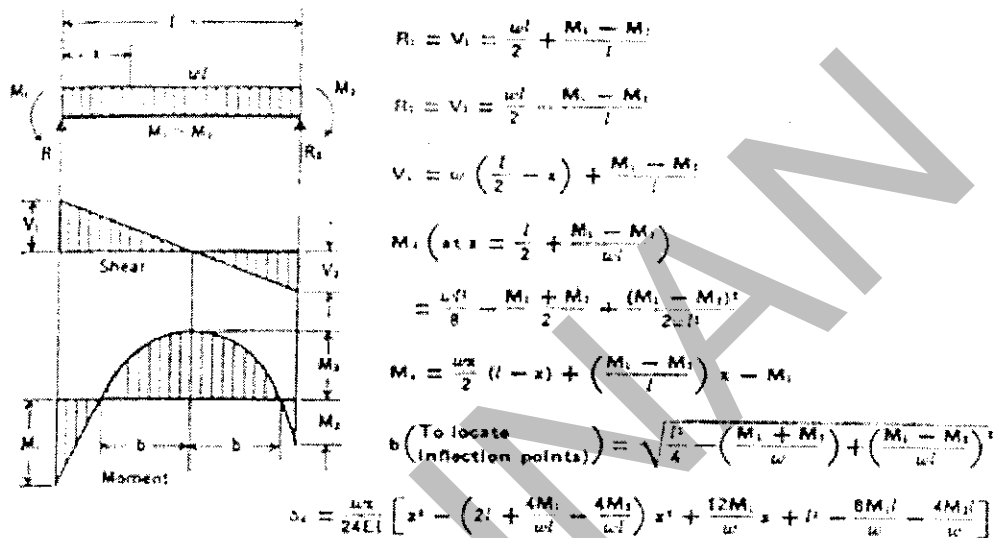
### 31. CONTINUOUS BEAM—TWO EQUAL SPANS—CONCENTRATED LOAD AT ANY POINT



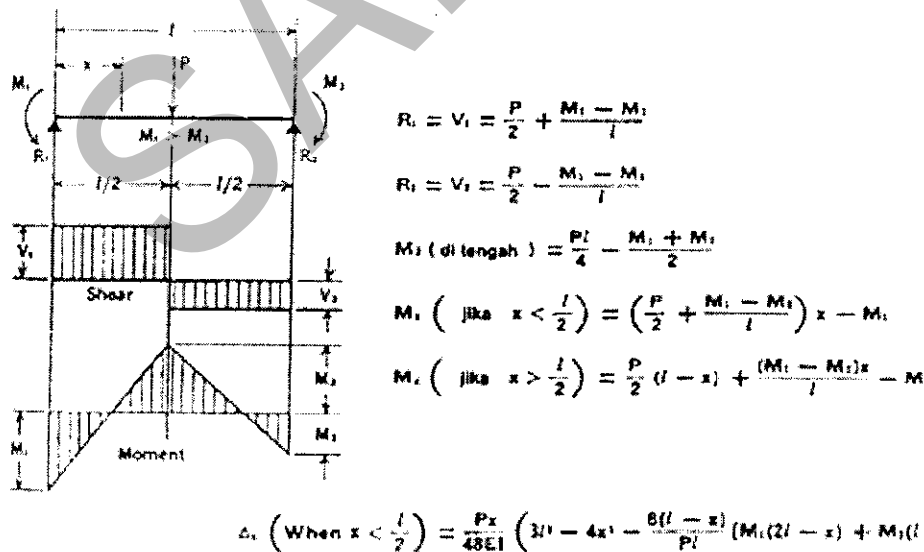
$R_1 = V_1$	$= \frac{Pb}{4l^2} (4l^2 - a(l+a))$
$R_2 = V_2 + V_3$	$= \frac{Pa}{2l^2} (2l^2 + b(l+a))$
$R_3 = V_3$	$= -\frac{Pab}{4l^2} (l+a)$
$V_1$	$= \frac{Pab}{4l^2} (4l^2 - b(l+a))$
$M_{\text{max.}} (\text{at point of load})$	$= \frac{Pab}{4l^2} (4l^2 - a(l+a))$
$M_1 (\text{at support } R_1)$	$= \frac{Pab}{4l^2} (l+a)$

## RUMUS DAN DIAGRAM BALOK Untuk berbagai kondisi pembebanan statik

### 32. BEAM—UNIFORMLY DISTRIBUTED LOAD AND VARIABLE END MOMENTS

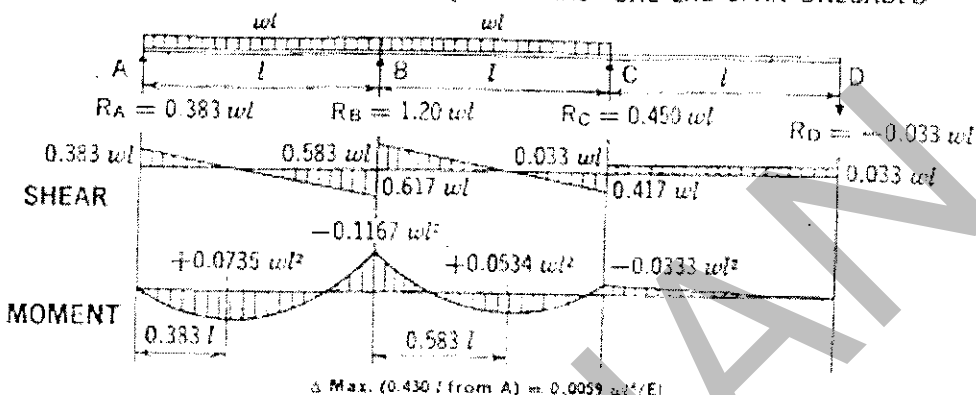


### 33. BEAM—CONCENTRATED LOAD AT CENTER AND VARIABLE END MOMENTS

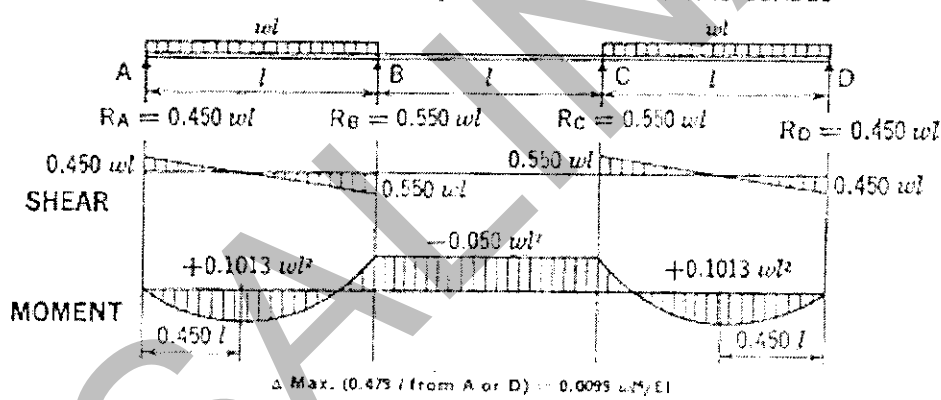


## **RUMUS DAN DIAGRAM BALOK Untuk berbagai kondisi pembebanan statik**

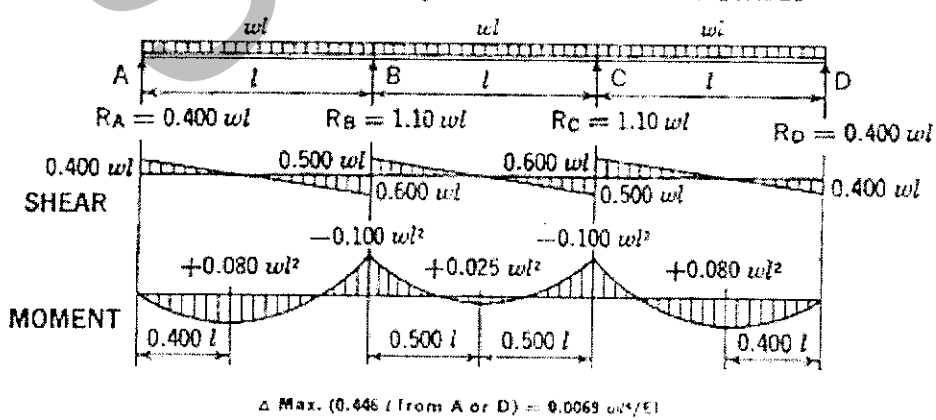
**34. CONTINUOUS BEAM—THREE EQUAL SPANS—ONE END SPAN UNLOADED**



**35. CONTINUOUS BEAM—THREE EQUAL SPANS—END SPANS LOADED**

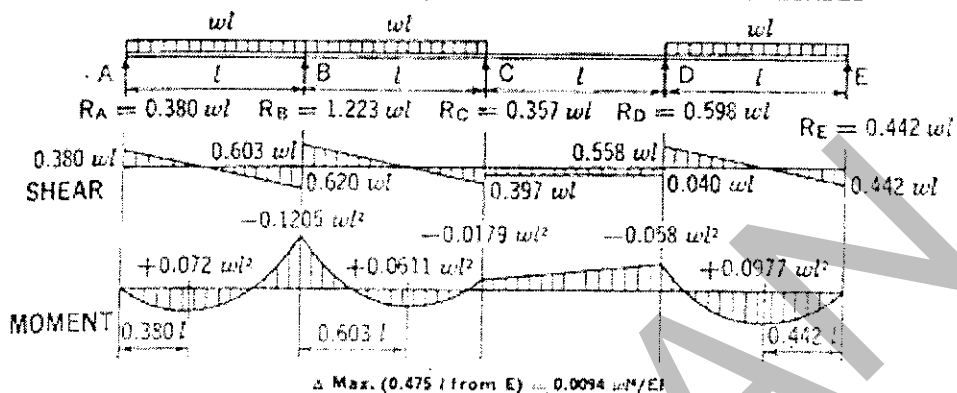


**36. CONTINUOUS BEAM—THREE EQUAL SPANS—ALL SPANS LOADED**

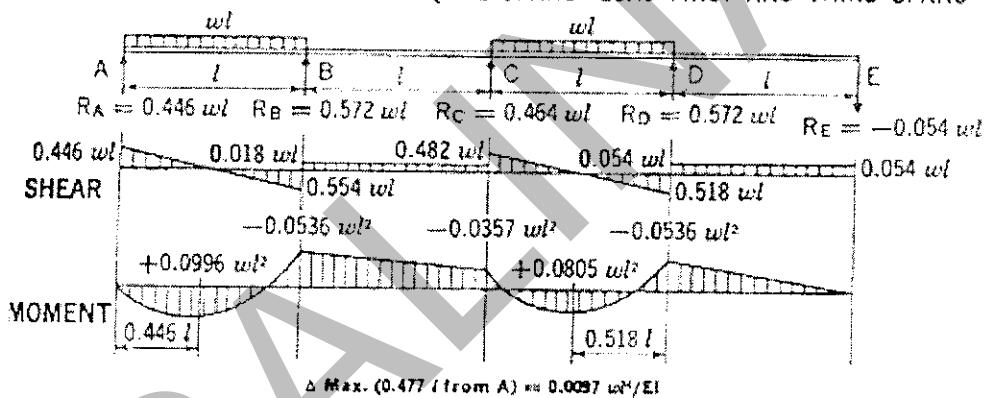


## RUMUS DAN DIAGRAM BALOK Untuk berbagai kondisi pembebanan statik

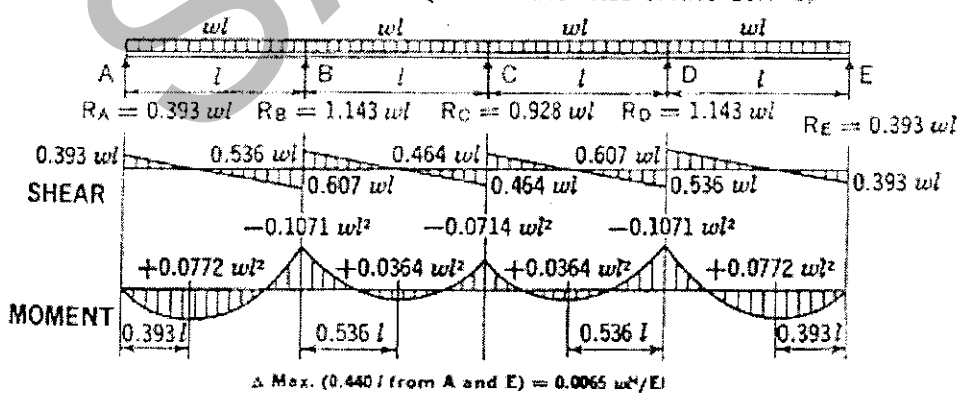
### 37. CONTINUOUS BEAM—FOUR EQUAL SPANS—THIRD SPAN UNLOADED



### 38. CONTINUOUS BEAM—FOUR EQUAL SPANS—LOAD FIRST AND THIRD SPANS



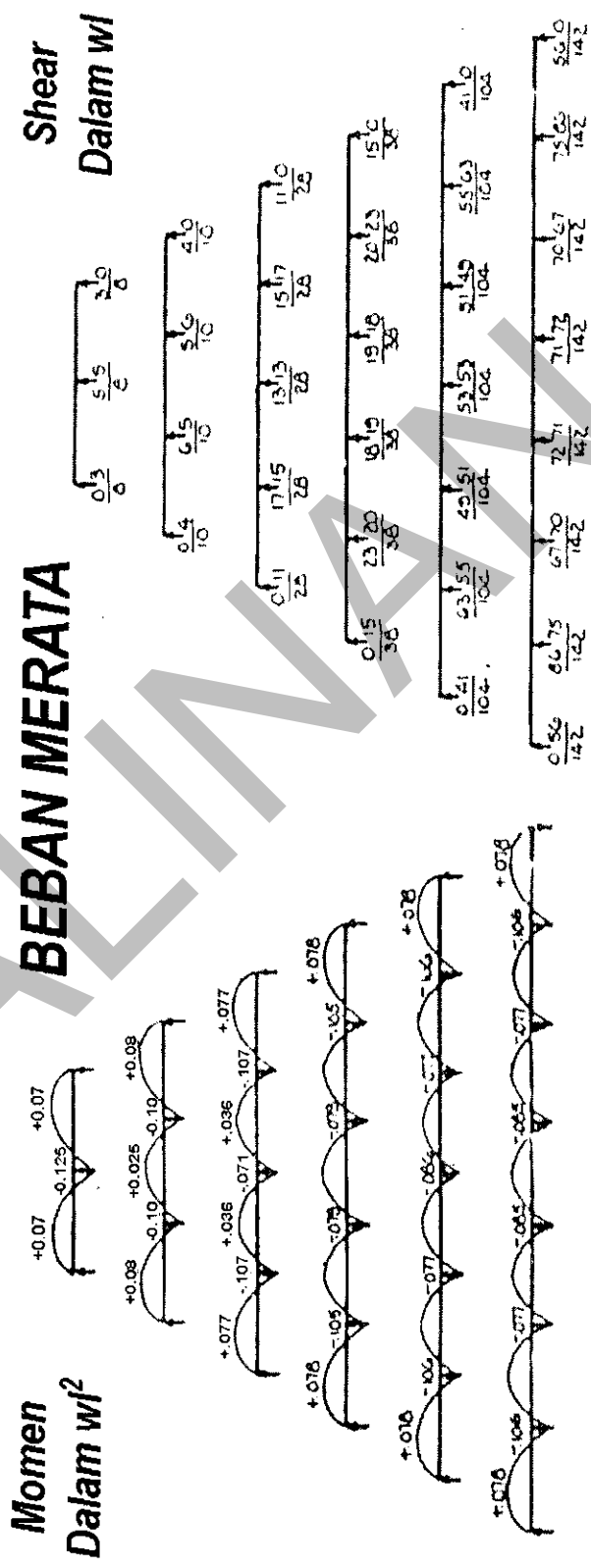
### 39. CONTINUOUS BEAM—FOUR EQUAL SPANS—ALL SPANS LOADED



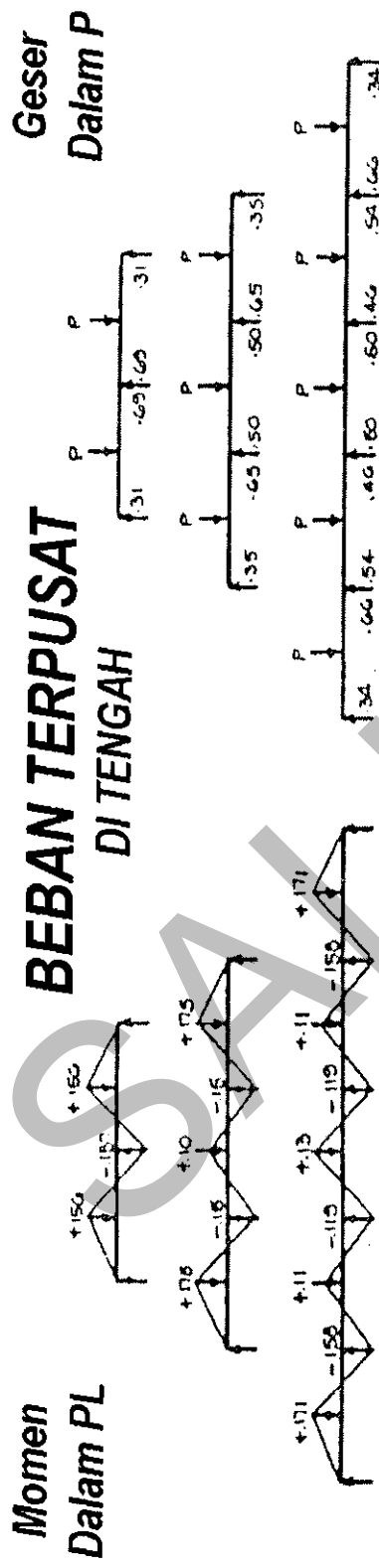
LAMPIRAN B BALOK MENERUS

Formulasi dan diagram di bawah ini dapat digunakan untuk balok dengan bentang dan beban seragam.

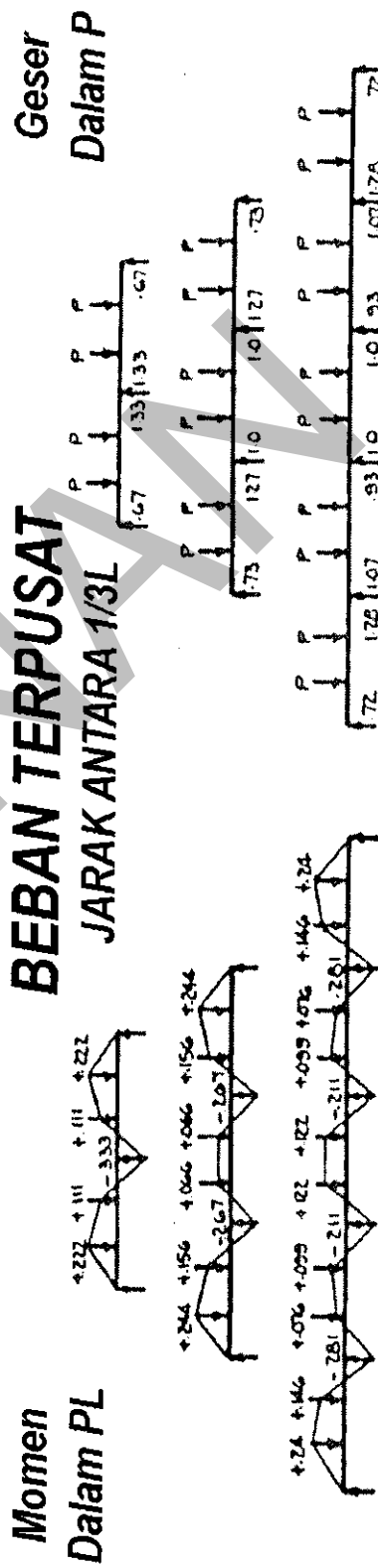
## B.1 KOEFISIEN MOMEN DAN GESER UNTUK BEBAN MERATA



## B.2 KOEFISIEN MOMEN DAN GESER UNTUK BEBAN TERPUSAT



## B.3 KOEFISIEN MOMEN DAN GESER UNTUK BEBAN TERPUSAT DENGAN JARAK ANTARA 1/3L



B.4 KOEFISIEN MOMEN DAN GESER UNTUK BEBAN TERPUSAT DENGAN JARAK ANTARA 1/4L

